



TUGAS AKHIR

MODIFIKASI PERENCANAAN STRUKTUR GEDUNG HOTEL PREMIER INN SURABAYA DENGAN MENGGUNAKAN *RECTANGULAR CONCRETE FILLED STEEL TUBE COLUMN DAN HEXAGONAL CASTELLATED BEAM*

PUTRI UTAMI AYU CAHYANI

NRP. 3115 105 011

Dosen Pembimbing I:

Ir. Heppy Kristijanto, MS.

NIP. 1961031 119807 1 001

Dosen Pembimbing II:

Budi Suswanto, ST., MT., Ph.D

NIP. 1973028 199802 1 002

JURUSAN TEKNIK SIPIL

Fakultas Teknik Sipil dan Perencanaan

Institut Teknologi Sepuluh Nopember

Surabaya 2017



TUGAS AKHIR

MODIFIKASI PERENCANAAN STRUKTUR GEDUNG HOTEL PREMIER INN SURABAYA DENGAN MENGGUNAKAN *RECTANGULAR CONCRETE FILLED STEEL TUBE COLUMN DAN HEXAGONAL CASTELLATED BEAM*

PUTRI UTAMI AYU CAHYANI

NRP. 3115 105 011

Dosen Pembimbing I:

Ir. Heppy Kristijanto, MS.

NIP. 1961031 119807 1 001

Dosen Pembimbing II:

Budi Suswanto, ST., MT., Ph.D

NIP. 19730128 199802 1 002

JURUSAN TEKNIK SIPIL

Fakultas Teknik Sipil dan Perencanaan

Institut Teknologi Sepuluh Nopember

Surabaya 2017



TUGAS AKHIR

MODIFICATION STUCTURE DESIGN OF PREMIER INN HOTEL SURABAYA USING RECTANGULAR CONCRETE FILLED STEEL TUBE COLUMN DAN HEXAGONAL CASTELLATED BEAM

PUTRI UTAMI AYU CAHYANI

NRP. 3115 105 011

Supervisor I:

Ir. Heppy Kristijanto, MS.

NIP. 1961031 119807 1 001

Supervisor II:

Budi Suswanto, ST., MT., Ph.D

NIP. 19730128 199802 1 002

DEPARTMENT OF CIVI ENGINEERING

Faculty of Civil Engineering and Planning

Institut Teknologi Sepuluh Nopember

Surabaya 2017

LEMBAR PENGESAHAN

**MODIFIKASI PERENCANAAN STRUKTUR GEDUNG
HOTEL PREMIER INN SURABAYA DENGAN
MENGGUNAKAN *RECTANGULAR CONCRETE FILLED
STEEL TUBE COLUMN DAN HEXAGONAL
CASTELLATED BEAM***

TUGAS AKHIR

Diajukan Untuk Memenuhi Salah Satu Syarat
Memperoleh Gelar Sarjana Teknik
pada

Program Studi S-1 Lintas Jalur Jurusan Teknik Sipil
Fakultas Teknik Sipil dan Perencanaan
Institut Teknologi Sepuluh Nopember

Oleh :

**PUTRI UTAMI AYU CAHYANI
NRP. 3115 105 011**

Disetujui oleh Pembimbing Tugas Akhir :

Ir. Heppy Kristijanto, MS
NIP : 196103111987011001

Budi Suswanto, ST., MT., Ph.D
NIP : 197301281998021002

SURABAYA
JULI, 2017

MODIFIKASI PERENCANAAN STRUKTUR GEDUNG HOTEL PREMIER INN SURABAYA DENGAN MENGGUNAKAN RECTANGULAR CONCRETE FILLED STEEL TUBE COLUMN DAN HEXAGONAL CASTELLATED BEAM

Nama Mahasiswa : Putri Utami Ayu Cahyani
NRP : 3115105011
Jurusan : Teknik Sipil FTSP-ITS
Dosen Pembimbing I : Ir. Heppy Kristijanto, MS
Dosen Pembimbing II : Budi Suswanto, ST., MT., Ph.D

ABSTRAK

Dalam konstruksi terdapat dua jenis material struktur yang umum digunakan, yaitu beton dan baja atau penggabungan kedua jenis material tersebut. Beton mempunyai kelemahan antara lain memiliki umur layanan yang terbatas, yaitu timbulnya keretakan akibat beban statis dan dinamis. Keretakan itu akan berdampak pada kegagalan konstruksi beton, yaitu timbulnya kerugian ekonomi serta dapat membahayakan jiwa manusia. Beton juga mempunyai bobot yang berat serta pelaksanaan pekerjaan membutuhkan ketelitian yang tinggi dan pengeraaan relatif lama.

Sedangkan konstruksi baja kuat terhadap gaya tarik, mempunyai bobot yang relatif ringan, material dibuat secara fabrikasi (homogen) dipabrik yang syarat standar fabrikasi sesuai dengan ketentuannya ini memberikan keuntungan dengan mempercepat pengeraaan. Konstruksi baja merupakan suatu alternatif yang menguntungkan dalam pembangunan gedung dan struktur yang lainnya baik dalam skala kecil maupun besar. Hal ini dikarenakan material baja mempunyai beberapa kelebihan dibandingkan bahan konstruksi yang lain.

Salah satu gedung yang terbuat dari struktur beton adalah gedung Hotel Premier Inn Surabaya yang terdiri dari 9 lantai + Semi Basement dengan tinggi 33,4 meter. Gedung Hotel Premier Inn ini akan dimodifikasi strukturnya menjadi struktur baja yang terdiri dari 10 lantai + Semi Basement dengan tinggi 42,4 meter. Konstruksi baja yang akan digunakan adalah Rectangular Concrete Filled Steel Tube Column dan Hexagonal Castellated Beam karena mempunyai kelebihan daripada profil baja biasa.

Rectangular Concrete Filled Steel Tube Column dipilih karena interaksi antara baja dengan beton inti, tekuk lokal profil baja direduksi oleh beton dan kekuatan beton akan menjadi tinggi karena efek pengekangan (Confinement Effect) dari baja akibat pemasangan cross tie sehingga menghasilkan kapasitas momen yang lebih besar. Hexagonal Castellated Beam dipilih karena mempunyai momen inersia dan modulus section yang tinggi, mampu memikul momen yang besar, bahan ringan, kuat serta mudah dipasang.

Dalam Tugas Akhir ini, dilakukan perencanaan meliputi perencanaan pelat, balok anak, tangga, lift, shear wall, balok induk, kolom dan pondasi serta hasil penggambarannya yang mengacu pada peraturan yang berlaku diantaranya PPIUG 1983 tentang Peraturan Pembebaran Indonesia Untuk Gedung, SNI 1729:2015 tentang Spesifikasi Untuk Bangunan Gedung Baja Struktural, SNI 1726:2012 tentang Tata Cara Perencanaan Ketahanan Gempa Untuk Struktur Bangunan Gedung Dan Non Gedung, SNI 2847:2013 Persyaratan Beton Struktural Untuk Bangunan Gedung.

Kata kunci : Modifikasi, Struktur Baja, Rectangular Concrete Filled Steel Tube Column, Hexagonal Castellated Beam

MODIFICATION STUCTURE DESIGN OF PREMIER INN HOTEL SURABAYA USING RECTANGULAR CONCRETE FILLED STEEL TUBE COLUMN DAN HEXAGONAL CASTELLATED BEAM

Student Name : Putri Utami Ayu Cahyani
Registration Number : 3115105011
Department : Teknik Sipil FTSP-ITS
Supervisor I : Ir. Heppy Kristijanto, MS
Supervisor II : Budi Suswanto, ST., MT., Ph.D

ABSTRACT

In Construction there are two type of structure materials that commonly used, there are concrete and steel, or by combining both of that materials. Concrete has the disadvantage of having a limited service life, that emergence rifts due to static and dynamic loads. The crack will have an impact to the failure of concrete construction, that caused economic losses and endanger human soul. Concrete also have a heavy weight and the execution of works requires high accuracy and relatively long time.

While the steel construction is strong against tensile strength, has relatively light weight, the material is manufactured by fabrication (homogeneous) in the factory where the standard fabrication requirement in accordance with this provision gives advantages by accelerating the workmanship. Steel construction is an alternative that profitable for building construction and other structure in both small or large scale. This is because steel material have several advantages than the other construction material.

One of buildings that made of concrete structure is Premier Inn Hotel Surabaya buildings, that consist of 9 floor + half basement with 33,4m of height. The structure of this building will

be modified into steel structure that consist of 10 floor + half basement with 42,4m of height. Steel construction that will be used is Rectangular Concrete Filled Steel Tube Column and Hexagonal Castellated Beam, because they have advantages over the ordinary steel.

Rectangular Concrete Filled Steel Tube Column is chosen because of the interaction between the steel and the core concrete, the steel's local buckling is reduced by concrete, and the concrete strength will be raised because of the confinement effect from the steel because of the installation of cross tie, so the moment capacity is greater than before. Hexagonal Castellated Beam is chosen because it has high inertia moment and modulus section, it also can endure a great moment, has a light weight, strong, and easy to install.

In this final project, the writer plans including the plate design, secondary beam, stair, lift, shear wall, main beam, column and foundation, and also the drawing that referring into the applicable rules as PPIUG 1983 about Peraturan Pembebanan Indonesia Untuk Gedung, SNI 1729:2015 about Spesifikasi Untuk Bangunan Gedung Baja Struktural, SNI 1726:2012 about Tata Cara Perencanaan Ketahanan Gempa Untuk Struktur Bangunan Gedung Dan Non Gedung, SNI 2847:2013 Persyaratan Beton Struktural Untuk Bangunan Gedung.

Key Word : Modification, Steel Structure, Rectangular Concrete Filled Steel Tube Column, Hexagonal Castellated Beam

KATA PENGANTAR

Puji syukur penulis panjatkan kehadiran Tuhan Yang Maha Esa, karena atas limpahan rahmat dan hidayah-Nya penulis dapat menyelesaikan Tugas Akhir yang berjudul “Modifikasi Perencanaan Struktur Gedung Hotel Premier Inn Dengan Menggunakan *Rectangular Concrete Filled Steel Tube Column* Dan *Hexagonal Castellated Beam*”. Tugas Akhir ini disusun sebagai persyaratan kelulusan pada Program Studi S-1 Lintas Jalur Teknik Sipil Fakultas Teknik Sipil Dan Perencanaan Institut Teknologi Sepuluh Nopember.

Tersusunnya Tugas Akhir ini juga tidak terlepas dari dukungan dan motivasi berbagai pihak yang banyak membantu dan memberi masukan. Untuk itu ucapan terima kasih ditujukan terutama kepada :

1. Bapak Ir. Heppy Kristijanto, MS, selaku dosen pembimbing 1 dan Bapak Budi Suswanto., ST., MT., Ph.D, selaku dosen pembimbing 2 Tugas Akhir yang telah banyak memberikan bimbingan, arahan, petunjuk, dan motivasi dalam penyusunan Tugas Akhir ini.
2. Kedua orang tua, saudara-saudara tercinta, yang selalu memberikan dukungan dan doanya.

Dalam penyusunan Tugas Akhir ini, masih terdapat banyak kekurangan yang jauh dari sempurna, dikarenakan keterbatasan ilmu pengetahuan dan wawasan serta pengalaman yang masih sedikit. Diharapkan segala kritik dan saran yang membangun demi kesempurnaan Tugas Akhir ini. Semoga apa yang disajikan dapat memberi manfaat bagi pembaca dan semua pihak khususnya teman-teman dari bidang studi teknik sipil.

Surabaya , Juli 2017

“Halaman ini sengaja dikosongkan”

DAFTAR ISI

ABSTRAK.....	i
ABSTRACT.....	iii
KATA PENGANTAR	v
DAFTAR ISI.....	vii
DAFTAR GAMBAR.....	x
DAFTAR TABEL.....	xv
BAB I PENDAHULUAN.....	1
1.1 Latar Belakang	1
1.2 Perumusan Masalah.....	3
1.3 Tujuan.....	3
1.4 Batasan Masalah.....	4
1.5 Manfaat.....	4
BAB II TINJAUAN PUSTAKA	5
2.1 Umum.....	5
2.2 Profil <i>Hexagonal Castellated Beam</i>	5
2.2.1 Pengertian <i>Hexagonal Castellated Beam</i>	5
2.2.2 Terminologi.....	6
2.2.3 Proses Pembuatan Castellated Beam Hexagonal ..	7
2.2.4 Tipe-Tipe Pemotongan Hexagonal Castellated Beam.....	8
2.2.5 Keuntungan dan Kekurangan dari <i>Hexagonal Catellated Beam</i>	10
2.2.6 Kegagalan dalam Hexagonal Castellated Beam..	11

2.3 Profil <i>Rectangular Concrete Filled Steel Tube Column</i>	14
2.4 Dinding Geser Pelat Baja (<i>Steel Plate Shear Wall</i>)	
16	
2.5 Sambungan	20
2.5.1 Tipe Sambungan	20
2.5.2 Persyaratan Utama Desain Sambungan	22
2.6 Basement	23
2.7 Pondasi	28
BAB III METODOLOGI.....	33
3.1. Bagan Alir Metodologi.....	33
3.2. Metodologi Penyelesaian	34
3.2.1 Pengumpulan Data	34
3.2.2 Studi Literatur	35
3.2.3 Preliminary Design	36
3.2.4 Pembebanan struktur.....	36
3.2.5 Kontrol Dimensi Struktur.....	47
3.2.6 Perencanaan Dinding Geser Pelat Baja (<i>Steel Plate Shear Wall</i>)	58
3.2.7 Perencanaan Sambungan	59
3.2.8 Perencanaan Dinding Basement.....	75
3.2.9 Perencanaan Pondasi.....	76
3.2.10 Penggambaran Hasil Perhitungan	80
BAB IV ANALISA STRUKTUR	81
4.1. Perencanaan Struktur Sekunder	81

4.1.1. Umum	81
4.1.2. Perencanaan Dimensi Pelat Lantai Gedung	81
4.1.3. Perencanaan Balok Anak	88
4.1.4. Perencanaan Tangga	96
4.1.5. Perencanaan Balok <i>Lift</i>	120
4.2. Permodelan Struktur	129
4.2.1. Permodelan dinding Geser Plat Baja.....	130
4.2.2. Pembebanan Struktur Utama.....	135
4.3. Perencanaan Struktur Primer	163
4.3.1. Perencanaan Elemen Struktur Primer	163
4.3.2. Perencanaan Sambungan.....	200
4.4. Perencanaan Struktur Bawah	234
4.4.1. Umum	234
4.4.2. Data Tanah	234
4.4.3. Daya Dukung Tanah	234
4.4.4. Perhitungan Pondasi Bangunan.....	241
4.4.5. Perencanaan Kolom Pedestal	252
4.4.6. Perencanaan Sloof Pondasi	255
BAB V KESIMPULAN.....	259
5.1. Kesimpulan.....	259
5.2. Saran.....	260
DAFTAR PUSTAKA	261

“Halaman ini sengaja dikosongkan”

DAFTAR GAMBAR

Gambar 2.1 Bagian-bagian <i>Hexagonal Castellated Beams</i>	6
Gambar 2.2 Bagian-bagian Setelah Pemotongan	7
Gambar 2.3 Proses Pembuatan <i>Hexagonal Castellated Beam</i>	8
Gambar 2.4 Beam Ends Left Ragged, U=T.....	8
Gambar 2.5 Beam Ends Left Ragged, U>T.....	9
Gambar 2.6 Beam Ends Finished, U=T.....	9
Gambar 2.7 Beam Ends Finished With Infill Plates, U>T	10
Gambar 2.8 Jajargenjang (Parallelogram)	12
Gambar 2.9 <i>Rupture Of Welded Joint</i>	13
Gambar 2.10 Penampang kolom <i>Rectangular Concrete Filled Steel Tube</i>	14
Gambar 2.11 Macam-macam Bentuk Dinding Geser.....	18
Gambar 2.12 Sambungan Pada Rectangular Concrete Filled Steel Tube (RCFT) Sambungan Pada Baja Wide Flange	21
Gambar 2.13 Sambungan Pada Rectangular Concrete Filled Steel Tube (RCFT)	21
Gambar 2.14 Gaya yang bekerja pada sambungan balok-kolom (Hwang dan Lee,1999)	23
Gambar 2.15 Tekanan Tanah Aktif Tanah Kohesif pada Dinding	25
Gambar 2.16 Tekanan Tanah Pasif Tanah Kohesif pada Dinding	26
Gambar 2.17 Tekanan Tanah Aktif dan Pasif Tanah Kohesif pada Dinding	27
Gambar 2.18 Jenis Pondasi Dangkal	30
Gambar 2.19 Jenis Pondasi Dalam	31
Gambar 3.1 Bagan Alir Metodologi Penyelesaian Tugas Akhir .	34
Gambar 3.2 Peta untuk Ss.....	41

Gambar 3.3 Peta untuk S ₁	42
Gambar 3.4 Spektrum Respons Desain	44
Gambar 3.5 Geometri <i>Hexagonal Castellated Beam</i>	47
Gambar 4.1 Pelat Lantai Atap	82
Gambar 4.2 Penulangan Pelat Atap.....	83
Gambar 4.3 Pelat Lantai	84
Gambar 4.4 Penulangan Lantai	85
Gambar 4.5 Pelat Lantai Koridor	86
Gambar 4.6 Penulangan Lantai Koridor.....	87
Gambar 4.7 Denah Balok Anak Lantai Atap.....	88
Gambar 4.8 Denah Balok Anak Lantai Koridor.....	92
Gambar 4.9 Denah Tangga.....	97
Gambar 4.10 Pelat Anak Tangga.....	97
Gambar 4.11 Sketsa Pembebanan Pengaku Anak Tangga	99
Gambar 4.12 Denah Bordes	102
Gambar 4.13 Sketsa Pembebanan Balok Utama Tangga	107
Gambar 4.14 Bidang M Balok Tangga.....	109
Gambar 4.15 Bidang D Balok Tangga	111
Gambar 4.16 Bidang N Balok Tangga	112
Gambar 4.17 Hasil Analisis Lendutan Balok Utama Tangga....	115
Gambar 4.18 Pembebanan Balok Penumpu Tangga	116
Gambar 4.19. Denah Lift.....	120
Gambar 4.20. Potongan Melintang Lift.....	121
Gambar 4.21. Tabel Spesifikasi Lift.....	122
Gambar 4.22. Model Pembebanan Balok Penumpu Lift.....	123
Gambar 4.23. Posisi M _A , M _B , M _C	127
Gambar 4.24. Denah Struktur Hotel Premier Iin Surabaya	129
Gambar 4.25. Kotak Dialog Area Sections	130
Gambar 4.26. Kotak Dialog Shell Section Data.....	131
Gambar 4.27. Kotak Dialog Properties of Object	131
Gambar 4.28. Kotak Dialog Assign Automatic Area Mesh	132

Gambar 4.29. Akitifasi Pilihan Add on Edge When Restraints / Contraints Exist at Adjacent Corner Point pada Kotak Dialog Assign Automatic Area Mesh	133
Gambar 4.30. Model 3 Dimensi Struktur Hotel Premier Iin Surabaya dengan Dinding Geser Plat Baja (SPSW).....	134
Gambar 4.31. Grafik Spektral Percepatan Gempa Wilayah Surabaya	141
Gambar 4.32. Pemilihan Model Rangka	144
Gambar 4.33. Input Edit Grid Data	145
Gambar 4.34. Input edit material data	146
Gambar 4.35. Penentuan dimensi frame balok.....	147
Gambar 4.36. Penentuan Dimensi Frame kolom.....	148
Gambar 4. 37. Input Area Section Pelat	149
Gambar 4.38. Input Respon Spectrum Gempa	150
Gambar 4.39. Input Data Load Pattern.....	151
Gambar 4.40. Define Load Case	151
Gambar 4.41. Input Nilai Massa.....	152
Gambar 4.42. Hasil Analisis Struktur Menggunakan Program Bantu SAP 2000	154
Gambar 4.43. Geometri balok Hexagonal Castellated	164
Gambar 4.44. Diagram Frame Balok Melintang	164
Gambar 4.45. Diagram Frame Diagram Memanjang	172
Gambar 4.46. Penampang Kolom Komposit CFT dengan Profil HSS $700 \times 700 \times 25 \times 25$	181
Gambar 4.47. Struktur Dinding Geser Plat Baja	186
Gambar 4.48. Sambungan Balok Anak dengan Balok Induk....	200
Gambar 4.49. Sambungan Balok Utama Tangga dengan Balok Penumpu Tangga	204
Gambar 4.50. Sambungan Balok Penumpu Tangga dengan Kolom	206
Gambar 4.51. Sambungan Kolom dengan Kolom.....	208

Gambar 4.52. Sambungan SPSW dengan Kolom	210
Gambar 4.53. Sambungan HBE dengan VBE pada Dinding Geser	211
Gambar 4.54. Sambungan Balok dengan Kolom	217
Gambar 4.55. Letak Sambung Las pada Sambungan Balok-Kolom.....	224
Gambar 4.56. Sambungan Kolom dengan Base Plate	227
Gambar 4.57. Arah Beban Sumbu X pada Base Plate.....	229
Gambar 4.58. Sambungan Balok (HBE) dengan Balok	232
Gambar 4.59. Hasil Analisa Tiang (BorePile) dengan Program PCACol	239
Gambar 4.60. Jarak Absis dan Ordinat pada Tiang Bore Pile Kelompok	242
Gambar 4.61. Geser Ponds Akibat Kolom Pedestal.....	245
Gambar 4.62. Geser Ponds Akibat Tiang Bore	247
Gambar 4.63. Analisis Poer sebagai Balok Kantilever	249
Gambar 4.69. Hasil Analisis Kolom Pedestal dengan Program PCA Col	253
Gambar 4.70. Penulangan Kolom Pedestal PD1	254
Gambar 4.71. Penulangan Sloof Daerah Tumpuan dan Lapangan	258

DAFTAR TABEL

Tabel 3.1. Kategori Risiko Bangunan Gedung untuk Beban Gempa	39
Tabel 3.2. Faktor Keutamaan Gempa	40
Tabel 3.3. Klasifikasi Situs.....	41
Tabel 3.4. Koefisien Situs, F_a	43
Tabel 3.5. Koefisien Situs, F_v	43
Tabel 3.6. Kategori desain seismik berdasarkan parameter respon percepatan pada periode pendek.....	45
Tabel 3.7. Kategori desain seismik berdasarkan parameter respon percepatan pada periode 1 detik	45
Tabel 4.1. Perhitungan N Rata-rata	139
Tabel 4.2. Parameter Respon Gempa Wilayah Surabaya untuk Kelas Situs E (Tanah Lunak).....	141
Tabel 4.3. Nilai Periode Fundamental (T) dan Percepatan Respon Spektra (Sa) berdasarkan ketentuan SNI1726:2012 Pasal 6.4... <td>143</td>	143
Tabel 4.4. Rasio Partisipasi Massa Hotel Premier Iin Surabaya	155
Tabel 4.5. Periode dan Frekuensi Struktur	157
Tabel 4.6. Reaksi Dasar Struktur.....	158
Tabel 4.7. Gaya Geser Dasar Akibat Beban Gempa	158
Tabel 4.8. Gaya Geser Dasar Akibat Beban Gempa Setelah Dikalikan dengan Faktor Skala	159
Tabel 4.9. Kontrol Simpangan Antar Lantai Akibat Beban Gempa Arah X	161
Tabel 4.10. Kontrol Simpangan Antar Lantai Akibat Beban Gempa Arah Y	162
Tabel 4.12. Daya dukung satu tiang (tiang bor diameter 600mm)	237

“Halaman ini sengaja dikosongkan”

BAB I

PENDAHULUAN

1.1 Latar Belakang

Dalam perkembangan konstruksi terdapat dua jenis material struktur yang paling umum digunakan, yaitu beton dan baja atau penggabungan kedua jenis material tersebut. Beton mempunyai berbagai kelemahan antara lain memiliki umur layanan yang terbatas, salah satu penentu umur layanan beton adalah timbulnya keretakan akibat beban statis dan beban dinamis. Beton akan mengalami retak apabila daya lentur dari beton terlewati. Keretakan itu akan berdampak pada kegagalan konstruksi beton, yaitu timbulnya kerugian ekonomi serta dapat membahayakan jiwa manusia. Beton juga mempunyai bobot yang berat serta pelaksanaan pekerjaan membutuhkan ketelitian yang tinggi dan penggerjaan relatif lama.

Sedangkan pada konstruksi baja kuat terhadap gaya tarik, mempunyai bobot yang relatif ringan, material dibuat secara fabrikasi (homogen) dipabrik yang telah syarat standar fabrikasi sesuai dengan ketentuannya. Dengan ini memberikan keuntungan dengan mempercepat penggerjaan. Konstruksi baja merupakan suatu alternatif yang menguntungkan dalam pembangunan gedung dan struktur yang lainnya baik dalam skala kecil maupun besar. Hal ini dikarenakan material baja mempunyai beberapa kelebihan dibandingkan bahan konstruksi yang lain. Bila dibandingkan dengan beton konvensional, baja memiliki beberapa keunggulan dalam pembangunan yang saat ini sedang berkembang pesat.

Gedung Hotel Premier Inn Surabaya merupakan bangunan bertingkat yang terdiri dari 9 lantai + semi basement dan perencanaan awalnya menggunakan konstruksi beton bertulang konvensional. karena masih tahap perencanaan dan belum memulai tahap pelaksanaan, maka Gedung Hotel Premier Inn Surabaya ini akan direncanakan lagi dengan menggunakan struktur baja.

Konstruksi baja yang akan digunakan adalah *Rectangular Concrete Filled Steel Tube (RCFT) Column* dan *Hexagonal Castellated Beam* karena mempunyai kelebihan daripada profil baja biasa.

Hexagonal Castellated Beam adalah profil baja I yang kemudian pada bagian badannya dipotong memanjang dengan pola zig-zag. Kemudian bentuk dasar baja diubah dengan menggeser atau membalik setengah bagian profil baja yang telah dipotong. Penyambungan setengah profil dilakukan dengan cara di las pada bagian “gigi-giginya” sehingga terbentuk profil baru dengan lubang berbentuk segi enam (*hexagonal*) (Johann Grunbauer, 2001). Profil ini mempunyai tinggi (h) hampir 50% lebih tinggi dari profil awal sehingga meningkatkan nilai lentur axial, momen inersia (Ix) dan modulus section (Sx) (Knowles 1991).

Rectangular Concrete Filled Steel Tube Column adalah salah satu kolom profil baja komposit yang terdiri dari profil baja hollow diisi dengan beton ditengahnya. Kolom profil ini mempunyai banyak keuntungan dibandingkan dengan profil baja pada umumnya atau beton bertulang. Salah satu keuntungan utamanya adalah interaksi antara baja dengan beton inti, tekuk lokal profil baja direduksi oleh beton dan kekuatan beton akan menjadi tinggi karena efek pengekangan (*Confinement Effect*) dari baja akibat pemasangan *cross tie* sehingga menghasilkan kapasitas momen yang lebih besar. Selain itu, tabung baja juga berfungsi sebagai pelindung untuk mencegah keretakan pada beton.

Oleh karena itu, pada Tugas Akhir ini Memodifikasi Perencanaan Struktur Gedung Hotel Premier Inn Surabaya dengan menggunakan *Rectangular Concrete Filled Steel Tube Column* dan *Hexagonal Castellated Beam* yang mempunyai struktur yang kuat, berat lebih ringan, *specific strength* lebih tinggi serta waktu pengerjaan lebih cepat sehingga dapat mempercepat pengerjaan konstruksi.

1.2 Perumusan Masalah

Perumusan masalah yang dihadapi dalam Tugas Akhir ini adalah:

➤ **Perumusan Masalah Utama**

Bagaimana merencanakan modifikasi struktur gedung menggunakan Rectangular Concrete Filled Steel Tube Column dan Hexagonal Castellated Beam?

➤ **Perumusan Masalah Detail**

1. Bagaimana menentukan preliminary design struktur gedung menggunakan Rectangular Concrete Filled Steel Tube Column dan Hexagonal Castellated Beam?
2. Apa saja beban-beban yang bekerja pada struktur gedung yang menggunakan Rectangular Concrete Filled Steel Tube Column dan Hexagonal Castellated Beam?
3. Bagaimana menganalisa gaya-gaya yang bekerja dalam struktur gedung yang menggunakan Rectangular Concrete Filled Steel Tube Column dan Hexagonal Castellated Beam dengan menggunakan program bantu SAP 2000?
4. Bagaimana mengontrol desain struktur gedung menggunakan Rectangular Concrete Filled Steel Tube Column dan Hexagonal Castellated Beam?
5. Bagaimana menuangkan hasil perhitungan dan perencanaan kedalam gambar teknik?

1.3 Tujuan

Tujuan dari penyusunan Tugas akhir ini adalah:

➤ **Tujuan Utama**

Mampu merencanakan modifikasi struktur gedung menggunakan Rectangular Concrete Filled Steel Tube Column dan Hexagonal Castellated Beam.

➤ **Tujuan Detail**

1. Mampu menentukan preliminary design struktur gedung menggunakan Rectangular Concrete Filled Steel Tube Column dan Hexagonal Castellated Beam.

2. Mampu menghitung beban-beban yang bekerja pada struktur gedung yang menggunakan Rectangular Concrete Filled Steel Tube Column dan Hexagonal Castellated Beam.
3. Mampu menganalisa gaya-gaya yang bekerja dalam struktur gedung yang menggunakan Rectangular Concrete Filled Steel Tube Column dan Hexagonal Castellated Beam dengan menggunakan program bantu SAP 2000.
4. Mampu mengontrol desain struktur gedung menggunakan Rectangular Concrete Filled Steel Tube Column dan Hexagonal Castellated Beam.
5. Mampu menuangkan hasil perhitungan dan perencanaan kedalam gambar teknik.

1.4 Batasan Masalah

Batasan masalah dalam Tugas Akhir ini adalah:

1. Perencanaan gedung ini hanya meninjau perhitungan struktur, tidak meninjau analisa biaya, manajemen konstruksi, maupun segi arsitektural.
2. Tidak membahas detail metode pelaksanaan.

1.5 Manfaat

Manfaat dari penyusunan Tugas Akhir ini adalah:

1. Mendapatkan suatu desain bangunan gedung yang mempunyai kelebihan antara lain struktur yang awet, kuat, berat lebih ringan, specific strength lebih tinggi, waktu pengerjaan lebih cepat dan memiliki daya guna yang seimbang.
2. Dari perencanaan ini bisa diketahui hal-hal apa saja yang harus diperhatikan pada saat perancangan sehingga kegagalan struktur bisa diminimalisasi.

BAB II

TINJAUAN PUSTAKA

2.1 Umum

Gedung Hotel Premier Inn Surabaya merupakan bangunan bertingkat yang terdiri dari 9 lantai + semi basement dengan tinggi 33,4 meter dan menggunakan konstruksi beton. Gedung Hotel Premier Inn Surabaya ini akan dimodifikasi menjadi 10 lantai + semi basement dengan tinggi 42,4 meter dan menggunakan konstruksi baja yang akan digunakan adalah *Concrete Filled Steel Tube Column* dan *Hexagonal Castellated Beam*. Dalam perencanaan struktur gedung Hotel Premier Inn Surabaya ini diperlukan data-data perencanaan, pengetahuan tentang konstruksi baja yang digunakan dan perhitungan struktur untuk kemudian dilakukan perhitungan.

2.2 Profil *Hexagonal Castellated Beam*

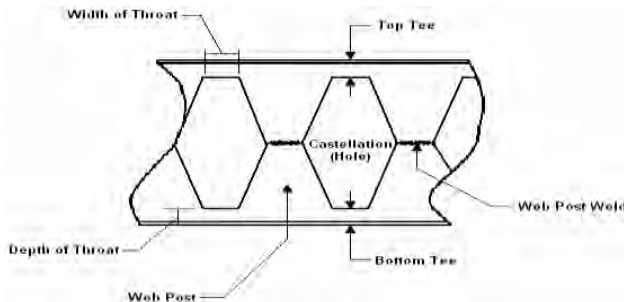
2.2.1 Pengertian *Hexagonal Castellated Beam*

Hexagonal Castellated Beam adalah profil baja I yang kemudian pada bagian badannya dipotong memanjang dengan pola zig-zag. Kemudian bentuk dasar baja diubah dengan menggeser atau membalik setengah bagian profil baja yang telah dipotong. Penyambungan setengah profil dilakukan dengan cara di las pada bagian “gigi-giginya” sehingga terbentuk profil baru dengan lubang berbentuk segi enam (*hexagonal*) (Grunbauer, 2001). Profil ini mempunyai tinggi (h) hampir 50% lebih tinggi dari profil awal sehingga meningkatkan nilai lentur axial, momen inersia (I_x) dan modulus section (S_x) (Knowles, 1991).

2.2.2 Terminologi

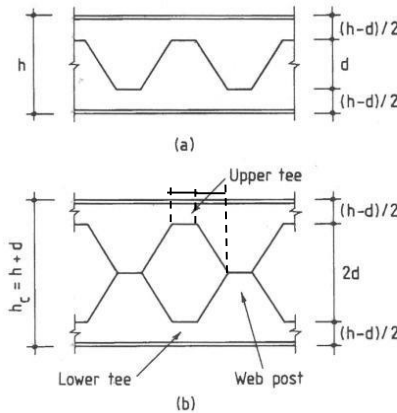
Dibawah ini merupakan ilustrasi bagian-bagian dari *Hexagonal Castellated Beam*.

- Web-Post : Luas solid dari balok baja kastella.
- Castellation : Luas yang sudah mengalami pelubangan (hole).
- Throat Width : Perpanjangan horizontal dari potongan “gigi” bawah profil.
- Throat Dept: Tinggi daerah profil potongan “gigi” bawah sampai sayap profil (Bardley, 2007).



Gambar 2.1 Bagian-bagian Hexagonal Castellated Beams

Castellation adalah proses memotong badan profil dengan pola zig-zag yang dicetak menggunakan *hot-rolled* (cetakan panas) berbentuk H, I, atau U. Setengah bagian profil baja yang telah dipotong disambung dengan cara digeser atau dibalik (ujung kanan di las dengan ujung kiri, dan sebaliknya) sehingga membentuk lubang berbentuk *polygonal*. Hal ini mengakibatkan bertambahnya tinggi (h) dan tinggi daerah pemotongan (d) (Amayreh dan Saka, 2005).



Gambar 2.2 Bagian-bagian Setelah Pemotongan

$$\tan \varphi = \frac{d}{b} \rightarrow b = \frac{d}{\tan \varphi} \quad (2.1)$$

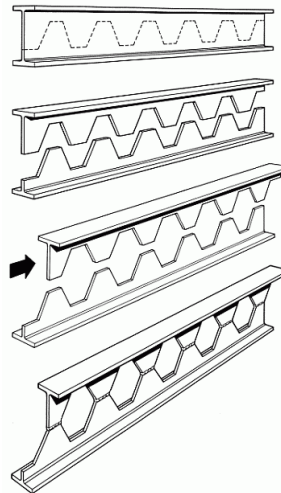
$$d_T = \frac{h-d}{2} \quad (2.2)$$

Semakin panjang d , bertambah pula tegangan tekuk (*bending stress*) pada bagian T (*tee section*) dikarenakan V (*shear force*) bertambah.

2.2.3 Proses Pembuatan Castellated Beam Hexagonal

Proses fabrikasi dari *Hexagonal Castellated Beam* diuraikan sebagai berikut (Grunbauer, 2001).

1. Badan profil dibuat dicetakkan hot-rolled (cetakan panas) berbentuk I, H atau U dengan pola pemotongan zig-zag.
2. Setengah hasil potongan digeser, ujung atas kanan dilas dengan ujung bawah kiri, dan sebaliknya. Sehingga lubang yang dihasilkan berbentuk segi enam (*hexagonal*).



Gambar 2.3 Proses Pembuatan *Hexagonal Castellated Beam*

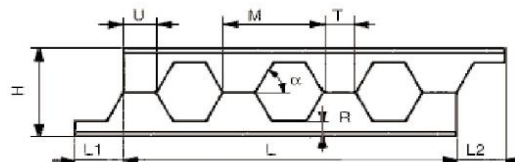
2.2.4 Tipe-Tipe Pemotongan Hexagonal Castellated Beam

Ada empat tipe pemotongan balok berdasarkan dimensi U dan T (Grunbauer, 2001).

1. *Beam Ends Left Ragged, U=T*

(simple and cheap, but not convenient to use)

Pemotongannya mudah, sederhana dan murah, tetapi kurang baik digunakan.

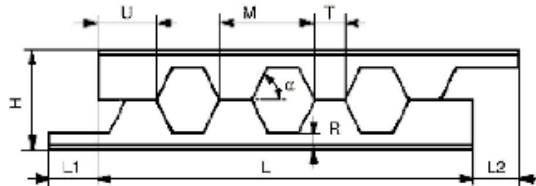


Gambar 2.4 Beam Ends Left Ragged, U=T

2. Beam Ends Left Ragged, U>T

(Longer ends, but not very effective)

Menghasilkan ujung potongan yang panjang tetapi tidak efektif.

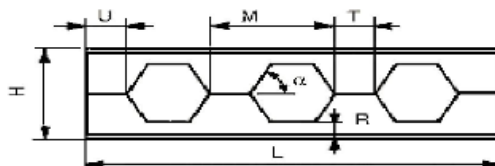


Gambar 2.5 Beam Ends Left Ragged, U>T

3. Beam Ends Finished, U=T

(Nice finish, dearer due to extra cutting operation and material waste)

Menghasilkan potongan yang baik (rapi) serta menghemat material (tidak banyak bahan yang terbuang).

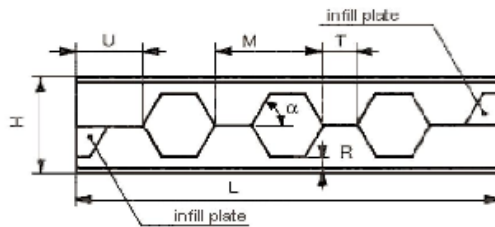


Gambar 2.6 Beam Ends Finished, U=T

4. Beam Ends Finished With Infill Plates, U>T

(Strong and rigid, but expensive)

Kuat dan kaku, tetapi mahal karena adanya penambahan plat.



Gambar 2.7 Beam Ends Finished With Infill Plates, $U > T$

2.2.5 Keuntungan dan Kekurangan dari *Hexagonal Catellated Beam*

A. Keuntungan *Hexagonal Castellated Beam*

Keuntungan dari *Hexagonal Castellated Beam* adalah sebagai berikut :

1. Dengan lebar profil yang lebih tinggi (d_g), menghasilkan momen inersia dan modulus section yang lebih besar sehingga lebih kuat dan kaku bila dibandingkan dengan profil asalnya (Megharief 1997 dan Grunbauer 2001).
2. Mampu memikul momen lebih besar dengan tegangan ijin yang lebih kecil (Megharief 1997 dan Grunbauer 2001).
3. Bahan ringan, kuat serta mudah dipasang (Megharief 1997 dan Grunbauer 2001).
4. Profil *Castellated Beam* ini juga cocok untuk bentang panjang (untuk penggunaan *Castellated Beam* pada atap dapat mencapai 10-50 meter dan bila digunakan sebagai plat 12-25 meter). Sehingga dapat mengurangi jumlah kolom dan pondasi, serta mengurangi biaya *erection* (pengangkatan) (Dougherty 1993).

5. Dapat digunakan untuk gedung tingkat tinggi, bangunan perindustrian (Amayreh dan Saka 2005).

B. Kekurangan *Hexagonal Castellated Beam*

Kekurangan dari *Hexagonal Castellated Beam* adalah sebagai berikut :

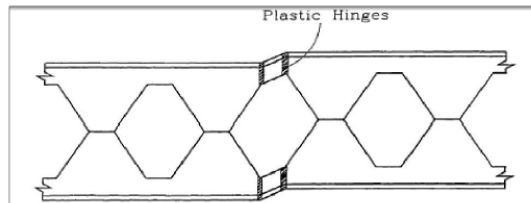
1. *Castellated Beam* kurang tahan api. Sehingga harus ditambah dengan lapisan tahan api (fire proofing) 20% lebih tebal agar mencapai ketahanan yang sama dengan profil awalnya (Grunbauer 2001).
2. Kurang kuat menerima gaya lateral, sehingga perlu diberi satu atau lebih plat pada ujung-ujung (dekat dengan pertemuan balok-kolom) (Grunbauer 2001).
3. Pada ujung-ujung bentang (di sudut-sudut profil) terjadi peningkatan pemusatan tegangan (*stress concentrations*) (Amayreh dan Saka 2005).
4. *Castellated Beam* tidak sesuai untuk bentang pendek dengan beban yang cukup berat (Amayreh dan Saka 2005).
5. Analisa dari defleksi lebih rumit daripada balok solid (Amayreh dan Saka 2005).

2.2.6 Kegagalan dalam *Hexagonal Castellated Beam*

Kegagalan dari *Hexagonal Castellated Beam* adalah sebagai berikut :

1. Vierendeel atau Shear Mechanism (Mekanisme Geser)
Mekanisme ini berbanding lurus dengan tegangan geser yang cukup tinggi pada balok. Sendi plastis terjadi pada ujung balok (*reentrant corners*) pada lubang dapat merubah bentuk bagian T (*tee section*) menjadi seperti

jajargenjang (*parallelogram*) (Altifillisch 1957, Toprac dan Cook 1959).



Gambar 2.8 Jajargenjang (Parallelogram)

2. *Flexural Mechanism* (Mekanisme Lentur)

Titik leleh yang terjadi pada bagian T (*tee section*) bagian atas dan bawah pada ujung awal (*the opening*) profil *Castellated Beam* hampir sama dengan profil WF solid pada kondisi *under pure bending forces* (Toprac dan Cook 1959).

$$M_p = Z' \times F_t \quad (2.3)$$

Dimana :

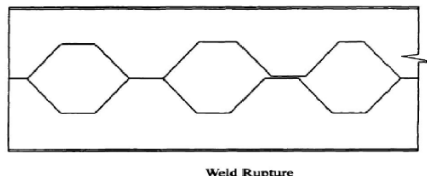
Z' = modulus plastis yang diambil melalui garis tengah vertikal pada lubang

3. *Lateral-Torsional-Buckling* (Tekuk Lateral Torsi pada Pelat Badan)

Tekuk lateral torsi pada pelat badan profil solid biasanya terjadi pada balok bentang panjang yang tidak memiliki penahan lateral yang cukup untuk menahan tekan pada sayap. Kegagalan ini disebabkan oleh kurangnya kekakuan torsi pada balok, sebagai hasil dari tinggi dan kelangsungan penampang. Pada tekuk lateral torsi dari balok, efek lubang pada profil dapat diabaikan (Kerdal dan Nethercort 1982). Sehingga tekuk lateral

torsi pada *Castellated Beam* dapat direncanakan sama seperti pada pelat badan solid dengan menyesuaikan penampangnya.

4. *Rupture of Welded Joint* (Putusnya Sambungan Las)
Las pada jarak antara lubang yang satu dengan yang lainnya (*e*) dapat mengalami *rupture* (putus) ketika tegangan geser horizontal melebihi kekuatan leleh dari pengelasannya (welded joint) (Husain dan Speirs 1971).



Gambar 2.9 Rupture Of Welded Joint

Panjang horizontal pada lubang (*horizontal length of the opening*) berbanding lurus dengan panjang pengelasan, dan ketika panjang horizontal berkurang untuk menambah secondary moment (*Vierendeel truss*), maka las sepanjang badan profil menjadi lebih mudah gagal (*failure*). Mekanisme Vierendeel biasanya terjadi pada balok-balok yang mempunyai jarak lubang horizontal yang cukup panjang (oleh karena itu mempunyai panjang las lebih panjang) (Dougherty 1993).

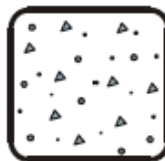
5. Web Post Buckling due to Compression (Tekuk Pelat Badan Akibat Tekan)
Kegagalan ini disebabkan oleh beban terpusat yang secara langsung dibebankan pada pelat badan. Kegagalan ini dapat dicegah bila penggunaan

pengakunya diperkuat untuk menahan gaya tersebut (Toprak dan Cook 1959 dan Husain dan Speirs 1973).

2.3 Profil *Rectangular Concrete Filled Steel Tube Column*

2.3.1. Pengertian *Rectangular Concrete Filled Steel Tube Column*

Rectangular Concrete Filled Steel Tube Column adalah salah satu kolom profil baja komposit yang terdiri dari profil baja hollow diisi dengan beton ditengahnya. Kolom profil ini mempunyai banyak keuntungan dibandingkan dengan profil baja pada umumnya atau beton bertulang. Salah satu keuntungan utamanya adalah interaksi antara baja dengan beton inti, tekuk local profil baja direduksi oleh beton dan kekuatan beton akan menjadi tinggi karena efek pengekangan (*Confinement Effect*) dari baja akibat pemasangan *cross tie* sehingga menghasilkan kapasitas momen yang lebih besar. Selain itu, tabung baja juga berfungsi sebagai pelindung untuk mencegah keretakan pada beton.



Gambar 2.10 Penampang kolom *RCFT*

2.3.2. Kriteria Kolom Komposit Bagi Komponen Struktur Tekan

Kriteria untuk kolom komposit bagi komponen struktur tekan adalah sebagai berikut:

1. Luas penampang profil baja minimal sebesar 4% dari luas penampang komposit total.

2. Selubung beton untuk penampang komposit yang berintikan baja harus diberi tulangan baja longitudinal dan tulangan pengekang lateral. Tulangan baja longitudinal harus menerus pada lantai struktur portal, kecuali untuk tulangan longitudinal yang hanya berfungsi memberikekangan pada beton. Jarak antar pengikat lateral tidak boleh melebihi $2/3$ dari dimensi terkecil penampang kolom komposit. Luas minimum penampang tulangan transversal (atau lonitudinal) terpasang. Tebal bersih selimut beton dari tepi terluar tulangan longitudinal dan transversal minimal sebesar 40 mm.
3. Mutu beton yang digunakan tidak lebih 55 Mpa dan tidak kurang dari 21 Mpa untuk beton normal dan tidak kurang dari 28 Mpa untuk beton ringan.
4. Tegangan leleh profil dan tulangan baja yang digunakan untuk perhitungan kekuatan kolom komposit tidak boleh lebih dari 380 Mpa
5. Tebal minimum dinding pipa baja atau penampang baja berongga yang diisi beton adalah $b \sqrt{\frac{f_y}{3E}}$ untuk setiap sisi selebar b pada penampang persegi dan $D \sqrt{\frac{f_y}{8E}}$ untuk penampang bulat yang mempunyai diameter luar D .

2.3.3. Keuntungan dan Kekurangan *Rectangular Concrete Filled Steel Tube Column*

A. Keuntungan *Rectangular Concrete Filled Steel Tube Column*

Keuntungan dari *Rectangular Concrete Filled Steel Tube Column* adalah sebagai berikut:

1. Kekuatannya lebih besar dari kolom beton bertulang.

2. Peristiwa tekuk local dari pipa baja akan lambat, dan pengurangan kekuatan akibat tekuk local akan ditahan oleh beton.
3. Kekuatan beton akan bertambah akibat penggabungan dengan pipa baja.
4. Penyusutan dan retak dari beton akan jauh lebih kecil dari beton bertulang.
5. Lebih efisien karena tidak memerlukan tulangan longitudinal dan sengkang.
6. Tidak memerlukan bekisting saat pengecoran beton sehingga dapat mempercepat waktu pelaksaan.

B. Kekurangan *Rectangular Concrete Filled Steel Tube Column*

Kekurangan dari *Rectangular Concrete Filled Steel Tube Column* adalah sebagai berikut:

1. Hubungan antara baja dan beton yang kompleks membuat lebih mahal dalam pembuatan sambungan.

2.4 Dinding Geser Pelat Baja (*Steel Plate Shear Wall*)

2.4.1 Pengertian Geser Pelat Baja (*Steel Plate Shear Wall*)

Dinding geser pelat baja adalah sebuah sistem penahan beban lateral yang terdiri dari pelat baja vertikal berdinding tipis, menghubungkan balok dan kolom disekitarnya dan terpasang dalam satu atau lebih pelat sepanjang ketinggian struktur membentuk sebuah dinding penopang. Sebagaimana ditentukan oleh beberapa eksperimen dan penyelidikan secara analitis, deformasi inelastic siklik SPSW menunjukkan kekakuan awal tinggi, bersifat sangat daktail dan dapat menyerap sejumlah besar energy (Berman dan Bruneau 2003).

Dinding geser pelat baja secara efektif dan ekonomis mampu menahan beban angin dan beban gempa yang terjadi. Dinding geser pelat baja ini terhubungkan ke sisi-sisi balok dan kolon yang bekerja bersama-sama dalam menahan beban angin dan beban gempa (Habashi 2010).

2.4.2 Jenis Geser Pelat Baja (*Steel Plate Shear Wall*)

Ada 2 jenis dinding geser pelat baja berdasarkan susunan, ukuran dan tinggi yang mempunyai keuntungan masing-masing, yaitu *core systems* dan *planar systems*.

1. SPSW Core Systems

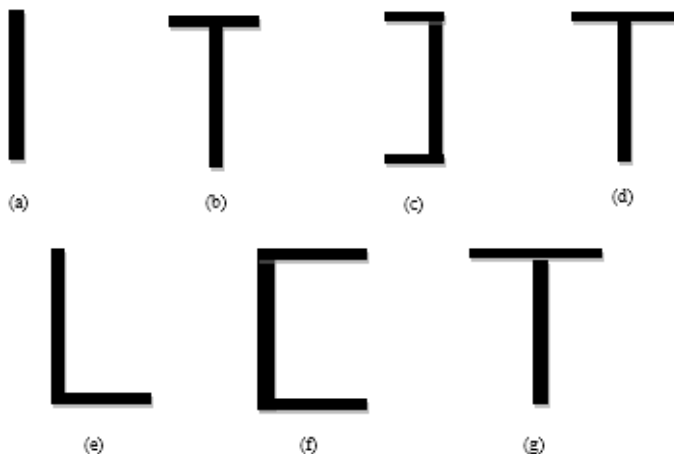
Dinding geser pelat baja (*SPSW*) ini cocok digunakan pada bangunan bertingkat menengah hingga bangunan bertingkat tinggi. Jenis dinding geser pelat baja ini memberikan kekakuan terhadap puntir dan keruntuhan lebih baik. (Seilie dan Hooper 2005)

2. Multiple Planar SPSW

Dinding geser pelat baja (*SPSW*) ini cocok untuk bangunan bertingkat rendah dan untuk perkuatan gedung yang sudah ada. Dinding geser ini mempunyai kapasitas geser yang cukup dengan kapasitas momen yang sedikit terbatas. (Seilie dan Hooper 2005)

2.4.3 Bentuk-bentuk Geser Pelat Baja (*Steel Plate Shear Wall*)

Dalam struktur dinding geser pelat baja (*steel plate shear wall*) mempunyai bentuk-bentuk dan variasi yang berbeda-beda, dimana dimensi dari dinding geser dipengaruhi besarnya gaya lateral yang diterima oleh dinding geser tersebut. Bentuk-bentuk dinding geser pelat baja (*steel plate shear wall*) seperti pada Gambar 2.11.



Gambar 2.11 Macam-macam Bentuk Dinding Geser

2.4.4 Fungsi Geser Pelat Baja (*Steel Plate Shear Wall*)

Terdapat dua fungsi dari dinding geser pelat baja yaitu :

1. Kekakuan
 - Dinding geser juga memberikan kekakuan lateral untuk mencegah atap atau lantai di atas dari sisi goyangan yang berlebihan.
 - Ketika dinding geser cukup kaku, akan mencegah membingkai lantai dan atap dari bergerak untuk mendukungnya.
 - Bangunan yang cukup kaku biasanya kerusakan yang terjadi nonstructural.
2. Kekuatan
 - Dinding geser harus memberikan kekuatan lateral yang diperlukan untuk melawan kekuatan gempa horizontal.
 - Ketika dinding geser cukup kuat, mereka akan mentransfer gaya horizontal ini ke elemen

berikutnya dalam jalur beban dibawah mereka seperti dinding geser lainnya, lantai, pondasi dan lain-lain.

2.4.5 Keuntungan dan Kekurangan Geser Pelat Baja (*Steel Plate Shear Wall*)

A. Keuntungan Geser Pelat Baja (*Steel Plate Shear Wall*)

Keuntungan dinding geser pelat baja dalam penggunaannya (Setiawan 2008) adalah sebagai berikut:

1. Mempunyai kekuatan tinggi sehingga dapat mengurangi ukuran struktur serta mengurangi pula berat sendiri dari struktur tersebut.
2. Keseragaman dari keawetan yang tinggi, tidak seperti halnya material beton bertulang terdiri dari berbagai macam bahan penyusun.
3. Memiliki sifat yang lebih elastis.
4. Daktilitas baja cukup tinggi.
5. Kemudahan penyambungan antar elemen baja satu dengan lainnya.

B. Kekurangan Geser Pelat Baja (*Steel Plate Shear Wall*)

Kekurangan dinding geser pelat baja dalam penggunaannya (Setiawan 2008) adalah sebagai berikut :

1. Umumnya material baja rentan terhadap korosi jika terjadi kontak dengan udara dan air sehingga perlu dicat secara periodic.
2. Tidak tahan api karena baja suhu tinggi akan meleleh.
3. Rentan terhadap tekuk dan kekuatan baja akan menurun jika mendapat beban siklis sehingga dalam perancangan perlu dilakukan pengurangan

kekuatan jika pada elemen struktur akan terjadi beban siklis.

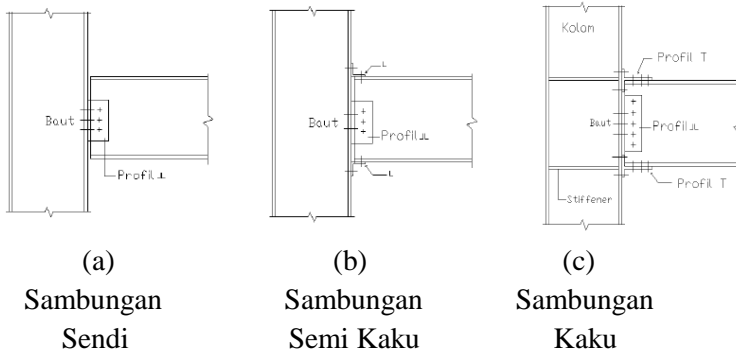
2.5 Sambungan

Sambungan terdiri dari beberapa komponen sambungan (pelat pengisi, pelat buhul, pelat pendukung, dan pelat penyambung) dan alat pengencang (baut dan las).

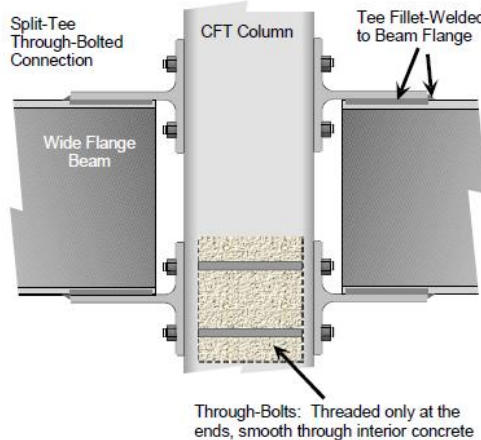
2.5.1 Tipe Sambungan

Klasifikasi Sambungan :

1. Sambungan kaku/*rigid connection* adalah sambungan yang dianggap memiliki kekakuan yang cukup untuk mempertahankan sudut-sudut di antara komponen-komponen struktur yang akan disambung.
2. Sambungan semi kaku/*semi rigid connection* adalah sambungan yang tidak memiliki kekakuan yang cukup mempertahankan sudut-sudut diantara komponen-komponen struktur yang disambung, namun harus dianggap memiliki kapasitas yang cukup untuk memberikan kekangan yang dapat diukur terhadap perubahan sudut-sudut tersebut
3. Sambungan sendi/*simple connection* adalah sambungan yang pada kedua ujung komponen struktur dianggap bebas momen. Sambungan sendi harus dapat berubah bentuk agar memberikan rotasi yang diperlukan pada sanbungan. Sambungan tidak boleh mengakibatkan momen lentur terhadap komponen struktur yang disambung.



Gambar 2.12 Sambungan Pada Rectangular Concrete Filled Steel Tube (RCFT) Sambungan Pada Baja Wide Flange



Gambar 2.13 Sambungan Pada Rectangular Concrete Filled Steel Tube (RCFT)

2.5.2 Persyaratan Utama Desain Sambungan

Ada beberapa persyaratan utama untuk desain sambungan balok-kolom di ACI 318 Code (2005) [5]:

1. Kekuatan lentur harus memenuhi rasio M_R

$$M_R = \frac{\sum M_c}{\sum M_b} \geq \frac{6}{5} \quad (2.4)$$

Di mana $\sum M_c$ dan $\sum M_b$ adalah jumlah kapasitas momen nominal kolom dan balok. Persyaratan ini untuk memenuhi filsafat “*strong column weak beam*”.

2. Untuk pemberhentian tulangan pada sambungan exterior, sisa tulangan yang D_h pada balok tidak boleh kurang dari nilai yang terbesar antara $8 d_b$ atau 150 mm, dan panjang D_h ditentukan oleh rumus :

$$D_h = \frac{f_y d_b}{5,4 \sqrt{f_c}} \quad (2.5)$$

Dimana f_y adalah kuat leleh, d_b adalah diameter tulangan, dan f_c adalah kekuatan beton (dalam MPa).

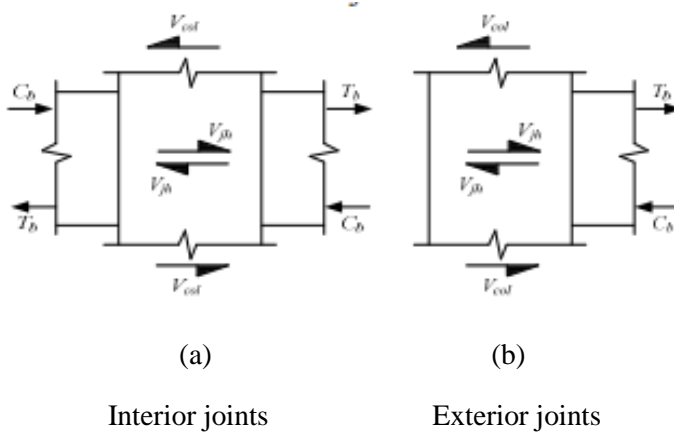
3. Desain gaya geser yang bekerja pada sambungan tidak akan melebihi batas tertentu berdasarkan geometri dan batasan sambungan. Untuk sambungan balok-kolom interior yang terkena beban gempa, seperti yang ditunjukkan pada gambar 2.11(a), gaya geser horizontal sambungan dihitung dengan rumus :

$$V_{jh} = T_b + C_b - V_{col} \quad (2.6)$$

Sementara untuk sambungan balok-kolom eksterior yang terkena beban gempa, seperti yang ditunjukkan pada gambar 2.8(b) dihitung dengan rumus:

$$V_{jh} = T_b - V_{col} \quad (2.7)$$

Dimana T_b adalah gaya tarik pada tulangan balok, C_b adalah gaya tekan pada beton, dan V_{col} adalah gaya geser horizontal kolom di bagian atas sambungan.



Gambar 2.14 Gaya yang bekerja pada sambungan balok-kolom (Hwang dan Lee,1999)

2.6 Basement

Basement adalah struktur bagian bawah bangunan yang berhubungan langsung dengan tanah dan dinding pada basement berfungsi menahan tekanan tanah lateral . Bila suatu dinding tidak bergerak membatasi suatu massa tanah, maka massa tanah tersebut akan berada pada suatu keadaan keseimbangan elastis (*elastic equilibrium*), rasio antara tekanan arah vertikal dan horizontal dinamakan koefisien tekanan tanah dalam keadaan diam (ko)

$$K_o = \frac{\sigma_h}{\sigma_v} \quad (2.8)$$

Menurut Jaky (1944)

$$K_o = 1 - \sin \theta \quad (\text{untuk tanah berbutir}) \quad (2.9)$$

Menurut Broker dan Jreland (1965)

$$K_o = 0,95 - \sin \theta \quad (\text{untuk tanah lempung terkonsolidasi secara normal}) \quad (2.10)$$

a. Tekanan Tanah Aktif dan Pasif

Namun jika suatu dinding vertikal licin yang membatasi suatu massa tanah tersebut diijinkan bergerak, maka tekanan tanah horizontal dalam elemen tanah tersebut akan berkurang secara terus menerus. Dan akhirnya dicapai suatu keseimbangan plastis. Kondisi tersebut dinamakan sebagai kondisi aktif menurut Rankine (1857) "*Rankine's active state*". Tekanan tanah yang bekerja pada dinding tersebut adalah tekanan tanah aktif (σ_a).

$$\sigma_a = \sigma_v x K_a \quad (2.11)$$

$$K_a = \tan^2 \left(45^\circ - \frac{\theta}{2} \right) \quad (2.12)$$

Dimana :

K_a = koefisien tekanan tanah aktif

Sedangkan keadaan tanah pasif adalah apabila suatu dinding vertikal licin tak terhingga didorong masuk secara perlahan – lahan ke arah dalam tanah, maka tegangan horizontal (σ_h) akan bertambah secara terus menerus. Pada keadaan ini, keruntuhan tanah akan terjadi yang kita kenal sebagai kondisi tanah pasif menurut Rankine (1857) "*Rankine's passive state*". Tekanan tanah yang bekerja pada dinding tersebut adalah tekanan tanah pasif (σ_p).

$$\sigma_p = \sigma_v x K_p \quad (2.13)$$

$$K_p = \tan^2 \left(45^\circ + \frac{\theta}{2} \right) \quad (2.14)$$

Dimana :

K_p = koefisien tekanan tanah pasif

b. Tekanan Tanah Aktif dan Pasif untuk tanah yan berkohesi

Rankine tidak menyertakan harga kohesi tanah kedalam formula tekanan tanahnya, kemudian Bell (1915) memperbarluar formula tersebut dengan menyertakan harga kohesi tanah untuk perhitungan tekanan tanah lateral tanah berkohesi pada suatu dinding. Berikut ini persamaan tekanan tanah aktif tanah aktif untuk tanah berkohesi :

$$\sigma_a = \sigma_v \tan^2 \left(45^\circ - \frac{\theta}{2} \right) - 2c \tan \left(45^\circ - \frac{\theta}{2} \right) \quad (2.15)$$

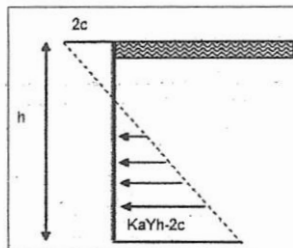
$$\sigma_a = \sigma_v K_a - 2c \sqrt{K_a} \quad (2.16)$$

Dimana :

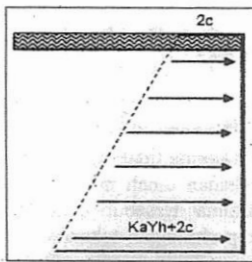
σ_v = tegangan vertikal tanah (t/m^2)

c = kohesi tanah

θ = sudut geser tanah



Gambar 2.15 Tekanan Tanah Aktif Tanah Kohesif pada Dinding



Gambar 2.16 Tekanan Tanah Pasif Tanah Kohesif pada Dinding

Sedangkan untuk tekanan tanah pasif berlaku persamaan :

$$\sigma_p = \sigma_v \tan^2 \left(45 + \frac{\theta}{2} \right) + 2 c \tan \left(45^\circ + \frac{\theta}{2} \right) \quad (2.17)$$

$$\sigma_p = \sigma_v K_p + 2 c \sqrt{K_p} \quad (2.18)$$

Dimana :

σ_v = tegangan vertikal tanah (t/m^2)

c = kohesi tanah

θ = sudut geser tanah

- c. Perhitungan Dinding Turap dengan metode *free earth support*
Asumsi dari metode ini adalah :

1. Tiang turap dianggap kaku jika dibandingkan dengan tanah sekitarnya.
2. Dinding turap dapat bergerak dengan cukup untuk menimbulkan tekanan tanah minimum aktif dan pasif.

Langkah – langkah perhitungan :

Langkah 1

Besar kedalaman turap diwakili dengan variable D, yang kemudian akan dicari nilainya. Pada akhir perhitungan dengan metode ini, maka D akan didapatkan dalam bentuk persamaan, $aD^3 + bD^2 + cD + d = 0$, yang kemudian bisa diselesaikan dengan metode *trial and error*.

Langkah 2

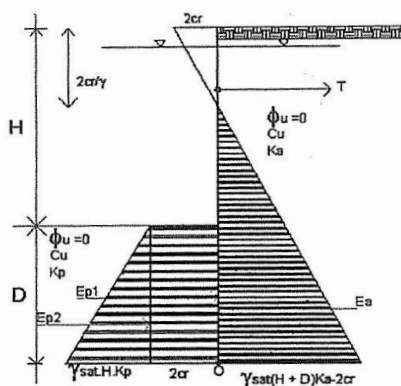
Menentukan tekanan tanah aktif dan pasif yang bekerja pada dinding turap. Dari sisi tanah pasif, dipergunakan faktor keamanan sebesar 1,5 – 2 yaitu untuk tanah *cohesionless* digunakan sudut geser ϕ'' .

$$\tan \phi'' = \frac{\phi'}{SF} \quad (2.19)$$

Dimana :

Φ' = Sudut geser efektif

SF = Faktor Keamanan (1,5 – 2)



Gambar 2.17 Tekanan Tanah Aktif dan Pasif Tanah Kohesif pada Dinding

Dimana :

$$r = \text{faktor adhesi} = \sqrt{1 + \frac{C_w}{c}}$$

C_w = adhesi antara lempung dan sheet pile

$C_w = 0,56$

C = nilai kohesi tanah

K_a = koefisien tanah aktif menurut Rankine

K_p = koefisien tanah pasif menurut Rankine

C_u = cohesion undrained

Langkah 3

Menghitung kedalaman (D) turap

Dengan cara $\Sigma M_T = 0$, atau dengan $\Sigma M_o = 0$ bila tanpa jangkar.

Langkah 4

Mencari gaya angker (T)

Dengan cara $\Sigma F_x = 0$

$$T = \Sigma E_a - \Sigma E_p \quad (2.20)$$

Dimana :

ΣE_a = total gaya aktif yang bekerja akibat tanah maupun surcharge

ΣE_p = total gaya pasif yang bekerja

2.7 Pondasi

Pondasi adalah struktur bagian bawah bangunan yang berhubungan langsung dengan tanah dan suatu bagian dari konstruksi yang berfungsi menahan gaya beban diatasnya. Pondasi dibuat menjadi satu kesatuan dasar bangunan yang kuat yang terdapat dibawah konstruksi. Pondasi dapat didefinisikan sebagai bagian paling bawah dari suatu konstruksi yang kuat dan stabil (*solid*).

Dalam perencanaan pondasi untuk suatu struktur dapat digunakan beberapa macam tipe pondasi. Pemilihan pondasi berdasarkan fungsi bangunan atas (*upper structure*) yang akan dipikul oleh pondasi tersebut, besarnya beban dan beratnya bangunan atas, keadaan tanah dimana bangunan tersebut didirikan dan berdasarkan tinjauan dari segi ekonomi.

Semua konstruksi yang direncanakan, keberadaan pondasi sangat penting mengingat pondasi merupakan bagian terbawah dari bangunan yang berfungsi mendukung bangunan serta seluruh beban bangunan tersebut dan meneruskan beban bangunan itu, baik beban mati, beban hidup dan beban gempa ke tanah atau batuan yang berada dibawahnya. Bentuk pondasi tergantung dari macam bangunan yang akan dibangun dan keadaan tanah tempat pondasi tersebut akan diletakkan, biasanya pondasi diletakkan pada tanah yang keras.

Pondasi bangunan biasanya dibedakan atas dua bagian yaitu pondasi dangkal (*shallow foundation*) dan pondasi dalam (*deep foundation*), tergantung dari letak tanah kerasnya dan perbandingan kedalaman dengan lebar pondasi. Pondasi dangkal kedalamannya kurang atau sama dengan lebar pondasi ($D \leq B$) dan dapat digunakan jika lapisan tanah kerasnya terletak dekat dengan permukaan tanah. Sedangkan pondasi dalam digunakan jika lapisan tanah keras berada jauh dari permukaan tanah.

Pondasi dapat digolongkan berdasarkan kemungkinan besar beban yang harus dipikul oleh pondasi:

1. Pondasi dangkal

Pondasi dangkal disebut juga pondasi langsung, pondasi ini digunakan apabila lapisan tanah pada dasar pondasi yang mampu mendukung beban yang dilimpahkan terletak tidak dalam (berada relatif dekat dengan permukaan tanah). Beberapa contoh pondasi dangkal adalah sebagai berikut:

a. Pondasi telapak

Pondasi yang berdiri sendiri dalam mendukung kolom atau pondasi yang mendukung bangunan secara langsung pada tanah bilamana terdapat lapisan tanah yang cukup tebal

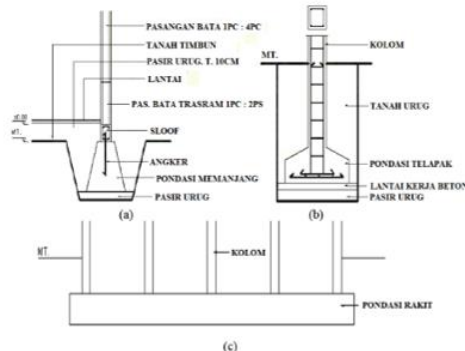
dengan kualitas baik yang mampu mendukung bangunan itu pada permukaan tanah atau sedikit dibawah permukaan tanah. (Gambar 2.18a)

b. Pondasi memanjang

Pondasi yang digunakan untuk mendukung sederetan kolom yang berjarak dekat sehingga bila dipakai pondasi telapak sisinya akan terhimpit satu sama lainnya. (Gambar 2.18b)

c. Pondasi rakit (raft foundation)

Pondasi yang digunakan untuk mendukung bangunan yang terletak pada tanah lunak atau digunakan bila susunan kolom-kolom jaraknya sedemikian dekat disemua arahnya, sehingga bila menggunakan pondasi telapak, sisi-sisinya berhimpit satu sama lainnya. (Gambar 2.18c)



Gambar 2.18 Jenis Pondasi Dangkal

(Suyono Sostrodarsono, Kazua Nakazawa.1984)

2. Pondasi dalam

Pondasi dalam adalah pondasi yang meneruskan beban bangunan ke tanah keras atau batu yang terletak jauh dari permukaan, Pondasi dalam adalah pondasi yang meneruskan

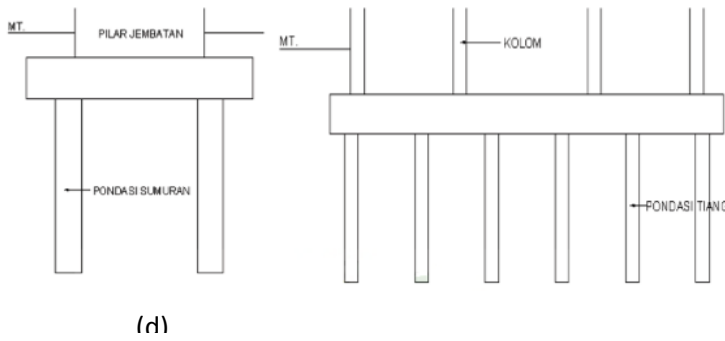
beban bangunan ke tanah keras atau batu yang terletak jauh dari permukaan, seperti:

a. Pondasi sumuran (*pier foundation*)

Pondasi sumuran merupakan pondasi peralihan antara pondasi dangkal dan pondasi tiang, digunakan bila tanah dasar yang kuat terletak pada kedalaman yang relatif dalam, dimana pondasi sumuran nilai kedalaman (D_f) dibagi lebar (B) lebih kecil atau sama dengan 4, sedangkan pondasi dangkal $D_f/B \leq 1$. (Gambar 2.19d)

b. Pondasi tiang (*pile foundation*)

Pondasi tiang digunakan bila tanah pondasi pada kedalaman yang normal tidak mampu mendukung bebananya dan tanah kerasnya terletak pada kedalaman yang sangat dalam. Pondasi tiang umumnya berdiameter lebih kecil dan lebih panjang dibanding dengan pondasi sumuran. (Gambar 2.19e)



Gambar 2.19 Jenis Pondasi Dalam

(Suyono Sostrodarsono, Kazua Nakazawa.1984)

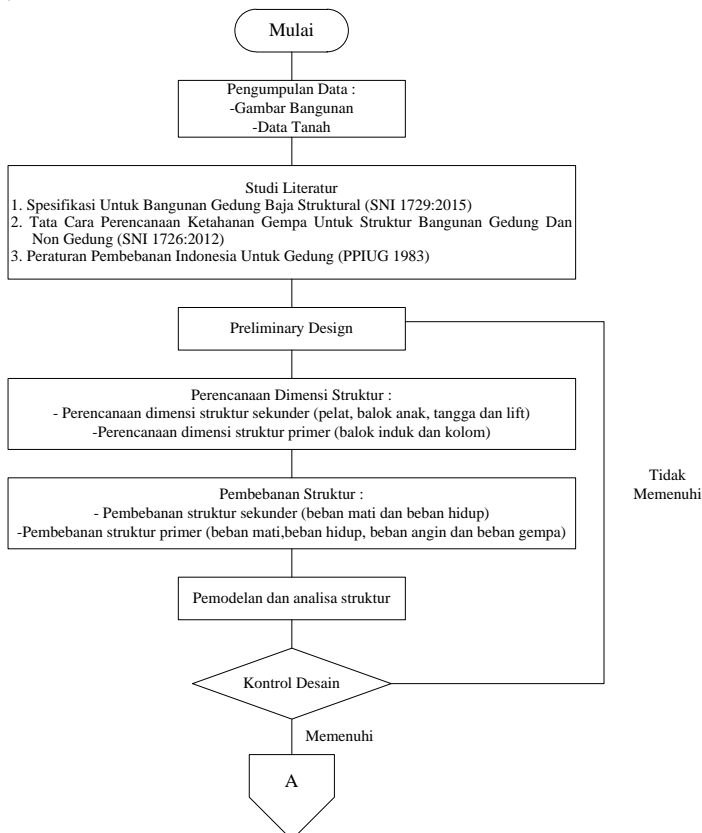
“Halaman ini sengaja dikosongkan”

BAB III

METODOLOGI

3.1. Bagan Alir Metodologi

Dalam penyelesaian Tugas Akhir ini diperlukan metode dan urutan-urutan penyelesaian secara jelas dan sistematis. Oleh karena itu dibuatlah suatu metodologi yang dimaksudkan agar penyelesaian tugas akhir ini berjalan dengan baik. Urutan penyelesaian Tugas Akhir dapat dilihat pada bagan alir dibawah ini:





Gambar 3.1 Bagan Alir Metodologi Penyelesaian Tugas Akhir

3.2. Metodologi Penyelesaian

Langkah-langkah dalam Modifikasi Perencanaan Struktur Gedung Hotel Premier Inn Surabaya dengan menggunakan *Rectangular Concrete Filled Steel Tube Column* dan *Hexagonal Castellated Beam* adalah sebagai berikut:

3.2.1 Pengumpulan Data

Pengumpulan data untuk perencanaan gedung meliputi gambar arsitek dan data tanah.

Data Bangunan Eksisting:

- Nama Gedung : Gedung Hotel Premier Inn
- Lokasi : Surabaya, Jawa Timur
- Fungsi : Hotel
- Jumlah Lantai : 9 Lantai + Semi Basement

- Tinggi Gedung : 33,4 m
- Struktur Utama : Beton

Data Modifikasi Bangunan:

- Nama Gedung : Gedung Hotel Premier Inn
- Lokasi : Surabaya, Jawa Timur
- Fungsi : Hotel
- Jumlah Lantai : 10 Lantai + Semi Basement
- Tinggi Gedung : 42,4 m
- Struktur Utama : *Rectangular Concrete Filled Steel Tube Column* dan *Hexagonal Castellated Beam*
- Sistem Struktur : Sistem *Steel Plate Shear Wall (SPSW)*

3.2.2 Studi Literatur

Studi literatur yang dilakukan antara lain mempelajari buku-buku pustaka, jurnal, studi penelitian terdahulu, maupun peraturan-peraturan yang dapat digunakan untuk perhitungan gedung seperti:

1. American Institute of Steel Construction-Load and Resistance Factor Design (AISC-LRFD).
2. Browsing penelitian terdahulu dan jurnal-jurnal tentang *Hexagonal Castellated Beam*, *Rectangular Concrete Filled Steel Tube Column*, dan *Steel Plate Shear Wall*.
3. Spesifikasi Untuk Bangunan Gedung Baja Struktural (SNI 1729:2015).
4. Tata Cara Perencanaan Ketahanan Gempa Untuk Struktur Bangunan Gedung Dan Non Gedung (SNI 1726:2012).
5. Peraturan Pembebanan Indonesia Untuk Gedung (PPIUG 1983).
6. Persyaratan Beton Struktural Untuk Bangunan Gedung (SNI 2847:2013).

3.2.3 Preliminary Design

Preliminary design struktur sekunder dan struktur primer yang meliputi data-data perencanaan perkiraan dimensi awal dari elemen struktur, penentuan mutu bahan dan material yang digunakan. Preliminary design struktur sebagai berikut:

- a. Preliminary design struktur sekunder

Perencanaan dimensi struktur sekunder meliputi perhitungan pelat, balok anak, tangga dan lift.

- b. Preliminary design struktur primer

Preliminary design struktur primer meliputi :

1. Balok Induk yang direncanakan menggunakan profil baja *Hexagonal Castellated Beam*.
2. Kolom yang direncanakan menggunakan profil baja *Rectangular Concrete Filled Steel Tube Column*.

3.2.4 Pembebanan struktur

Pembebanan pada struktur bangunan merupakan salah satu hal yang terpenting dalam perencanaan sebuah gedung. Kesalahan dalam perencanaan beban atau penerapan beban pada perhitungan akan mengakibatkan kesalahan yang fatal pada hasil desain bangunan tersebut. Untuk itu sangat penting merencanakan pembebanan pada struktur bangunan dengan sangat teliti agar bangunan yang didesain tersebut nantinya akan aman pada saat dibangun dan digunakan. Beberapa jenis beban yang ditinjau dalam perencanaan konstruksi bangunan, yaitu:

1. Beban Mati

Beban mati ialah berat dari semua bagian dari suatu gedung yang bersifat tetap, termasuk segala unsur tambahan, penyelesaian-penyelesaian, mesin-mesin serta peralatan tetap yang merupakan bagian yang tak terpisahkan dari gedung itu. (PPIUG 1983 pasal 1.01)

2. Beban Hidup

Beban hidup ialah semua beban yang terjadi akibat penghunian atau penggunaan suatu gedung, dan didalamnya

termasuk beban-beban pada lantai yang berasal dari barang-barang yang dapat berpindah, mesin-mesin serta peralatan yang tidak merupakan bagian yang tak terpisahkan dari gedung dan dapat diganti selama masa hidup dari gedung itu, sehingga mengakibatkan perubahan dalam pembebanan lantai dan atap tersebut. Khusus pada atap ke dalam beban hidup dapat termasuk beban yang berasal dari air hujan, baik akibat genangan maupun akibat tekanan jatuh (energy kinetic) butiran air. (PPIUG 1983 pasal 1.02)

3. Beban Angin

Beban angin ialah semua beban yang bekerja pada gedung atau bagian gedung yang disebabkan oleh selisih dalam tekanan udara. (PPIUG 1983 pasal 1.03)

Beban angin ditentukan dengan menganggap adanya tekanan positif dan tekanan negatif (isapan), yang bekerja tegak lurus pada bidang-bidang yang ditinjau. (PPIUG 1983 pasal 4.1)

4. Beban Gempa

Perhitungan beban gempa dilakukan dengan analisa respons spectrum yang mengacu pada peraturan gempa SNI 1726:2012. Respons spectrum adalah suatu diagram hubungan antara percepatan respons maksimum suatu sistem satu derajat kebebasan (SDK) akibat gempa tertentu, sebagai fungsi dari faktor redaman dan waktu getar alami. Besarnya Beban Gempa Dasar Nominal horizontal akibat gempa menurut Standar Perencanaan Ketahanan Gempa Untuk Struktur Gedung (SNI 1726:2012), dinyatakan sebagai berikut :

a. Gempa Rencana

Tata cara ini menentukan pengaruh gempa rencana yang ditinjau dalam perencanaan dan evaluasi struktur bangunan gedung serta berbagai bagian dan peralatannya secara umum. Gempa rencana ditetapkan sebagai gempa dengan kemungkinan terlewati besarnya selama umur

struktur bangunan 50 tahun adalah sebesar 2 persen (SNI 1726:2012 Pasal 4.1.1).

b. Faktor Keutamaan dan Kategori Resiko Bangunan

Untuk berbagai kategori risiko struktur bangunan gedung dan non gedung sesuai tabel 3.1 pengaruh gempa rencana terhadapnya harus dikalikan dengan suatu faktor keutamaan I_e menurut tabel 3.2. Khusus untuk struktur bangunan dengan kategori risiko IV, bila dibutuhkan pintu masuk untuk operasional dari struktur bangunan yang bersebelahan, maka struktur bangunan yang bersebelahan tersebut harus didesain sesuai dengan kategori risiko IV.

Tabel 3.1. Kategori Risiko Bangunan Gedung untuk Beban Gempa

Jenis pemanfaatan	Kategori risiko
Gedung dan non gedung yang memiliki risiko rendah terhadap jiwa manusia pada saat terjadi kegagalan, termasuk, tapi tidak dibatasi untuk, antara lain: <ul style="list-style-type: none"> - Fasilitas pertanian, perkebunan, pertemakan, dan perikanan - Fasilitas sementara - Gudang penyimpanan - Rumah jaga dan struktur kecil lainnya 	I
Semua gedung dan struktur lain, kecuali yang termasuk dalam kategori risiko I,III,IV, termasuk, tapi tidak dibatasi untuk: <ul style="list-style-type: none"> - Perumahan - Rumah toko dan rumah kantor - Pasar - Gedung perkantoran - Gedung apartemen/ rumah susun - Pusat perbelanjaan/ mall - Bangunan industri - Fasilitas manufaktur - Pabrik 	II
Gedung dan non gedung yang memiliki risiko tinggi terhadap jiwa manusia pada saat terjadi kegagalan, termasuk, tapi tidak dibatasi untuk: <ul style="list-style-type: none"> - Bioskop - Gedung pertemuan - Stadion - Fasilitas kesehatan yang tidak memiliki unit bedah dan unit gawat darurat - Fasilitas penitipan anak - Penjara - Bangunan untuk orang jompo 	
Gedung dan non gedung, tidak termasuk kedalam kategori risiko IV, yang memiliki potensi untuk menyebabkan dampak ekonomi yang besar dan/atau gangguan massal terhadap kehidupan masyarakat sehari-hari bila terjadi kegagalan, termasuk, tapi tidak dibatasi untuk: <ul style="list-style-type: none"> - Pusat pembangkit listrik biasa - Fasilitas penanganan air - Fasilitas penanganan limbah - Pusat telekomunikasi 	III
Gedung dan non gedung yang tidak termasuk dalam kategori risiko IV, (termasuk, tetapi tidak dibatasi untuk fasilitas manufaktur, proses, penanganan, penyimpanan, penggunaan atau tempat pembuangan bahan bakar berbahaya, bahan kimia berbahaya, limbah berbahaya, atau bahan yang mudah meledak) yang mengandung bahan beracun atau peledak di mana jumlah kandungan bahannya melebihi nilai batas yang disyaratkan oleh instansi yang berwenang dan cukup menimbulkan bahaya bagi masyarakat jika terjadi kebocoran.	

<p>Gedung dan non gedung yang ditunjukkan sebagai fasilitas yang penting, termasuk, tetapi tidak dibatasi untuk:</p> <ul style="list-style-type: none"> - Bangunan-bangunan monumental - Gedung sekolah dan fasilitas pendidikan - Rumah sakit dan fasilitas kesehatan lainnya yang memiliki fasilitas bedah dan unit gawat darurat - Fasilitas pemadam kebakaran, ambulans, dan kantor polisi, serta garasi kendaraan darurat - Tempat perlindungan terhadap gempa bumi, angin badai, dan tempat perlindungan darurat lainnya - Fasilitas kesiapan darurat, komunikasi, pusat operasi dan fasilitas lainnya untuk tanggap darurat - Pusat pembangkit energi dan fasilitas publik lainnya yang dibutuhkan pada saat keadaan darurat - Struktur tambahan (termasuk menara telekomunikasi, tangki penyimpanan bahan bakar, menara pendingin, struktur stasiun listrik, tangki air pemadam kebakaran atau struktur rumah atau struktur pendukung air atau material atau peralatan pemadam kebakaran) yang disyaratkan untuk beroperasi pada saat keadaan darurat 	IV
Gedung dan non gedung yang dibutuhkan untuk mempertahankan fungsi struktur bangunan lain yang masuk ke dalam kategori risiko IV.	

(SNI 1726:2012 Tabel 1)

Tabel 3.2. Faktor Keutamaan Gempa

Kategori risiko	Faktor keutamaan gempa, I_e
I atau II	1,0
III	1,25
IV	1,50

(SNI 1726:2012 Tabel 2)

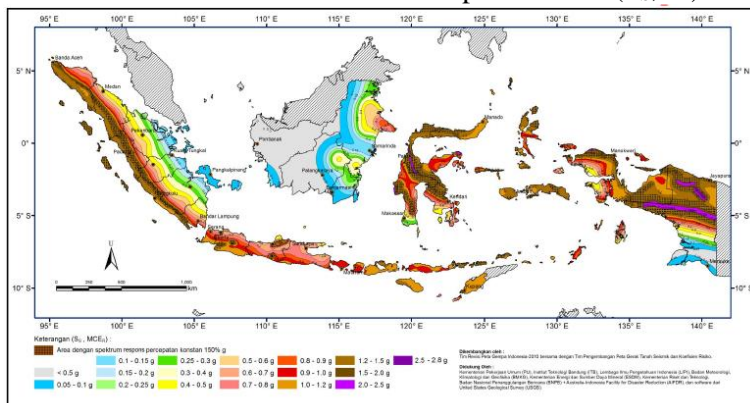
c. Menentukan Klasifikasi Situs

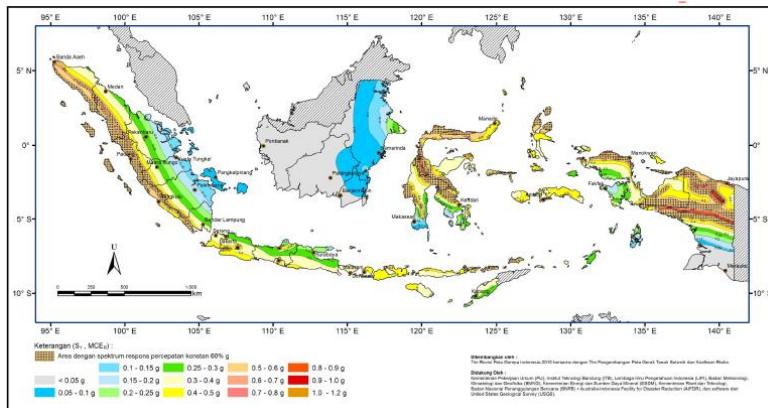
Menurut pasal 5.3 SNI 1726:2012 kelas situs disesuaikan dengan jenis tanah yang ada. Klasifikasi situs dapat dilihat pada tabel 3.3

Tabel 3.3. Klasifikasi Situs

Kelas situs	\bar{v}_s (m/detik)	\bar{N} atau \bar{N}_a	\bar{s}_u (kPa)
SA (batuan keras)	> 1500	N/A	N/A
SB (batuan)	750 sampai 1500	N/A	N/A
SC (tanah keras, sangat padat dan batuan lunak)	350 sampai 750	>50	≥ 100
SD (tanah sedang)	175 sampai 350	15 sampai 50	50 sampai 100
SE (tanah lunak)	< 175	<15	< 50
	Atau setiap profil tanah yang mengandung lebih dari 3 m tanah dengan karakteristik sebagai berikut :		
	<ol style="list-style-type: none"> Indeks plastisitas, $PI > 20$, Kadar air, $w \geq 40$ persen, dan Kuat geser niralir $s_u < 25$ kPa 		
SF (tanah khusus, yang membutuhkan investigasi geoteknik spesifik dan analisis respon spesifik-situs yang mengikuti Pasal 6.9.1)	<p>Setiap profil lapisan tanah yang memiliki salah satu atau lebih dari karakteristik berikut:</p> <ul style="list-style-type: none"> Rawaan dan berpotensi gagal atau runtuh akibat beban gempa seperti mudah likuifaksi, lempung sangat sensitif, tanah tersementasi lemah Lempung sangat organik dan/atau gambut (ketebalan $H > 3$ m) Lempung berplastisitas sangat tinggi (ketebalan $H > 7,5$ m dengan Indeks Plastisitas $PI > 75$) <p>Lapisan lempung lunak/setengah tegu dengan ketebalan $H > 35$ m dengan $s_u < 50$ kPa</p>		

(SNI 1726:2012 Tabel 3)

d. Menentukan Parameter Percepatan Tanah (S_s , S_1)**Gambar 3.2 Peta untuk S_s**



Gambar 3.3 Peta untuk S₁

e. Menentukan Faktor Koefisien Situs (F_a, F_v)

Dalam SNI 1726:2012 terdapat tahapan mendesain spektrum respon dengan menghitung persamaan-persamaan sesuai dengan periode. Dari parameter S_s (percepatan batuan dasar periode pendek) dan parameter S_1 (percepatan batuan dasar pada periode 1 detik), didapat parameter spektrum respon dengan menggunakan persamaan berikut :

$$S_{MS} = F_a S_s \quad (3.1)$$

$$S_{M1} = F_v S_1 \quad (3.2)$$

Keterangan :

S_{MS} = parameter spektrum respons percepatan pada periode pendek

S_{M1} = parameter spektrum respons percepatan pada periode 1 detik

F_a = faktor amplifikasi getaran terkait percepatan pada getaran periode pendek

F_v = faktor amplifikasi terkait percepatan yang mewakili getaran periode 1 detik

Tabel 3.4. Koefisien Situs, F_a

Kelas situs	Parameter respons spektral percepatan gempa (MCE_R) terpetakan pada perioda pendek, $T=0,2$ detik, S_a				
	$S_a \leq 0,25$	$S_a = 0,5$	$S_a = 0,75$	$S_a = 1,0$	$S_a \geq 1,25$
SA	0,8	0,8	0,8	0,8	0,8
SB	1,0	1,0	1,0	1,0	1,0
SC	1,2	1,2	1,1	1,0	1,0
SD	1,6	1,4	1,2	1,1	1,0
SE	2,5	1,7	1,2	0,9	0,9
SF			SS ^a		

CATATAN :

- (a) Untuk nilai-nilai antara S_a dapat dilakukan interpolasi linier
 (b) SS= Situs yang memerlukan investigasi geoteknik spesifik dan analisis respons situs-spesifik, lihat 6.10.1

(SNI 1726:2012 Tabel 4)

Tabel 3.5. Koefisien Situs, F_v

Kelas situs	Parameter respons spektral percepatan gempa MCE_R terpetakan pada perioda 1 detik, S_v				
	$S_v \leq 0,1$	$S_v = 0,2$	$S_v = 0,3$	$S_v = 0,4$	$S_v \geq 0,5$
SA	0,8	0,8	0,8	0,8	0,8
SB	1,0	1,0	1,0	1,0	1,0
SC	1,7	1,6	1,5	1,4	1,3
SD	2,4	2	1,8	1,6	1,5
SE	3,5	3,2	2,8	2,4	2,4
SF			SS ^b		

CATATAN :

- (a) Untuk nilai-nilai antara S_v dapat dilakukan interpolasi linier
 (b) SS= Situs yang memerlukan investigasi geoteknik spesifik dan analisis respons situs-spesifik, lihat 6.10.1

(SNI 1726:2012 Tabel 5)

f. Menghitung Parameter Percepatan Desain (S_{DS} , S_{D1})

Setelah menghitung parameter spektrum respons, dapat dilakukan perhitungan parameter percepatan spektral desain untuk perioda pendek (S_{DS}) dan pada perioda 1 detik (S_{D1}) melalui perumusan berikut ini :

$$S_{DS} = \frac{2}{3} S_{MS} \quad (3.3)$$

$$S_{D1} = \frac{2}{3} S_{M1} \quad (3.4)$$

Setelah menghitung parameter percepatan spektral desain, grafik respon spektrum dapat dibuat dengan ketentuan di bawah ini:

- Untuk $T < T_0$: $S_a = S_{DS} \left(0,4 + 0,6 \frac{T}{T_0}\right)$ (3.5)

- Untuk $T_0 < T < T_S$: $S_a = S_{DS}$ (3.6)

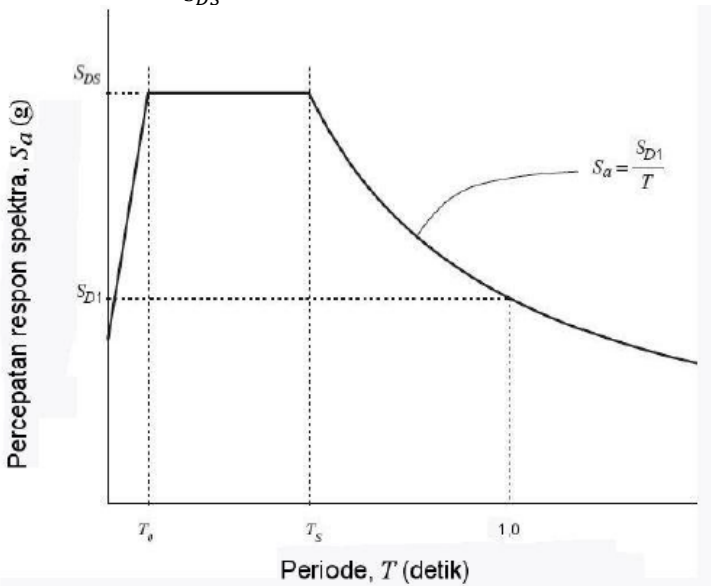
- Untuk $T > T_S$: $S_a = \frac{S_{D1}}{T}$ (3.7)

Keterangan :

T = periode getar fundamental struktur.

$$T_0 = 0,2 \frac{S_{D1}}{S_{DS}} \quad (3.8)$$

$$T_S = \frac{S_{D1}}{S_{DS}} \quad (3.9)$$



Gambar 3.4 Spektrum Respons Desain

g. Menghitung Kategori Desain Seismik

Setiap struktur harus ditetapkan memiliki suatu kategori desain seismik. Kategori desain seismik yang diklasifikasikan oleh SNI 1726-2012 dapat dilihat pada tabel 2.6 dan 2.7

Tabel 3.6. Kategori desain seismik berdasarkan parameter respon percepatan pada perioda pendek

Nilai S_{DS}	Kategori risiko	
	I atau II atau III	IV
$S_{DS} < 0,167$	A	A
$0,167 \leq S_{DS} < 0,33$	B	C
$0,33 \leq S_{DS} < 0,50$	C	D
$0,50 \leq S_{DS}$	D	D

(SNI 1726-2012, Tabel 6)

Tabel 3.7. Kategori desain seismik berdasarkan parameter respon percepatan pada perioda 1 detik

Nilai S_{D1}	Kategori risiko	
	I atau II atau III	IV
$S_{D1} < 0,067$	A	A
$0,067 \leq S_{D1} < 0,133$	B	C
$0,133 \leq S_{D1} < 0,20$	C	D
$0,20 \leq S_{D1}$	D	D

(SNI 1726-2012, Tabel 7)

h. Sistem dan Parameter Struktur (R , C_d , Ω_o)

Bila sistem yang berbeda digunakan, masing-masing nilai R , C_d , Ω_o , harus dikenakan pada setiap sistem, termasuk batasan sistem struktur (SNI 1726:2012 Pasal 7.2-2).

- i. Menentukan prosedur analisis Gaya lateral. SNI 1726:2012 memberikan petunjuk untuk tiga prosedur analisis, yaitu :
 - Analisis gaya lateral equivalent (GLE atau ELF)
 - Analisis Super posisi Ragam (MSA)
 - Analisis Riwayat Waktu (RHA)

5. Kombinasi Pembebatan

Konfigurasi kombinasi pembebatan berdasarkan SNI 1726-2012 dapat dilihat sebagai berikut :

- 1,4D
- 1,2D + 1,6L + 0,5(Lr atau R)
- 1,2D + 1,6(Lr atau R) + (L atau 0,5W)
- 1,2D + 1,0W + L + 0,5(Lr atau R)
- 1,2D + 1,0E + L
- 0,9D + 1,0W
- 0,9D + 1,0E

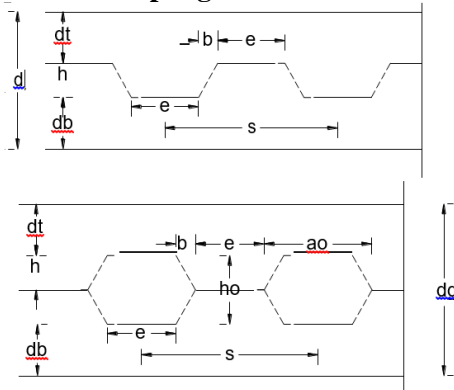
Dimana :

- | | |
|----|---------------------------------|
| D | = Dead Load (Beban Mati) |
| L | = Life Load (Beban Hidup) |
| E | = EarthQuake Load (Beban Gempa) |
| Lr | = Life Roof (Beban Atap) |
| R | = Rainfall Load (Beban Hujan) |
| W | = Wind Load (Beban Angin) |

3.2.5 Kontrol Dimensi Struktur

A. Perencanaan Hexagonal Castellated Beam

1. Kontrol Penampang



Gambar 3.5 Geometri Hexagonal Castellated Beam

Syarat lubang ho (ASCE 4.5 hal. 3320)

$$ho \leq 0,7 dg \quad (3.10)$$

Syarat dt dan db (ASCE 4.6 hal. 3320)

$$dt \text{ dan } db \geq 0,15 dg \quad (3.11)$$

Tekuk Lokal

$$\lambda_f = \frac{b}{2.t_f} \rightarrow \text{untuk sayap} \quad (3.12)$$

$$\lambda_w = \frac{h}{t_w} \rightarrow \text{untuk badan} \quad (3.13)$$

Berdasarkan **SNI 1729:2015 tabel B4.1b**, syarat penampang kompak tidak boleh melebihi :

$$\lambda_p = 0,38 \sqrt{\frac{E}{F_y}} \quad \rightarrow \text{untuk sayap} \quad (3.14)$$

$$\lambda_p = 3,76 \sqrt{\frac{E}{F_y}} \quad \rightarrow \text{untuk badan} \quad (3.15)$$

Cek persyaratan :

$$\lambda_f < \lambda_p \quad (3.16)$$

$$\lambda_w < \lambda_p \quad (3.17)$$

2. Kontrol Tekuk Badan Profil Hexagonal Castellated Beam (ASCE 4.2 hal 3319)

$$a. \quad \frac{d-2t_f}{t_w} < \frac{1365}{\sqrt{F_y}}, F_y \text{ dalam MPa} \quad (3.18)$$

$$b. \quad \frac{d-2t_f}{t_w} < \frac{1100}{\sqrt{F_y}}, F_y \text{ dalam MPa} \quad (3.19)$$

Syarat :

$$\frac{a_o}{h_o} \leq 3 \quad (3.20)$$

untuk balok non-komposit dan balok komposit pada momen negatif :

$$V_m \leq \frac{2}{3} V_p \quad (3.21)$$

untuk balok komposit pada momen positif :

$$V_m \leq \frac{2}{3} V_p + V_c \quad (3.22)$$

$$c. \quad \frac{1100}{\sqrt{F_y}} < \frac{d-2t_f}{t_w} < \frac{1365}{\sqrt{F_y}}, F_y \text{ dalam MPa} \quad (3.23)$$

Syarat :

$$\frac{a_o}{h_o} \leq 2,2 \quad (3.24)$$

$$V_m \leq 0,45 V_p \quad (3.25)$$

Dimana :

$$V_p = \frac{F_y t_w d}{\sqrt{3}} \quad (3.26)$$

$$V_c = V_p \left(\frac{\mu}{v} - 1 \right) \geq 0 \text{ atau } V_{mt} (\text{sh}) - V_{pt} \\ (\text{pilih yang terkecil}) \quad (3.27)$$

d. Parameter lubang

Syarat lubang *(ASCE 4.2 hal. 3319)*

$$p_o = \left(\frac{a_o}{h_o} \right) + \left(\frac{6 h_o}{d} \right) < 5,6$$

$$\text{untuk balok baja} \quad (3.28)$$

$$p_o = \left(\frac{a_o}{h_o} \right) + \left(\frac{6 h_o}{d} \right) < 6,0$$

$$\text{untuk balok komposit} \quad (3.29)$$

**3. Momen Lentur Nominal Balok Non Komposit
(ASCE 3.2 hal. 3327)**

$$M_u \leq \emptyset M_n \quad (3.30)$$

$$M_p = Z_x \cdot F_y \quad (3.31)$$

$$\Delta A_s = h_o \cdot t_w \quad (3.32)$$

$$e = 0,25 \cdot h_o \quad (3.33)$$

$$M_n = M_p - \left[F_y \Delta A_s \left(\frac{h_o}{4} + e \right) \right] \quad (3.34)$$

Dimana :

M_n = momen lentur nominal balok

h_o = tinggi lubang

t_w = tebal plat badan

e = eksentrisitas lubang

F_y = kuat leleh baja

4. Kontrol Kuat Geser (*ASCE 3.3 hal. 3316*)

Untuk tee atas dan tee bawah

$$V_{pt} = \frac{F_y t_w d}{\sqrt{3}} \quad (3.35)$$

$$av = \frac{(\sqrt{6} + \mu)}{(v + \sqrt{3})} \leq 1 \quad (3.36)$$

$$V_{nt} = \frac{(\sqrt{6} + \mu)}{(v + \sqrt{3})} V_{pt} \quad (3.37)$$

$$\text{Syarat : } V_{nt} \leq V_{pt} \quad (3.38)$$

Dimana :

V_{nt} = kuat geser satu tee

V_{pt} = kuat geser plastis satu tee

μ = 0

v = $\frac{0}{dt}$

5. Persamaan Interaksi Lentur dan Geser (*ASCE 3.1 hal. 3316*)

$$\left(\frac{M_u}{\phi M_n} \right)^3 + \left(\frac{V_u}{\phi V_n} \right)^3 \leq 1 \quad (3.39)$$

6. Kontrol Jarak Antar Lubang

$$s \geq h_o \quad (3.40)$$

Dimana :

$$s = 2(b + e) \quad (3.41)$$

B. Perencanaan *Rectangular Concrete Filled Steel Tube Column*

Kolom komposit *Rectangular Concrete Filled Steel Tube* menerima kombinasi normal dan lentur.

1. Kriteria untuk Kolom Bagi Struktur Tekan

- Kontrol luas penampang minimum profil baja

$$\frac{A_s}{A_c + A_s} \times 100\% \geq 4\% \quad (3.42)$$

- Kontrol tebal minimum penampang baja berongga yang diisi beton

$$t \geq b \sqrt{\frac{f_y}{3E}} \quad (3.43)$$

2. Kuat Nominal Tekan Kolom Komposit RCFT

Batasan rasio lebar terhadap ketebalan untuk elemen baja tekan harus ditentukan sebagai berikut:

Untuk profil HSS yang diisi dengan beton dengan ketebalan profil baja sama di semua sisi.

$$\lambda = \frac{b_f}{2t_f} \quad (3.44)$$

$$\lambda_p = 2.26 \sqrt{\frac{E}{f_y}} \text{ (kompak)} \quad (3.45)$$

$$\lambda_r = 3.00 \sqrt{\frac{E}{f_y}} \text{ (tak kompak)} \quad (3.46)$$

$$5.00 \sqrt{\frac{E}{f_y}} \text{ (maksimum yang diijinkan)} \quad (3.47)$$

Untuk komponen struktur komposit yang terisi beton

- Untuk penampang kompak

$$P_{no} = P_p \quad (3.48)$$

Dengan,

$$P_p = f_y A_s + C_2 f_c \left(A_c + A_{sr} \frac{E_s}{E_c} \right) \quad (3.49)$$

- Untuk penampang nonkompak

$$P_{no} = P_p - \frac{P_p - P_y}{(\lambda_r - \lambda_p)^2} (\lambda - \lambda_p)^2 \quad (3.50)$$

Dengan,

$$P_y = f_y A_s + 0.7 f_c \left(A_c + A_{sr} \frac{E_s}{E_c} \right) \quad (3.51)$$

- Untuk penampang langsing

$$P_{no} = f_{cr} A_s + 0.7 f_c \left(A_c + A_r \frac{E_s}{E_c} \right) \quad (3.52)$$

Penampang persegi diisi beton,

$$f_{cr} = \frac{9E_s}{\left(\frac{b}{t}\right)^2} \quad (3.53)$$

3. Amplifikasi Momen

Kekuatan lentur orde pertama yang diperlukan, M_r , dan ketentuan aksial, P_r , dari semua komponen struktur harus ditentukan sebagai berikut:

$$M_r = B_1 M_{nt} + B_2 M_t \quad (3.54)$$

$$P_r = P_{nt} + B_2 P_t \quad (3.55)$$

Keterangan :

B_1 = Pengali untuk menghitung efek $P-\delta$, ditentukan untuk setiap komponen struktur yang menahan tekan dan lentur.

B_2 = Pengali untuk menghitung efek $P-\delta$, ditentukan untuk setiap tingkat dari struktur.

M_{lt} = Momen orde pertama menggunakan kombinasi beban DFBK.

M_{nt} = Momen orde pertama menggunakan kombinasi beban DFBK.

M_r = Momen lentur orde kedua yang diperlukan menggunakan kombinasi beban DBK.

P_{lt} = Gaya aksial orde pertama menggunakan kombinasi beban DFBK

P_{nt} = Gaya aksial orde pertama menggunakan kombinasi beban DFBK

P_r = Kekuatan aksial orde kedua yang diperlukan menggunakan kombinasi beban DFBK

- **Pengali B_1 untuk Efek $P-\delta$**

$$B_1 = \frac{C_m}{1 - \alpha \frac{P_r}{P_{el}}} \geq 1 \quad (3.56)$$

Dengan,

$\alpha = 1.00$ (DFBK)

C_m = koefisien dengan asumsi tanpa translasi lateral dari portal yang ditentukan sebagai berikut :

$$C_m = 0.6 - 0.4 \left(\frac{M_1}{M_2} \right) \quad (3.57)$$

Dengan M_1 dan M_2 dihitung dari analisis orde pertama, adalah momen terkecil dan terbesar pada ujung-ujung dari bagian komponen.

P_{el} = Kekuatan tekuk kritis elastis komponen struktur dalam bidang lentur, dihitung berdasarkan asumsi tanpa translasi pada ujung-ujung komponen struktur.

$$P_{el} = \frac{\pi^2 EI^*}{(K_1 L)^2} \quad (3.58)$$

Dengan,

EI^* = kekakuan lentur yang diperlukan yang harus digunakan dalam analisis (
 $= 0.8\tau_c EI$ bila digunakan dalam metode analisis langsung dengan τ_c adalah seperti ditetapkan pada Bab C SNI 1729:2015 untuk panjang efektif dan metode analisis orde pertama)

E = Modulus elastisitas baja 200000 MPa

I = Momen inersia bidang lentur, mm^4

L = Panjang komponen struktur, mm

K_1 = faktor panjang efektif dalam bidang lentur, dihitung berdasarkan asumsi translasi lateral pada ujung-ujung komponen struktur.

- Pengali B_2 untuk Efek $P - \Delta$

$$B_2 = \frac{1}{1 - \frac{\alpha P_{story}}{P_{e_story}}} \quad (3.59)$$

Dengan,

α = 1.00 (DFBK)

P_{story} = Beban vertikal total didukung oleh tingkat menggunakan kombinasi beban DFBK yang sesuai, termasuk beban-beban dalam kolom-kolom yang bukan merupakan bagian dari sistem pernahan gaya lateral.

P_{e_story} = Kekuatan tekuk kritis elastis untuk tingkat pada arah translasi yang diperhitungkan, ditentukan dengan analisis tekuk *sidesway* atau sebagai berikut:

$$P_{e_story} = R_M \frac{HL}{\Delta_H} \quad (3.60)$$

Dengan,

$$R_M = 1 - 0.15 \left(\frac{P_{mf}}{P_{story}} \right)$$

L = Tinggi tingkat, mm

P_{mf} = Beban vertikal total pada kolom dalam tingkat yang merupakan bagian dari portal momen.

Δ_H = Simpangan tingkat dalam orde pertama.

H = Geser tingkat, dalam arah translasi harus diperhitungkan, dihasilkan oleh gaya-

gaya lateral yang digunakan untuk mengitung Δ_H , N

4. Momen Nominal

Momen nominal pada kolom diperhitungkan sama dengan balok dengan dua arah sumbu penampang yaitu x dan y.

$$M_u \leq \phi M_n \quad (3.61)$$

Keterangan:

M_u = momen lentur terfaktor

ϕ = faktor tahanan = 0,9

M_n = kuat nominal dari momen lentur penampang

Untuk profil HSS yang diisi dengan beton dengan ketebalan profil baja sama di semua sisi.

$$\lambda = \frac{b_f}{2t_f} \quad (3.62)$$

$$\lambda_p = 1.12 \sqrt{\frac{E}{f_y}} \text{ (kompak)} \quad (3.63)$$

$$\lambda_r = 1.40 \sqrt{\frac{E}{f_y}} \text{ (tak kompak)} \quad (3.64)$$

Untuk komponen struktur berpenampang kotak/persegi

- Untuk penampang kompak

$$M_n = M_p = f_y Z \quad (3.65)$$

- Untuk penampang nonkompak

$$M_n = M_p - \left(M_p - f_y S \left(3.57 \frac{b}{t_f} \sqrt{\frac{f_y}{E}} - 4.0 \right) \right) \leq M_p \quad (3.66)$$

- Untuk penampang langsing

$$M_n = f_y S_e \quad (3.67)$$

Dimana,

S_e = Modulus penampang efektif yang ditentukan dengan lebar efektif, b_e , dari sayap yang diambil sebersar:

$$b_e = 1.92 t_f \sqrt{\frac{E}{f_y}} \left(1 - \frac{0.38}{\sqrt{\frac{b}{t_f}}} \sqrt{\frac{E}{f_y}} \right) \leq b \quad (3.68)$$

5. Persamaan Interaksi Aksial momen

Interaksi beban aksial tekan dan lentur pada bidang simetris komponen struktur komposit ditentukan berdasarkan

- Untuk $\frac{P_r}{P_c} \geq 0.2$

$$\frac{P_r}{P_c} + \frac{8}{9} \left(\frac{M_{rx}}{M_{cx}} + \frac{M_{ry}}{M_{cy}} \right) \leq 1.0 \quad (3.69)$$

- Untuk $\frac{P_r}{P_c} < 0.2$

$$\frac{P_r}{2P_c} + \left(\frac{M_{rx}}{M_{cx}} + \frac{M_{ry}}{M_{cy}} \right) \leq 1.0 \quad (3.70)$$

Keterangan :

P_r = Kekuatan aksial perlu menggunakan kombinasi beban DFBK, N

$P_c = \phi_c P_n$ = Kekuatan aksial desain, N

M_r = Kekuatan momen perlu menggunakan kombinasi beban DFBK, Nmm

$M_c = \phi_b M_n$ = Kekuatan lentur desain, Nmm

ϕ_c = faktor ketahanan untuk tekan = 0.90

ϕ_b = faktor ketahanan untuk lentur = 0.90

3.2.6 Perencanaan Dinding Geser Pelat Baja (Steel Plate Shear Wall)

1. Syarat Panel

$$0,8 < \frac{L}{b} < 2,5 \quad (3.71)$$

2. Kontrol Sudut kemiringan Tarik Plat $30^\circ < \alpha < 55^\circ$

$$\alpha = \tan^{-1} \sqrt[4]{\frac{1 + \frac{t \cdot L}{2A_e}}{1 + t \cdot h_s \cdot \left(\frac{1}{A_b} + \frac{h^3}{360 \cdot I_c \cdot L} \right)}} \quad (3.72)$$

Dimana :

t = ketebalan plat

A_c = luas penampang kolom

I_c = momen inersia kolom

h_s = tinggi tiap lantai

A_b = luas penampang balok

Momen inersia kolom harus memenuhi persamaan berikut:

$$I_c \geq \frac{0.00307 \cdot t \cdot h_s^4}{L} \quad (3.73)$$

3. Kekuatan Geser Nominal Plat

$$V_n = 0.42 f_y t_w L_{cf} \sin 2\alpha \quad (3.74)$$

Dimana :

t_w = ketebalan plat, mm

L_{cf} = jarak bersih antar kolom, mm

3.2.7 Perencanaan Sambungan

3.2.7.1 Sambungan Balok Anak dengan Balok Induk

Sambungan balok induk dengan balok anak merupakan sambungan sendi. Sambungan tersebut didesain hanya untuk menerima beban geser dari balok anak. Sambungan ini direncanakan dengan profil siku.

- ❖ Sambungan siku dengan balok anak

Rencanakan diameter dan mutu baut yang dipergunakan

Kuat geser baut

$$\varnothing \cdot V_n = \varnothing \times r_1 \times f_u \times m \times A_b \quad (3.75)$$

Dimana :

V_n = Kuat geser nominal baut

r_1 = Faktor modifikasi tegangan untuk memperhitungkan ada atau tidak adanya ulir baut pada bidang geser

f_u = Tegangan tarik putus pelat

m = Jumlah bidang geser

A_b = Luas penampang bruto baut

Kuat tumpu baut

$$\varnothing \cdot R_n = \varnothing \times 2,4 \times d_b \times t_p \times f_u \quad (3.76)$$

Dimana :

R_n = Kuat nominal baut

d_b = Diameter baut nominal pada daerah tak berulir

t_p = Tebal pelat

f_u = Tegangan tarik putus pelat

Jumlah baut

$$n = \frac{\varnothing \cdot V_n}{\varnothing \cdot R_n} \quad (3.77)$$

- ❖ Sambungan balok induk dengan siku

Rencanakan diameter dan mutu baut yang dipergunakan

Kuat geser baut

$$\varnothing \cdot V_n = \varnothing \times r_1 \times f_u \times m \times A_b \quad (3.78)$$

Dimana :

V_n = Kuat geser nominal baut

r_1 = Faktor modifikasi tegangan untuk memperhitungkan ada atau tidak adanya ulir baut pada bidang geser

f_u = Tegangan tarik putus pelat

m = Jumlah bidang geser

A_b = Luas penampang bruto

Kuat tumpu baut

$$\varnothing \cdot R_n = \varnothing \times 2,4 \times d_b \times t_p \times f_u \quad (3.79)$$

Dimana :

R_n = Kuat nominal baut

d_b = Diameter baut nominal pada daerah tak berulir

t_p = Tebal pelat

f_u = Tegangan tarik putus pelat

Jumlah baut

$$n = \frac{\varnothing \cdot V_n}{\varnothing \cdot R_n} \quad (3.80)$$

❖ Kontrol siku penyambung

Kontrol leleh

$$\varnothing \cdot f_y \cdot A_g > V_u \quad (3.81)$$

Dimana :

f_y = Tegangan leleh baja

A_g = Luas penampang bruto

V_u = Gaya geser terfaktor

Kontrol patah

$$\varnothing \cdot 0,6 \cdot f_u \cdot A_{nv} > V_u \quad (3.82)$$

Dimana :

f_u = Tegangan tarik putus pelat

A_{nv} = Luas neto penahan geser

$$\begin{aligned}
 A_{nv} &= L_{nv} \cdot t_1 \\
 &= (L - n \varnothing_{lubang}) \cdot t_1 \\
 V_u &= \text{Gaya geser terfaktor}
 \end{aligned}$$

3.2.7.2 Sambungan Balok Utama Tangga dengan Balok Penumpu Tangga

Sambungan balok utama tangga dengan balok penumpu tangga merupakan sambungan sendi. Sambungan tersebut didesain hanya untuk menerima beban geser dari balok utama tangga. Sambungan ini direncanakan dengan profil siku.

- ❖ Sambungan siku dengan balok utama tangga
Rencanakan diameter dan mutu baut yang dipergunakan
Kuat geser baut

$$\varnothing \cdot V_n = \varnothing \times r_1 \times f_u \times m \times A_b \quad (3.83)$$

Dimana :

$$\begin{aligned}
 V_n &= \text{Kuat geser nominal baut} \\
 r_1 &= \text{Faktor modifikasi tegangan untuk} \\
 &\quad \text{memperhitungkan ada atau tidak adanya ulir baut} \\
 &\quad \text{pada bidang geser} \\
 f_u &= \text{Tegangan tarik putus pelat} \\
 m &= \text{Jumlah bidang geser} \\
 A_b &= \text{Luas penampang bruto baut}
 \end{aligned}$$

Kuat tumpu baut

$$\varnothing \cdot R_n = \varnothing \times 2,4 \times d_b \times t_p \times f_u \quad (3.84)$$

Dimana :

$$\begin{aligned}
 R_n &= \text{Kuat nominal baut} \\
 d_b &= \text{Diameter baut nominal pada daerah tak berulir} \\
 t_p &= \text{Tebal pelat} \\
 f_u &= \text{Tegangan tarik putus pelat}
 \end{aligned}$$

Jumlah baut

$$n = \frac{\emptyset \cdot V_n}{\emptyset \cdot R_n} \quad (3.85)$$

- ❖ Sambungan balok penumpu tangga dengan siku
Rencanakan diameter dan mutu baut yang dipergunakan

Kuat geser baut

$$\emptyset \cdot V_n = \emptyset \times r_1 \times f_u \times m \times A_b \quad (3.86)$$

Dimana :

V_n = Kuat geser nominal baut

r_1 = Faktor modifikasi tegangan untuk
memperhitungkan ada atau tidak adanya ulir baut
pada bidang geser

f_u = Tegangan tarik putus pelat

m = Jumlah bidang geser

A_b = Luas penampang bruto baut

Kuat tumpu baut

$$\emptyset \cdot R_n = \emptyset \times 2,4 \times d_b \times t_p \times f_u \quad (3.87)$$

Dimana :

R_n = Kuat nominal baut

d_b = Diameter baut nominal pada daerah tak berulir

t_p = Tebal pelat

f_u = Tegangan tarik putus pelat

Jumlah baut

$$n = \frac{\emptyset \cdot V_n}{\emptyset \cdot R_n} \quad (3.88)$$

- ❖ Kontrol siku penyambung

Kontrol leleh

$$\emptyset \cdot f_y \cdot A_g > V_u \quad (3.89)$$

Dimana :

- f_y = Tegangan leleh baja
 A_g = Luas penampang bruto
 V_u = Gaya geser terfaktor

Kontrol patah

$$\emptyset \cdot 0,6 \cdot f_u \cdot A_{nv} > V_u \quad (3.90)$$

Dimana :

- f_u = Tegangan tarik putus pelat
 A_{nv} = Luas neto penahan geser
 A_{nv} = $L_{nv} \cdot t_1$
 $= (L - n \emptyset_{lubang}) \cdot t_1$
 V_u = Gaya geser terfaktor

3.2.7.3 Sambungan Balok Penumpu Tangga dengan Kolom

Sambungan balok penumpu tangga dengan kolom merupakan sambungan sendi. Sambungan tersebut didesain hanya untuk menerima beban geser dari balok utama tangga. Sambungan ini direncanakan dengan plat sambung.

- ❖ Kontrol plat sambung yang digunakan

$$t_p \leq \frac{f_u}{f_{yp}} t \quad (3.91)$$

Dimana :

- t_p = Tebal pelat
 f_u = Tegangan tarik putus pelat
 f_{yp} = Tegangan leleh minimum yang disyaratkan dari pelat
 t = Tebal profil HSS

- ❖ Sambungan plat sambung dengan balok penumpu tangga
Rencanakan diameter dan mutu baut yang dipergunakan
Kuat geser baut

$$\varnothing \cdot V_n = \varnothing \times r_1 \times f_u \times m \times A_b \quad (3.92)$$

Dimana :

V_n = Kuat geser nominal baut

r_1 = Faktor modifikasi tegangan untuk memperhitungkan ada atau tidak adanya ulir baut pada bidang geser

f_u = Tegangan tarik putus pelat

m = Jumlah bidang geser

A_b = Luas penampang bruto baut

Kuat tumpu baut

$$\varnothing \cdot R_n = \varnothing \times 2,4 \times d_b \times t_p \times f_u \quad (3.93)$$

Dimana :

R_n = Kuat nominal baut

d_b = Diameter baut nominal pada daerah tak berulir

t_p = Tebal pelat

f_u = Tegangan tarik putus pelat

Jumlah baut

$$n = \frac{\varnothing \cdot V_n}{\varnothing \cdot R_n} \quad (3.94)$$

- ❖ Sambungan kolom dengan plat sambung
Rencanakan ketebalan dan mutu las yang dipergunakan

$$A_{we} = (0.707 \times w) \times l_{we} \quad (3.95)$$

Dimana :

A_{we} = Luas efektif las

w = Ukuran kaki las

l_{we} = Lebar efektif las

$$F_{nw} = 0.6F_{EXX} (1.0 + 0.5 \sin^{1.5} \theta) \quad (3.96)$$

Dimana :

F_{nw} = Tegangan nominal logam las

$$\phi R_n = 0.75 F_{nw} A_{we} \quad (3.97)$$

Dimana :

R_n = Kekuatan nominal

A_{we} = Luas efektif las

F_{nw} = Tegangan nominal logam las

❖ Kontrol plat penyambung

Kontrol leleh

$$\emptyset f_y A_g > V_u \quad (3.98)$$

Dimana :

f_y = Tegangan leleh baja

A_g = Luas penampang bruto

V_u = Gaya geser terfaktor

Kontrol patah

$$\emptyset 0.6 f_u A_{nv} > V_u \quad (3.99)$$

Dimana :

f_u = Tegangan tarik putus pelat

A_{nv} = Luas neto penahan geser

$A_{nv} = L_{nv} \cdot t_1$

$= (L - n \emptyset_{lubang}) \cdot t_1$

V_u = Gaya geser terfaktor

3.2.7.4 Sambungan Kolom dengan Kolom

Sambungan kolom dengan kolom direncanakan menggunakan las penetrasi penuh. Gaya-gaya yang bekerja pada sambungan adalah akibat dari beban mati dan beban seismik akibat komponen vertikal. Sambungan ditempatkan pada posisi tengah dari ketinggian lantai.

- ❖ Gaya aksial pada sambungan

$$E_m = \sum \frac{1}{2} R_y f_y \sin(2\alpha) t_w h_c + \sum \left[\frac{2M_{pr}}{L_h} - \frac{q_u}{2} L_{cf} \right] \quad (3.100)$$

- ❖ Momen pada sambungan

$$M_u = M_{VBE(web)} + M_{VBE(HBE)} \quad (3.101)$$

- ❖ Gaya geser pada sambungan

$$V_{VBE(HBE)} = \sum \frac{1}{2} \left(\frac{M_{pc}}{h_c} \right) \quad (3.102)$$

- ❖ Sambungan las pada kolom

Kontrol tegangan las akibat P_u dan M_u :

$$T_u = \frac{M_u}{d_c} \pm P_u \quad (3.103)$$

Kekuatan las tumpul penetrasi penuh :

$$\phi R_n = 0.75 F_{nw} A_{we} \quad (3.104)$$

Dimana :

R_n = Kekuatan nominal

A_{we} = Luas efektif las

F_{nw} = Tegangan nominal logam las

Kontrol las pada daerah sambungan kolom dengan kolom :

$$\left(\frac{V_u}{\phi R_n}\right)^2 + \left(\frac{T_u}{\phi R_n}\right)^2 \leq 1.0 \quad (3.105)$$

Dimana :

V_u = Gaya geser terfaktor

T_u = Gaya tarik perlu

R_n = Kekuatan nominal

3.2.7.5 Sambungan Dinding Geser (SPSW)

Sambungan pada dinding geser direncanakan menggunakan las. Pengelasan dilakukan pada elemen balok (*HBE*) dan kolom (*VBE*). Tipe las yang digunakan yaitu las sudut dan dan las tumpul penetrasi penuh.

- ❖ Sambungan las sudut pada balok (*HBE*)

Rencanakan mutu las yang dipergunakan

$$w_{(HBE)} = \frac{R_y f_y \cos(\alpha) t_w \sqrt{2}}{\phi 0.6 F_{EXX} [1 + 0.5 \cos^{1.5}(\alpha)]} \quad (3.106)$$

- ❖ Sambungan las sudut pada kolom (*VBE*)

Rencanakan mutu las yang dipergunakan

$$w_{(VBE)} = \frac{R_y f_y \sin(\alpha) t_w \sqrt{2}}{\phi 0.6 F_{EXX} [1 + 0.5 \sin^{1.5}(\alpha)]} \quad (3.107)$$

3.2.7.6 Sambungan Balok (HBE) dengan Kolom (VBE) pada Dinding Geer Plat Baja (SPSW)

Sambungan menghubungkan balok (*HBE*) dengan kolom (*VBE*) komposit CFT pada dinding geser (*SPSW*).

- ❖ Kontrol leleh pada plat sambung

$$\left(\frac{V_u}{\phi_y V_n} \right)^2 + \left(\frac{N_u}{\phi_c N_n} \right)^2 \leq 1.0 \quad (3.108)$$

- ❖ Kontrol patah pada plat sambung

$$\left(\frac{V_u}{\phi_y V_n} \right)^2 + \left(\frac{N_u}{\phi_c N_n} \right)^2 \leq 1.0 \quad (3.109)$$

- ❖ Kontrol geser baut

$$\phi R_n = \phi n f_u^u A_b > \sqrt{V_u^2 + N_u^2} \quad (3.110)$$

- ❖ Kontrol kuat tumpu baut

$$\left(\frac{V_u}{\phi R_{nv}} \right)^2 + \left(\frac{N_u}{\phi R_{nh}} \right)^2 \leq 1.0 \quad (3.111)$$

- ❖ Kontrol ukuran las

Rencanakan ketebalan dan mutu las yang dipergunakan

$$A_{we} = (0.707 \times w) \times l_{we} \quad (3.112)$$

Dimana :

A_{we} = Luas efektif las

w = Ukuran kaki las

l_{we} = Lebar efektif las

$$F_{nw} = 0.6 F_{EXX} (1.0 + 0.5 \sin^{1.5} \theta) \quad (3.113)$$

Dimana :

F_{nw} = Tegangan nominal logam las

$$\phi R_n = 0.75 F_{nw} A_{we} \quad (3.114)$$

Dimana :

R_n = Kekuatan nominal

A_{we} = Luas efektif las

F_{nw} = Tegangan nominal logam las

$$\left(\frac{V_u}{\phi R_{nv}} \right)^2 + \left(\frac{N_u}{\phi R_{nh}} \right)^2 \leq 1.0 \quad (3.115)$$

Kontrol sambungan *HBE* dengan *VBE* terhadap momen.

- ❖ Momen yang bekerja pada sambungan

$$M_u = 1.1 R_y Z_b \left(f_{yb} - \frac{P_{HBE}}{A_g} \right) \quad (3.116)$$

Akibat adanya momen, las pada sayap balok bagian atas akan menerima tarikan sebesar :

$$T_u = \frac{M_u d_{\max}}{\sum d^2} \quad (3.117)$$

- ❖ Kontrol ukuran las

Pengelasan dilakukan menggunakan las tumpul miring melebar.

$$A_{we} = (0.707 \times w) \times l_{we} \quad (3.118)$$

Dimana :

$$A_{we} = \text{Luas efektif las}$$

$$w = \text{Ukuran kaki las}$$

$$l_{we} = \text{Lebar efektif las}$$

$$F_{nw} = 0.6F_{EXX} (1.0 + 0.5 \sin^{1.5} \theta) \quad (3.119)$$

Dimana :

$$F_{nw} = \text{Tegangan nominal logam las}$$

Kekuatan las tumpul :

$$\phi R_n = 0.75 F_{nw} A_{we} \quad (3.120)$$

Dimana :

$$R_n = \text{Kekuatan nominal}$$

$$A_{we} = \text{Luas efektif las}$$

$$F_{nw} = \text{Tegangan nominal logam las}$$

3.2.7.7 Sambungan Balok dengan Kolom

Sambungan menghubungkan balok dengan kolom komposit CFT.

- a. Sambungan pen tipe geser dipasang sebagai penumpu beban mati balok dan beban pekerja saat proses pengelasan.
- ❖ Kontrol leleh pada plat sambung

Rencanakan ketebalan, panjang dan mutu pelat yang dipergunakan

Kontrol panjang tekuk $Kl/r \leq 25$, $f_{cr} = f_y$

$$\phi_y V_n = 1.00(0.6)f_y t L \quad (3.121)$$

- ❖ Kontrol patah pada plat sambung

$$A_{nv} = A_g - n(d_b + 1.5 \text{ mm})t \quad (3.122)$$

$$\phi_y V_n = 0.75(0.6)f_u A_{nv} \quad (3.123)$$

- ❖ Kontrol geser baut

$$\phi R_n = \phi n f_u'' A_b \quad (3.124)$$

- ❖ Kontrol kuat tumpu baut

$$\phi R_n = \phi 1.2 L_c f_u \quad (3.125)$$

- ❖ Kontrol ukuran las

Rencanakan ketebalan dan mutu las yang dipergunakan

$$A_{we} = (0.707 \times w) \times l_{we} \quad (3.126)$$

Dimana :

$$A_{we} = \text{Luas efektif las}$$

$$w = \text{Ukuran kaki las}$$

$$l_{we} = \text{Lebar efektif las}$$

$$F_{nw} = 0.6 F_{EXX} (1.0 + 0.5 \sin^{1.5} \theta) \quad (3.127)$$

Dimana :

$$F_{nw} = \text{Tegangan nominal logam las}$$

$$\phi R_n = 0.75 F_{nw} A_{we} \quad (3.128)$$

Dimana :

$$R_n = \text{Kekuatan nominal}$$

$$A_{we} = \text{Luas efektif las}$$

F_{nw} = Tegangan nominal logam las

- b. Sambungan rigid dengan alat sambung las dipasang sebagai penumpu beban aktual.
Akibat adanya momen, las pada sayap balok bagian atas akan menerima tarikan sebesar :

$$T_u = \frac{M_u d_{\max}}{\sum d^2} \quad (3.129)$$

❖ Kontrol ukuran las

Pengelasan dilakukan menggunakan las tumpul miring melebar.

$$A_{we} = (0.707 \times w) \times l_{we} \quad (3.130)$$

Dimana :

A_{we} = Luas efektif las

w = Ukuran kaki las

l_{we} = Lebar efektif las

$$F_{nw} = 0.6 F_{EXX} (1.0 + 0.5 \sin^{1.5} \theta) \quad (3.131)$$

Dimana :

F_{nw} = Tegangan nominal logam las

Kekuatan las tumpul :

$$\phi R_n = 0.75 F_{nw} A_{we} \quad (3.132)$$

Dimana :

R_n = Kekuatan nominal

A_{we} = Luas efektif las

F_{nw} = Tegangan nominal logam las

$$\left(\frac{V_u}{\phi R_{nv}} \right)^2 + \left(\frac{T_u}{\phi R_{nh}} \right)^2 \leq 1.0 \quad (3.133)$$

3.2.7.8 Sambungan Kolom dengan Base Plate

Perencanaan *base plate* digunakan untuk menghubungkan kolom baja dengan kolom pedestal.

- ❖ Sambungan Las pada End Plate

Rencanakan atau asumsikan t_e

$$f_{uw} = \phi 0.6 F_{e100XX} \quad (3.134)$$

Kontrol tegangan las akibat P_u :

$$f_p = \frac{P_u}{A} + \frac{M_u}{S} \quad (3.135)$$

Kontrol tegangan las akibat V_u :

$$f_v = \frac{V_u}{A} + \frac{M_u}{S} \quad (3.136)$$

Kontrol tegangan las total :

$$f_{total} = \sqrt{f_p^2 + f_v^2} \quad (3.137)$$

Kontrol tebal kaki las :

$$t_e = f_{total} / f_{uw} \quad (3.138)$$

$$w = t_e / 0.707 \quad (3.139)$$

Kontrol syarat tebal kaki las:

$$w_{eff(max)} = 1.41 \frac{f_u}{F_{e100XX}} t_p \quad (3.140)$$

- ❖ Perhitungan *base plate*

Termasuk dalam kategori base plate yang memikul gaya aksial, gaya geser dan juga momen lentur dengan intensitas yang cukup kecil, sehingga distribusi tegangan tidak terjadi sepanjang base plate, namun momen lentur yang bekerja masih belum mengakibatkan base plate terangkat dari beton penumpu. Angkur terpasang hanya berfungsi sebagai penahan gaya geser, disamping itu angkur tersebut juga berfungsi menjaga stabilitas struktur selama masa konstruksi.

Jika $f = 540$ mm adalah jarak baut angkur ke as kolom, maka penyelesaian untuk mencari Y adalah :

$$Y = \frac{P_u}{q_{\max}} \quad (3.141)$$

Sisi desak : pelat kantilever $m = 75$ mm, maka tebal pelat lan dasar untuk memikul gaya reaksi beton adalah

$$t_p \geq 1.5m \sqrt{\frac{f_p}{f_y}} \quad (3.142)$$

Kuat rencana geser dan tumpu (1 bidang geser)

$$\phi_f \cdot V_n = V_d = \phi_f \cdot r_1 \cdot f_u^b \cdot A_b \cdot m \quad (3.143)$$

$$\phi_f \cdot R_n = R_d = 2,4 \cdot \phi_f \cdot d_b \cdot t_p \cdot f_u \quad (3.144)$$

Jumlah baut angkur yang dibutuhkan (diambil jumlah yang terbesar antara gaya geser V_{ux} dan V_{uy})

$$n = \frac{V_{uy}}{\phi_f \cdot V_n} = \frac{27283}{11760.4} = 2,32 \quad (3.145)$$

3.2.8 Perencanaan Dinding Basement

Perencanaan struktur dinding basement direncanakan menggunakan plat beton. Dalam perencanaan struktur dinding basement yang mampu

memikul beban vertical dan lateral dapat dilakukan dengan mengikuti diagram alir dan langkah – langkah dalam merencanakan dinding basement dengan plat beton antara lain :

1. Menentukan beban – beban yang akan bekerja pada dinding basement.
2. Perencanaan kedalaman dinding basement dengan metode *free-earth support*
3. Preliminary desain dinding basement
4. Penulangan dan desain dinding basement

3.2.9 Perencanaan Pondasi

Pondasi merupakan bangunan perantara untuk meneruskan beban bagian atas dan gaya-gaya yang bekerja pada pondasi tersebut ke tanah pendukung di bawahnya. Untuk merencanakan pondasi harus memperhatikan jenis dan struktur tanah. Karena sangat berkaitan dengan daya dukung tanah tersebut dalam memikul beban yang terjadi di atasnya. Penyelidikan atas tanah tersebut sangatlah perlu dilakukan agar didapatkan pondasi yang aman.

A. Tiang Pancang Tunggal

Daya dukung ijin tanah pada tiang tunggal menggunakan metode dari Luciano De Court :

$$Q_L = Q_P + Q_S \quad (3.146)$$

$$Q_{ijin\ 1\ tiang} = \frac{Q_u}{SF} \quad (3.147)$$

Dengan :

$$Q_P = q_p \cdot A_p = (N_p \cdot K) \cdot A_p \quad (3.148)$$

$$Q_S = q_p \cdot A_S = (N_S/3 + 1) \cdot A_S \quad (3.149)$$

Dimana :

Q_L = daya dukung tanah maksimum pada pondasi

Q_p = Resistance Ultimate didasar pondasi

Q_s = Resistance Ultimate akibat lekatan lateral

N_p = harga rata-rata SPT di sekitar 4D atas sampai 4D bawah dasar tiang pondasi

K = koefisien karakteristik tanah, untuk tanah lempung 12 t/m², untuk tanah lanau berlempung 20 t/m², untuk tanah lanau berpasir 25 t/m², untuk tanah pasir 40 t/m²

A_p = luas penampang dasar tiang

N_s = harga rata-rata SPT sepanjang tiang yang tertanam

A_s = luas selimut tiang

Daya dukung tanah pada tiang kelompok

$$Q_d = Q_{d(1 \text{ tiang})} n E_k \quad (3.150)$$

Dimana :

E_k = efisiensi kelompok tiang

n = jumlah tiang

$$E_k = 1 - \theta \frac{(n-1)m + (m-1)n}{90.m.n} \quad (\text{persamaan Converse-Labarre}) \quad (3.151)$$

Dimana :

E_k = efisiensi kelompok tiang

m = jumlah tiang dalam baris

n = jumlah tiang dalam kolom

θ = $\text{arc tan } \frac{D}{S}$

D = dimensi tiang pancang

S = jarak antar tiang pancang

Perencanaan Pondasi Tiang Grup

Perhitungan jarak tiang

Untuk jarak as ke as tepi pancang

$$2,5 D \leq S < 3,0 D$$

Untuk jarak tepi ke as tiang pancang

$$1,5 D <$$

$$S_1 < 2 D$$

Dimana :

$$D = \text{diameter tiang pancang}$$

$$S = \text{jarak antar tiang pancang}$$

$$S_1 = \text{jarak as tiang pancang ke tepi}$$

Berdasarkan buku *Analisa dan desain pondasi jilid 2 oleh Joseph E. Bowles, penerbit Erlangga tahun 1999, Jakarta* :

$$n = \frac{\Sigma P}{Pijin} \quad (3.152)$$

Gaya yang dipikul tiang

$$P = \frac{\Sigma P}{n} + \frac{M_y \cdot X_{maks}}{\Sigma x^2} + \frac{M_x \cdot y_{maks}}{\Sigma y^2} \leq Pijin \quad (3.153)$$

Kontrol tiang pancang :

$$P_{max} = \frac{\Sigma P}{n} + \frac{M_y \cdot X_{maks}}{\Sigma x^2} + \frac{M_x \cdot y_{maks}}{\Sigma y^2} < Pijin \quad (3.154)$$

$$P_{min} = \frac{\Sigma P}{n} - \frac{M_y \cdot X_{maks}}{\Sigma x^2} - \frac{M_x \cdot y_{maks}}{\Sigma y^2} > 0 \quad (3.155)$$

Dimana :

$$n = \text{jumlah tiang pancang}$$

$$M_x = \text{momen yang bekerja pada arah X}$$

$$M_y = \text{momen yang bekerja pada arah Y}$$

$$X_{maks} = \text{jarak terjauh as tiang pancang terhadap sumbu X}$$

$$y_{maks} = \text{jarak terjauh as tiang pancang terhadap sumbu Y}$$

$$\Sigma x^2 = \text{jumlah kuadrat jarak as tiang pancang terhadap sumbu X}$$

Σy^2 = jumlah kuadrat jarak as tiang pancang terhadap sumbu Y

B. Perencanaan Poer

Kuat geser nominal

Untuk perencanaan poer, nilai V_c harus diambil sebagai nilai terkecil dari persamaan-persamaan berikut : (SNI 2847:2013 pasal 11.11.2.1)

$$- V_c = 0,17 \left(1 + \frac{2}{\beta}\right) \lambda \sqrt{f'_c b_o d} \quad (3.156)$$

$$- V_c = 0,083 \left(\frac{a_s d}{b_o} + 2\right) \lambda \sqrt{f'_c b_o d} \quad (3.157)$$

$$- V_c = 0,33 \lambda \sqrt{f'_c b_o d} \quad (3.158)$$

Kontrol geser pons pada pile cap akibat beban kolom

Kontrol geser satu arah

$$V_u \leq \emptyset V_n \text{ atau } V_u \leq \emptyset \frac{1}{6} \sqrt{f'_c} b_w d \quad (3.159)$$

Kontrol geser dua arah

$$V_u \leq \emptyset V_n \quad (3.160)$$

Jika,

$V_u < \emptyset V_c$ tidak perlu tulangan geser

$V_u > \emptyset V_c$ tebal poer tidak mencukupi

Kontrol geser pons pada poer akibat beban aksial dari tiang pancang

Kontrol geser pons 2 arah

$$V_u \leq \emptyset V_n \quad (3.167)$$

Jika,

$V_u < \emptyset V_c$ tidak perlu tulangan geser

$V_u > \emptyset V_c$ tebal poer tidak mencukupi

3.2.10 Penggambaran Hasil Perhitungan

Penggambaran hasil perhitungan struktur dalam bentuk Gambar Teknik dilakukan dengan menggunakan program bantu AutoCAD.

BAB IV

ANALISA STRUKTUR

4.1. Perencanaan Struktur Sekunder

4.1.1. Umum

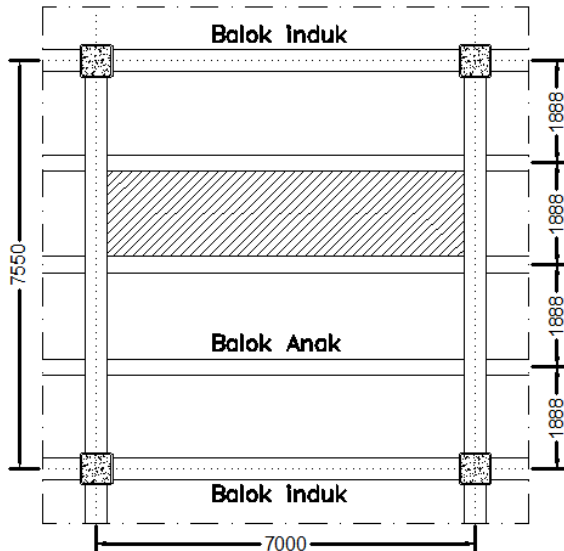
Pada perencanaan struktur sekunder ini, dimensi dan struktur dibuat typical untuk semua gedung.

4.1.2. Perencanaan Dimensi Pelat Lantai Gedung

Perencanaan pelat lantai pada gedung ini menggunakan bantuan tabel perencanaan praktis dari SUPER FLOOR DECK. Struktur lantai direncanakan tanpa penyangga (*no props*). Spesifikasi yang digunakan adalah sebagai berikut:

- Beban mati (berat sendiri bondek dan pelat beton) sudah diperhitungkan
- Berat berguna yang digunakan adalah jumlah beban hidup dan beban-beban finishing lainnya
- Beton menggunakan mutu $f_c' = 25 \text{ MPa}$
- Bondex menggunakan tebal 0.75 mm
- Mutu baja tulangan U-48

A. Pelat Lantai Atap



Gambar 4.1 Pelat Lantai Atap

Peraturan pembebanan pada struktur pelat lantai atap ini menggunakan PPIUG 1983 dan SNI 1727:2013.

Beban Mati :

- Berat aspal $t=2 \text{ cm} : 2 \times 14 = 28 \text{ kg/m}^2$
- Berat plafon + penggantung : $11 + 7 = 18 \text{ kg/m}^2$
- Berat ducting dan plumbing $= 19.528 \text{ kg/m}^2 + q_D = 65.528 \text{ kg/m}^2$

Beban Hidup :

- Lantai atap $q_L = 20 \text{ Psf} = 97.64 \text{ kg/m}^2$

Beban Berguna :

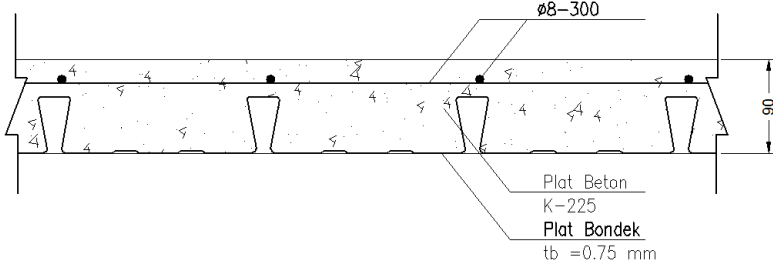
$$- Q_u = q_D + q_L = 65.528 + 97.64 = 163.168 \text{ kg/m}^2 \approx 200 \text{ kg/m}^2$$

Berdasarkan tabel perencanaan praktis untuk bentang menerus dengan tulangan negatif tanpa penyangga didapatkan data-data sebagai berikut:

- Bentang = 1.888 m
- Beban berguna = 200 kg/m²
- Bentang menerus dengan tulangan negatif, didapatkan tebal pelat 9 cm, dan tulangan negatif 1.07 cm²/m

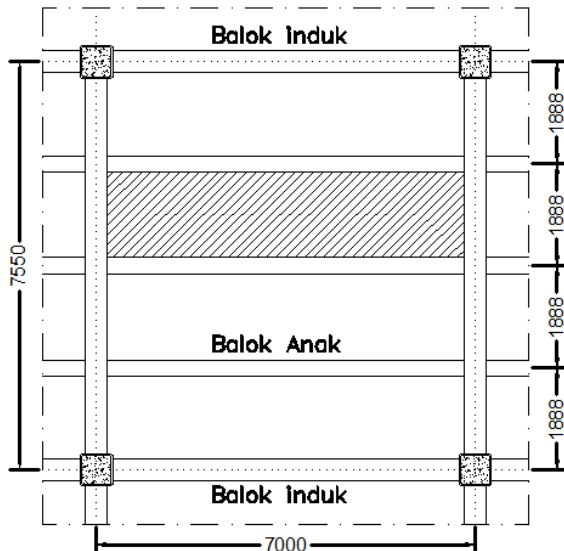
Digunakan wiremesh tulangan Ø 8 (As = 0.503 cm²)
Jumlah tulangan yang dibutuhkan tiap meter adalah :

- $n = \frac{1.07}{0.503} = 2.129 \approx 3$ buah
- Jarak antar tulangan s = $\frac{1000}{2.129} = 469.771$ mm
- Jadi dipasang tulangan negatif Ø 8 – 300



Gambar 4.2 Penulangan Pelat Atap

B. Pelat Lantai



Gambar 4.3 Pelat Lantai

Peraturan pembebatan pada struktur pelat lantai ruangan condotel ini menggunakan PPIUG 1983 dan SNI 1727:2013 .

Beban Mati :

- Berat spesi $t=2$ cm : $2 \times 21 = 42 \text{ kg/m}^2$
 - Berat keramik 1 cm $1 \times 24 = 24 \text{ kg/m}^2$
 - Berat plafon + penggantung $11 + 7 = 18 \text{ kg/m}^2$
 - Berat ducting dan plumbing $= 19.528 \text{ kg/m}^2$
- $$q_D = 19.528 \text{ kg/m}^2 + 103.528 \text{ kg/m}^2$$

Beban Hidup :

- Lantai condotel $q_L = 40 \text{ Psf} = 195.28 \text{ kg/m}^2$

Beban Berguna :

$$Q_u = q_D + q_L = 103.528 + 195.28 = 298.808 \text{ kg/m}^2 \approx 300 \text{ kg/m}^2$$

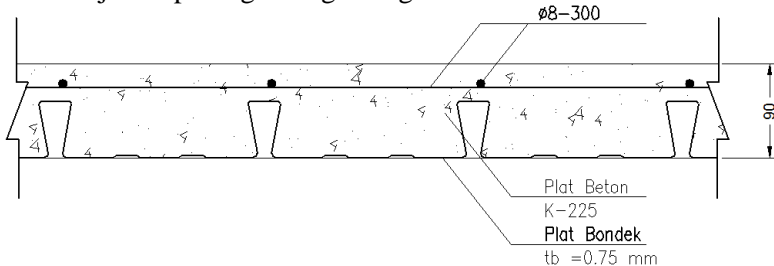
Berdasarkan tabel perencanaan praktis untuk bentang menerus dengan tulangan negatif tanpa penyangga didapatkan data-data sebagai berikut:

- Bentang = 1.888 m
- Beban berguna = 300 kg/m²
- Bentang menerus dengan tulangan negatif, didapatkan tebal pelat 9 cm, dan tulangan negatif 1.31 cm²/m

Digunakan wiremesh tulangan Ø 8 (As = 0.503 cm²)

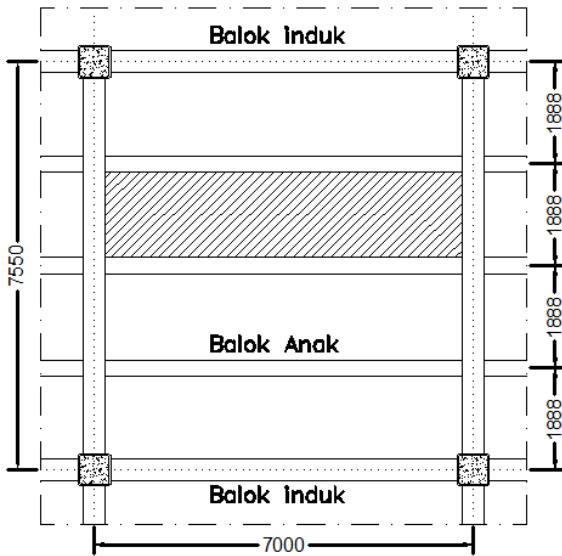
Jumlah tulangan yang dibutuhkan tiap meter adalah :

- $n = \frac{1.31}{0.503} = 2.606 \approx 3$ buah
- jarak antar tulangan = $\frac{1000}{2.606} = 386.706$ mm
- jadi dipasang tulangan negatif Ø 8 – 300



Gambar 4.4 Penulangan Lantai

C. Pelat Lantai Koridor



Gambar 4.5 Pelat Lantai Koridor

Peraturan pembebanan pada struktur pelat lantai ruangan condotel ini menggunakan PPIUG 1983 dan SNI 1727:2013.

Beban Mati :

- Berat spesi 2 cm 2 x 21 = 42 kg/m²
 - Berat keramik 1 cm 1 x 24 = 24 kg/m²
 - Berat plafon + penggantung 11 +7 = 18 kg/m²
 - Berat ducting dan plumbing
- $$q_D = \frac{19.528 \text{ kg/m}^2}{= 103.528 \text{ kg/m}^2}$$

Beban Hidup :

- Lantai condotel $q_L = 100 \text{ Psf} = 488.2 \text{ kg/m}^2$

Beban Berguna :

- $Q_u = q_D + q_L = 103.528 + 488.2 = 591.728 \text{ kg/m}^2 \approx 600 \text{ kg/m}^2$

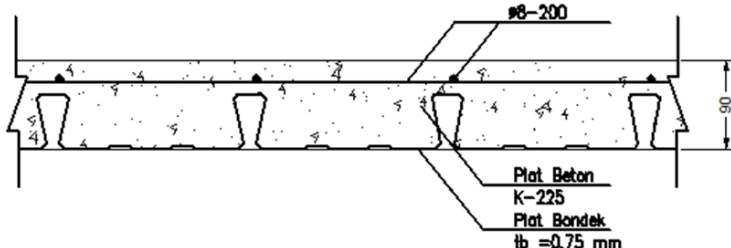
Data-data perencanaan pelat bondek:

- Bentang = 1.888 m
- Beban berguna = 600 kg/m²
- Bentang menerus dengan tulangan negatif, didapatkan tebal pelat 9 cm, dan tulangan negatif 2.03 cm²/m

Digunakan tulangan Ø 8 (As = 0.503 cm²)

Jumlah tulangan yang dibutuhkan tiap meter adalah :

- $n = \frac{2.03}{0.503} = 4.039 \approx 5$ buah
- jarak antar tulangan = $\frac{1000}{4.039} = 247.613$ mm
- jadi dipasang tulangan negatif Ø 8 – 200



Gambar 4.6 Penulangan Lantai Koridor

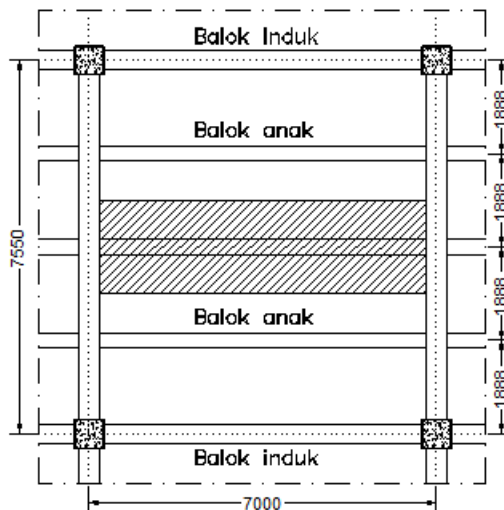
4.1.3. Perencanaan Balok Anak

Fungsi dari balok anak adalah meneruskan serta membagi beban yang dipikul pelat lantai ke balok induk. Balok anak didesain sebagai struktur sekunder sehingga dalam perhitungan tidak menerima beban lateral yang diakibatkan oleh gempa.

A. Balok Anak Lantai Atap

Menggunakan profil WF $300 \times 150 \times 6.5 \times 9$

$$\begin{aligned}
 W &= 36.70 \text{ kg/m} & r &= 13 \text{ mm} & h_w &= 300(9+13) \\
 A &= 46.78 \text{ cm}^2 & Z_x &= 522 \text{ cm}^3 & & = 256 \text{ mm} \\
 t_w &= 6.5 \text{ mm} & i_y &= 3.29 \text{ cm} & b_f &= 150 \text{ mm} \\
 t_f &= 9 \text{ mm} & I_x &= 7210 \text{ cm}^4 & & \\
 d &= 300 \text{ mm} & I_y &= 508 \text{ cm}^4 & &
 \end{aligned}$$



Gambar 4.7 Denah Balok Anak Lantai Atap

1. Pembebanan pada balok anak lantai atap
 - Beban mati
- Berat pelat bondek $= 10.10 \text{ kg/m}^2$

Berat aspal 2 x 14	= 28	kg/m ²
Berat beton 0.90 x 2400	= 216	kg/m ²
Berat plafon + penggantung 11 + 7	= 18	kg/m ²
Berat ducting dan plumbing	= 19.528	kg/m ²
	= 291.628	kg/m ²

Berat perhitungan pelat lantai

$$\begin{aligned} 291.628 \text{ kg/m}^2 \times 1.888 \text{ m} &= 550.448 \text{ kg/m} \\ \text{Berat profil} &= 36.7 \text{ kg/m} \\ q_D &= 587.148 \text{ kg/m} \end{aligned}$$

- Beban hidup (Tabel 4-1. SNI 1727:2013)

$$q_L = 1.888 \text{ m} \times 97.64 \text{ kg/m}^2 = 184.296 \text{ kg/m}$$

- Beban berfaktor :

$$\begin{aligned} q_U &= 1.2 q_D + 1.6 q_L \\ &= 1.2 (587.148) + 1.6 (184.296) = 999.45 \text{ kg/m} \end{aligned}$$

2. Gaya dalam pada balok anak lantai atap

- Momen yang terjadi

$$\begin{aligned} M_U &= \frac{1}{8} \times q_U \times L^2 = \frac{1}{8} \times (999.45) \times (7)^2 \\ &= 6121.633 \text{ kgm} \end{aligned}$$

- Gaya geser yang terjadi

$$\begin{aligned} V_U &= \frac{1}{2} \times q_U \times L = \frac{1}{2} \times (999.45) \times (7) \\ &= 3498.076 \text{ kg} \end{aligned}$$

3. Kontrol penampang profil terhadap gaya lentur

- Kontrol penampang terhadap tekuk lokal

Pelat sayap

$$\lambda = \frac{b_f}{2t_f} = \frac{150}{2 \times 9} = 8.333$$

$$\lambda_p = 0.38 \sqrt{\frac{E}{f_y}} = 0.38 \sqrt{\frac{2 \times 10^5}{250}} = 10.75$$

$$\lambda \leq \lambda_p \rightarrow 8.33 \leq 10.75 \rightarrow \text{penampang sayap kompak}$$

Pelat badan

$$\lambda = \frac{h_w}{t_w} = \frac{256}{6.5} = 39.38$$

$$\lambda_p = 3.76 \sqrt{\frac{E}{f_y}} = 3.76 \sqrt{\frac{2 \times 10^5}{250}} = 106.34$$

$$\lambda \leq \lambda_p \rightarrow 39.38 \leq 106.34 \rightarrow \text{penampang badan kompak}$$

- Karena penampang kompak, maka $M_n = M_p$

$$M_p = f_y \cdot Z_x = 2500 \times 522.077 = 1305191.25 \text{ kgcm}$$

$$= 13051.913 \text{ kgm}$$
- Cek kemampuan penampang

$$\phi_b \cdot M_n \geq M_u$$

$$\phi_b \cdot M_n = 0.9 \times 13051.913$$

$$= 11746.721 \text{ kgm} > 6121.633 \text{ kgm ... OK !}$$
- Kontrol penampang terhadap tekuk lateral
Panjang tak terkekang adalah jarak *shear connector* sesuai tabel perencanaan bondex ($L_b = 40 \text{ cm}$).

$$L_p = 1.76 \times i_y \times \sqrt{\frac{E}{f_y}} = 1.76 \times 3.29 \times \sqrt{\frac{2 \times 10^6}{2500}} = 163.77 \text{ cm}$$

$$L_b \leq L_p \rightarrow 40 \text{ cm} \leq 163.77 \text{ cm} \rightarrow \text{bentang pendek}$$

- Karena bentang pendek, maka $M_n = M_p$

$$M_p = f_y \cdot Z_x = 2500 \times 522.077 = 1305191.25 \text{ kgcm}$$

$$= 13051.9125 \text{ kgm}$$

- Cek kemampuan penampang

$$\varnothing_b \cdot M_n \geq M_u$$

$$\varnothing_b \cdot M_n = 0.9 \times 13051.9125$$

$$= 11746.721 \text{ kgm} > 6121.633 \text{ kgm} \dots \text{OK!}$$

4. Kontrol penampang profil terhadap gaya geser

$$\frac{h_w}{t_w} = \frac{256}{6.5} = 39.38 ;$$

$$1.10 \sqrt{k_v \frac{E}{f_y}} = 1.10 \sqrt{5 \times \frac{2 \times 10^6}{2500}} = 69.57$$

$$\text{karena } \frac{h_w}{t_w} \leq 1.10 \sqrt{k_v \frac{E}{f_y}} \rightarrow 39.38 \leq 69.57$$

maka $C_v = 1.00$; sehingga

$$V_n = 0.6 f_y A_w C_v = 0.6 \times 2500 \times (30 \times 0.65) \times 1.00 = 29250 \text{ kg}$$

$$\varnothing V_n \geq V_u$$

$$\varnothing V_n = 0.9 \times 29250$$

$$= 26325 \text{ kg} > 3498.076 \text{ kg} \dots \text{OK!}$$

5. Kontrol lendutan

$$L = 700 \text{ cm}$$

$$f_{ijin} = \frac{L}{360} = \frac{700}{360} = 1.944 \text{ cm}$$

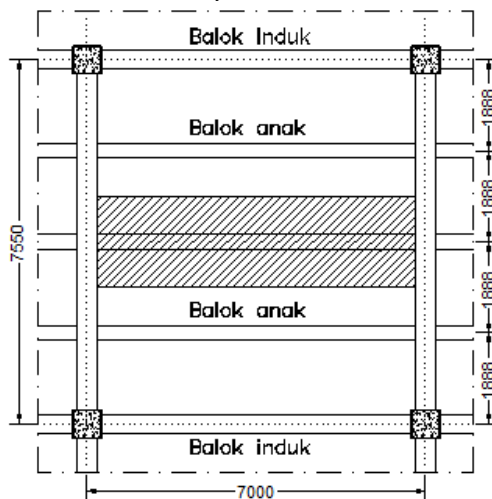
$$f = \frac{5}{384} \times \frac{(qd+ql)L^4}{E I_x} = \frac{5}{384} \times \frac{(5.871+1.843)700^4}{2000000 \times 7210} = 1.673$$

$$f \leq f_{ijin} \rightarrow 1.673 \text{ cm} \leq 1.944 \text{ cm} \dots \text{OK!}$$

B. Balok Anak Lantai Koridor

Menggunakan profil WF $350 \times 175 \times 7 \times 11$

$W = 49.60 \text{ kg/m}$	$r = 14 \text{ mm}$	$h_w = 350 - 2x(11+14)$
$A = 63.14 \text{ cm}^2$	$Z_x = 840.85 \text{ cm}^3$	$= 300 \text{ mm}$
$t_w = 7 \text{ mm}$	$i_y = 3.95 \text{ cm}$	$b_f = 175 \text{ mm}$
$t_f = 11 \text{ mm}$	$I_x = 13600 \text{ cm}^4$	
$d = 350 \text{ mm}$	$I_y = 984 \text{ cm}^4$	



Gambar 4.8 Denah Balok Anak Lantai Koridor

a. Pembebaan pada balok anak lantai koridor

- Beban mati

Berat pelat bondek	$= 10.10 \text{ kg/m}^2$
Berat tegel	$= 24 \text{ kg/m}^2$
Berat beton 0.90×2400	$= 216 \text{ kg/m}^2$
Berat plafon+penggantung $11 + 7 = 18$	kg/m^2
Berat ducting dan plumbing	$= 19.528 \text{ kg/m}^2$
	$= 287.628 \text{ kg/m}^2$

Berat perhitungan pelat lantai

$$287,628 \text{ kg/m}^2 \times 1.888 \text{ m} = 542.898 \text{ kg/m}$$

$$\begin{aligned} \text{Berat profil} &= 49.6 \text{ kg/m} \\ q_D &= 471.108 \text{ kg/m} \end{aligned}$$

- Beban hidup (Tabel 4-1. SNI 1727:2013)
 $q_L = 1.888 \text{ m} \times 488.2 \text{ kg/m}^2 = 921.478 \text{ kg/m}$
- Beban berfaktor :
 $q_U = 1.2 q_D + 1.6 q_L$
 $= 1.2 (592.498) + 1.6 (921.478)$
 $= 2185.361 \text{ kg/m}$

b. Gaya dalam pada balok anak lantai atap

- Momen yang terjadi
 $M_U = \frac{1}{8} \times q_U \times L^2 = \frac{1}{8} \times 2185.361 \times (7)^2$
 $= 13385.339 \text{ kgm}$
- Gaya geser yang terjadi
 $V_U = \frac{1}{2} \times q_U \times L = \frac{1}{2} \times (2185.361) \times (7)$
 $= 7648.765 \text{ kg}$

c. Kontrol penampang profil terhadap gaya lentur

- Kontrol penampang terhadap tekuk lokal
 Pelat sayap

$$\lambda = \frac{b_f}{2t_f} = \frac{175}{2 \times 11} = 7.955$$

$$\lambda_p = 0.38 \sqrt{\frac{E}{f_y}} = 0.38 \sqrt{\frac{2 \times 10^5}{250}} = 10.75$$

$\lambda \leq \lambda_p \rightarrow 7.955 \leq 10.75 \rightarrow$ penampang sayap kompak

Pelat badan

$$\lambda = \frac{h_w}{t_w} = \frac{300}{7} = 42.857$$

$$\lambda_p = 3.76 \sqrt{\frac{E}{f_y}} = 3.76 \sqrt{\frac{2 \times 10^5}{250}} = 106.34$$

$\lambda \leq \lambda_p \rightarrow 42.857 \leq 106.34 \rightarrow$ penampang badan kompak

- Karena penampang kompak, maka $M_n = M_p$
- $M_p = f_y \cdot Z_x = 2500 \times 840.85 = 2102117.5 \text{ kgcm}$
 $= 21021.175 \text{ kgm}$
- Cek kemampuan penampang

$$\begin{aligned} \varnothing_b \cdot M_n &\geq M_u \\ \varnothing_b \cdot M_n &= 0.9 \times 21021.175 \\ &= 18919.058 \text{ kgm} > 13385.339 \text{ kgm} \dots \text{OK !} \end{aligned}$$
- Kontrol penampang terhadap tekuk lateral
 Panjang tak terkekang adalah jarak *shear connector* sesuai tabel perencanaan bondex ($L_b = 40 \text{ cm}$).

$$L_p = 1.76 \times i_y \times \sqrt{\frac{E}{f_y}} = 1.76 \times 3.95 \times \sqrt{\frac{2 \times 10^6}{2500}} = 196.63 \text{ cm}$$

$L_b \leq L_p \rightarrow 40 \text{ cm} \leq 196.63 \text{ cm} \rightarrow$ bentang pendek

- Karena bentang pendek, maka $M_n = M_p$
- $M_p = f_y \cdot Z_x = 2500 \times 840.85 = 2102117.5 \text{ kgcm}$
 $= 21021.175 \text{ kgm}$

- Cek kemampuan penampang

$$\begin{aligned} \varnothing_b \cdot M_n &\geq M_u \\ \varnothing_b \cdot M_n &= 0.9 \times 21021.175 \\ &= 18919.058 \text{ kgm} > 13385.339 \text{ kgm} \dots \text{OK !} \end{aligned}$$

d. Kontrol penampang profil terhadap gaya geser

$$\frac{h_w}{t_w} = \frac{300}{7} = 42.857 ; 1.10 \sqrt{k_v \frac{E}{f_y}} = 1.10 \sqrt{5 \times \frac{2 \times 10^6}{2500}} = 69.57$$

$$\text{karena } \frac{h_w}{t_w} \leq 1.10 \sqrt{k_v \frac{E}{f_y}} \rightarrow 42.857 \leq 69.57$$

maka $C_v = 1.00$; sehingga

$$V_n = 0.6 f_y A_w C_v = 0.6 \times 2500 \times (35 \times 0.7) \times 1.00 = 36750 \text{ kg}$$

$$\emptyset V_n \geq V_u$$

$$\begin{aligned} \emptyset V_n &= 0.9 \times 36750 \\ &= 33075 \text{ kg} > 7648.765 \text{ kg ... OK !} \end{aligned}$$

e. Kontrol lendutan

$$L = 700 \text{ cm}$$

$$f_{ijin} = \frac{L}{360} = \frac{700}{360} = 1.944 \text{ cm}$$

$$f = \frac{5}{384} \times \frac{(qd+ql)L^4}{E I_x} = \frac{5}{384} \times \frac{(5.925+9.215)700^4}{2000000 \times 13600} = 1.74$$

$$f \leq f_{ijin} \rightarrow 1.74 \text{ cm} \leq 1.944 \text{ cm... OK !}$$

4.1.4. Perencanaan Tangga

Tangga merupakan bagian dari struktur bangunan bertingkat sebagai penunjang antara struktur bangunan lantai dasar dengan struktur bangunan tingkat atasnya. Pada gedung Hotel Premier Iin Surabaya ini struktur tangga direncanakan sebagai tangga darurat dengan menggunakan konstruksi dari baja.

A. Tangga Lantai

- Tinggi antar lantai	= 400 cm
- Panjang bordes	= 274 cm
- Panjang tangga	= 297 cm
- Lebar bordes	= 121.5 cm
- Lebar tangga	= 274 cm
- Lebar injakan (i)	= 27 cm
- Lebar pegangan tangga	= 10 cm

- Perencanaan jumlah injakan tangga :

Persyaratan-persyaratan jumlah injakan tangga

$$60 \text{ cm} \leq (2t + i) \leq 65 \text{ cm}$$

$$25^\circ < a < 40^\circ$$

Dimana :

$$t = \text{tinggi injakan (cm)}$$

$$i = \text{lebar injakan (cm)}$$

$$a = \text{kemiringan tangga}$$

- Perhitungan jumlah injakan tangga

$$\text{Tinggi injakan (t)} = 17 \text{ cm}$$

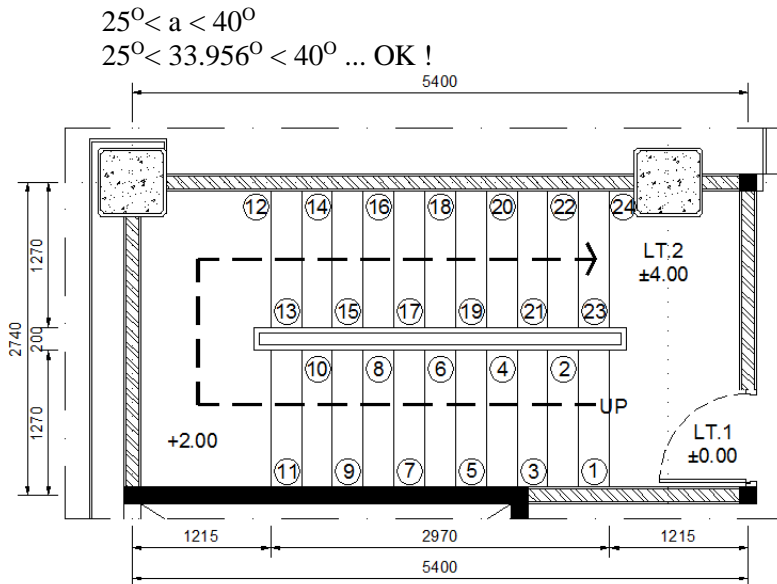
$$\text{Jumlah tanjakan} = \frac{(4000/2)}{17} = 11.765 \text{ buah} \approx 12 \text{ buah}$$

$$\text{Jumlah injakan (n)} = 12 - 1 = 11 \text{ buah}$$

$$60 \text{ cm} \leq (2 \times 17 + 27) \leq 65 \text{ cm}$$

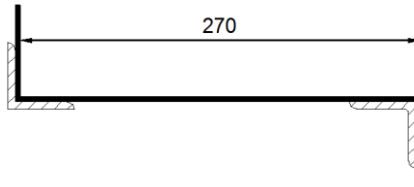
$$60 \text{ cm} < (61) < 65 \text{ cm} \dots \text{OK !}$$

$$a = \text{arc tg} \left(\frac{400/2}{297} \right) = 33.956^\circ$$



Gambar 4.9 Denah Tangga

B. Anak Tangga



Gambar 4.10 Pelat Anak Tangga

1. Perencanaan tebal pelat anak tangga
 Tebal pelat tangga = 6 mm
 Berat jenis baja = 7850 kg/m^3
 Mutu baja BJ 41 $\rightarrow f_y = 2500 \text{ kg/m}^2$
 Momen Inertia (I_x) = 0.486 cm^4

- Perencanaan pembebanan pelat tangga
Beban mati

$$\text{Berat pelat} = 0.006 \times 1.27 \times 7850 = 59.817 \text{ kg/m}$$

$$\text{Alat penyambung (10\%)} \quad \underline{\qquad} = 5.982 \text{ kg/m} +$$

$$q_D = 65.799 \text{ kg/m}$$

Beban hidup (Tabel 4-1. SNI 1727:2013)

$$q_L = 100 \text{ Psf} = 488.24 \text{ kg/m}^2$$

$$q_L = 488.24 \times 1.27 = 620.014 \text{ kg/m}$$

- Perhitungan M_D dan M_L

$$M_D = 1/8 q_D l^2 = 1/8 \times 65.799 \times 0.27^2 = 0.6 \text{ kgm}$$

$$M_L = 1/8 q_L l^2 = 1/8 \times 620.014 \times 0.27^2 = 4.449 \text{ kgm}$$

$$M_L = 1/4 P_L l^2 = 1/4 \times 100 \times 0.27 = 6.75 \text{ kgm} \text{ (menentukan!)}$$

- Perhitungan kombinasi pembebanan M_U

$$M_U = 1.4 M_D = 1.4 \times 0.6 = 0.839 \text{ kgm}$$

$$M_U = 1.2 M_D + 1.6 M_L = (1.2 \times 0.6) + (1.6 \times 6.75) \\ = 11.52 \text{ kg.m} \text{ (menentukan)}$$

- Kontrol momen lentur

$$Z_x = 1/4 bh^2 = 0.25 \times 127 \times 0.60^2 = 11.43 \text{ cm}^3$$

$$\Omega M_n = \Omega Z_x \times f_y = 0.9 \times 11.43 \times 2500 = 25717.5 \text{ kgcm} \\ = 257.175 \text{ kgm}$$

Syarat : $\Omega M_n > M_u$

$$257.175 \text{ kgm} > 12.796 \text{ kgm} \dots \text{OK !}$$

- Kontrol lendutan

$$L = 27 \text{ cm}$$

$$f_{ijin} = \frac{L}{360} = \frac{27}{360} = 0.075 \text{ cm}$$

$$f = \frac{5}{384} \times \frac{q_u L^4}{EI_x} + \frac{P_u L^3}{48EI_x}$$

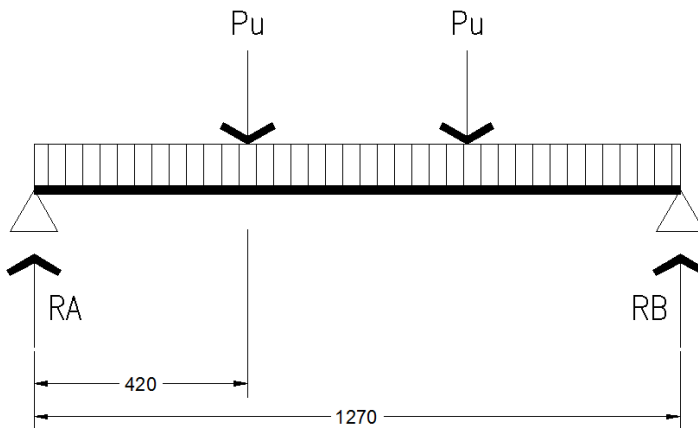
$$\begin{aligned}
 &= \frac{5}{384} \times \frac{(6.2 + 0.658) \times 27^4}{2 \times 10^6 \times 0.486} + \frac{100 \times 27^3}{48 \times 2 \times 10^6 \times 0.486} \\
 &= 0.049 \text{ cm} \\
 f \leq f_{ijin} \rightarrow 0.049 \text{ cm} &\leq 0.075 \text{ cm} \dots \text{OK!}
 \end{aligned}$$

2. Perencanaan pengaku anak tangga

Direncanakan menggunakan profil siku $50 \times 50 \times 6$ dengan data sebagai berikut :

$$\begin{aligned}
 b &= 50 \text{ mm} & I_x &= 12.6 \text{ cm}^4 & i_y &= 1.5 \text{ cm} \\
 t_w &= 6 \text{ mm} & I_y &= 12.6 \text{ cm}^4 & i_x &= 1.5 \text{ cm} \\
 W &= 4.43 \text{ kg/m} & A &= 5.644 \text{ cm}^2
 \end{aligned}$$

Perencanaan pembebanan



Gambar 4.11 Sketsa Pembebanan Pengaku Anak Tangga

Beban mati ($1/2$ lebar injakan)

$$\text{Berat pelat} = 0.135 \times 0.006 \times 7850 = 6.359 \text{ kg/m}$$

$$\begin{aligned}
 \text{Berat baja siku } 50 \times 50 \times 6 &= 8.86 \text{ kg/m} \\
 &= 10.789 \text{ kg/m}
 \end{aligned}$$

$$\text{Alat penyambung (10\%)} = 1.079 \text{ kg/m}$$

$$q_D = 11.867 \text{ kg/m}$$

Beban hidup (1/2 lebar injakan)

(Tabel 4-1. SNI 1727:2013)

$$q_L = 100 \text{ Psf} = 488.2 \text{ kg/m}^2$$

$$q_L = 488.2 \times 0.135 = 65.907 \text{ kg/m}$$

$$P_L = 100 \text{ kg}$$

- Perhitungan M_D dan M_L

$$\begin{aligned} M_D &= 1/8 \times q_D \times L^2 \\ &= 1/8 \times 11.867 \times 1.27^2 = 2.393 \text{ kgm} \end{aligned}$$

$$\begin{aligned} M_L &= 1/8 \times q_L \times L^2 \rightarrow \text{akibat beban merata} \\ &= 1/8 \times 65.907 \times 1.27^2 = 13.288 \text{ kgm} \end{aligned}$$

$$\begin{aligned} M_L &= 1/3 \times P \times L \rightarrow \text{akibat beban terpusat} \\ &= 1/3 \times 100 \times 1.27 = 42.333 \text{ kgm} \text{ (menentukan)} \end{aligned}$$

$$\begin{aligned} V_u &= 1.2 \left(\frac{1}{2} \times q_D \times 1.40 \right) + 1.6 \left(\frac{1}{2} \times P \times 2 \right) \\ &= 1.2 \left(\frac{1}{2} \times 11.867 \times 1.27 \right) + 1.6 \left(\frac{1}{2} \times 100 \times 2 \right) \\ &= 169.043 \text{ kg} \end{aligned}$$

- Perhitungan kombinasi pembebanan M_U

$$\begin{aligned} M_U &= 1.2 M_D + 1.6 M_L \\ &= 1.2 \times 2.393 + 1.6 \times 42.333 = 70.604 \text{ kgm} \end{aligned}$$

- Kontrol penampang profil

Pelat sayap :

$$\lambda = \frac{b_f}{t_f} = \frac{50}{6} = 8.333$$

$$\lambda_p = 0.38 \sqrt{\frac{E}{f_y}} = 0.38 \sqrt{\frac{2 \times 10^5}{250}} = 10.748$$

$\lambda \leq \lambda_p \rightarrow 8.333 \leq 10.748 \rightarrow$ penampang sayap kompak

Karena penampang kompak, maka $M_n = M_P$

$$\begin{aligned}
 Z_x &= (t_f \times d) \frac{1}{2} d + (t_f(b - t_f)) \frac{1}{2} t_w \\
 &= (0.6 \times 5) \frac{1}{2} \times 5 + (0.6(5 - 0.6)) \frac{1}{2} \times 0.6 \\
 &= 8.292 \text{ cm}^3
 \end{aligned}$$

$$\begin{aligned}
 \bar{\Omega}M_n &= \bar{\Omega}Z_x \times f_y = 0.9 \times 8.292 \times 2500 = 18657 \text{ kgcm} \\
 &= 186.57 \text{ kgm}
 \end{aligned}$$

Syarat : $\bar{\Omega}M_n > M_u$
 $186.57 \text{ kgm} > 70.604 \text{ kgm} \dots \text{OK!}$

- Kontrol kuat geser

$$\frac{b_f}{t_f} = \frac{(50 - 6)}{6} = 7.333;$$

$$1.10 \sqrt{k_v \frac{E}{f_y}} = 1.10 \sqrt{1.2 \times \frac{2 \times 10^6}{2500}} = 34.082$$

$$\text{karena } \frac{b_f}{t_f} \leq 1.10 \sqrt{k_v \frac{E}{f_y}} \rightarrow 7.333 \leq 34.082$$

maka $C_v = 1.00$; sehingga

$$V_n = 0.6 f_y A_w C_v = 0.6 \times 2500 \times (5 \times 0.6) \times 1.00 = 4500 \text{ kg}$$

$$\begin{aligned}
 \bar{\Omega} V_n &\geq V_u \\
 \bar{\Omega} V_n &= 0.9 \times 4500 \\
 &= 4050 \text{ kg} > 169.043 \text{ kg} \dots \text{OK!}
 \end{aligned}$$

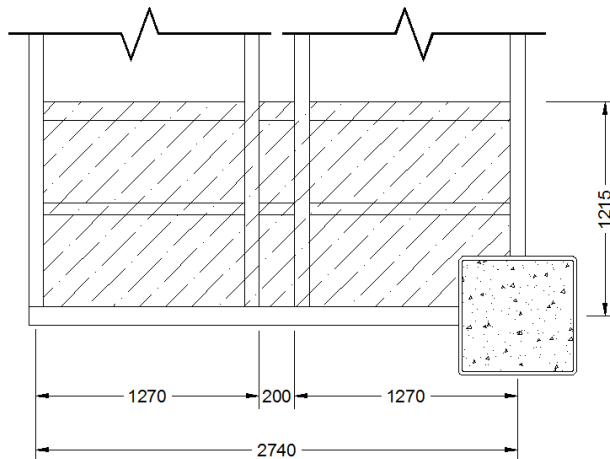
- Kontrol lendutan

$$L = 127 \text{ cm}$$

$$f_{ijin} = \frac{L}{360} = \frac{127}{360} = 0.353 \text{ cm}$$

$$\begin{aligned}
 f &= \frac{5}{384} \times \frac{q_u L^4}{EI_x} + \frac{P_u \times a}{24EI_x} (3L^2 - 4a^2) \\
 &= \frac{5}{384} \times \frac{0.119 \times 127^4}{2 \times 10^6 \times 12.6} + \frac{100 \times 50}{24 \times 2 \times 10^6 \times 12.6} (3 \times 127^2 - 4 \times 50^2) \\
 &= 0.333 \text{ cm}
 \end{aligned}$$

C. Bordes



Gambar 4.12 Denah Bordes

1. Pelat bordes

Tebal pelat bordes = 6 mm

Berat jenis baja = 7850 kg/m³

Mutu baja BJ 41 → $f_y = 2500 \text{ kg/m}^2$

Momen Inertias (I_x) = 2.34 cm⁴

- Perencanaan pembebanan pelat bordes

Beban mati

$$\text{Berat pelat} = 0.006 \times 1.215 \times 7850 = 57.227 \text{ kg/m}$$

$$\begin{array}{rcl} \text{Alat penyambung (10\%)} & = & 5.723 \text{ kg/m} \\ & & + \\ & & q_D = 62.949 \text{ kg/m} \end{array}$$

Beban hidup (Tabel 4-1. SNI 1727:2013)

$$q_L = 100 \text{ Psf} = 488.2 \text{ kg/m}^2$$

$$q_L = 488.2 \text{ kg/m}^2 \times 1.215 \text{ m} = 593.163 \text{ kg/m}$$

- Perhitungan M_D dan M_L

$$M_D = 1/8 \times q_D \times l^2$$

$$= 1/8 \times 62.949 \times (0.6075)^2 = 2.904 \text{ kgm}$$

$$\begin{aligned}M_L &= 1/8 \times q_L \times I^2 \\&= 1/8 \times 593.163 \times (0.6075)^2 = 27.364 \text{ kgm}\end{aligned}$$

- Kombinasi pembebanan M_U
 $M_U = 1.2 M_D + 1.6 M_L$
 $= 1.2 \times 2.904 + 1.6 \times 27.364 = 47.267 \text{ kgm}$
- Kontrol momen lentur
 $Z_x = \frac{1}{4}bh^2 = \frac{1}{4} \times 121.5 \times 0.6^2 = 10.935 \text{ cm}^3$
 $M_n = Z_x \times f_y = 10.935 \times 2500 = 27337.5 \text{ kgcm}$
 $= 273.375 \text{ kgm}$
- Cek kemampuan penampang
 $\phi_b \cdot M_n \geq M_u$
 $\phi_b \cdot M_n = 0.9 \times 273.375$
 $= 246.038 \text{ kgm} \geq 47.267 \text{ kgm ... OK !}$
- Kontrol lendutan
 $L = 60.75 \text{ cm}$
 $f_{ijin} = \frac{L}{360} = \frac{60.75}{360} = 0.253 \text{ cm}$
 $f = \frac{5}{384} \times \frac{q_u L^4}{EI_x}$
 $= \frac{5}{384} \times \frac{(0.63 + 5.932) \times 60.75^4}{2 \times 10^6 \times 2.34}$
 $= 0.249 \text{ cm}$
 $f \leq f_{ijin} \rightarrow 0.249 \text{ cm} \leq 0.253 \text{ cm ... OK !}$

a. Perencanaan balok bordes

Direncanakan memakai profil WF 100 × 50 × 5 × 7

$$d = 100 \text{ mm} \quad t_f = 7 \text{ mm} \quad r = 8 \text{ mm}$$

$$b = 50 \text{ mm} \quad Z_x = 41.795 \text{ cm}^3 \quad I_x = 187 \text{ cm}^4$$

$$t_w = 5 \text{ mm} \quad W = 9.3 \text{ kg/m}$$

- Perencanaan pembebanan balok bordes

Beban mati

$$\begin{aligned} \text{Berat pelat} &= 0.006 \times 0.6075 \times 7850 &= 28.613 \text{ kg/m} \\ \text{Berat profil} &&= 9.3 \text{ kg/m} \\ &&= 37.913 \text{ kg/m} \end{aligned}$$

$$\begin{aligned} \text{Berat sambungan dan lain-lain } 10\% &&= 3.791 \text{ kg/m} \\ q_D &= 41.705 \text{ kg/m} \end{aligned}$$

Beban hidup

Lantai condotel

$$(\text{Tabel 4-1. SNI 1727:2013}) = 100 \text{ Psf} = 488.2 \text{ kg/m}^2$$

$$\text{Total beban hidup (q_L)} = 0.6075 \times 488.2 = 296.582 \text{ kg/m}$$

$$\begin{aligned} V_D &= \frac{1}{2} \cdot q_D \cdot L &= \frac{1}{2} \times 41.705 \times 1.215 \\ &&= 25.336 \text{ kg} \end{aligned}$$

$$\begin{aligned} M_D &= \frac{1}{8} \cdot q_D \cdot L^2 &= \frac{1}{8} \times 41.705 \times (1.215)^2 \\ &&= 7.696 \text{ kgm} \end{aligned}$$

$$\begin{aligned} V_L &= \frac{1}{2} \times q_L \times L &= \frac{1}{2} \times 296.582 \times 1.215 \\ &&= 180.173 \text{ kg} \end{aligned}$$

$$\begin{aligned} M_L &= \frac{1}{8} \times q_L \times L^2 &= \frac{1}{8} \times 296.582 \times (1.215)^2 \\ &&= 54.728 \text{ kgm} \end{aligned}$$

- Kombinasi pembebanan

$$\begin{aligned} V_U &= 1.2V_D + 1.6V_L \\ &= 1.2(25.336) + 1.6(180.173) = 318.68 \text{ kg} \end{aligned}$$

$$\begin{aligned} M_U &= 1.2 M_D + 1.6 M_L \\ &= 1.2(7.696) + 1.6(54.728) = 96.799 \text{ kgm} \end{aligned}$$

- Kontrol penampang

Pelat sayap

$$\lambda = \frac{b_f}{2t_f} = \frac{50}{2 \times 7} = 3.571$$

$$\lambda_p = 0.38 \sqrt{\frac{E}{f_y}} = 0.38 \sqrt{\frac{2 \times 10^5}{250}} = 10.748$$

$$\lambda \leq \lambda_p \rightarrow 3.571 \leq 10.748 \Rightarrow \text{penampang sayap kompak}$$

Pelat badan

$$\lambda = \frac{h_w}{t_w} = \frac{100 - 2(8+7)}{5} = 14$$

$$\lambda_p = 3.76 \sqrt{\frac{E}{f_y}} = 3.76 \sqrt{\frac{2 \times 10^5}{250}} = 106.35$$

$$\lambda \leq \lambda_p \rightarrow 14 \leq 106.35 \Rightarrow \text{penampang badan kompak}$$

- Karena penampang kompak, maka $M_n = M_p$
 $M_p = f_y \times Z_x = 2500 \times 41.795$
 $= 104487.5 \text{ kgcm}$
 $= 1044.875 \text{ kgm}$
- Cek kemampuan penampang
 $\phi_b \cdot M_n \geq M_u$
 $\phi_b \cdot M_n = 0.9 \times 1044.875$
 $= 940.388 \text{ kgm} \geq 96.799 \text{ kgm ... OK !}$

- Kontrol kuat geser

$$\frac{h_w}{t_w} = \frac{70}{5} = 14 ; 1.10 \sqrt{k_v \frac{E}{f_y}} = 1.10 \sqrt{5 \times \frac{2 \times 10^6}{2500}} = 69.57$$

$$\text{karena } \frac{h_w}{t_w} \leq 1.10 \sqrt{k_v \frac{E}{f_y}} \rightarrow 14 \leq 69.57$$

maka $C_v = 1.00$; sehingga

$$V_n = 0.6 f_y A_w C_v = 0.6 \times 2500 \times (15 \times 0.5) \times 1.00 = 7500 \text{ kg}$$

$$\phi V_n \geq V_u$$

$$\phi V_n = 0.9 \times 7500$$

$$= 6750 \text{ kg} > 318.68 \text{ kg ... OK !}$$

- Kontrol lendutan

$$L = 121.5 \text{ cm}$$

$$f_{ijin} = \frac{L}{360} = \frac{121.5}{360} = 0.338 \text{ cm}$$

$$\begin{aligned} f &= \frac{5}{384} \times \frac{q_u L^4}{EI_x} \\ &= \frac{5}{384} \times \frac{(0.417 + 2.966) \times 121.5^4}{2 \times 10^6 \times 187} \\ &= 0.026 \text{ cm} \end{aligned}$$

$$f \leq f_{ijin} \rightarrow 0.026 \text{ cm} \leq 0.338 \text{ cm} \dots \text{OK !}$$

D. Balok Utama Tangga

Balok utama tangga dianalisa dengan anggapan terletak di atas dua tumpuan sederhana dengan menerima beban merata dari berat sendiri dan beban dari anak tangga. Balok utama direncanakan menggunakan profil WF 200 × 100 × 5.5 × 8, dengan spesifikasi sebagai berikut :

$$W = 21.3 \text{ kg/m} \quad I_x = 1840 \text{ cm}^4$$

$$r = 11 \text{ mm} \quad Z_x = 200.15 \text{ cm}^3$$

$$i_y = 2.22 \text{ cm} \quad A_g = 27.16 \text{ cm}^2$$

$$h = 200 - 2(8+11) = 162 \text{ mm}$$

- Perencanaan pembebanan anak tangga

Beban mati (anak tangga)

$$\text{Berat pelat } 0.006 \times 0.635 \times 7850 = 29.909 \text{ kg/m}$$

$$\text{Berat profil siku } 4.43 \times 2 = 8.86 \text{ kg/m} +$$

$$\begin{aligned} \text{Berat profil balok } 21.3 / \cos(33.956) &= 25.679 \text{ kg/m} + \\ &= 64.448 \text{ kg/m} \end{aligned}$$

$$\begin{aligned} \text{Berat alat penyambung } 10\% &= 6.445 \text{ kg/m} + \\ q_{D1} &= 70.893 \text{ kg/m} \end{aligned}$$

Beban hidup (Tabel 4-1. SNI 1727:2013)

$$q_L = 100 \text{ Psf} = 488.2 \text{ kg/m}^2$$

$$q_{L1} = 488.24 \times 0.7 = 310.007 \text{ kg/m}$$

$$\begin{aligned} q_{U1} &= 1.2 q_D + 1.6 q_L \\ &= 1.2 \times 70.893 + 1.6 \times 310.007 \\ &= 581.082 \text{ kg/m} \end{aligned}$$

- Perencanaan pembebanan bordes

Beban mati

$$\begin{array}{lll} \text{Berat profil} & = 9.3 \text{ kg/m} \\ \text{Berat bordes } 0.006 \times 0.6075 \times 7850 & = 28.613 \text{ kg/m} \\ & = 37.913 \text{ kg/m} \end{array}$$

$$\begin{array}{lll} \text{Berat penyambung 10\%} & = 3.791 \text{ kg/m} \\ & q_{D2} = 41.705 \text{ kg/m} \end{array}$$

Beban hidup(Tabel 4-1. SNI 1727:2013)

$$q_L = 100 \text{ Psf} = 488.24 \text{ kg/m}^2$$

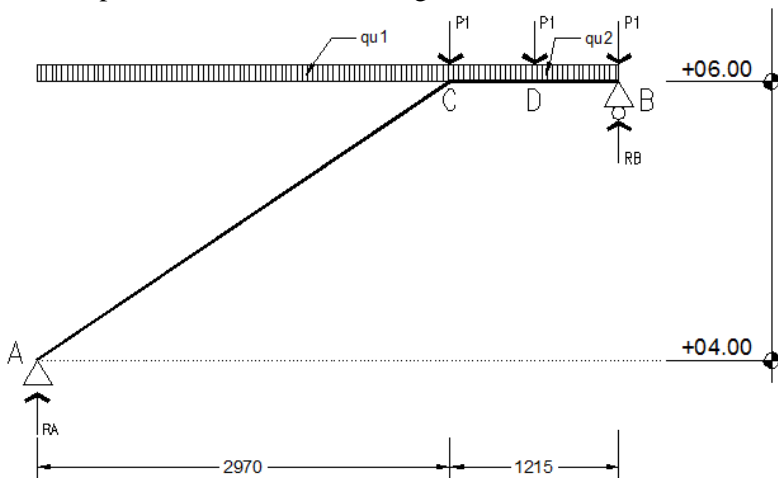
$$q_{L2} = 488.24 \times 0.6075 = 296.582 \text{ kg/m}$$

$$q_{U2} = 1.2 q_D + 1.6 q_L$$

$$= 1.2 \times 41.705 + 1.6 \times 296.582 = 524.576 \text{ kg/m}$$

Beban terpusat akibat balok bordes

$$p_1 = 9.3 \times 0.6075 = 5.65 \text{ kg}$$



Gambar 4.13 Sketsa Pembebanan Balok Utama Tangga

- Perhitungan pembebanan

$$\sum M_A = 0$$

$$-R_B \times 4.185 + P_1 \times 4.185 + P_1 \times 3.578 + P_1 \times 2.97 + q_{u1} \times 2.97 \times 1.485 + q_{u2} \times 1.215 \times 3.578 = 0$$

$$R_B = \frac{5.65 \times 4.185 + 5.65 \times 3.578 + 5.65 \times 2.97 + 581.082 \times 2.97 \times 1.485 + 524.576 \times 1.215 \times 3.578}{4.185}$$

$$R_B = 1171.714 \text{ kg}$$

$$\sum M_B = 0$$

$$R_a \times 4.185 - P_1 \times 0 - P_1 \times 0.6075 - P_1 \times 1.125 - q_{u1} \times 2.97 \times 2.7 - q_{u2} \times 1.125 \times 0.6075 = 0$$

$$R_a = \frac{5.65 \times 0 + 5.65 \times 0.6075 + 5.65 \times 1.125 + 581.082 \times 2.97 \times 2.7 + 524.576 \times 1.125 \times 0.6075}{4.185}$$

$$R_a = 1208.49 \text{ kg}$$

Kontrol:

$$\begin{aligned} \sum V &= R_a + R_b - q_{u1} \times 2.97 - q_{u2} \times 1.125 - P_1 \times 3 \\ &= 1208.49 + 1208.49 - 581.082 \times 2.97 - 524.576 \times 1.125 - 5.65 \times 3 \\ &= 0 \dots \text{OK!} \end{aligned}$$

Bidang M

- a - c :

$$\begin{aligned} M_X &= R_a \times X - \frac{1}{2} q_{u1} \cdot x^2 \\ &= 1403.814 \times X - \frac{1}{2} \times 581.082 \times X^2 \end{aligned}$$

$$X = 0 \text{ m}$$

$$M_a = 0 \text{ kgm}$$

$$X = 2.97 \text{ m}$$

$$\begin{aligned} M_c &= 1208.49 \times 2.97 - \frac{1}{2} \times 581.082 \times 2.97^2 \\ &= 1026.14 \text{ kgm} \end{aligned}$$

Momen maksimum terjadi apabila $\frac{dM_x}{dx} = 0$

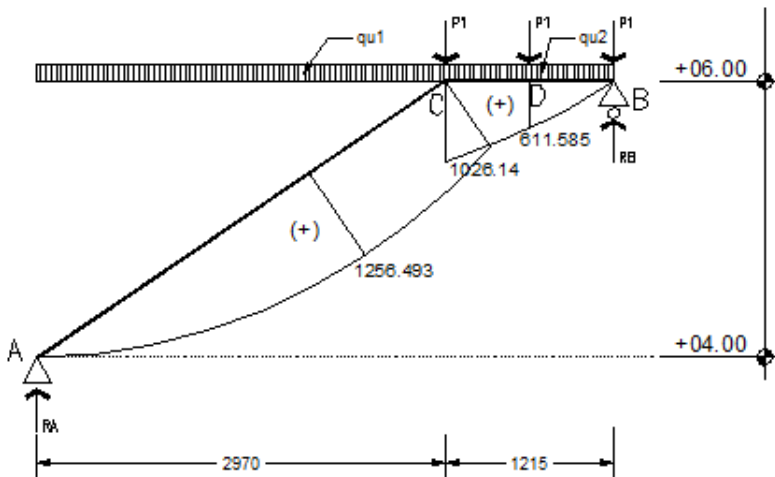
$$\frac{dM_x}{dx} = 1208.49 - 581.082 \times X = 0$$

$$X = 2.08 \text{ m}$$

$$\begin{aligned}M_{\max} &= 1208.49 \times 2.08 - \frac{1}{2} \times 581.082 \times 2.08^2 \\&= 1256.493 \text{ kgm}\end{aligned}$$

- b - d :

$$\begin{aligned}M_X &= R_b \times X - \frac{1}{2} q_{u2} \times X^2 - P_1 \times X \\&= 1171.714 \times X - \frac{1}{2} \times 524.576 \times X^2 - 5.65 \times X \\X &= 0 \text{ m} \\M_b &= 0 \text{ kgm} \\X &= 0.6075 \text{ m} \\M_d &= 1171.714 \times 0.6075 - \frac{1}{2} \times 524.576 \times 0.6075^2 - 5.65 \\&\quad \times 0.6075 \\&= 611.585 \text{ kgm}\end{aligned}$$



**Gambar 4.14 Bidang M Balok Tangga
Bidang D**

- a - c :

$$\begin{aligned}D_x &= R_a \times \cos(33.956^\circ) - q_{u1} \times X \times \cos(33.956^\circ) \\&= 1208.49 \times \cos(33.956^\circ) - 581.082 \times X \times \cos(33.956^\circ) \\X &= 0 \text{ m}\end{aligned}$$

$$\begin{aligned}
 Da_{ka} &= 1208.49 \times \cos(33.956^\circ) - 581.082 \times 0 \times \cos(33.956^\circ) \\
 &= 1002.331 \text{ kg}
 \end{aligned}$$

$$X = 2.97 \text{ m}$$

$$\begin{aligned}
 Dc_{ki} &= 1208.49 \times \cos(33.956^\circ) - 581.082 \times 2.97 \times \cos(33.956^\circ) \\
 &= -429.169 \text{ kg}
 \end{aligned}$$

- b - d :

$$\begin{aligned}
 Dx &= -R_b + q_{u2} \times X + P_1 \\
 &= -1171.714 + 524.576 \times X + 5.65
 \end{aligned}$$

$$X = 0 \text{ m}$$

$$\begin{aligned}
 Db_{ki} &= -1171.714 + 524.576 \times 0 + 5.65 \\
 &= -1166.065 \text{ kg}
 \end{aligned}$$

$$X = 0.6075 \text{ m}$$

$$\begin{aligned}
 Dd_{ka} &= -1171.714 + 524.576 \times 0.6075 + 5.65 \\
 &= -847.385 \text{ kg}
 \end{aligned}$$

- d - c :

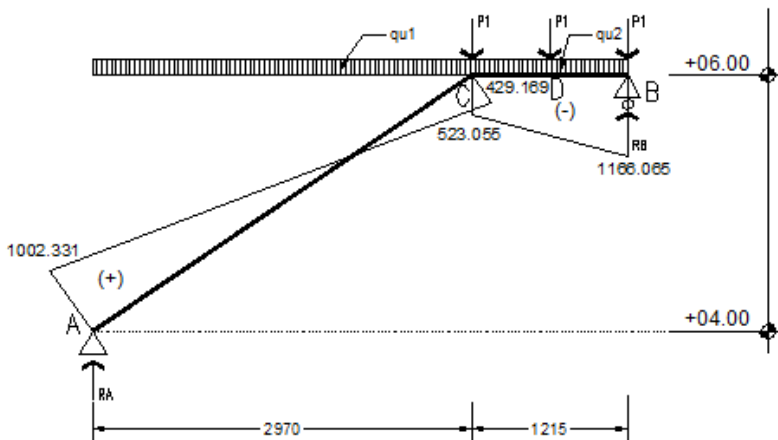
$$\begin{aligned}
 Dx &= -R_b + q_{u2} \times (X+0.6075) + P_1 + P_1 \\
 &= -1171.714 + 524.576 \times (X+0.6075) + 5.65 + 5.65
 \end{aligned}$$

$$X = 0 \text{ m}$$

$$\begin{aligned}
 Dd_{ki} &= -1171.714 + 524.576 \times (0+0.6075) + 5.65 + 5.65 \\
 &= -841.735 \text{ kg}
 \end{aligned}$$

$$X = 0.6075 \text{ m}$$

$$\begin{aligned}
 Dc_{ka} &= -1171.714 + 524.576 \times (0.6075+0.6075) + 5.65 + 5.65 \\
 &= -523.055 \text{ kg}
 \end{aligned}$$



Gambar 4.15 Bidang D Balok Tangga

Bidang N

- a - c :

$$\begin{aligned} N_x &= -R_a \times \sin(33.956^\circ) + q_{u1} \times X \times \sin(33.956^\circ) \\ &= -1208.49 \times \sin(33.956^\circ) + 581.082 \times X \times \sin(33.956^\circ) \end{aligned}$$

$$X = 0 \text{ m}$$

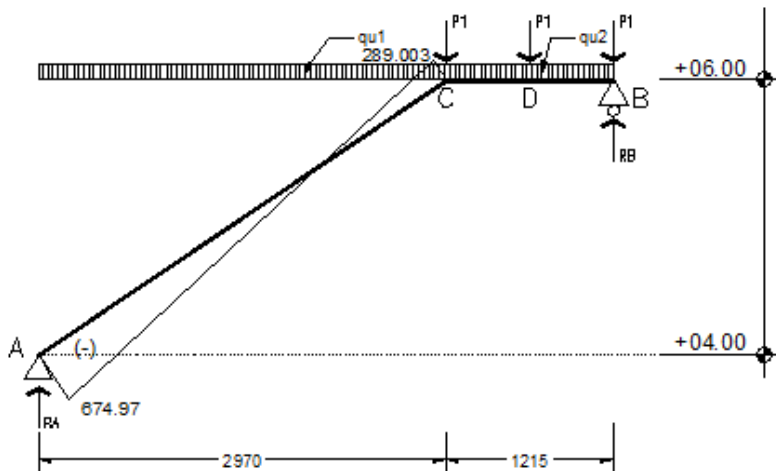
$$N_{c_{ka}} = -1208.49 \times \sin(33.956^\circ) + 581.082 \times 0 \times \sin(33.956^\circ) = -647.97 \text{ kg}$$

$$X = 2.97 \text{ m}$$

$$\begin{aligned} N_{c_{ki}} &= -1208.49 \times \sin(33.956^\circ) + 581.082 \times 2.97 \times \sin(33.956^\circ) \\ &= 289.003 \text{ kg} \end{aligned}$$

- c - b :

$$N = 0 \text{ kg}$$



Gambar 4.16 Bidang N Balok Tangga

- Kontrol penampang profil
 - a. Kontrol penampang terhadap tekuk lokal
Pelat sayap

$$\lambda = \frac{b_f}{2t_f} = \frac{100}{2 \times 8} = 6.25$$

$$\lambda_p = 0.38 \sqrt{\frac{E}{f_y}} = 0.38 \sqrt{\frac{2 \times 10^5}{250}} = 10.748$$

$\lambda \leq \lambda_p \rightarrow 6.25 \leq 10.748 \rightarrow$ penampang sayap kompak

Pelat badan

$$\lambda = \frac{h_w}{t_w} = \frac{162}{5.5} = 29.455$$

$$\lambda_p = 3.76 \sqrt{\frac{E}{f_y}} = 3.76 \sqrt{\frac{2 \times 10^5}{250}} = 106.35$$

$\lambda \leq \lambda_p \rightarrow 29.455 \leq 106.35 \rightarrow$ penampang badan kompak

Karena penampang kompak, maka $M_n = M_p$

$$M_p = f_y \times Z_x = 2500 \times 200.15$$

$$= 500380 \text{ kgcm}$$

$$= 5003.8 \text{ kgm}$$

Cek kemampuan penampang

$$\phi_b \cdot M_n \geq M_u$$

$$\phi_b \cdot M_n = 0.9 \times 5003.8$$

$$= 4503.42 \text{ kgm} \geq 1442.546 \text{ kgm ... OK !}$$

- b. Kontrol penampang terhadap tekuk lateral

$$L_b = \sqrt{27^2 + 17^2} = 31.906 \text{ cm (pengaku anak tangga)}$$

$$L_p = 1.76 \times i_y \times \sqrt{\frac{E}{f_y}} = 1.76 \times 2.22 \times \sqrt{\frac{2 \times 10^6}{2500}} = 110.512 \text{ cm}$$

$L_b < L_p \rightarrow$ bentang pendek , maka $M_n = M_p$

$$M_p = f_y \times Z_x = 2400 \times 200.15$$

$$= 500380 \text{ kgcm}$$

$$= 5003.8 \text{ kgm}$$

Cek kemampuan penampang

$$\phi_b \cdot M_n \geq M_u$$

$$\phi_b \cdot M_n = 0.9 \times 5003.8$$

$$= 4503.42 \text{ kgm} \geq 1442.546 \text{ kgm ... OK !}$$

- Kontrol kuat geser

$$\frac{h_w}{t_w} = \frac{162}{5.5} = 29.455; 1.10 \sqrt{k_v \frac{E}{f_y}} = 1.10 \sqrt{5 \times \frac{2 \times 10^6}{2500}} = 69.57$$

$$\text{karena } \frac{h_w}{t_w} \leq 1.10 \sqrt{k_v \frac{E}{f_y}} \rightarrow 29.455 \leq 69.57$$

maka $C_v = 1.00$; sehingga

$$V_n = 0.6 f_y A_w C_v = 0.6 \times 2500 \times (20 \times 0.55) \times 1.00 = 16500 \text{ kg}$$

$$\emptyset V_n \geq V_u$$

$$\emptyset V_n = 0.9 \times 16500$$

$$= 14850 \text{ kg} > 1273.538 \text{ kg} \dots \text{OK!}$$

- Persamaan interaksi tekan – lentur

$$L = \sqrt{297^2 + 112.5^2} = 320.89 \text{ cm}$$

$$K_c = 0.70 \text{ (sendi - jepit)}$$

$$f_e = \frac{\pi^2 E}{\left(\frac{KL}{r_{\min}}\right)^2} = \frac{\pi^2 \times 2 \times 10^6}{\left(\frac{0.70 \times 320.89}{2.22}\right)^2} = 1928.074 \text{ kg/cm}^2$$

$$\frac{f_y}{f_e} = \frac{2500}{1928.074} = 1.297$$

karena $\frac{f_y}{f_e} = 1.297 \leq 2.25$ maka f_{cr} ditentukan dengan :

$$f_{cr} = \left[0.658 \frac{f_y}{f_e} \right] \times f_y = \left[0.658^{1.297} \right] \times 2500 = 1452.935 \text{ kg/cm}^2$$

$$P_n = f_{cr} \times A_g$$

$$= 1452.935 \times 27.16 = 39461.705 \text{ kg}$$

$$\emptyset P_n = 0.85 \times 394461.705$$

$$= 33542.449 \text{ kg}$$

$$\frac{P_r}{P_c} = \frac{784.116}{33542.449} = 0.0234 \text{ maka rumus interaksi 1}$$

$$\frac{P_r}{P_c} + \frac{8}{9} \left(\frac{M_{rx}}{M_{cr}} + \frac{M_{ry}}{M_{cy}} \right) \leq 1.0$$

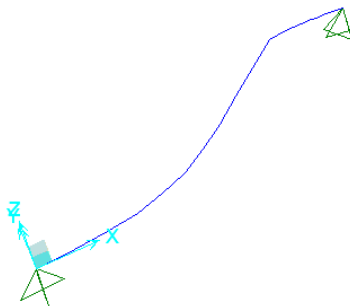
$$\frac{784.116}{33542.449} + \frac{8}{9} \left(\frac{1442.546}{4503.42} + 0 \right) = 0.308 \leq 1.0 \dots \text{OK!}$$

- Kontrol lendutan

$$f_{ijin} = \frac{L}{360} = \frac{\sqrt{297^2 + 112.5^2}}{360} = 0.891 \text{ cm}$$

$$f = 0.0327 \text{ cm}$$

$$f \leq f_{ijin} \rightarrow 0.0327 \text{ cm} \leq 0.891 \text{ cm} \dots \text{OK!}$$



Gambar 4.17 Hasil Analisis Lendutan Balok Utama Tangga

E. Balok Penumpu Tangga

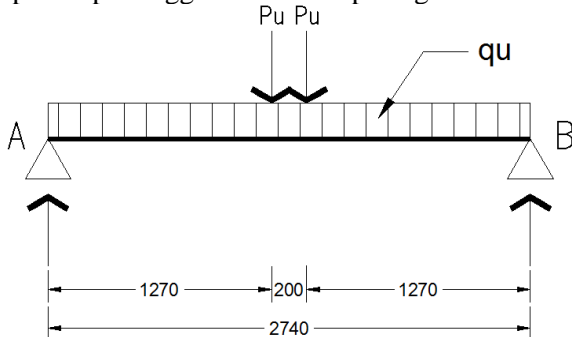
Balok utama direncanakan menggunakan profil WF $300 \times 150 \times 6.5 \times 9$

$W = 36.7 \text{ kg/m}$	$r = 13 \text{ mm}$
$A = 46.78 \text{ cm}^2$	$Z_x = 522 \text{ cm}^3$
$S_x = 481 \text{ cm}^3$	$I_x = 7210 \text{ cm}^4$
$I_y = 308 \text{ cm}^4$	$i_x = 12.4 \text{ cm}$
$i_y = 3.29 \text{ cm}$	$d = 300 \text{ mm}$
$b = 150 \text{ cm}$	
$h = 300 - 2(9 + 13) = 256 \text{ mm}$	

- Pembebatan

Pembebatan pada balok penumpu tangga diperoleh dari gaya reaksi (R_a dan R_b) yang bekerja pada balok utama tangga.

Gaya reaksi tersebut akan menjadi beban terpusat P yang menumpu pada balok penumpu tangga. Pada balok penumpu tangga juga bekerja beban merata yang berasal dari dinding setengah dari tinggi lantai dan berat profil. Sketsa pembebahan balok penumpu tangga bisa dilihat pada gambar di bawah ini :



Gambar 4.18 Pembebahan Balok Penumpu Tangga

$$Ra = 1403.814 \text{ kg}$$

$$Rb = 1279.187 \text{ kg}$$

Beban merata (q)

$$\text{Berat profil} = 36.7 \text{ kg/m}$$

$$\text{Beban dinding } 2 \times 250 = 500.00 \text{ kg/m} +$$

$$= 536.7 \text{ kg/m}$$

$$\text{Berat sambungan 10\%} = 53.67 \text{ kg/m} +$$

$$= 590.37 \text{ kg/m}$$

- Reaksi perletakan

$$\sum M_A = 0$$

$$-R_{vb} \times 2.74 + R_a \times 1.47 + R_b \times 1.27 + q \times 2.74 \times 1.37 = 0$$

$$R_{vb} = \frac{1403.814 \times 1.47 + 1279.187 \times 1.27 + 590.37 \times 3.74 \times 1.37}{2.74}$$

$$R_{vb} = 2154.856 \text{ kg}$$

$$\sum M_B = 0$$

$$R_{va} \times 2.74 - R_a \times 1.27 - R_b \times 1.47 - q \times 2.74 \times 1.37 = 0$$

$$R_{va} = \frac{1403.814 \times 1.27 + 1279.187 \times 1.47 + 590.37 \times 2.74 \times 1.37}{2.74}$$

$$R_{va} = 2145.76 \text{ kg}$$

Kontrol:

$$\begin{aligned}\sum V &= R_{va} + R_{vb} - R_a - R_b - q \times 3.00 \\ &= 2145.76 + 2154.856 - 1403.814 - 1279.187 - 590.37 \\ &\times 2.74 \\ &= 0 \dots \text{OK} !\end{aligned}$$

- Momen maksimum

$$\begin{aligned}M_{max} &= R_{va} \times 1.37 - R_b \times 0.20 - \frac{1}{2} \times q \times 1.50^2 \\ &= 2145.76 \times 1.37 - 1279.287 \times 0.2 - \frac{1}{2} \times 590.37 \times \\ &1.37^2 \\ &= 2257.739 \text{ kgm}\end{aligned}$$

- Gaya geser

$$V_U = -R_{vb} = -2154.856 \text{ kg}$$

- Kontrol penampang profil

Kontrol penampang terhadap tekuk lokal

Pelat sayap

$$\lambda = \frac{b_f}{2t_f} = \frac{150}{2 \times 9} = 8.333$$

$$\lambda_p = 0.38 \sqrt{\frac{E}{f_y}} = 0.38 \sqrt{\frac{2 \times 10^5}{250}} = 10.748$$

$$\lambda \leq \lambda_p \rightarrow 8.333 \leq 10.748 \rightarrow \text{penampang sayap kompak}$$

Pelat badan

$$\lambda = \frac{h_w}{t_w} = \frac{256}{6.5} = 39.385$$

$$\lambda_p = 3.76 \sqrt{\frac{E}{f_y}} = 3.76 \sqrt{\frac{2 \times 10^5}{250}} = 106.35$$

$\lambda \leq \lambda_p \rightarrow 39.38 \leq 106.34 \rightarrow$ penampang badan kompak

Karena penampang kompak, maka $M_n = M_p$

$$M_p = f_y \times Z_x = 2500 \times 522.08 = 1305191.25 \text{ kgcm} \\ = 13051.913 \text{ kgm}$$

Cek kemampuan penampang

$$\phi_b \cdot M_n \geq M_u$$

$$\phi_b \cdot M_n = 0.9 \times 13051.913 \\ = 11746.721 \text{ kgm} \geq 2257.739 \text{ kgm ... OK !}$$

Kontrol penampang terhadap tekuk lateral

$$L_b = 127 \text{ cm}$$

$$L_p = 1.76 \times i_y \times \sqrt{\frac{E}{f_y}} = 1.76 \times 3.29 \times \sqrt{\frac{2 \times 10^6}{2500}} = 163.777 \text{ cm}$$

$L_b < L_p$ (Bentang pendek)

Maka $M_n = M_p$

$$M_p = f_y \times Z_x = 2500 \times 522.08 = 1305191.25 \text{ kgcm} \\ = 13051.913 \text{ kgm}$$

- Cek kemampuan penampang

$$\phi_b \cdot M_n \geq M_u$$

$$\phi_b \cdot M_n = 0.9 \times 13051.913 \\ = 11746.721 \text{ kgm} \geq 2533.25 \text{ kgm ... OK !}$$

- Kontrol penampang profil terhadap gaya geser

$$\frac{h_w}{t_w} = \frac{256}{6.5} = 39.385 ;$$

$$1.10 \sqrt{k_v \frac{E}{f_y}} = 1.10 \sqrt{5 \times \frac{2 \times 10^6}{2500}} = 69.57$$

$$\text{karena } \frac{h_w}{t_w} \leq 1.10 \sqrt{k_v \frac{E}{f_y}} \rightarrow 39.385 \leq 69.57$$

maka $C_v = 1.00$; sehingga

$$V_n = 0.6 f_y A_w C_v = 0.6 \times 2500 \times (30 \times 0.65) \times 1.00 = 29250 \text{ kg}$$

$$\emptyset V_n \geq V_u$$

$$\emptyset V_n = 0.9 \times 29250$$

$$= 26325 \text{ kg} > 2154.856 \text{ kg ... OK !}$$

- Kontrol lendutan

$$L = 297 \text{ cm}$$

$$f_{ijin} = \frac{L}{360} = \frac{274}{360} = 0.825 \text{ cm}$$

$$f = \frac{5}{384} \times \frac{q_u L^4}{EI_x} + \frac{P_u \times a}{24EI_x} (3L^2 - 4a^2)$$

$$= \frac{5}{384} \times \frac{4.803 \times 315^4}{2 \times 10^6 \times 7210} + \frac{100 \times 127}{24 \times 2 \times 10^6 \times 7210} (3 \times 274^2 - 4 \times 127^2)$$

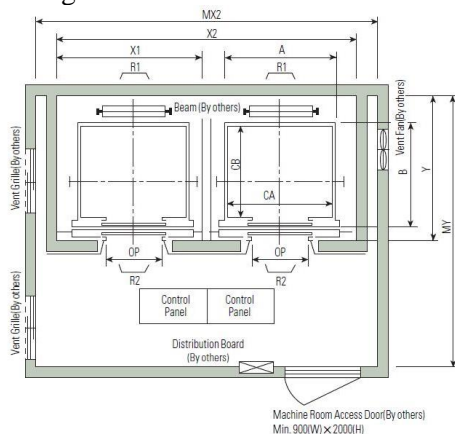
$$= 0.041 \text{ cm}$$

$$f \leq f_{ijin} \rightarrow 0.041 \text{ cm} \leq 0.825 \text{ cm ... OK !}$$

4.1.5. Perencanaan Balok Lift

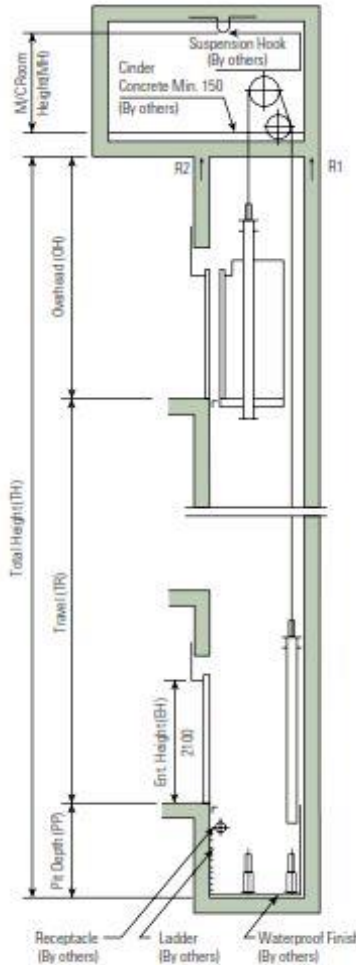
Pada perencanaan balok lift ini meliputi balok-balok yang berkaitan dengan ruang mesin lift yaitu terdiri dari balok penumpu dan balok penggantung lift. Pada bangunan ini menggunakan lift penumpang dengan data-data sebagai berikut (untuk lebih jelasnya lihat lampiran brosur lift) :

- Tipe lift : Passenger Elevators
- Merek : HYUNDAI
- Kapasitas : 15 Orang / 1000 kg
- Lebar pintu (*opening width*) : 900 mm
- Dimensi ruang luncur (*hoistway inside*) 2 Car : 4200 x 2130 mm²
- Dimensi sangkar (*Car size*)
 - Internal : 1600 x 1500 mm²
 - Eksternal : 1660 x 1650 mm²
- Dimensi ruang mesin (2 Car) : 4400 x 3850 mm²
- Beban reaksi ruang mesin :
 $R_1 = 5450 \text{ kg}$
 $R_2 = 4300 \text{ kg}$



Gambar 4.19. Denah Lift

■ Section of Hoistway



Gambar 4.20. Potongan Melintang Lift

■ Standard Dimensions & Reactions

(Unit : mm)

Speed (m/min)	Capacity		Clear Opening	Car		Hoistway				M/C Room				M/C Room Reaction(kg)	
				Internal	External	1Car	2Cars	3Cars	Depth	1Car	2Cars	3Cars	Depth		
	Persons	kg	OP	CA × CB	A × B	X1	X2	X3	Y	MX1	MX2	MX3	MY	R1	R2
60	6	450	800	1400 × 850	1460 × 1005	1800	3700	5600	1430	2000	4000	6000	3200	3600	2000
	8	550	800	1400 × 1030	1460 × 1185	1800	3700	5600	1610	2000	4000	6000	3400	4050	2250
	9	600	800	1400 × 1130	1460 × 1285	1800	3700	5600	1710	2000	4000	6000	3500	4100	2450
	10	700	800	1400 × 1250	1460 × 1405	1800	3700	5600	1830	2000	4000	6000	3600	4200	2700
	11	750	800	1400 × 1350	1460 × 1505	1800	3700	5600	1930	2000	4000	6000	3700	4550	2800
	13	900	900	1600 × 1350	1660 × 1505	2050	4200	6350	1980	2300	4400	6800	3750	5100	3750
90	15	1000	900	1600 × 1500	1660 × 1655	2050	4200	6350	2130	2300	4400	6800	3850	5450	4300
	17	1150	1000	1800 × 1500	1900 × 1670	2350	4800	7250	2180	2600	4900	7500	3900	6600	5100
105	20	1350	1000	1800 × 1700	1900 × 1870	2350	4800	7250	2380	2600	4900	7500	4200	7800	6000
	20	1100	1100	2000 × 1500	2100 × 1670	2550	5200	7850	2030	2800	5250	8300	4000		
	24	1600	1100	2000 × 1750	2100 × 1920	2550	5200	7850	2430	2900	5400	8300	4300	8500	6800
				2150 × 1600	2250 × 1770	2700	5500	8300	2280	3000	5650	8700	4200		

- Notes :**
1. Above hoistway dimensions are based on 15-storied buildings. For application to over 16-storied buildings, the hoistway dimensions shall be at least 5% larger considering the sloping of the hoistways.
 2. Above dimensions are based on center opening doors. For applicable dimensions with side opening doors, consult Hyundai.
 3. When non-standard capacities and dimensions are required to meet the local code, consult Hyundai.
 4. The capacity in persons is calculated at 65kg/person. (EN81=75kg/person)
 5. Above dimensions are applied in case the door is standard. In case fire protection door is applied, hoistway size for 1 car should be applied above X1 dimension plus 100mm.

Gambar 4.21. Tabel Spesifikasi Lift

A. Balok Penumpu Lift

Balok penumpu lift direncanakan menggunakan profil WF 300 × 150 × 6.5 × 9 dengan data sebagai berikut :

$$\begin{aligned}
 W &= 36.7 \text{ kg/m} & S_x &= 481 \text{ cm}^3 & r &= 13 \text{ mm} \\
 A &= 46.78 \text{ cm}^2 & I_x &= 7210 \text{ cm}^4 & i_x &= 12.40 \text{ cm} \\
 t_w &= 6.50 \text{ mm} & I_y &= 508 \text{ cm}^4 & i_y &= 3.29 \text{ cm} \\
 b &= 150 \text{ mm} & d &= 300 \text{ mm} & t_f &= 9 \text{ mm} \\
 h &= 300 - 2 \times (9 + 13) = 256 \text{ mm} & Z_x &= 522.08 \text{ cm}^3
 \end{aligned}$$

1. Pembebanan pada balok penumpu lift

- Beban mati

$$\text{Berat profil balok pengantung lift} = 36.70 \text{ kg/m}$$

$$\text{Berat sambungan, dll(10\%)} = 3.67 \text{ kg/m}$$

$$q_D = 40.37 \text{ kg/m}$$

- Beban merata ultimate

$$\begin{aligned} q_u &= 1.4 q_d \\ &= 1.4 (40.37) = 56.518 \text{ kg/m} \end{aligned}$$

- Beban terpusat lift

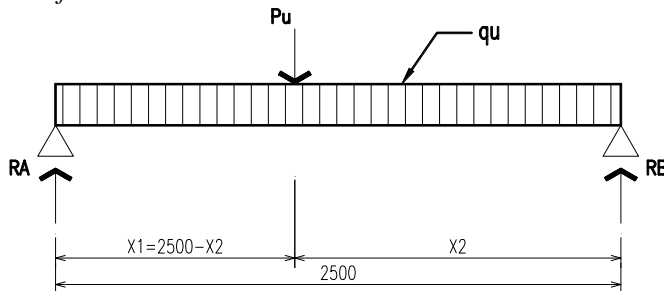
Pada pasal 4.6 Impact Load RSNI-03-1727:2013 (Peraturan Pembebaan Untuk Bangunan Gedung dan Struktur Lain) menyatakan bahwa semua beban elevator harus ditingkatkan 50% untuk mesin yang bergerak maju dan mundur atau tenaga-driven, direncanakan berdasarkan batas lendutan, atau spesifikasi teknik dari pembuat.

Faktor Elemen Beban Hidup (KLL)

$$R_A = R_1 \cdot KLL = 5450 \times (1 + 50\%) = 8175 \text{ kg}$$

$$R_B = R_2 \cdot KLL = 4300 \times (1 + 50\%) = 6450 \text{ kg}$$

- Perhitungan gaya dalam yang terjadi pada balok penumpu lift



Gambar 4.22. Model Pembebaan Balok Penumpu Lift

$$\sum M_B = 0$$

$$R_A \cdot L - P_u \cdot X_2 = 0$$

$$8175 \cdot 2,5 = P_u \cdot X_2$$

$$P_u = \frac{20437.5}{X_2} \dots \text{pers.1}$$

$$\sum M_A = 0$$

$$-R_B \cdot L - P_u \cdot (L - X_2) = 0$$

$$-6450.2,5 + \frac{20437.5}{X_2} (2,5 - X_2) = 0$$

$$-16125 + \frac{51093.75}{X_2} - 20437.5 = 0$$

$$36562.5 = \frac{51093.75}{X_2}$$

$$X_2 = \frac{51093.75}{36562.5}$$

$$X_2 = 1.397$$

$$X_1 = (L - X_2)$$

$$X_1 = (2,5 - 1.397)$$

$$X_1 = 1.103 \text{ m}$$

$$P_u = \frac{20437.5}{X_2}$$

$$P_u = \frac{20437.5}{1.397} = 14625 \text{ Kg}$$

- Momen maksimum

$$M_u = \frac{P_u \cdot X_1 \cdot X_2}{L} + \frac{1}{8} \cdot q_u \cdot L^2$$

$$M_u = \frac{14625.1,103.1,397}{2,5} + \frac{1}{8} \cdot 56,52.2,5^2$$

$$M_u = 9057.616 \text{ kg.m}$$

- Gaya geser

$$V_u = R_A + \frac{1}{2} \cdot q_u \cdot L$$

$$V_u = 8175 + \frac{1}{2} \cdot 56,52.2,5$$

$$V_u = 8245.648 \text{ kg}$$

- b. Kontrol penampang profil terhadap gaya lentur

- Kontrol penampang terhadap tekuk lokal
Pelat sayap

$$\lambda = \frac{b_f}{2t_f} = \frac{150}{2 \times 9} = 8.333$$

$$\lambda_p = 0.38 \sqrt{\frac{E}{f_y}} = 0.38 \sqrt{\frac{2 \times 10^5}{250}} = 10.748$$

$\lambda \leq \lambda_p \rightarrow 8.333 \leq 10.748 \rightarrow$ penampang sayap kompak

Pelat badan

$$\lambda = \frac{h_w}{t_w} = \frac{256}{6.5} = 39.385$$

$$\lambda_p = 3.76 \sqrt{\frac{E}{f_y}} = 3.76 \sqrt{\frac{2 \times 10^5}{250}} = 106.35$$

$\lambda \leq \lambda_p \rightarrow 39.385 \leq 106.35 \rightarrow$ penampang badan kompak

- Karena penampang kompak, maka $M_n = M_p$

$$M_p = f_y \cdot Z_x = 2500 \times 522.08 = 1305191.25 \text{ kgcm}$$

$$= 13051.913 \text{ kgm}$$

- Cek kemampuan penampang
 $\varnothing_b \cdot M_n \geq M_u$
 $\varnothing_b \cdot M_n = 0.9 \times 13051.913$
 $= 13051.913 \text{ kgm} > 9057.616 \text{ kgm} \dots \textbf{OK} !$
- Kontrol penampang terhadap tekuk lateral
 $L_b = 250 \text{ cm}$

$$L_p = 1.76 \times i_y \sqrt{\frac{E}{f_y}} = 1.76 \times 3.29 \sqrt{\frac{2 \times 10^6}{2500}} = 163.777 \text{ cm}$$

$$J = \sum \frac{1}{3} b t^3 \Rightarrow b_w = d - 2t_f = 300 - 2 \times 9 = 282 \text{ mm}$$

$$J = \frac{1}{3} (28.2) 0.65^3 + 2 \times \frac{1}{3} (15) 0.90^3 = 9.871 \text{ cm}^4$$

$$\frac{Jc}{S_x h_0} = \frac{9.871 \times 1}{481 \times 29.1} = 0.00071$$

$$L_r = 1.95 r_{is} \frac{E}{0.75 f_y} \sqrt{\frac{Jc}{S_x h_0} + \sqrt{\left(\frac{Jc}{S_x h_0}\right)^2 + 6.76 \left(\frac{0.7 f_y}{E}\right)^2}} = \\ 1.95 \times 3.944 \frac{2 \times 10^6}{0.75 \times 2500} \sqrt{0.00071 + \sqrt{(0.00071)^2 + 6.76 \left(\frac{0.7 \times 2500}{2 \times 10^6}\right)^2}}$$

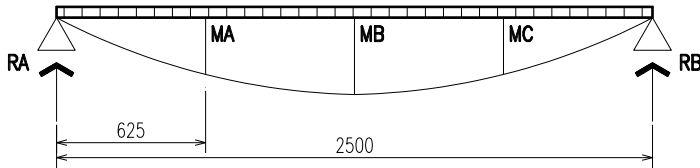
$$L_r = 455.79 \text{ cm}$$

$L_p < L_b < L_r$ (bentang menengah)

$$M_y = S_x \times f_y = 481 \times 2500 = 1202500 \text{ kgcm} \\ = 12025 \text{ kgm}$$

$$M_p = Z_x \times f_y = 522.08 \times 2500 = 1305191.913 \text{ kgcm} \\ = 13051.913 \text{ kgm}$$

$$M_r = S_x \times (f_y - f_r) = 481 \times (2500 - 750) = 841750 \text{ kgcm} \\ = 8417.50 \text{ kgm}$$



Gambar 4.23. Posisi M_A, M_B, M_C

$$M_A = M_C = \frac{1}{4} M_u$$

$$M_A = M_C = \frac{1}{4} \times 9057.616 = 2264.404 \text{ kgm}$$

$$C_b = \frac{12.5 M_{\max}}{2.5 M_{\max} + 3M_A + 4M_B + 3M_C} \leq 2.3$$

$$C_b =$$

$$\frac{12.5 \times 9057.616}{2.5 \times 9057.616 + 3 \times 2264.404 + 4 \times 9057.616 + 3 \times 2264.404} \leq 2.3$$

$$C_b = 1.563 \leq 2.3$$

$$M_n = C_b \left[M_p - \left(M_p - 0.7 f_y S_x \left(\frac{L_b - L_p}{L_r - L_p} \right) \right) \right] \leq M_p$$

$$= 1.56 \left[1305191.25 - \left(1305191.25 - 0.7 \times 2500 \times 481 \left(\frac{250 - 163.777}{455.79 - 163.777} \right) \right) \right]$$

$$M_n = 1825548.168 \text{ kgcm}$$

$$M_n = 18255.482 \text{ kgm} > M_p \text{ maka dipakai } M_p$$

- Cek kemampuan penampang

$$\varnothing_b \cdot M_n \geq M_u$$

$$\varnothing_b \cdot M_n = 0.9 \times 13051.913$$

$$= 11746.721 \text{ kgm} \geq 9057.616 \text{ kgm ... OK !}$$

c. Kontrol penampang profil terhadap gaya geser

$$\frac{h_w}{t_w} = \frac{256}{6.5} = 39.385 ; 1.10 \sqrt{k_v \frac{E}{f_y}} = 1.10 \sqrt{5 \times \frac{2 \times 10^6}{2500}} = 69.57$$

$$\text{karena } \frac{h_w}{t_w} \leq 1.10 \sqrt{k_v \frac{E}{f_y}} \rightarrow 39.385 \leq 69.57$$

maka $C_v = 1.00$; sehingga

$$V_n = 0.6 f_y A_w C_v = 0.6 \times 2500 \times (30 \times 0.65) \times 1.00 = 29250 \text{ kg}$$

$$\emptyset V_n \geq V_u$$

$$\emptyset V_n = 0.9 \times 29250$$

$$= 26325 \text{ kg} > 8245.648 \text{ kg} \dots \text{OK!}$$

d. Kontrol lendutan

$$L = 250 \text{ cm}$$

$$f_{ijin} = \frac{L}{240} = \frac{250}{240} = 1.042 \text{ cm}$$

$$f = \frac{5}{384} \times \frac{q_u L^4}{EI_x} + \frac{P_u \times X_1 (L^2 - X_1^2)^{\frac{3}{2}}}{9\sqrt{3}LEI_x}$$

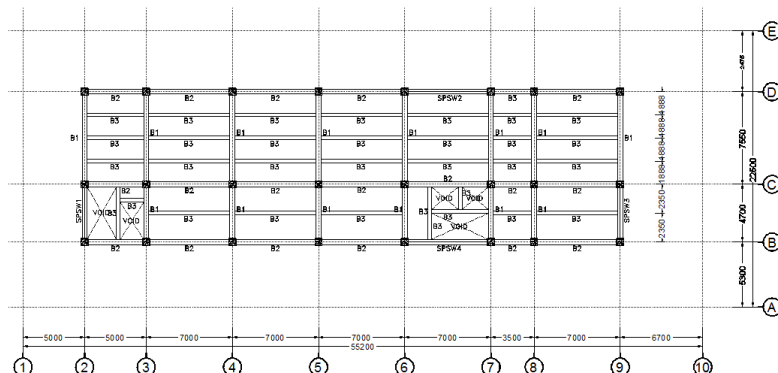
$$f = \frac{5}{384} \times \frac{0.565 \times 250^4}{2 \times 10^6 \times 7210} + \frac{14625 \times 110.3 (250^2 - 110.3^2)^{\frac{3}{2}}}{9\sqrt{3} \times 250 \times 2 \times 10^6 \times 7210}$$

$$= 0.069 \text{ cm}$$

$$f \leq f_{ijin} \rightarrow 0.069 \text{ cm} \leq 1.042 \text{ cm} \dots \text{OK!}$$

4.2. Permodelan Struktur

Pemodelan struktur pada tugas akhir ini menggunakan sistem dindin geser plat baja (SPSW). Struktur dinding geser plat baja berfungsi sebagai penahan gaya lateral yang terjadi akibat gempa. Struktur yang direncanakan adalah bangunan Hotel Premier Iin Surabaya ini yang terdiri dari 10 lantai hotel, dan 1 semi basement dengan total tinggi 42.4 meter. Denah dari struktur yang ada dalam permodelan tugas akhir penulis adalah sebagai berikut :



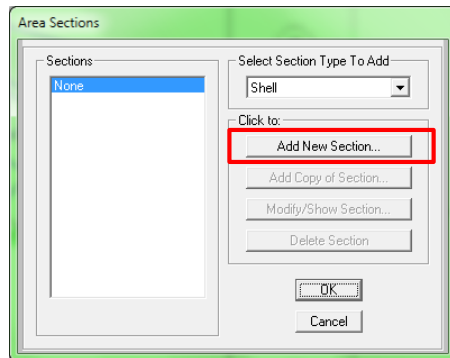
Gambar 4.24. Denah Struktur Hotel Premier Iin Surabaya

Pada gambar 4.24 arah vertikal mengikuti arah sumbu Y global (sumbu model) dan sumbu X adalah arah horisontal gambar. Analisis yang dilakukan pada struktur Hotel Premier Iin ini tanpa menggunakan dilatasi. Bentuk struktur yang tidak simetris akan memungkinkan struktur tersebut memiliki respon yang tidak beraturan. Ketidakberaturan respon tentunya dapat menimbulkan torsi pada elemen struktur. Hal ini bisa dikurangi dengan mengatur penempatan dinding geser sebagai penahan beban lateral.

Permodelan struktur Hotel Premier Iin dilakukan menggunakan program bantu SAP 2000. Pada program SAP 2000, struktur condotel akan dimodelkan sesuai dengan kondisi yang nyata. Program ini akan membantu dalam beberapa perhitungan yang akan digunakan untuk mengecek apakah struktur sudah memenuhi persyaratan yang ada di SNI-1726-2012 (Gempa) dan SNI-1729-2015 (Baja).

4.2.1. Permodelan dinding Geser Plat Baja

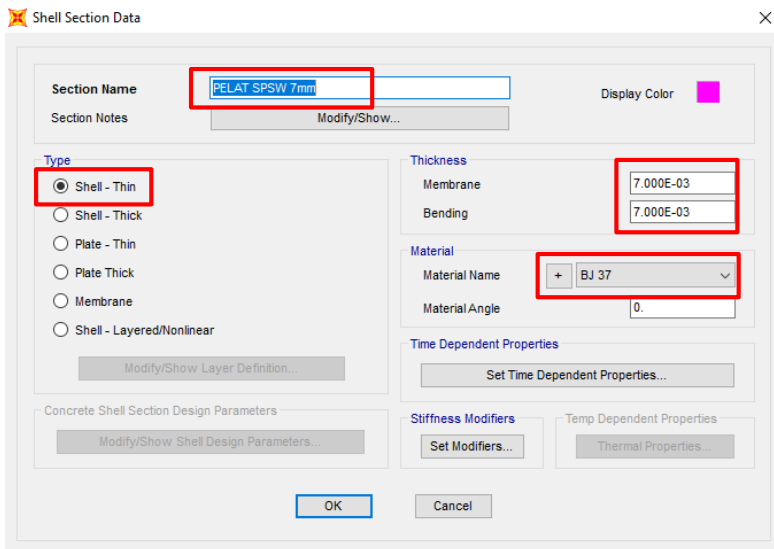
Elemen dinding geser plat baja (*SPSW*) dimodelkan sebagai elemen *shell* seperti pada plat lantai. Untuk definisi penampang dilakukan lewat *Area Sections* seperti berikut ini :



Gambar 4.25. Kotak Dialog Area Sections

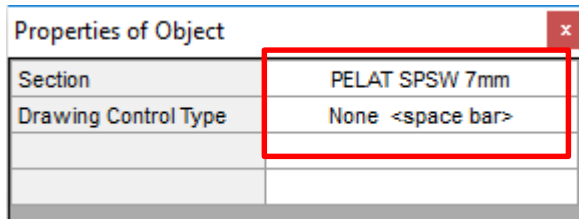
Klik *Add New Section...* dan akan muncul kotak dialog *Sheel Section Data*. Selanjutnya dilakukan tahapan pemberian nama dan pengaturan dimensi dinding geser plat baja (*SPSW*).

- Pemberian nama “Pelat SPSW 7 mm” pada *Section Name*.
- Pada *Material Name*, pilih mutu baja sesuai rencana yaitu “BJ37”.
- Pada *Thickness* diisi dengan ketebalan dinding geser yaitu 0.007 (dalam meter = 7 mm). karena dipakai elemen *Shell* maka diisikan nilai pada *Membrane* dan *Bending*.
- Klik *OK*, lalu *OK* lagi



Gambar 4.26. Kotak Dialog Shell Section Data

Penggambaran dinding geser plat baja menggunakan perintah *Draw Rectangular Area*. Kemudian pada kotak dialog *Properties of Object* klik kotak isian *Section* dan diganti ke pilihan “Pelat SPSW 7mm”.



Gambar 4.27. Kotak Dialog Properties of Object

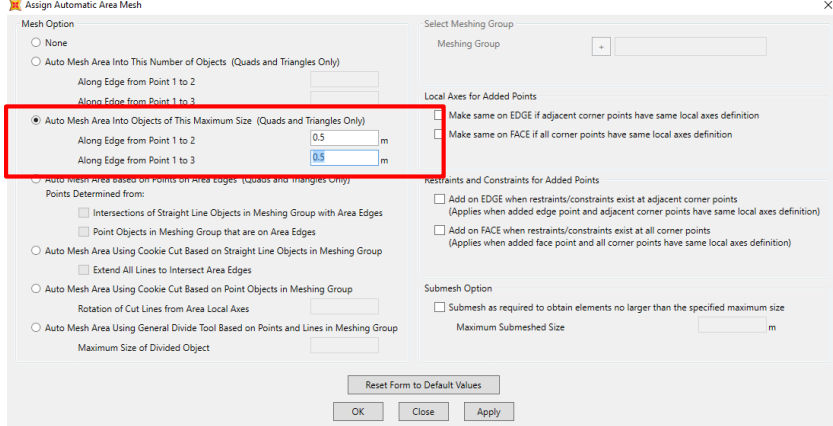
Cara penggambaran dibagi menjadi dua cara. Untuk cara pertama yaitu dengan mengeklik satu *joint* pojok kemudian klik *joint* pojok arah diagonalnya. Cara pertama ini dilakukan pada elevasi dasar atau lantai dasar.

Cara kedua digunakan pada lantai 2-10 dengan menggunakan perintah *Quick Draw Area*. Dengan cara ini cukup klik pada daerah tengah-tengah antara balok dan kolom dengan terlebih dahulu memilih *Section* yang digunakan yaitu "Pelat SPSW 7mm" pada kotak dialog *Properties of Object*.

Elemen *Shell* yang dipakai untuk permodelan dinding geser plat baja perlu dibagi ke dalam pias-pias kecil sejumlah tertentu.

Untuk dinding geser plat baja lantai 2-10 :

- Lakukan pemilihan pada dinding geser lantai 2-10.
- Kemudian klik *Assign > Area > Automatic Area Mesh...*
- Muncul kotak dialog *Assign Automatic Area Mesh*.
- Pada kotak dialog tersebut pilih *Mesh Area Into Object of This Maximum Size*. Lalu isikan :
 - *Along Edge from Point 1 to 2 = 0.5 m*
 - *Along Edge from Point 1 to 3 = 0.5 m*
- Hal ini dimaksudkan dinding geser di *Meshing* $0.5\text{m} \times 0.5\text{m}$
- Klik *OK*.

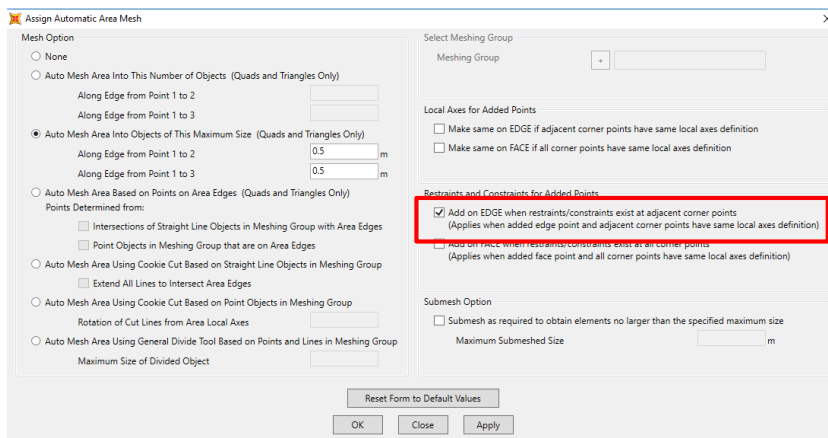


Gambar 4.28. Kotak Dialog Assign Automatic Area Mesh

Untuk dinding geser plat baja lantai 1 (dasar) :

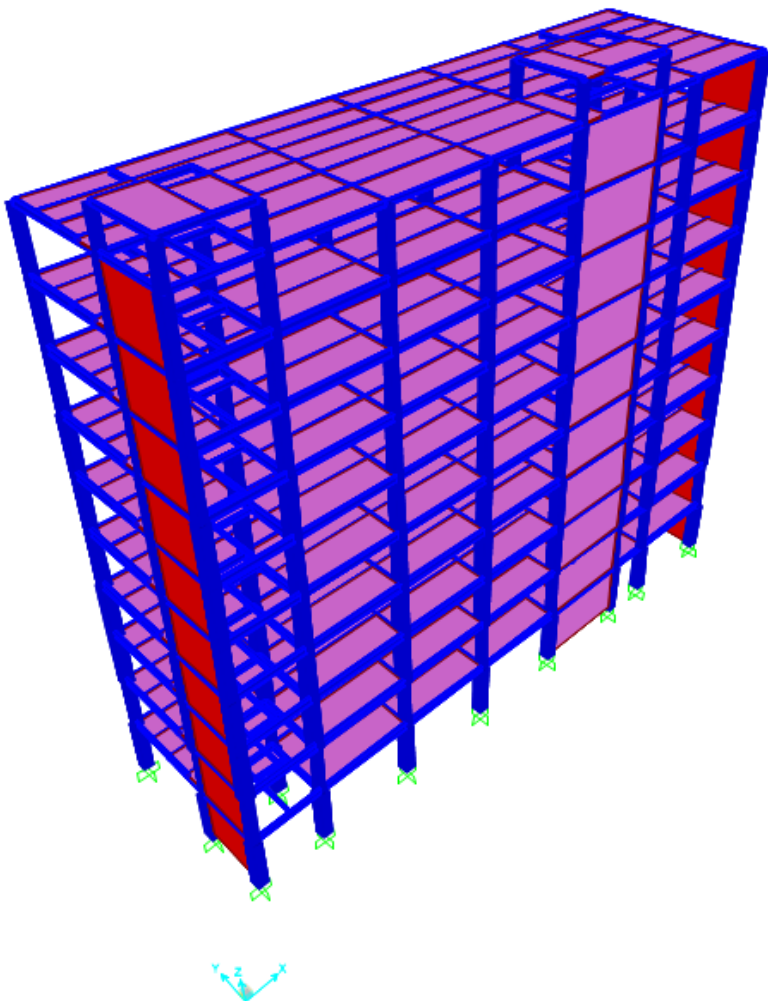
- Lakukan pemilihan pada dinding geser lantai 1.

- Langkah selanjutnya sama dengan langkah sebelumnya yaitu dengan membagi dinding geser menjadi pias *Meshering* 0.5m x 0.5m.
- Pada dinding geser lantai dasar diperlukan tumpuan atau jepitan pada bagian dinding gesernya, sehingga pada pembagian pias pada kotak dialog *Assign Automatic Area Mesh* diaktifkan pilihan *Add on Edge when restraints/constraints exist at adjacent corner point*.
- Kemudian klik *OK*.



Gambar 4.29. Akitifikasi Pilihan Add on Edge When Restraints / Constraints Exist at Adjacent Corner Point pada Kotak Dialog Assign Automatic Area Mesh

Permodelan yang sudah dilakukan dalam program SAP 2000 ditunjukkan pada Gambar 4.30.



**Gambar 4.30. Model 3 Dimensi Struktur Hotel Premier Inn
Surabaya dengan Dinding Geser Plat Baja (SPSW)**

4.2.2. Pembebanan Struktur Utama

Pembebanan struktur didasarkan pada Peraturan Pembebanan Indonesia Untuk Gedung (PPIUG 1983) dan SNI (1727;2013) dengan rincian sebagai berikut :

1. Beban mati (*dead load*)

Beban mati adalah seluruh bagian bangunan yang bersifat tetap yang tidak terpisahkan dari bangunan selama masa layannya. Beban mati yang dihitung pada struktur ini antara lain :

- a. Berat sendiri beton bertulang yang memiliki massa jenis sebesar 2400 kg/m^3
- b. Berat pelat bondek sebesar $10,1 \text{ kg/m}^2$
- c. Berat sendiri baja profil yang terpasang sebagai struktur rangka baja berupa kolom, balok, dan bresing dengan massa jenis sebesar 7850 kg/m^3 .
- d. Beban dinding bata ringan $12,5 + \text{plester } 2 \text{ cm}$ sebesar 75 kg/m^2
- e. Beban spesi sebesar 22 kg/m^2 untuk setiap ketebalan 1 cm.
- f. Beban aspal sebesar 14 kg/m^2 untuk setiap ketebalan 1 cm
- g. Beban *ducting plumbing* yang ditetapkan sebesar 19.528 kg/m^2 .
- h. Beban keramik sebesar 24 kg/m^2 untuk setiap ketebalan 1 cm
- i. Beban plafon dan penggantung sebesar 18 kg/m^2 .
- j. Beban lift adalah beban terpusat pada balok lantai teratas. Besar beban lift terlampir.

Rincian pembebanan untuk beban mati adalah sebagai berikut:

- Pelat atap $q_D = b + 2f + g + i = 65.528 \text{ kg/m}^2$
- Pelat lantai condotel $q_D = b + 2e + g + h + i = 103.528 \text{ kg/m}^2$

2. Beban hidup (*live load*)

Beban hidup adalah beban yang bertumpu pada bangunan yang memiliki kemungkinan untuk lepas dari bangunan tersebut. Beban hidup yang di pikul oleh bangunan gedung ini yaitu sesuai dengan peraturan SNI 1727:2013 pada tabel 4-1. Rincian pembebanan untuk beban hidup adalah sebagai berikut :

$$\begin{aligned}\text{Lantai atap} &= 20 \text{ Psf} = 97.24 \text{ kg/m}^2 \\ \text{Lantai Hotel} &= 100 \text{ Psf} = 488.24 \text{ kg/m}^2\end{aligned}$$

3. Beban gempa (*earthquake load*)

Perhitungan beban gempa pada bangunan ini dilakukan dengan menganalisa beban gempa dinamis. Untuk parameter gempa yang digunakan diambil dari dinas Pekerjaan Umum.

A. Berat Total Bangunan

Perhitungan berat per lantai bangunan ini berdasarkan RSNI 03-1727-1989 tabel P3-1. Perhitungan nilai total berat bangunan ini akan digunakan untuk menentukan gaya geser statik. Nilai tersebut digunakan untuk mengecek apakah perhitungan struktur Gedung Hotel Premier Iin Surabaya yang menggunakan pembebanan gempa dinamik gaya geser nya sudah mencapai 80% gaya geser statik.

Pada tugas akhir ini perhitungan berat struktur diambil dari hasil analisis menggunakan program SAP 2000 untuk kombinasi 1D + 1L.

B. Kombinasi Pembebanan

Kombinasi pembebanan diperlukan dalam sebuah perencanaan struktur bangunan. Pada saat konstruksi, tentunya beban-beban yang bekerja pada struktur hanyalah beban-beban mati saja dan beban hidup sementara akibat dari pekerja bangunan. Sedangkan pada masa layan, beban-beban hidup permanen dari aktifitas pemakai gedung dan barang-barang inventaris yang dapat bergerak di dalam gedung. Hal ini tentunya akan berdampak pada kekuatan rencana elemen

struktur yang direncanakan berdasarkan kombinasi pembebanan terbesar akibat penjumlahan beban-beban yang bekerja dengan faktor beban LRFD (*Load Resistance Factor Design*).

Kombinasi pembebanan yang dipakai pada struktur gedung ini mengacu pada SNI-1726-2012 sebagai berikut :

- 1.4 DL
- 1.2 DL + 1.6 LL
- 1.2 DL + 1.0E + 1.0LL
- 0.9 DL + 1.0E

Keterangan :

DL : beban mati

LL : beban hidup

E : beban gempa yang dinyatakan dalam 2 arah

Dua kombinasi pertama merupakan kombinasi pembebanan yang dipengaruhi oleh beban mati dan hidup saja. Sedangkan dua kombinasi pembebanan berikutnya telah dipengaruhi oleh beban gempa.

C. Pembebanan Gempa Dinamis

Pada struktur Gedung Hotel Premier Iin ini mempunyai jumlah lantai 10 tingkat dengan ketinggian 42,4 m. Perhitungan beban gempa pada struktur ini ditinjau dengan pengaruh gempa dinamik sesuai SNI 03-1726-2012. Analisisnya dilakukan berdasarkan analisis respon dinamik dengan parameter-parameter yang sudah ditentukan.

1. Lantai Tingkat sebagai Diafragma

Menurut SNI 03-1726-2012 Pasal 7.3.1.2 bahwa lantai dengan dek metal yg diberi penutup *topping* beton dapat dianggap kaku dalam bidangnya dan karenanya dapat dianggap bekerja sebagai diafragma terhadap beban gempa horizontal.

2. Arah Pembebaan

Beban gempa yang bekerja pada struktur bangunan terjadi dalam arah sembarang (tidak terduga) baik dalam arah x dan y secara bolak-balik dan periodikal. Untuk mensimulasikan arah pengaruh gempa rencana yang sembarang terhadap struktur gedung, pengaruh pembebaan gempa rencana dalam arah utama harus dianggap efektif 100% dan harus dianggap terjadi bersamaan dengan pengaruh pembebaan gempa yang arahnya tegak lurus dengan arah utama dengan efektifitas 30%.

- Gempa Respon Spektrum X :
100% efektivitas untuk arah X dan 30% efektivitas arah Y
- Gempa Respon Spektrum Y :
100% efektivitas untuk arah Y dan 30% efektifitas arah X

3. Parameter Respon Spektrum Rencana

- a) Menentukan Kategori Resiko Bangunan Gedung
Berdasarkan SNI 1726:2012 Tabel 1, bangunan yang dirancang masuk kedalam kategori resiko II.
- b) Menentukan Faktor Keutamaan Gempa
Berdasarkan Kategori gempa yang didapat maka dari SNI 1726:2012 Tabel 2 dapat ditentukan Faktor Keutamaan Gempanya yaitu $I_e = 1$
- c) Menentukan Parameter Percepatan Gempa
Nilai parameter percepatan gempa didapat dari peta zonasi gempa pada untuk kota Bekasi didapat nilai $S_s = 0,663g$ dan $S_1 = 0,247g$.
- d) Menentukan Klasifikasi Situs
Menurut SNI 1726:2012 pasal 5.3 untuk menentukan klasifikasi situs dapat ditentukan salah satunya dengan menentukan nilai N berdasarkan data hasil SPT.

Tabel 4.1. Perhitungan N Rata-rata

NO	Kedalaman	Tebal (di)	N-SPT (Ni)	di/Ni
	m	m		
1	0			
2	2	2	9	0.222
3	4	2	7	0.286
4	6	2	3	0.667
5	8	2	1	2.000
6	10	2	1	2.000
7	12	2	1	2.000
8	14	2	5	0.400
9	16	2	20	0.100
10	18	2	50	0.040
11	20	2	50	0.040
12	22	2	50	0.040
13	24	2	18	0.111
14	26	2	15	0.133
15	28	2	14	0.143
16	30	2	50	0.040
17	32	2	20	0.100
18	34	2	27	0.074
19	36	2	25	0.080
Total		36		8.476
			N	4.247

Dari perhitungan nilai N rata- rata pada tabel 4.1 diperoleh jenis tanah kategori **tanah lunak**.

- e) Menentukan Koefisien Situs
Berdasarkan tabel 4 dan 5 pada SNI 1726:2012 dapat diketahui nilai $F_a = 1,374$ dan $F_v = 3,012$ (dari hasil interpolasi)
- f) Menghitung Parameter Percepatan Desain Spektral
Sebelum menentukan parameter percepatan desain spektral perlu dihitung nilai parameter respons percepatan

pada periode pendek (S_{MS}) dan pada periode 1 detik (S_{M1}) dengan persamaan pada SNI 1726:2012 Pasal 6.2 persamaan (5) dan (6). Selanjutnya nilai SDS dan $SD1$ dapat dicari pada SNI 1726:2012 Pasal 6.3 persamaan (7) dan (8).

$$S_{MS} = F_a \times S_S = 1,374 \times 0,663 g = 0,911 g$$

$$S_{M1} = F_v \times S_1 = 3,012 \times 0,247 g = 0,744 g$$

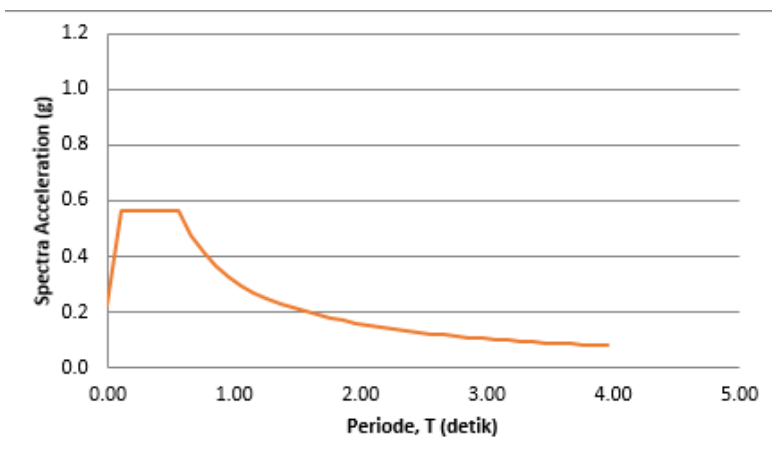
$$S_{DS} = \frac{2}{3} S_{MS} = \frac{2}{3} \times 0,911 g = 0,607 g$$

$$S_{D1} = \frac{2}{3} S_{M1} = \frac{2}{3} \times 0,744 g = 0,546 g$$

- g) Menentukan Kategori Desain Seismik
Berdasarkan tabel 6 dan 7 pada SNI 1726:2012 dilihat dari kategori resiko yang didapat pada tinjauan sebelumnya maka diketahui bangunan termasuk kategori desain seismik D untuk kedua parameter S_{DS} dan S_{D1} .
- h) Menentukan parameter struktur R , C_d , Ω_0
Berdasarkan SNI 1726:2012 pasal 7.2.2 tabel.9 didapat nilai parameter struktur bangunan untuk sistem rangka baja dengan dinding geser plat baja adalah :
nilai faktor pembesaran defleksi (C_d) = 6,
nilai koefisien modifikasi respon (R) = 7.5 dan
nilai faktor kuat lebih sistem (Ω) = 2.5

Tabel 4.2. Parameter Respon Gempa Wilayah Surabaya untuk Kelas Situs E (Tanah Lunak)

Variabel	Nilai
PGA (g)	0.325
S _s (g)	0.663
S ₁ (g)	0.247
C _{RS}	0.991
C _{R1}	0.929
F _{PGA}	1.124
F _A	1.374
F _v	3.012
PSA (g)	0.366
S _{MS} (g)	0.911
S _{M1} (g)	0.744
S _{Ds} (g)	0.607
S _{D1} (g)	0.496
T ₀ (detik)	0.163
T _s (detik)	0.817



Gambar 4.31. Grafik Spektral Percepatan Gempa Wilayah Surabaya

i) Analisa Model Respon Spektrum

Untuk grafik respons spektrum rencana, penggambarannya mengikuti ketentuan SNI 1726:2012 Pasal 6.4 berikut :

- Batasan Periode

$$T_0 = 0,2 \frac{S_{D1}}{S_{DS}} = 0,2 \times \frac{0,496}{0,607} = 0,163 \text{ detik}$$

$$T_s = \frac{S_{D1}}{S_{DS}} = \frac{0,496}{0,607} = 0,817 \text{ detik}$$

- Respon spektrum percepatan desain saat $T < T_0$

$$S_a = S_{DS} \left(0,4 + 0,6 \frac{T}{T_0} \right)$$

Misalkan saat $T = 0$ detik maka S_a :

$$S_a = 0,607 \left(0,4 + 0,6 \frac{0}{0,163} \right) = 0,243 g$$

- Respon spektrum percepatan desain saat $T_0 \leq T \leq T_s$
 $S_a = S_{DS} = 0,607 g$

- *Respon Spektrum Percepatan Desain saat $T \geq T_s$*

$$S_a = \frac{S_{D1}}{T}$$

Tabel 4.3. Nilai Periode Fundamental (T) dan Percepatan Respon Spektra (Sa) berdasarkan ketentuan SNI1726:2012

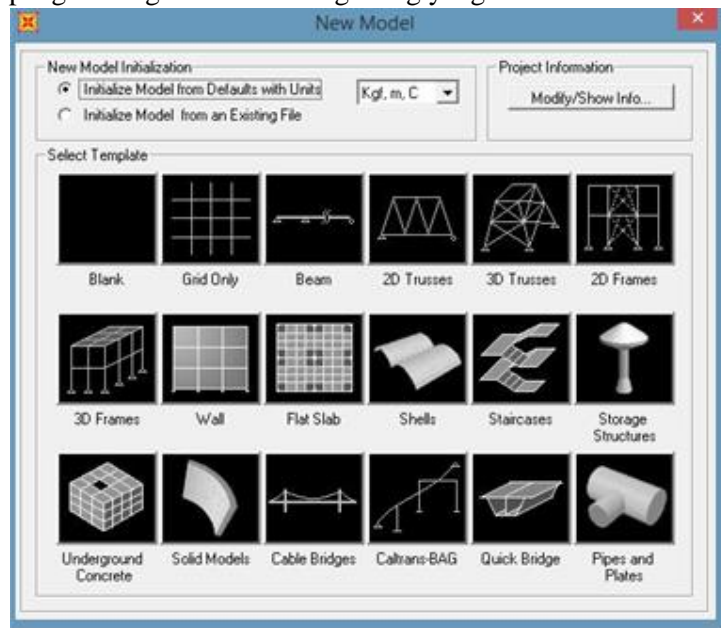
Pasal 6.4.

T	SA (Spectra Acceleration)
0.000	0.243
0.163	0.607
0.817	0.607
0.917	0.541
1.017	0.488
1.117	0.444
1.217	0.408
1.317	0.377
1.417	0.350
1.517	0.327
1.617	0.307
1.717	0.289
1.817	0.273
1.917	0.259
2.017	0.246
2.117	0.234
2.217	0.224
2.317	0.214
2.417	0.205
2.517	0.197
2.617	0.190
2.717	0.183
2.817	0.176
2.917	0.170
3.017	0.164
3.117	0.159
3.217	0.154
3.317	0.150
3.417	0.145
3.517	0.141
3.617	0.137
3.717	0.133
3.817	0.130
3.917	0.127
4.017	0.123
4.117	0.120
4.217	0.118

D. Permodelan 3D pada Program SAP2000

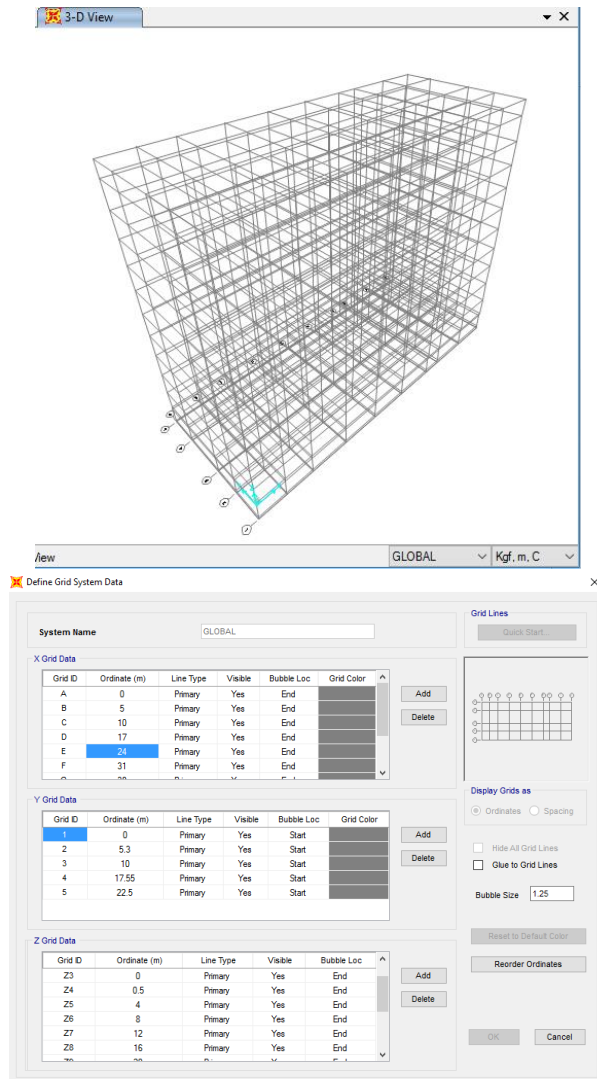
adapun cara memodelkan struktur bangunan dengan menggunakan *Hexagonal castellated beam* yaitu :

1. Memodelkan struktur dalam bentuk 3D Frame dan lakukan pengeditan grid sesuai data gedung yang akan dianalisa.



Gambar 4.32. Pemilihan Model Rangka

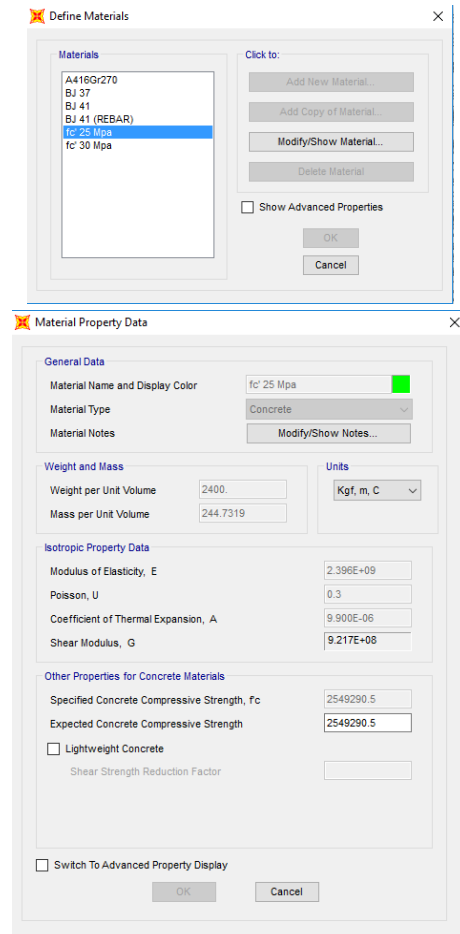
2. Klik kanan pada layar edit grid data kemudian klik modify/show system dan edit sesuai kebutuhan.



Gambar 4.33. Input Edit Grid Data

3. Penentuan Jenis Material

Masukkan jenis material beton dan baja sesuai perencanaan yaitu untuk mutu beton pelat f'_c 25 dan untuk baja menggunakan BJ41.

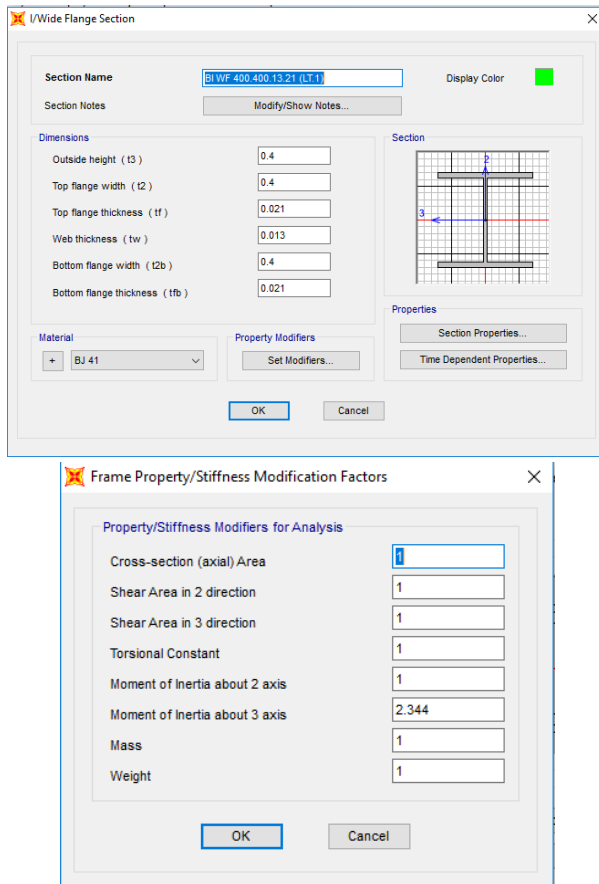


Gambar 4.34. Input edit material data

4. Penentuan Dimensi Frame

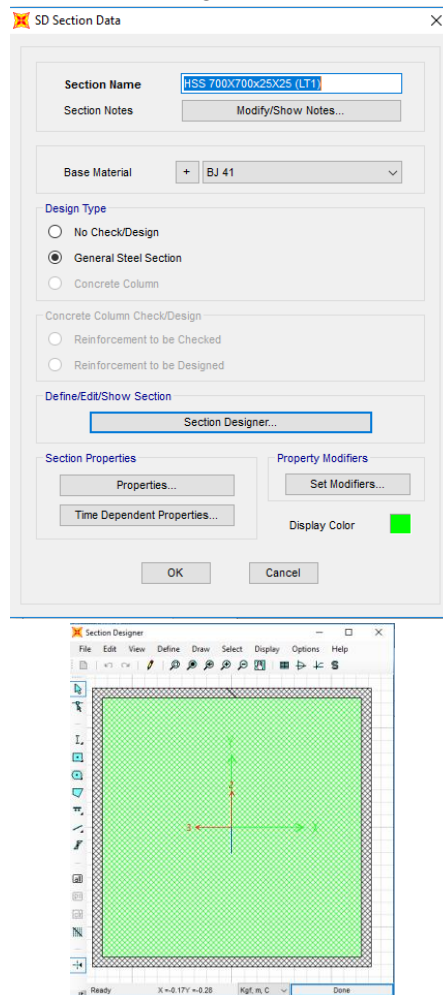
- Untuk Profil *Castellated*

Buatlah profil WF sebelum dicastellated kemudian naikan inersia profil tersebut dengan menaikkan *moment of inertia about 3 axis* pada *section modifiers* dengan perhitungan I_x Castella rata-rata dibagi dengan I_x WF tersebut.



Gambar 4.35. Penentuan dimensi frame balok

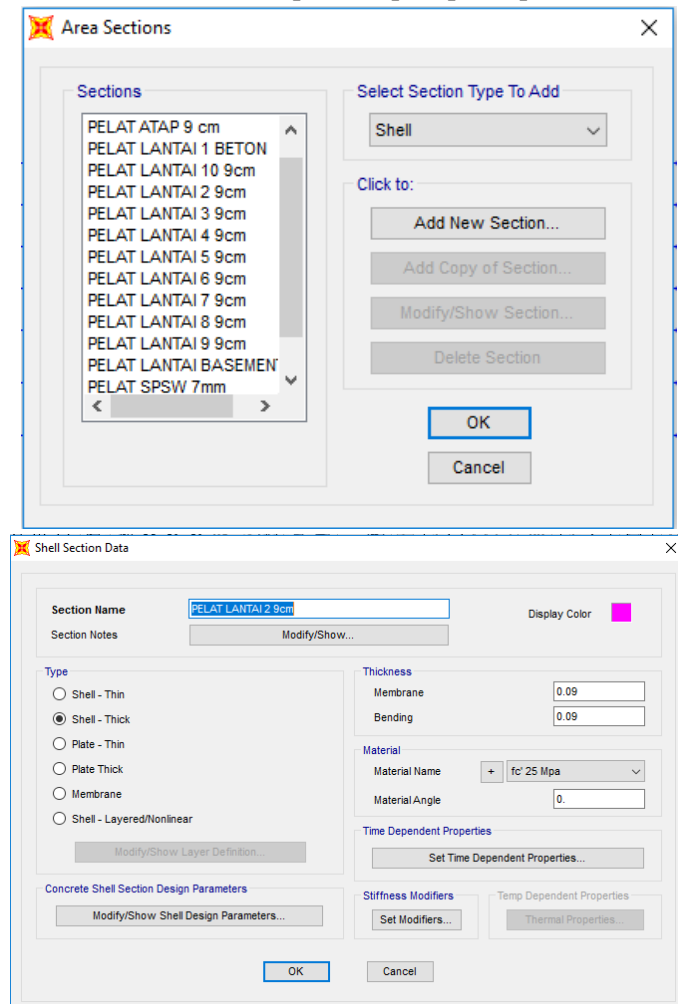
- Untuk Profil *Concrete Filled Steel Tube*
Buatlah profil *Concrete Filled Steel Tube* dengan menggunakan section designer.



Gambar 4.36. Penentuan Dimensi Frame kolom

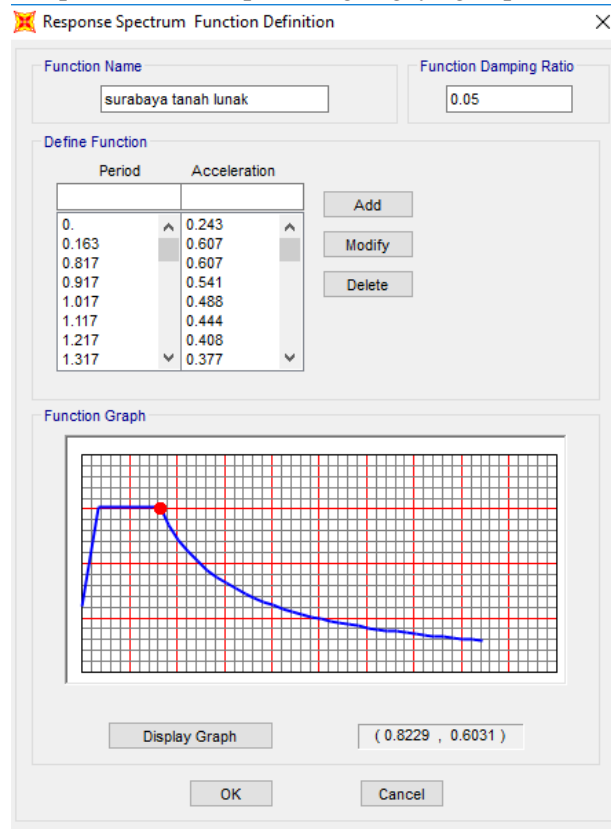
5. Penentuan Dimensi Area

Define section properties, kemudian klik area section dan add new section, Rencanakan pelat atap atap dan pelat lantai.



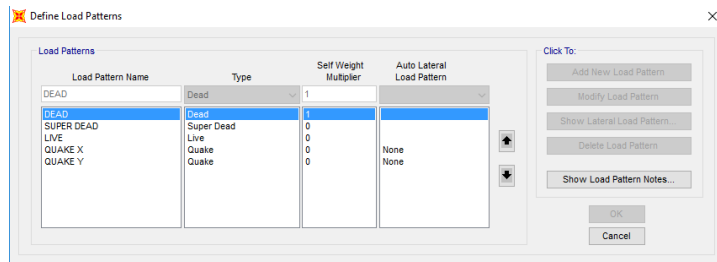
Gambar 4.37. Input Area Section Pelat

6. *Define Response Spectrum Function*, memasukkan nilai respon Spektrum sesuai perhitungan gaya gempa dinamis.



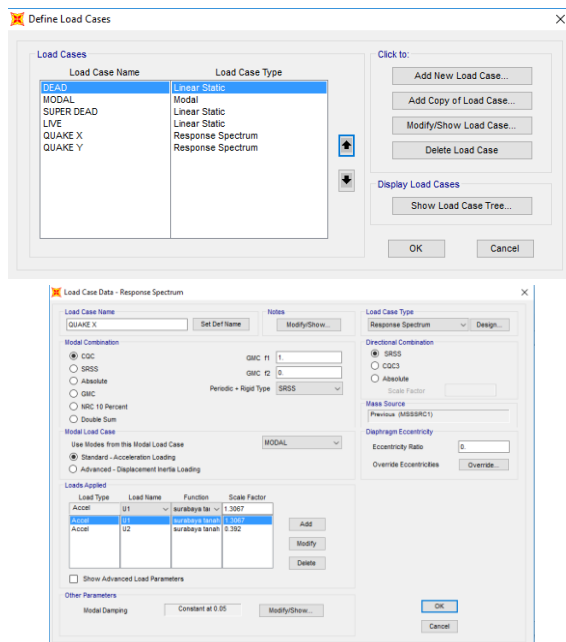
Gambar 4.38. Input Respon Spectrum Gempa

7. *Define Load Patterns*, program SAP 2000 akan secara otomatis akan menghitung berat sendiri struktur berdasarkan penampang elemen dan spesifikasi material.



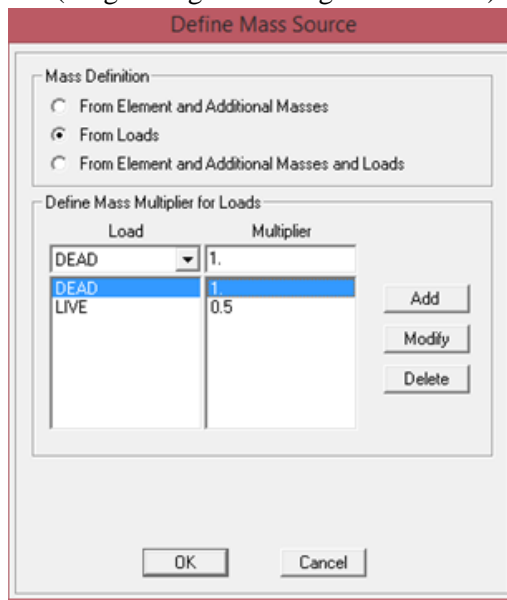
Gambar 4.39. Input Data Load Pattern

8. *Define Load Cases*, masukkan skala faktor dari beban-beban yang akan digunakan dalam analisa sesua load pattern yang telah dibuat.



Gambar 4.40. Define Load Case

9. *Define Load Combination*, masukkan kombinasi beban sesuai pasal 2.3.2 SNI 1727:2013.
10. Tentukan nilai massa, klik *define Mass Source* , masa yang berasal dari beban hidup (LL) digunakan sebagai masa gempa sebesar 50% (fungsi bangunan sebagai Perhotelan).



Gambar 4.41. Input Nilai Massa

11. Menggambarkan elemen frame (balok kolom) dan *area section* untuk pelat atap dan pelat lantai.
12. Memasukkan pembebanan struktur dengan memasukkan angka pembebanan yang telah dihitung sebelumnya.
13. *Restraint*, menentukan jenis perletakan pada bagian bawah struktur. Jenis perletakan yang digunakan adalah perletakan jepit.

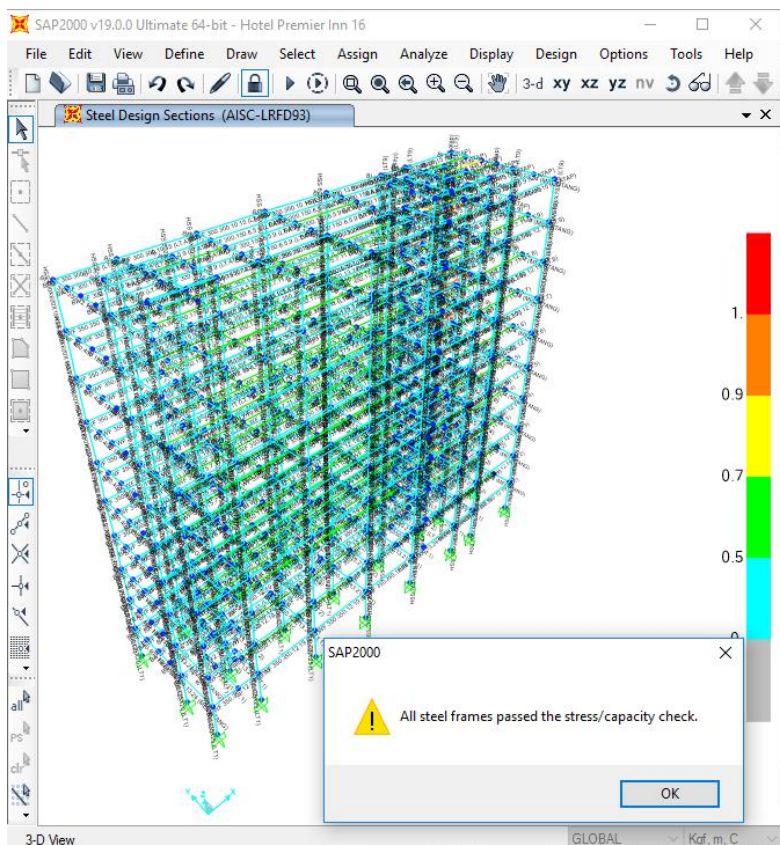
14. *Running*, semua (CL,LL, Gempa, dan Modal) di run secara linier.
15. Untuk melihat hasil gaya dalam, pilih *frame* yang ingin ditinjau kemudian *display* dan *show table* pilih output yang akan ditinjau.

E. Kontrol Desain

Setelah dilakukan pemodelan struktur 3 dimensi dengan program bantu SAP 2000, hasil analisis struktur harus dikontrol terhadap suatu batasan-batasan tertentu sesuai dengan peraturan SNI 03-1726-2012 untuk menentukan kelayakan sistem struktur tersebut. Adapun hal-hal yang harus dikontrol adalah sebagai berikut :

- Kontrol partisipasi massa.
- Kontrol periode getar struktur.
- Kontrol nilai akhir respon spektrum.
- Kontrol batas simpangan (*drift*)

Dari analisis tersebut juga diambil gaya dalam yang terjadi pada masing-masing elemen struktur untuk dilakukan pengecekan kapasitas penampang.



Gambar 4.42. Hasil Analisis Struktur Menggunakan Program Bantu SAP 2000

1. Kontrol Partisipasi Massa

Menurut SNI 1726 pasal 7.9.1, bahwa perhitungan respon dinamik struktur harus sedemikian rupa sehingga partisipasi massa ragam terkombinasi paling sedikit sebesar 90% dari massa aktual dari masing-masing arah.

Dalam hal ini digunakan bantuan program SAP 2000 untuk mengeluarkan hasil partisipasi massa seperti pada Tabel 4.2 berikut :

Tabel 4.4. Rasio Partisipasi Massa Hotel Premier Iin

Surabaya

TABLE: Modal Participating Mass Ratios				
OutputCase	StepType	StepNum	SumUX	SumUY
Text	Text	Unitless	Unitless	Unitless
MODAL	Mode	1	3.804E-12	0.0002489
MODAL	Mode	2	7.818E-12	0.0004997
MODAL	Mode	3	0.0003055	0.0004997
MODAL	Mode	4	0.0003547	0.0004997
MODAL	Mode	5	0.0003547	0.021
MODAL	Mode	6	0.0003552	0.022
MODAL	Mode	7	0.027	0.022
MODAL	Mode	8	0.027	0.96
MODAL	Mode	9	0.922	0.96
MODAL	Mode	10	0.962	0.96
MODAL	Mode	11	0.962	0.976
MODAL	Mode	12	0.989	0.976

Dari tabel di atas didapat partisipasi massa arah X sebesar 96% pada moda ke 9 dan partisipasi massa arah Y sebesar 96% pada moda ke 10. Maka dapat disimpulkan analisis struktur yang sudah dilakukan telah memenuhi syarat yang terdapat pada SNI-03-1726-2012 pasal 7.9.1 yaitu partisipasi massa ragam terkombinasi paling sedikit sebesar 90%.

2. Kontrol Waktu Getar Alami Fundamental

Untuk mencegah pengunaan struktur gedung yang terlalu fleksibel, nilai waktu getar alami fundamental (T) dari struktur gedung harus dibatasi. Berdasarkan SNI 03-

1726-2012, periода fundamental struktur harus ditentukan dari :

$$T = C_t \cdot h_n^x$$

Nilai T di atas adalah batas bawah periode struktur yang ditinjau. Untuk batas atas nya dikalikan dengan koefisien batas. Besarnya koefisien tersebut tergantung dari nilai S_{D1} .

Struktur gedung Hotel Premier Iin Surabaya memiliki tinggi 42.4 m. Pada struktur ini digunakan sistem rangka baja dengan dinding geser plat baja sehingga pada tabel 15 SNI 03-1726-2012 didapatkan nilai :

$$C_t = 0,0488$$

$$x = 0.75$$

$$h_n = 42.4 \text{ m}$$

maka :

$$T = 0.0488 \times 42.4^{0.75} = 0.811 \text{ s}$$

Nilai C_u didapat dari tabel 14 SNI 03-1726-2012, untuk nilai $S_{D1} = 0.496$, maka :

$$C_u \times T = 1.4 \times 0.811 = 1.135 \text{ s}$$

Dari hasil analisis SAP 2000 didapat,

Tabel 4.5. Perioda dan Frekuensi Struktur

TABLE: Modal Periods And Frequencies						
OutputCase	StepType	StepNum	Period	Frequency	CircFreq	Eigenvalue
Text	Text	Unitless	Sec	Cyc/sec	rad/sec	rad2/sec2
MODAL	Mode	1	1.020895	0.979532189	6.15458226	37.8788828
MODAL	Mode	2	1.015406	0.984827502	6.187853689	38.28953328
MODAL	Mode	3	0.531105	1.882868484	11.8304116	139.9586385
MODAL	Mode	4	0.529125	1.88991145	11.87466385	141.0076416
MODAL	Mode	5	0.374838	2.66781963	16.7624051	280.9782247
MODAL	Mode	6	0.332305	3.009279444	18.90786039	357.5071844
MODAL	Mode	7	0.307777	3.249104991	20.41472874	416.7611496
MODAL	Mode	8	0.267719	3.735261732	23.46934163	550.8099966
MODAL	Mode	9	0.248003	4.032208834	25.3351153	641.8680673
MODAL	Mode	10	0.243239	4.111185508	25.83134038	667.2581457
MODAL	Mode	11	0.053969	18.52909959	116.4217663	13554.02767
MODAL	Mode	12	0.035425	28.22891426	177.3674993	31459.22981

Dari tabel di atas didapat $T = 1.021$ s. Maka berdasarkan kontrol waktu getar alami fundamental nilai T masih lebih kecil dari $C_u \times T$. Jadi analisis struktur gedung Hotel Premier Iin Surabaya masih memenuhi syarat SNI 03-1726-2012 Pasal 7.8.2.

3. Kontrol Nilai Akhir Respon Spektrum

Berdasarkan SNI 03-1726-2012, nilai akhir respon dinamik struktur gedung dalam arah yang ditetapkan tidak boleh kurang dari 85% nilai respons statik. Rumus gaya geser statik adalah :

$$V = C_s \cdot W \quad (\text{SNI 03-1726-2012 Pasal 7.8.1})$$

Dimana :

$$C_s = \frac{SDs}{\left(\frac{R}{T_e}\right)} = \frac{0.607}{\left(\frac{7.5}{1}\right)} = 0.065$$

Nilai C_s tidak perlu diambil lebih besar dari:

$$C_s = \frac{SD1}{T\left(\frac{R}{T_e}\right)} = \frac{0.496}{1.021\left(\frac{7.5}{1}\right)} = 0.081 > 0.065 \dots\dots (\text{OK...!})$$

Maka diambil $C_s = 0.065$

Dan tidak lebih kecil dari :

$$\begin{aligned}
 C_s &= 0.044 \times S_{DS} \times I_e \\
 &= 0.044 \times 0.496 \times 1 \\
 &= 0.027 < 0.065 (\text{OK...!})
 \end{aligned}$$

Dari analisis yang sudah dilakukan, didapatkan nilai berat total struktur Hotel Premier Iin adalah :

Tabel 4.6. Reaksi Dasar Struktur

TABLE: Base Reactions				
OutputCase	CaseType	GlobalFX	GlobalFY	GlobalFZ
Text	Text	Kgf	Kgf	Kgf
QUAKE X	LinRespSpec	194211.58	57971.4	162.02
QUAKE Y	LinRespSpec	58263.54	193241.2	144.49
1D+1L	Combination	-2.82E-08	-4.3E-07	6651288

Dari tabel di atas didapat berat total struktur adalah 6612988 kg. Maka :

$$\begin{aligned}
 V_{\text{statik}} &= C_s \cdot W \\
 &= 0.065 \times 6651288 \text{ kg} \\
 &= 430848 \text{ kg}
 \end{aligned}$$

Dari hasil analisis menggunakan program SAP 2000 didapatkan nilai gaya geser dasar (base shear) sebagai berikut :

Tabel 4.7. Gaya Geser Dasar Akibat Beban Gempa

TABLE: Base Reactions			
OutputCase	CaseType	GlobalFX	GlobalFY
Text	Text	Kgf	Kgf
QUAKE X	LinRespSpec	194211.58	57971.4
QUAKE Y	LinRespSpec	58263.54	193241.2

Kontrol :

- Untuk gempa arah X :

$$V_{\text{dinamik}} \geq 85\% \times V_{\text{statik}}$$

$$194211.58 \text{ kg} > 85\% \times 430848 \text{ kg}$$

$$194211.58 \text{ kg} > 366220.785 \text{ kg} (\text{Not OK...!})$$

- Untuk gempa arah Y :

$$V_{\text{dinamik}} \geq 85\% \times V_{\text{statik}}$$

$$193241.2 \text{ kg} > 85\% \times 430848 \text{ kg}$$

$$193241.2 \text{ kg} > 366220.785 \text{ kg} (\text{Not OK...!})$$

Dari kontrol di atas, analisis gedung Hotel Premier Iin Surabaya masih belum memenuhi syarat nilai akhir respon. Pada Pasal 11.1.4 SNI 03-1726-2012 Pasal 7.9.4.2 dijelaskan apabila gaya geser dasar hasil analisis kurang dari 85%, maka harus diperbesar dengan faktor skala $0.85 \times \frac{Cs \times W}{V}$.

Untuk arah X :

$$0.85 \times \frac{Cs \times W}{V} = 0.85 \times \frac{0.081 \times 6651287.82}{194211.58} = 2,357$$

Untuk arah Y :

$$0.85 \times \frac{Cs \times W}{V} = 0.85 \times \frac{0.081 \times 6651287.82}{194211.18} = 2,369$$

Setelah dikali faktor skala di atas didapatkan gaya geser dasar sebagai berikut :

Tabel 4.8. Gaya Geser Dasar Akibat Beban Gempa Setelah

Dikalikan dengan Faktor Skala

TABLE: Base Reactions		
OutputCase	GlobalFX	GlobalFY
Text	Kgf	Kgf
QUAKE X	457756.7	136642.1
QUAKE Y	138029.9	457788.4

Kontrol :

- Untuk gempa arah X :

$$V_{\text{dinamik}} \geq 85\% \times V_{\text{statik}}$$

$$457756.7 \text{ kg} > 85\% \times 430848 \text{ kg}$$

$$457756.7 \text{ kg} > 366220.785 \text{ kg (OK...!)}$$

- Untuk gempa arah Y :

$$V_{\text{dinamik}} \geq 85\% \times V_{\text{statik}}$$

$$457788.4 \text{ kg} > 85\% \times 430848 \text{ kg}$$

$$457788.4 \text{ kg} > 366220.785 \text{ kg (OK...!)}$$

Dari kontrol di atas dapat disimpulkan bahwa analisis struktur gedung Hotel Premier Iin Surabaya masih memenuhi persyaratan SNI 03-1726-2012 Pasal 7.8.

4. Kontrol Batas Simpangan Antar Lantai (*Drift*)

Pembatasan simpangan antar lantai suatu struktur bertujuan untuk mencegah kerusakan non-struktur dan ketidaknyamanan penghuni.

Berdasarkan SNI 03-1726-2012 Pasal 7.9.3 untuk memenuhi persyaratan simpangan digunakan rumus :

$$\Delta_i \leq \Delta_a$$

Dimana :

Δ_i = Simpangan yang terjadi

Δ_a = Simpangan ijin antar lantai

Perhitungan Δ_i untuk tingkat 1 :

$$\Delta_1 = C_d \times \delta_{e1} / I$$

Perhitungan Δ_i untuk tingkat 2 :

$$\Delta_2 = (\delta_{e2} - \delta_{e1}) \times C_d / I$$

Dimana :

δ_{e1} = Simpangan yang dihitung akibat beban gempa tingkat 1

δ_{e2} = Simpangan yang dihitung akibat beban gempa tingkat 2

C_d = Faktor pembesaran defleksi

I = Faktor keutamaan gedung

Untuk sistem dinding geser plat baja, dari tabel 9 SNI 03-1726-2012 didapatkan nilai $C_d = 6$ dan dari tabel 2

SNI 03-1726-2012 didapat nilai $I = 1$. Dari tabel 16 SNI 03-1726-2012 untuk sistem struktur yang lain simpangan antar tingkat ijinnya adalah :

$$\Delta_a = 0.020 \times h_{sx}$$

Dimana :

h_{sx} = Tinggi tingkat dibawah tingkat x

- Untuk tinggi tingkat 4 m, simpangan ijinnya adalah

$$\Delta_a = 0.020 \times 4$$

$$= 0.08 \text{ m}$$

$$= 80 \text{ mm}$$

Dari analisis akibat beban lateral (beban gempa) dengan program SAP 2000, diperoleh nilai simpangan yang terjadi pada struktur yaitu sebagai berikut :

Tabel 4.9. Kontrol Simpangan Antar Lantai Akibat Beban Gempa Arah X

TABLE: Joint Displacements								
Lantai	Elevasi	Tinggi lantai	Simpangan	Cd	Pembesaran Simpangan	Simpangan antar Lantai	Simpangan ijin antar lantai	Ket.
I	hi	hsx	δe	Tabel 9	δ	Δ	Δa	
	(m)	(m)			δe x Cd	$\Delta_i - \Delta_{(i-1)}$	$0,02 \times hsx$	
1	0	0	0	6	0	0	0	OKE
2	4	4	0.562000	6	3.372	3.372	80	OKE
3	8	4	1.163000	6	6.978	3.606	80	OKE
4	12	4	1.163000	6	6.978	0	80	OKE
5	16	4	1.163000	6	6.978	0	80	OKE
6	20	4	1.163000	6	6.978	0	80	OKE
7	24	4	1.163000	6	6.978	0	80	OKE
8	28	4	1.163000	6	6.978	0	80	OKE
9	32	4	1.163000	6	6.978	0	80	OKE
10	36	4	1.163000	6	6.978	0	80	OKE
Atap	40	4	1.163000	6	6.978	0	80	OKE

Tabel 4.10. Kontrol Simpangan Antar Lantai Akibat Beban Gempa Arah Y

TABLE: Joint Displacements								
Lantai	Elevasi	Tinggi lantai	Simpangan	Cd	Pembesaran Simpangan	Simpangan antar Lantai	Simpangan ijin antar lantai	Ket.
I	hi	hsx	δe	Tabel 9	δ	Δ	Δa	
	(m)	(m)			$\delta e \times Cd$	$\Delta_i - \Delta_{(i-1)}$	$0,02 \times hsx$	
1	0	0	0	6	0	0	0	OKE
2	4	4	0.644	6	3.864	3.864	80	OKE
3	8	4	1.365	6	8.19	4.326	80	OKE
4	12	4	1.365	6	8.19	0	80	OKE
5	16	4	1.365	6	8.19	0	80	OKE
6	20	4	1.365	6	8.19	0	80	OKE
7	24	4	1.365	6	8.19	0	80	OKE
8	28	4	1.365	6	8.19	0	80	OKE
9	32	4	1.365	6	8.19	0	80	OKE
10	36	4	1.365	6	8.19	0	80	OKE
Atap	40	4	1.365	6	8.19	0	80	OKE

Dari hasil kontrol tabel di atas maka analisis struktur Gedung Hotel Premier Iin Surabaya memenuhi persyaratan sesuai dengan SNI 03-1726-2012 Pasal 7.9.3 dan Pasal 7.12.1.

4.3. Perencanaan Struktur Primer

4.3.1. Perencanaan Elemen Struktur Primer

4.3.1.1. Balok Induk

A. Balok Induk Bentang 7,55 m

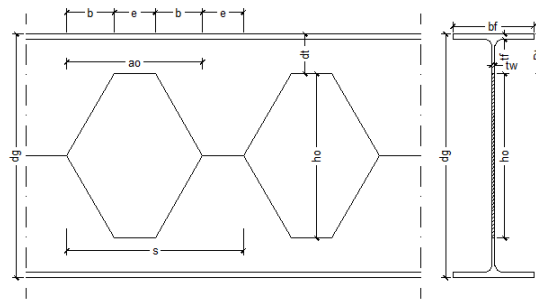
Balok induk direncanakan menggunakan profil asal WF 400x400x13x21 yang kemudian dirubah menjadi profil *hexagonal castellated beam* 600x400x13x21, dengan data-data sebagai berikut:

- Data profil asal WF 400x400x13x21

$d = 400 \text{ mm}$	$i_x = 17.5 \text{ cm}$
$bf = 400 \text{ mm}$	$i_y = 10.1 \text{ cm}$
$tf = 21 \text{ mm}$	$Z_x = 3600.13 \text{ cm}^3$
$tw = 13 \text{ mm}$	$Z_y = 1691.49 \text{ cm}^3$
$A = 218.7 \text{ cm}^2$	$q = 172 \text{ kg/m}$
$I_x = 66600 \text{ cm}^4$	$r = 22 \text{ mm}$
$I_y = 22400 \text{ cm}^4$	$h = 314 \text{ mm}$

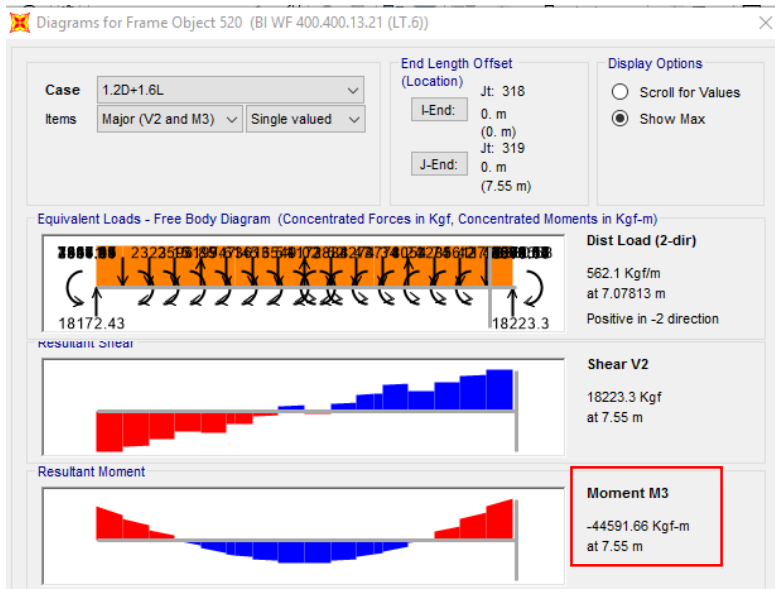
- Data profil *Hexagonal Castellated Beam*

$dg = 600 \text{ mm}$	$b = 117.45 \text{ mm}$
$ho = 405 \text{ mm}$	$e = 101.25 \text{ mm}$
$dt = 97.5 \text{ mm}$	$s = 437.4 \text{ mm}$
$db = 97.5 \text{ mm}$	$ao = 306 \text{ mm}$
$h = 514 \text{ mm}$	$\emptyset = 60^\circ$
$A = 244.7 \text{ cm}^2$	



Gambar 4.43. Geometri balok Hexagonal Castellated

Pada elemen 520 balok induk melintang didapat gaya-gaya dalam dan lendutan maksimum sebagai berikut:



Gambar 4.44. Diagram Frame Balok Melintang

$$\begin{aligned}
 Mu &= 44591.66 \text{ kgm} & (1,2D+1,6L) \\
 Vu &= 18672.3 \text{ kg} & (1,2D+1,6L) \\
 f^\circ &= 0.406 \text{ cm} & (1,2D+1,6L)
 \end{aligned}$$

Syarat lubang h_o (ASCE 4.5 halaman 3320)

$$\begin{aligned}
 h_o &\leq 0,7 dg \\
 405 \text{ mm} &\leq 0,7 \times 600 \text{ mm} \\
 405 \text{ mm} &\leq 420 \text{ mm}
 \end{aligned}$$

Syarat dt dan db (ASCE 4.6 halaman 3320)

$$\begin{aligned}
 dt \text{ dan } db &\leq 0,15 dg \\
 76.5 \text{ mm} &\leq 0,15 \times 600 \text{ mm} \\
 76.5 \text{ mm} &\leq 90 \text{ mm}
 \end{aligned}$$

I_x dan Z_x castellated beam saat penuh (tanpa lubang) :

$$\begin{aligned}
 I_x &= \left(\frac{1}{12} x b_f x d_g^3 \right) - \left(2x \frac{1}{12} x \left(\frac{b_f - t_w}{2} \right) x (d_g - 2t_f)^3 \right) \\
 &= \left(\frac{1}{12} x 400 x 600^3 \right) - \left(2x \frac{1}{12} x \left(\frac{400 - 13}{2} \right) x (600 - 2 \times 21)^3 \right) \\
 &= 1596849138 \text{ mm}^4 \\
 Z_x &= \left(\frac{1}{4} x b_f x d_g^2 \right) - \left(2x \frac{1}{4} x \left(\frac{b_f - t_w}{2} \right) x (d_g - 2t_f)^2 \right) \\
 &= \left(\frac{1}{4} x 400 x 600^2 \right) - \left(2x \frac{1}{4} x \left(\frac{400 - 13}{2} \right) x (600 - 2 \times 21)^2 \right) \\
 &= 5875533 \text{ mm}^3
 \end{aligned}$$

I_x dan Z_x castellated beam saat berlubang :

$$\begin{aligned}
 I_x &= I_x \text{ tanpa lubang} - \left(\frac{1}{12} x t_w x h_o^3 \right) \\
 &= 1596849138 - \left(\frac{1}{12} x 13 x 405^3 \right) \\
 &= 1524883169.25 \text{ mm}^4
 \end{aligned}$$

$$\begin{aligned}
 Z_x &= Z_x \text{ tanpa lubang} - \left(\frac{1}{4} x t_w x h_o^2 \right) \\
 &= 5875533 - \left(\frac{1}{4} x 13 x 405^2 \right) \\
 &= 5342451.75 \text{ mm}^3
 \end{aligned}$$

I_x castellated beam rata-rata :

$$\begin{aligned}
 I_{x \text{ rata-rata}} &= \frac{I_x \text{ tanpa lubang} + I_x \text{ saat berlubang}}{2} \\
 &= \frac{1596849138 \text{ mm}^4 + 1524883169.25 \text{ mm}^4}{2} \\
 &= 1560866153.625 \text{ mm}^4 = 156086.615 \text{ cm}^4
 \end{aligned}$$

I_y castellated beam saat penuh dan saat berlubang :

$$\begin{aligned}
 I_{y \text{ penuh}} &= 2 x \left(\frac{1}{12} x t_f x b_f^3 \right) + \left(\frac{1}{12} x (d_g - 2t_f) x (t_w)^3 \right) \\
 &= 2 x \left(\frac{1}{12} x 21 x 400^3 \right) + \left(\frac{1}{12} x (600 - 2x21) x (13)^3 \right) \\
 &= 224102160.5 \text{ mm}^4
 \end{aligned}$$

$$\begin{aligned}
 I_{y \text{ lubang}} &= I_{y \text{ tanpa lubang}} - \left(\frac{1}{12} x h_o x t_w^3 \right) \\
 &= 224102160.5 - \left(\frac{1}{12} x 405 x 13^3 \right) \\
 &= 224102160.5 \text{ mm}^4
 \end{aligned}$$

I_y castellated beam rata-rata :

$$\begin{aligned}
 I_{y \text{ rata-rata}} &= \frac{I_{y \text{ tanpa lubang}} + I_{y \text{ saat berlubang}}}{2} \\
 &= \frac{224102160.5 \text{ mm}^4 + 224102160.5 \text{ mm}^4}{2} \\
 &= 224065086.125 \text{ mm}^4 = 22406.509 \text{ cm}^4
 \end{aligned}$$

Menghitung jari-jari girasi :

$$i_x = \sqrt{\frac{I_{x \text{ rata-rata}}}{A}} = \sqrt{\frac{156086.615 \text{ cm}^4}{244.7 \text{ cm}^2}} = 25.256 \text{ cm}$$

$$i_y = \sqrt{\frac{I_{y \text{ rata-rata}}}{A}} = \sqrt{\frac{22406.509 \text{ cm}^4}{244.7 \text{ cm}^2}} = 9.569 \text{ cm}$$

1. Kontrol Penampang

Pelat Badan :

$$\frac{h}{tw} = \frac{514}{13} = 39.538$$

$$\lambda_{pw} = 3,76 \sqrt{\frac{E}{fy}} = 3,76 \sqrt{\frac{2 \times 10^5}{250}} = 106,35$$

$$\frac{h}{tw} < \lambda_{pw} \rightarrow \text{Profil Badan Kompak}$$

Pelat Sayap :

$$\frac{bf}{2tf} = \frac{400}{2 \times 21} = 9.524$$

$$\lambda_{pf} = 0,38 \sqrt{\frac{E}{fy}} = 0,38 \sqrt{\frac{2 \times 10^5}{250}} = 10,752$$

$$\frac{bf}{2tf} < \lambda_{pf} \rightarrow \text{Profil Sayap Kompak}$$

2. Kontrol Kuat Kentur Akibat Tekuk Lokal

Penampang Kompak :

$$M_P = Z_x f y$$

$$= 5875.533 \times 2500$$

$$= 14688832.5 \text{ kg.cm} = 146888.325 \text{ kg.m}$$

3. Kontrol Kuat Lentur Akibat Tekuk Lateral
 Jarak penahan lateral (L_b) = 140 cm

$$\begin{aligned} L_p &= 1.76 \cdot r_y \sqrt{\frac{E}{f_y}} \\ &= 1.76 \cdot 9.569 \sqrt{\frac{2 \times 10^5}{250}} \\ &= 476.352 \text{ cm} \end{aligned}$$

Kondisi Balok plastis termasuk dalam bentang pendek
 $L_b < L_p$.

Pada saat profil berlubang :

$$\Delta A_s = h_o x t_w$$

$$= 405 \times 13$$

$$= 5265 \text{ mm}^2 = 52.65 \text{ cm}^2$$

$$\begin{aligned} M_n &= M_p - f_y x \Delta A_s x \left(\frac{h_o}{4} \right) \\ &= 14688832.5 - 2500 \times 52.65 \times \left(\frac{40.5}{4} \right) \\ &= 13356129.38 \text{ kg.cm} \end{aligned}$$

$$\begin{aligned} \emptyset M_n &= 0.9 \times 13356129.38 = 12020516.44 \text{ kg.cm} \\ &= 120205.164 \text{ kg.m} \end{aligned}$$

4. Kontrol Kapasitas Momen

$$\emptyset M_n \geq M_u$$

$$120205.164 \text{ kg.m} \geq 44591.66 \text{ kg.m} \dots (\text{Ok})$$

5. Kontrol Kuat Geser

Syarat ASCE 3.2 hal 3326-3327

$$\begin{aligned}\frac{dg - 2tf}{tw} &\leq \frac{1365}{\sqrt{fy}} \\ \frac{600 - 2x21}{13} &\leq \frac{1365}{\sqrt{250}} \\ 42.923 &\leq 86,33\end{aligned}$$

$$\begin{aligned}\frac{dg - 2tf}{tw} &\leq \frac{1100}{\sqrt{fy}} \\ \frac{600 - 2x21}{13} &\leq \frac{1100}{\sqrt{250}} \\ 42.923 &\leq 69,57\end{aligned}$$

Karena $\frac{dg - 2tf}{tw} \leq \frac{1365}{\sqrt{fy}}$ dan $\frac{dg - 2tf}{tw} \leq \frac{1100}{\sqrt{fy}}$ maka pelat badan termasuk plastis.

Syarat ASCE 4.2 hal 3319

- Perbandingan lebar terhaddap tinggi lubang

$$\frac{a_0}{h_0} \leq 3,0$$

$$\frac{306}{405} \leq 3,0$$

$$0.83 \leq 3,0 \dots \dots (\text{Ok})$$

- Kapasitas geser nominal maksimum pada lubang

$$V_m \leq \frac{2}{3} V_p$$

dimana :

$$V_p = \frac{f_y \times t_w \times d_g}{\sqrt{3}} = \frac{2500 \times 1.3 \times 60}{\sqrt{3}} = 112583.302 \text{ kg}$$

$$V_m = \sum V_{mt}$$

$$V_{mt} = \frac{\sqrt{6} + \mu}{v + \sqrt{3}} x V_{pt} \leq V_{pt}; \mu = 0 \text{ dan}$$

$$v = \frac{a_0}{d_t} = \frac{306}{96.5} = 4.394$$

$$V_{pt} = \frac{f_y x t_w x d_t}{\sqrt{3}} = \frac{2500 \times 1.3 \times 2 \times 9.65}{\sqrt{3}} = 36589.573 \text{ kg}$$

$$V_{mt} = \frac{\sqrt{6}+0}{4.394+\sqrt{3}} \times 36589.573 = 14629.99 \text{ kg}$$

$$V_m = \sum V_{mt} = 2 \times 14629.99 \text{ kg} = 29259.98 \text{ kg}$$

maka :

$$V_m \leq \frac{2}{3} V_p$$

$$29259.98 \text{ kg} \leq \frac{2}{3} \times 112583.302 \text{ kg}$$

$$29259.98 \text{ kg} \leq 75055.535 \text{ kg} \dots \text{(Ok)}$$

Kontrol kuat geser

$$V_u \leq \phi V_m$$

$$18672.3 \text{ kg} \leq 0.9 \times 29259.98 \text{ kg}$$

$$18672.3 \text{ kg} \leq 26333.982 \text{ kg} \dots \dots \text{(Ok)}$$

Parameter lubang

Syarat ASCE 4.2 hal 3319

$$Po \leq 5,6$$

$$\left(\frac{a_o}{h_o}\right) + \left(\frac{6h_o}{d_g}\right) \leq 5,6$$

$$\left(\frac{306}{405}\right) + \left(\frac{6 \times 405}{600}\right) \leq 5,6$$

$$4.88 \leq 5,6 \dots \dots \text{(Ok)}$$

Persamaan interaksi geser-lentur (syarat ASCE hal. 3316)

$$\left(\frac{M_u}{\phi M_m}\right)^3 + \left(\frac{V_u}{\phi V_m}\right)^3 \leq 1,0$$

$$\left(\frac{44591.66}{0.85 \times 133561.3}\right)^3 + \left(\frac{18672.3}{0.85 \times 29259.98}\right)^3 \leq 1,0$$

$$0,423 \leq 1,0 \dots \dots (\text{Ok})$$

Kontrol jarak antar lubang

$$s \geq h_o$$

$$437.4 \text{ mm} \geq 405 \text{ mm} \dots \dots (\text{Ok})$$

$$s \geq a_o \frac{\left(\frac{v_u}{\phi v_p}\right)}{1 - \frac{v_u}{\phi v_p}}$$

$$437.4 \text{ mm} \geq 306 \times \frac{\left(\frac{18672.3}{0.9 \times 112583.302}\right)}{1 - \frac{18672.3}{0.9 \times 112583.302}}$$

$$437.4 \text{ mm} \geq 75.941 \text{ mm} \dots \dots (\text{Ok})$$

6. Kontrol Lendutan

$$f^\circ = 0.406 \text{ cm} < f_{ijin} = \frac{L}{360} = \frac{755}{360} = 2.097 \text{ cm} \quad (\text{OK})$$

Jadi, profil *Hexagonal Castellated Beam* 600 x 400 x 13 x 21 dapat digunakan sebagai balok induk melintang lantai 2-9.

B. Balok Induk Bentang 7 m

Balok induk direncanakan menggunakan profil asal WF 350x350x12x19 yang kemudian dirubah menjadi profil *hexagonal castellated beam* 525x350x12x19, dengan data-data sebagai berikut:

- Data profil asal WF 350x350x12x19

$$d = 350 \text{ mm} \quad ix = 15.2 \text{ cm}$$

$$bf = 350 \text{ mm} \quad iy = 8.84 \text{ cm}$$

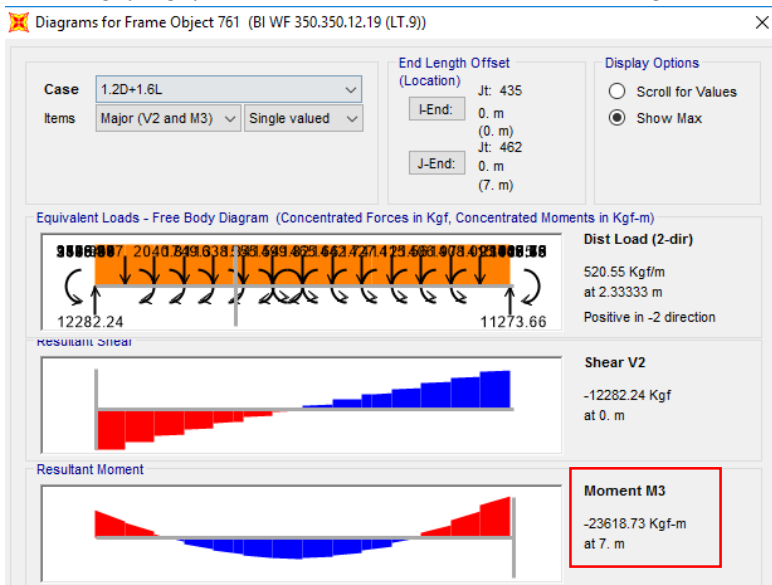
$$tf = 19 \text{ mm} \quad Zx = 2493.18 \text{ cm}^3$$

$$\begin{array}{ll}
 t_w = 12 \text{ mm} & Z_y = 1172.17 \text{ cm}^3 \\
 A = 173.9 \text{ cm}^2 & q = 136 \text{ kg/m} \\
 I_x = 40300 \text{ cm}^4 & r = 20 \text{ mm} \\
 I_y = 13600 \text{ cm}^4 & h = 272 \text{ mm}
 \end{array}$$

- Data profil *Hexagonal Castellated Beam*

$$\begin{array}{ll}
 d_g = 525 \text{ mm} & b = 102.66 \text{ mm} \\
 h_o = 354 \text{ mm} & e = 88.5 \text{ mm} \\
 d_t = 66.5 \text{ mm} & s = 382.32 \text{ mm} \\
 d_b = 66.5 \text{ mm} & a_o = 293.82 \text{ mm} \\
 h = 447 \text{ mm} & \emptyset = 60^\circ \\
 A = 194.9 \text{ cm}^2
 \end{array}$$

Pada elemen 761 balok induk melintang didapat gaya-gaya dalam dan lendutan maksimum sebagai berikut:



Gambar 4.45. Diagram Frame Diagram Memanjang

$$\begin{aligned}
 Mu &= 23618.73 \text{ kgm} & (1,2D+1,6L) \\
 Vu &= 14213.42 \text{ kg} & (1,2D+1,6L) \\
 f^\circ &= 0.272 \text{ cm} & (1,2D+1,6L)
 \end{aligned}$$

Syarat lubang h_o (ASCE 4.5 halaman 3320)

$$\begin{aligned}
 h_o &\leq 0,7 dg \\
 354 \text{ mm} &\leq 0,7 \times 525 \text{ mm} \\
 354 \text{ mm} &\leq 367,5 \text{ mm}
 \end{aligned}$$

Syarat dt dan db (ASCE 4.6 halaman 3320)

$$\begin{aligned}
 dt \text{ dan } db &\leq 0,15 dg \\
 96,5 \text{ mm} &\leq 0,15 \times 525 \text{ mm} \\
 96,5 \text{ mm} &\leq 78,75 \text{ mm}
 \end{aligned}$$

I_x dan Z_x castellated beam saat penuh (tanpa lubang) :

$$\begin{aligned}
 I_x &= \left(\frac{1}{12} x b_f x d_g^3 \right) - \left(2x \frac{1}{12} x \left(\frac{b_f - t_w}{2} \right) x (d_g - 2t_f)^3 \right) \\
 &= \left(\frac{1}{12} x 400 x 525^3 \right) - \left(2x \frac{1}{12} x \left(\frac{350 - 12}{2} \right) x (525 - 2 \times 16)^3 \right) \\
 &= 967221111.333 \text{ mm}^4 \\
 Z_x &= \left(\frac{1}{4} x b_f x d_g^2 \right) - \left(2x \frac{1}{4} x \left(\frac{b_f - t_w}{2} \right) x (d_g - 2t_f)^2 \right) \\
 &= \left(\frac{1}{4} x 350 x 525^2 \right) - \left(2x \frac{1}{4} x \left(\frac{350 - 12}{2} \right) x (525 - 2 \times 16)^2 \right) \\
 &= 4076407 \text{ mm}^3
 \end{aligned}$$

I_x dan Z_x castellated beam saat berlubang :

$$\begin{aligned}
 I_x &= I_x \text{ tanpa lubang} - \left(\frac{1}{12} x t_w x h_o^3 \right) \\
 &= 967221111.333 - \left(\frac{1}{12} x 12 x 354^3 \right) \\
 &= 922859247.333 \text{ mm}^4
 \end{aligned}$$

$$\begin{aligned}
 Z_x &= Z_x \text{ tanpa lubang} - \left(\frac{1}{4} x t_w x h_o^2 \right) \\
 &= 4076407 - \left(\frac{1}{4} x 12 x 354^2 \right) \\
 &= 3700459 \text{ mm}^3
 \end{aligned}$$

I_x castellated beam rata-rata :

$$\begin{aligned}
 I_{x \text{ rata-rata}} &= \frac{I_x \text{ tanpa lubang} + I_x \text{ saat berlubang}}{2} \\
 &= \frac{967221111.333 \text{ mm}^4 + 922859247.333 \text{ mm}^4}{2} \\
 &= 945040179.333 \text{ mm}^4 = 94504.018 \text{ cm}^4
 \end{aligned}$$

I_y castellated beam saat penuh dan saat berlubang :

$$\begin{aligned}
 I_{y \text{ penuh}} &= 2 x \left(\frac{1}{12} x t_f x b_f^3 \right) + \left(\frac{1}{12} x (d_g - 2t_f) x (t_w)^3 \right) \\
 &= 2 x \left(\frac{1}{12} x 19 x 350^3 \right) + \left(\frac{1}{12} x (525 - 2 \times 19) x (12)^3 \right) \\
 &= 135840961.333 \text{ mm}^4
 \end{aligned}$$

$$\begin{aligned}
 I_{y \text{ lubang}} &= I_{y \text{ tanpa lubang}} - \left(\frac{1}{12} x h_o x t_w^3 \right) \\
 &= 135840961.333 - \left(\frac{1}{12} x 354 x 12^3 \right) \\
 &= 135789985.333 \text{ mm}^4
 \end{aligned}$$

I_y castellated beam rata-rata :

$$\begin{aligned}
 I_{y \text{ rata-rata}} &= \frac{I_{y \text{ tanpa lubang}} + I_{y \text{ saat berlubang}}}{2} \\
 &= \frac{135840961.333 \text{ mm}^4 + 135789985.333 \text{ mm}^4}{2} \\
 &= 135815473.333 \text{ mm}^4 = 13581.547 \text{ cm}^4
 \end{aligned}$$

Menghitung jari-jari girasi :

$$i_x = \sqrt{\frac{I_{x \text{ rata-rata}}}{A}} = \sqrt{\frac{94504.018 \text{ cm}^4}{194.9 \text{ cm}^2}} = 22.02 \text{ cm}$$

$$i_y = \sqrt{\frac{I_y \text{ rata-rata}}{A}} = \sqrt{\frac{13581.547 \text{ cm}^4}{194.9 \text{ cm}^2}} = 8.348 \text{ cm}$$

1. Kontrol Penampang

Pelat Badan :

$$\frac{h}{tw} = \frac{447}{9} = 37.25$$

$$\lambda_{pw} = 3,76 \sqrt{\frac{E}{f_y}} = 3,76 \sqrt{\frac{2x10^5}{250}} = 106,35$$

$$\frac{h}{tw} < \lambda_{pw} \rightarrow \text{Profil Badan Kompak}$$

Pelat Sayap :

$$\frac{bf}{2tf} = \frac{350}{2x19} = 9.211$$

$$\lambda_{pf} = 0,38 \sqrt{\frac{E}{f_y}} = 0,38 \sqrt{\frac{2x10^5}{250}} = 10,752$$

$$\frac{bf}{2tf} < \lambda_{pf} \rightarrow \text{Profil Sayap Kompak}$$

2. Kontrol Kuat Kentur Akibat Tekuk Lokal Penampang Kompak :

$$M_P = Z_x f_y$$

$$= 4076.407 \times 2500$$

$$= 10191017.5 \text{ kg.cm} = 101910.175 \text{ kg.m}$$

3. Kontrol Kuat Lentur Akibat Tekuk Lateral

Jarak penahan lateral (L_b) = 120 cm

$$L_p = 1.76 \cdot r_y \sqrt{\frac{E}{f_y}}$$

$$= 1.76 \cdot 8.348 \sqrt{\frac{2x10^5}{250}}$$

$$= 415.553 \text{ cm}$$

Kondisi Balok plastis termasuk dalam bentang pendek
 $L_b < L_p$.

Pada saat profil berlubang :

$$\Delta A_s = h_o x t_w$$

$$= 354 \times 12$$

$$= 4248 \text{ mm}^2 = 42.48 \text{ cm}^2$$

$$\begin{aligned} M_n &= M_p - f_y x \Delta A_s x \left(\frac{h_o}{4} \right) \\ &= 10191017.5 - 2500 \times 42.48 \times \left(\frac{35.4}{4} \right) \\ &= 9251147.5 \text{ kg.cm} \end{aligned}$$

$$\begin{aligned} \emptyset M_n &= 0.9 \times 9251147.5 = 8326032.75 \text{ kg.cm} \\ &= 83260.328 \text{ kg.m} \end{aligned}$$

4. Kontrol Kapasitas Momen

$$\emptyset M_n \geq M_u$$

$$83260.328 \text{ kg.m} \geq 23618.73 \text{ kg.m} \dots (\text{Ok})$$

5. Kontrol Kuat Geser

Syarat ASCE 3.2 hal 3326-3327

$$\begin{aligned} \frac{dg - 2tf}{t_w} &\leq \frac{1365}{\sqrt{f_y}} \\ \frac{525 - 2 \times 19}{12} &\leq \frac{1365}{\sqrt{250}} \\ 40.583 &\leq 86,33 \end{aligned}$$

$$\begin{aligned}\frac{dg - 2tf}{tw} &\leq \frac{1100}{\sqrt{fy}} \\ \frac{525 - 2x19}{12} &\leq \frac{1100}{\sqrt{250}} \\ 40.583 &\geq 69,57\end{aligned}$$

Karena $\frac{dg - 2tf}{tw} \leq \frac{1365}{\sqrt{fy}}$ dan $\frac{dg - 2tf}{tw} \geq \frac{1100}{\sqrt{fy}}$ maka pelat badan termasuk plastis.

Syarat ASCE 4.2 hal 3319

- Perbandingan lebar terhaddap tinggi lubang

$$\begin{aligned}\frac{a_0}{h_0} &\leq 3,0 \\ \frac{293.82}{354} &\leq 3,0 \\ 0.83 &\leq 3,0 \dots \dots (\text{Ok})\end{aligned}$$

- Kapasitas geser nominal maksimum pada lubang

$$V_m \leq \frac{2}{3} V_p$$

dimana :

$$V_p = \frac{f_y x t_w x d_g}{\sqrt{3}} = \frac{2500 \times 1.2 \times 52.5}{\sqrt{3}} = 90932.667 \text{ kg}$$

$$V_m = \sum V_{mt}$$

$$V_{mt} = \frac{\sqrt{6} + \mu}{v + \sqrt{3}} x V_{pt} \leq V_{pt}; \mu = 0 \text{ dan}$$

$$v = \frac{a_0}{d_t} = \frac{293.82}{66.5} = 4.418$$

$$V_{pt} = \frac{f_y x t_w x d_t}{\sqrt{3}} = \frac{2500 \times 1.2 \times 2 \times 6.65}{\sqrt{3}} = 29618.069 \text{ kg}$$

$$V_{mt} = \frac{\sqrt{6}+0}{4.418+\sqrt{3}} x 29618.069 = 11795.85 \text{ kg}$$

$$V_m = \sum V_{mt} = 2 x 11795.85 \text{ kg} = 23591.7 \text{ kg}$$

maka :

$$V_m \leq \frac{2}{3} V_p$$

$$23591.7 \text{ kg} \leq \frac{2}{3} \times 90932.667 \text{ kg}$$

$$23591.7 \text{ kg} \leq 60621.778 \text{ kg} \dots (\text{Ok})$$

Kontrol kuat geser

$$V_u \leq \phi V_m$$

$$14213.42 \text{ kg} \leq 0,9 \times 23591.7 \text{ kg}$$

$$14213.42 \text{ kg} \leq 21232.53 \text{ kg} \dots \dots (\text{Ok})$$

Parameter lubang

Syarat ASCE 4.2 hal 3319

$$Po \leq 5,6$$

$$\left(\frac{a_o}{h_o}\right) + \left(\frac{6h_o}{d_g}\right) \leq 5,6$$

$$\left(\frac{293.82}{354}\right) + \left(\frac{6 \times 354}{525}\right) \leq 5,6$$

$$4.876 \leq 5,6 \dots \dots (\text{Ok})$$

Persamaan interaksi geser-lentur (syarat ASCE hal. 3316)

$$\left(\frac{M_u}{\phi M_m}\right)^3 + \left(\frac{V_u}{\phi V_m}\right)^3 \leq 1,0$$

$$\left(\frac{23618.73}{0.85 \times 92511.475}\right)^3 + \left(\frac{14213.42}{0.85 \times 23591.7}\right)^3 \leq 1,0$$

$$0,356 \leq 1,0 \dots \dots (\text{Ok})$$

Kontrol jarak antar lubang

$$s \geq h_o$$

$$382.32 \text{ mm} \geq 354 \text{ mm} \dots (\text{Ok})$$

$$s \geq a_o \frac{\left(\frac{v_u}{\phi V_p}\right)}{1 - \frac{v_u}{\phi V_p}}$$

$$382.32 \text{ mm} \geq 293.82 \times \frac{\left(\frac{14213.42}{0,9 \times 90932.667}\right)}{1 - \frac{14213.42}{0,9 \times 90932.667}}$$

$$382.32 \text{ mm} \geq 61.754 \text{ mm} \dots (\text{Ok})$$

6. Kontrol Lendutan

$$f^\circ = 0.272 \text{ cm} < f_{ijin} = \frac{L}{360} = \frac{700}{360} = 1.944 \text{ cm} \quad (\text{OK})$$

Jadi, profil *Hexagonal Castellated Beam 675 x 200 x 9 x 14* dapat digunakan sebagai balok induk melintang lantai 2-9.

4.3.1.2. Kolom

A. Kolom Lantai 1-4

Pada perencanaan ini ditunjukkan contoh perhitungan kolom lantai 1-4. Direncanakan komposit CFT dengan profil HSS $700 \times 700 \times 25 \times 25$ dan panjang kolom 400 cm. Data-data profil disajikan sebagai berikut :

d	= 700 mm	I_x	= 477900 cm^4
b_f	= 700 mm	I_y	= 477900 cm^4
t_w	= 25 mm	i_x	= 27.20 cm
t_f	= 25 mm	i_y	= 27.20 cm
A	= 531.9 cm^2	Z_x	= 13650 cm^3
h	= 750 mm	f_y	= 250 Mpa

Dari hasil analisis SAP 2000 didapatkan gaya dalam yang bekerja sebagai berikut :

$$P_u = 635607.06 \text{ kg}$$

$$P_{nt} = 635607.06 \text{ kg} \text{ (Kombinasi Beban } 1,2D + 1,6L\text{)}$$

$$M_{ux} = 28558.83 \text{ kgm}$$

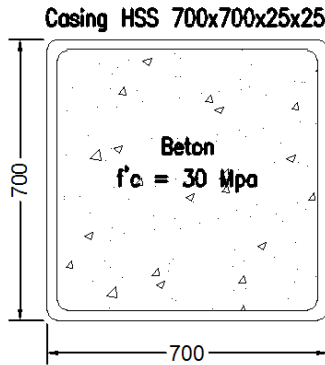
$$M_{uy} = 28482.39 \text{ kgm}$$

Bahan :

$$\text{BJ 41 : } f_y = 2500 \text{ kg/cm}^2$$

$$f_u = 4100 \text{ kg/cm}^2$$

$$\text{Beton : } f_c' = 30 \text{ Mpa} = 300 \text{ kg/cm}^2$$



Gambar 4.46. Penampang Kolom Komposit CFT dengan Profil HSS $700 \times 700 \times 25 \times 25$

Kuat nominal tekan kolom komposit

Kontrol luas penampang minimum profil baja

$$\frac{A_s}{A_c + A_s} \times 100\% = \frac{646}{4225 + 646} = 13.301\% \geq 4\% \dots \text{OK!}$$

Kontrol tebal minimum penampang persegi

$$t_{\min} = b \times \sqrt{\frac{f_y}{3E}}$$

$$t_{\min} = 700 \times \sqrt{\frac{250}{3 \times 2 \times 10^5}} = 14.3 \text{ mm} \leq 25 \text{ mm} \dots \text{OK!}$$

Kuat nominal tekan kolom komposit

$$\lambda = \frac{b_f}{2t_f} = \frac{700}{2 \times 25} = 14$$

$$\lambda_p = 2.26 \sqrt{\frac{E}{f_y}} = 2.26 \sqrt{\frac{2 \times 10^5}{250}} = 63.92$$

$\lambda \leq \lambda_p \rightarrow 14 \leq 63.92 \rightarrow$ penampang kompak

Sehingga kekuatan nominal tekan diperhitungkan sebagai berikut :

$$P_{no} = P_p$$

$$P_p = f_y A_s + C_2 f_c \left(A_c + A_{sr} \frac{E_s}{E_c} \right)$$

$$P_p = 2500 \times 646 + 0.85 \times 300 (4225 + 0)$$

$$P_p = P_{no} = 2692375 \text{ kg}$$

Momen nominal kolom

Kontrol penampang terhadap tekuk lokal

$$\lambda = \frac{b_f}{2t_f} = \frac{700}{2 \times 25} = 14$$

$$\lambda_p = 1.12 \sqrt{\frac{E}{f_y}} = 1.12 \sqrt{\frac{2 \times 10^5}{250}} = 31.678$$

$\lambda \leq \lambda_p \rightarrow 14 \leq 31.678 \rightarrow$ penampang kompak

Karena penampang kompak, maka $M_n = M_p$

$$\begin{aligned} M_p &= f_y \cdot Z_x = 2500 \times 13650 = 34125000 \text{ kgcm} \\ &= 341250 \text{ kgm} \end{aligned}$$

Cek kemampuan penampang

$$\varnothing_b \cdot M_n \geq M_u$$

$$\begin{aligned} \varnothing_b \cdot M_n &= 0.9 \times 341250 \\ &= 307125 \text{ kgm} \end{aligned}$$

Kontrol penampang terhadap tekuk lateral

Panjang tak terkekang adalah tinggi kolom- d_{balok}

$$L_b = 400 - 60 = 340 \text{ cm.}$$

$$L_p = 1.76 \times i_y \times \sqrt{\frac{E}{f_y}} = 1.76 \times 27.2 \times \sqrt{\frac{2 \times 10^6}{2500}} = 1354.025 \text{ cm}$$

$$L_b \leq L_p \rightarrow 340 \text{ cm} \leq 1354.025 \text{ cm} \rightarrow \text{bentang pendek}$$

Karena bentang pendek, maka $M_n = M_p$

$$\begin{aligned} M_p &= f_y \cdot Z_x = 2500 \times 13650 = 34125000 \text{ kgcm} \\ &= 341250 \text{ kgm} \end{aligned}$$

Cek kemampuan penampang

$$\phi_b \cdot M_n \geq M_u$$

$$\begin{aligned} \phi_b \cdot M_n &= 0.9 \times 341250 \\ &= 307125 \text{ kgm} \end{aligned}$$

Kekuatan lentur dan aksial orde kedua

Momen lentur dan aksial terfaktor arah X dan Y ditentukan berdasarkan persamaan berikut ini:

$$M_r = B_1 M_{nt} + B_2 M_{lt}$$

$$P_r = P_{nt} + B_2 P_t$$

dengan,

$$C_m = 0.6 - 0.4(M_1/M_2)$$

$$B_1 = \frac{C_m}{1 - \alpha P_1/P_{e1}} \geq 1.00$$

$$P_{e1} = \frac{\pi^2 EI^*}{(K_1 L)^2}$$

$$P_{e \text{ story}} = R_M \frac{H L}{\Delta_H}$$

$$R_M = 1 - 0.15(P_{mf} / P_{story})$$

$$B_2 = \frac{1}{1 - \frac{\alpha P_{story}}{P_{e_story}}}$$

Arah sumbu X :

Kontrol momen terhadap beban gravitasi

Dari SAP 2000 diperoleh output sebagai berikut:

$$M_1 = 6231.88 \text{ kgm}$$

$$M_2 = 30769.6 \text{ kgm}$$

$$B_1 = 1$$

Kontrol momen terhadap beban lateral

Dari SAP 2000 diperoleh output sebagai berikut:

$$B_2 = 1$$

Momen terfaktor pada sumbu X

$$M_{rx} = (1.0 \times 30769.6) + (1 \times 28558.83)$$

$$= 59328.43 \text{ kgm}$$

Arah sumbu Y :

Kontrol momen terhadap beban gravitasi

Dari SAP 2000 diperoleh output sebagai berikut:

$$M_1 = 1499.29 \text{ kgm}$$

$$M_2 = 18098.41 \text{ kgm}$$

$$B_1 = 1$$

Kontrol momen terhadap beban lateral

Dari SAP 2000 diperoleh output sebagai berikut:

$$B_2 = 1$$

Momen terfaktor pada sumbu Y

$$M_{ry} = (1.0 \times 18098.41) + (1 \times 28482.39)$$

$$= 46580.8 \text{ kgm}$$

Kuat aksial orde kedua

$$P_r = (635607.06) + (1 \times 635607.06)$$

$$= 1271214.12 \text{ kgm}$$

Kontrol interaksi aksial-momen

$$\frac{P_r}{P_c} = \frac{P_r}{\phi_c P_n} = \frac{1271214.12}{0.90 \times 2692375} = 0.525 \geq 0.2$$

Maka digunakan rumus interaksi pertama sebagai berikut:

$$\frac{P_r}{P_c} + \frac{8}{9} \left(\frac{M_{rx}}{M_{cx}} + \frac{M_{ry}}{M_{cy}} \right) \leq 1.0$$

$$\frac{1271214.12}{0.9 \times 2692375} + \frac{8}{9} \left(\frac{59328.43}{307125} + \frac{46580.8}{307125} \right) = 0.831$$

Hasil kontrol interaksi yaitu $0.831 \leq 1.00$, maka kolom dapat dipakai.

4.3.1.3. Dinding Geser Plat Baja (SPSW)

A. Desain Dinding Geser Plat Baja

Berikut ini adalah perhitungan dinding geser plat baja dan pengaruhnya terhadap balok (*HBE*) dan kolom (*VBE*). Dari hasil analisis SAP 2000 didapatkan gaya geser pada dinding geser yaitu

$$V_u = 9712.84 \text{ kg}$$

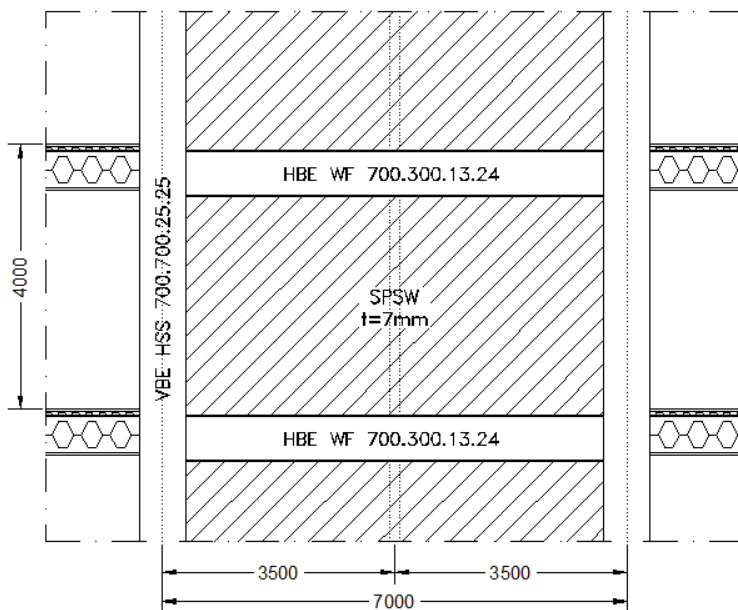
Bahan :

$$\text{BJ 37 : } f_y = 2400 \text{ kg/cm}^2$$

$$f_u = 3700 \text{ kg/cm}^2$$

Dimensi :

$$L \times h = 7.00 \text{ m} \times 4.00 \text{ m}$$



Gambar 4.47. Struktur Dinding Geser Plat Baja

1. Tebal dinding geser

Asumsi sudut tarik SPSW 30° dari VBE.

$$\phi V_n = 0.90 \times 0.42 \times f_y \times t_w \times L_{cf} \times \sin(2\alpha)$$

$$9712,84 = 0.90 \times 0.42 \times 2400 \times t_w \times 350 \times \sin(2 \times 30^\circ)$$

$t_w = 0.031$ cm digunakan $t_w = 0.7$ cm.

(karena jika memakai dibawah 0.7 cm, T yang di SAP tidak memenuhi)

2. Sudut tarik aktual sesuai ketebalan SPSW

$$\alpha = \tan^{-1} \sqrt[4]{\frac{1 + \frac{t_w L}{2A_c}}{1 + t_w h \left[\frac{1}{A_b} + \frac{h^3}{360 I_c L} \right]}}$$

$$\alpha = \tan^{-1} \sqrt[4]{\frac{1 + \frac{0.7 \times 350}{2 \times 646}}{1 + 0.7 \times 400 \left[\frac{1}{235.5} + \frac{400^3}{360 \times 477900 \times 350} \right]}}$$

$\alpha = 39.75^\circ$ memenuhi syarat $30^\circ < \alpha < 55^\circ$

3. Kekuatan geser aktual SPSW

$$\phi V_n = 0.90 \times 0.42 \times f_y \times t_w \times L_{cf} \times \sin(2\alpha)$$

$$\phi V_n = 0.90 \times 0.42 \times 2400 \times 0.7 \times 350 \times \sin(2 \times 39.75^\circ)$$

$$\phi V_n = 218541.35 \text{ kg} > 9712.84 \text{ kg ... OK !}$$

B. Kontrol Desain Balok (HBE)

Balok untuk dinding geser direncanakan dengan profil WF $700 \times 300 \times 13 \times 24$.

$$\begin{aligned}
 W &= 185 \text{ kg/m} & r &= 28 \text{ mm} & h_w &= 700 \text{ (28+24)} \\
 A &= 235.5 \text{ cm}^2 & Z_x &= 6248.79 \text{ cm}^3 & = 596 \text{ mm} \\
 t_w &= 13 \text{ mm} & i_y &= 6.78 \text{ cm} & b_f &= 300 \text{ mm} \\
 t_f &= 24 \text{ mm} & I_x &= 201000 \text{ cm}^4 \\
 d &= 700 \text{ mm} & I_y &= 10800 \text{ cm}^4
 \end{aligned}$$

Balok perlu dikontrol akibat adanya distribusi gaya dari SPSW.

1. Momen pasa balok (*HBE*) akibat SPSW

$$M_u = \frac{q_u L_h^2}{8}$$

Menentukan nilai q_u

$$q_u = R_y f_y (t_{w1} \cos^2 \alpha_1 - t_{w2} \cos^2 \alpha_2)$$

$$q_u = 1.5 \times 2500 (0.7 \times \cos^2 39.749^\circ - 0.8 \times \cos^2 39.749^\circ)$$

$$q_u = 0 \text{ kg/cm}$$

Panjang beban terbagi merata q_u

$$L_h = L - 2 \left[\frac{1}{2} (d_c + d_b) \right]$$

$$L_h = 350 - 2 \left[\frac{1}{2} (70 + 70) \right]$$

$$L_h = 210 \text{ cm}$$

Jadi momen pada balok akibat SPSW

$$M_u = \frac{0 \times 210^2}{8} = 0 \text{ kgcm} = 0 \text{ kgm}$$

Momen tersebut adalah momen akibat dari SPSW sehingga perlu ditambah dengan momen akibat beban gravitasi.

$$Mu = 0 + 8434.75 = 8434.75 \text{ kgm}$$

2. Gaya aksial pada balok (*HBE*)

$$P_{HBE} = P_{HBE(VBE)} \pm \frac{1}{2} P_{HBE(web)}$$

$$P_{HBE(VBE)} = \sum \frac{1}{2} R_y f_y \sin^2(\alpha) w h_c$$

$$P_{HBE(VBE)} = \frac{1}{2} \times 1.5 \times 2400 \times \left[\begin{array}{l} \sin^2(39.749^\circ) \times 0.7 \times 330 \\ + \sin^2(39.749^\circ) \times 0.7 \times 330 \end{array} \right]$$

$$P_{HBE(VBE)} = 354185.633 \text{ kg}$$

$$P_{HBE(web)} = \frac{1}{2} R_y f_y [t_1 \sin(2\alpha_1) - t_{1+1} \sin(2\alpha_{1+1})] L_{cf}$$

$$P_{HBE(web)} = \frac{1}{2} \times 1.5 \times 2400 \times [0] \times (350 - 70)$$

Nilai $[t_1 \sin(2\alpha_1) - t_{1+1} \sin(2\alpha_{1+1})] = 0$ karena dimensi SPSW lantai 1 dan atasnya sama.

$$P_{HBE(web)} = 0 \text{ kg}$$

Nilai P_{HBE} pada balok akibat distibusi gaya dari SPSW adalah :

$$P_{HBE} = 354185.633 \pm \frac{1}{2} \times 0$$

$$P_{HBE} = 354185.633 \text{ kg (tekan)}$$

Nilai P_{HBE} pada balok merupakan aksial tekan, sehingga perlu diperhitungkan dengan analisis orde kedua pendekatan.

$$B_1 = 1.00 \text{ (didapatkan dari output SAP2000)}$$

- Karena nilai $B_1 = 1$, maka faktor perbesaran momen tersebut digunakan dalam perhitungan berikut:

$$P_r = P_u = 354185.633 \text{ kg}$$

$$M_r = B_1 M_{nt} + B_2 M_{lt}$$

$$\begin{aligned}
 &= 1 \times 8434.75 \\
 &= 8434.75 \text{ kgm}
 \end{aligned}$$

3. Gaya geser pada balok (*HBE*) akibat *SPSW*
 Gaya geser dihitung dengan sebagai berikut:

$$V_u = \frac{2M_{pr}}{L_h} + V_{ug}$$

Momen lentur balok, M_{pr} , dihitung dengan berdasarkan V_u balok yang telah diperlemah (*strength reduced*). Perlemanah diasumsikan 2/3 dari modulus penampang plastik balok.

$$\begin{aligned}
 M_{pr} &= 1.1R_y f_y Z_{RBS} \\
 &= 1.1 \times 1.5 \times 2400 \times (2/3 \times 6248.79) \\
 &= 16496800.32 \text{ kgcm} \\
 &= 164968.003 \text{ kgm}
 \end{aligned}$$

Gaya aksial *HBE* pada sambungan mugkin digunakan untuk menghitung kekuatan lentur yang telah diperlemah pada sendi plastis.

$$\begin{aligned}
 P_y &= f_y A_g \\
 &= 2400 \times 235.5 \\
 &= 565200 \text{ kg} \\
 \frac{P_u}{P_y} &= \frac{354185.633}{565200} \\
 &= 0.627 > 0.2
 \end{aligned}$$

$$M_{pr}^* = \frac{9}{8} (M_{pr}) \left[1 - \frac{P_{u(HBE)}}{P_y} \right]$$

$$= \frac{9}{8} (164968.003) \left[1 - \frac{354185.633}{565200} \right] \\ = 54746.589 \text{ kgm}$$

V_{ug} yang merupakan gaya geser akibat beban gravitasi merupakan hasil output SAP 2000. $V_{ug} = 7362.55 \text{ kg}$

$$V_u = \frac{2 \times 54746.589}{3.5} + 7362.55 \\ = 38646.315 \text{ kg}$$

4. Kontrol penampang profil terhadap gaya lentur

- Kontrol penampang terhadap tekuk lokal
Pelat sayap

$$\lambda = \frac{b_f}{2t_f} = \frac{300}{2 \times 24} = 6.25$$

$$\lambda_p = 0.38 \sqrt{\frac{E}{f_y}} = 0.38 \sqrt{\frac{2 \times 10^5}{250}} = 10.748$$

$\lambda \leq \lambda_p \rightarrow 6.25 \leq 10.748 \rightarrow$ penampang sayap kompak

Pelat badan

$$\lambda = \frac{h_w}{t_w} = \frac{596}{13} = 45.846$$

$$\lambda_p = 3.76 \sqrt{\frac{E}{f_y}} = 3.76 \sqrt{\frac{2 \times 10^5}{250}} = 106.35$$

$\lambda \leq \lambda_p \rightarrow 45.846 \leq 106.35 \rightarrow$ penampang badan kompak

- Karena penampang kompak, maka $M_n = M_p$

$$M_p = f_y \cdot Z_x = 2500 \times 6248.79 = 15621970 \text{ kgcm} \\ = 156219.7 \text{ kgm}$$

- Cek kemampuan penampang
 $\phi_b \cdot M_n \geq M_u$

$$\begin{aligned}\phi_b \cdot M_n &= 0.9 \times 156219.7 \\ &= 140597.73 \text{ kgm} > 8434.75 \text{ kgm... OK !}\end{aligned}$$

- Kontrol penampang terhadap tekuk lateral
Panjang tak terkekang adalah jarak balok anak sehingga
 $L_b = 175 \text{ cm}$.

$$L_p = 1.76 \times i_y \times \sqrt{\frac{E}{f_y}} = 1.76 \times 6.78 \times \sqrt{\frac{2 \times 10^6}{250}} = 337.511 \text{ cm}$$

$L_b \leq L_p \rightarrow 175 \text{ cm} \leq 337.511 \text{ cm} \rightarrow$ bentang pendek

- Karena bentang pendek, maka $M_n = M_p$
 $M_p = f_y \cdot Z_x = 2500 \times 6248.79 = 14997091.2 \text{ kgcm}$
 $= 149970.912 \text{ kgm}$

- Cek kemampuan penampang
 $\phi_b \cdot M_n \geq M_u$
 $\phi_b \cdot M_n = 0.9 \times 149970.912$
 $= 134973.821 \text{ kgm} > 8434.75 \text{ kgm... OK !}$

5. Kontrol Penampang profil terhadap gaya geser

$$\lambda = \frac{h_w}{t_w} = \frac{596}{13} = 45.846;$$

$$1.10 \sqrt{k_v \frac{E}{f_y}} = 1.10 \sqrt{5 \times \frac{2 \times 10^6}{2400}} = 71.005$$

$$\text{karena } \frac{h_w}{t_w} \leq 1.10 \sqrt{k_v \frac{E}{f_y}} \rightarrow 45.846 \leq 71.005$$

maka $C_v = 1.00$; sehingga

$$\begin{aligned}V_n &= 0.6 f_y A_w C_v \\ &= 0.6 \times 2400 \times (700 \times 1.3) \times 1.00 \\ &= 131040 \text{ kg}\end{aligned}$$

$$\emptyset V_n \geq V_u$$

$$\emptyset V_n = 0.9 \times 131040$$

$$= 117936 \text{ kg} > 38646.315 \text{ kg} \dots \textbf{OK !}$$

6. Kekuatan tekan balok (*HBE*)

$$L = 350 \text{ cm}$$

$$K_c = 1.00$$

$$f_e = \frac{\pi^2 E}{\left(\frac{KL}{r_{\min}}\right)^2} = \frac{\pi^2 \times 2 \times 10^6}{\left(\frac{1.00 \times 350}{6.78}\right)^2} = 7407.182 \text{ kg/cm}^2$$

$$\frac{f_y}{f_e} = \frac{2400}{7407.182} = 0.324$$

karena $\frac{f_y}{f_e} = 0.324 < 2.25$ maka f_{cr} ditentukan dengan:

$$f_{cr} = f_y(0.658)^{\frac{f_y}{f_e}} = 2400(0.658)^{\frac{2400}{7407.182}} = 2095.63 \text{ kg/cm}^2$$

$$P_n = f_{cr} \times A_g$$

$$= 2095.63 \times 253.5 = 493520.905 \text{ kg}$$

$$\emptyset P_n = 0.85 \times 493520.905$$

$$= 419492.769 \text{ kg} > 354185.633 \text{ kg} \dots \textbf{OK !}$$

7. Interaksi aksial dan lentur balok (*HBE*)

$$\frac{P_r}{P_c} = \frac{354185.633}{419492.769} = 0.844$$

$$\frac{M_r}{M_c} = \frac{8434.75}{140597.73} = 0.06$$

$$\frac{P_r}{P_c} + \frac{8}{9} \left(\frac{M_r}{M_c} \right) = 0.898 \leq 1.0 \dots \text{OK!}$$

8. Kontrol momen inersia balok (*HBE*) terhadap spsw

$$\begin{aligned} I_{HBE} &\geq 0.003 \frac{(\Delta t_w)L^4}{h} \\ &= 0.003 \frac{(0) \times 700^4}{400} \\ I_{HBE} &= 47800 \geq 0.00 \dots \text{OK!} \end{aligned}$$

9. Kontrol ketebalan plat badan balok (*HBE*)

$$\begin{aligned} t_{w HBE} &\geq \frac{t_w R_y f_y}{f_y \text{HBE}} \\ &\geq \frac{0.8 \times 1.5 \times 2400}{2500} \\ &\geq 1.152 \text{ cm} \end{aligned}$$

$$t_w = 1.008 \text{ cm} \geq 1.152 \text{ cm} \dots \text{OK!}$$

Balok $700 \times 300 \times 13 \times 24$ aman digunakan untuk balok (*HBE*) komponen *SPSW*.

C. Kontrol Desain Kolom (*VBE*)

Kolom pada dinding geser direncanakan komposit CFT dengan profil HSS $700 \times 700 \times 25 \times 25$ dengan mutu inti beton $f_c = 30 \text{ MPa}$ dan panjang kolom 400 cm. Data-data profil disajikan sebagai berikut :

$$\begin{array}{llll} d & = 700 \text{ mm} & I_x & = 477900 \text{ cm}^4 \\ b_f & = 700 \text{ mm} & I_y & = 477900 \text{ cm}^4 \\ t_w & = 25 \text{ mm} & i_x & = 31.66 \text{ cm} \end{array}$$

$$\begin{array}{llll}
 t_f & = 25 \text{ mm} & i_y & = 27.2 \text{ cm} \\
 A & = 646 \text{ cm}^2 & Z_x & = 13650 \text{ cm}^3 \\
 h & = 650 \text{ mm} & f_y & = 250 \text{ MPa}
 \end{array}$$

- 1) Gaya aksial pada kolom (*VBE*)

$$P_u = 409608.99 \text{ kg} \text{ (akibat beban gravitasi)}$$

$$E_m = \sum \frac{1}{2} R_y f_y \sin(2\alpha) t_w h + \sum V_u$$

$$\begin{aligned}
 &= \frac{1}{2} \times 1.5 \times 2500 \times [\sin(2 \times 39.749^\circ) \times 0.7 \times 400 \times 2] \\
 &+ (2 \times 38646.315) \\
 &= 1109706.417 \text{ kg}
 \end{aligned}$$

$$\begin{aligned}
 P_{u \text{ total}} &= 409608.99 + 1109706.417 \\
 &= 1519315.407 \text{ kg}
 \end{aligned}$$

Nilai P_{HBE} pada balok merupakan aksial tekan, sehingga perlu diperhitungkan dengan analisis orde kedua pendekatan.

$$B_1 = 1.0$$

Karena nilai $B_1 = 1$, maka faktor perbesaran momen tersebut digunakan dalam perhitungan momen.

$$P_r = P_u = 1519315.407 \text{ kg}$$

- 2) Momen pada kolom (*VBE*) akibat *SPSW*

Momen lentur akibat dari tarikan dinding geser (*SPSW*) pada sambungan.

$$M_{VBE(web)} = R_y f_y \sin^2(\alpha) t_w \left(\frac{h_c^2}{12} \right)$$

$$= 1.5 \times 2500 \times \sin^2(39.749^\circ) \times 0.7 \times \left(\frac{400^2}{12} \right)$$

$$= 14310530.615 \text{ kgcm}$$

$$= 143105.306 \text{ kgm}$$

Momen lentur pada kondisi kolom (*VBE*) mengalami tekan.

$$M_{VBE(HBE)} = \frac{1}{2} \sum M_{pb}$$

$$M_{pb} = \frac{M_{pr}}{1.1R_y} + V_{ush}$$

=

$$\frac{16496800.32}{1.1 \times 1.5} + 38646.315 \times \left[\frac{70}{2} + \frac{70}{2} \right]$$

$$= 12703302.873 \text{ kgcm}$$

$$= 127033.029 \text{ kgm}$$

$$P_u = \frac{1}{2} P_{HBE(web)}$$

$$= 0.5 \times 0$$

$$= 0$$

$$P_u/P_y = \frac{0}{2500 \times 646}$$

$$= 0.5 \times 0$$

$$= 0$$

$$M_{pr}^* = \frac{9}{8} (M_{pr}) \left[1 - \frac{P_{u(HBE)}}{P_y} \right]$$

$$= \frac{9}{8} (164968.003) \left[1 - \frac{354185.633}{565200} \right]$$

$$= 69288.652 \text{ kgm}$$

$$\begin{aligned} M_{pb} &= \frac{M_{pr}}{1.1R_y} + V_{ush} \\ &= \frac{69288.652}{1.1 \times 1.5} + 38646.315 \times \left[\frac{70}{2} + \frac{70}{2} \right] \end{aligned}$$

$$= 6904554.321 \text{ kgcm}$$

$$= 69045.543 \text{ kgm}$$

$$\begin{aligned} M_{VBE(HBE)} &= \frac{1}{2} \sum M_{pb} \\ &= 0.5 \times (127033.029 + 69045.543) \\ &= 98039.286 \text{ kgm} \end{aligned}$$

$$\begin{aligned} M_u &= M_{VBE(web)} + M_{VBE(HBE)} \\ &= 143105.306 + 98039.286 \\ &= 241144.592 \text{ kgm} \end{aligned}$$

Nilai $B_1 = 1$, faktor perbesaran momen tersebut digunakan dalam perhitungan berikut:

$$\begin{aligned} M_r &= B_1 M_{nt} + B_2 M_{lt} \\ &= 1.00 \times 241144.592 \\ &= 241144.592 \text{ kgm} \end{aligned}$$

- 3) Gaya geser pada kolom (VBE) akibat SPSW

$$\begin{aligned} V_{VBE(web)} &= \frac{1}{2} R_y f_y \sin^2(\alpha) t_w h_c \\ &= 1.5 \times 2500 \times \sin^2(39.749^\circ) \times 0.7 \times 400 \\ &= 214657.959 \text{ kg} \end{aligned}$$

$$\begin{aligned}
 V_{VBE(HBE)} &= \sum \frac{1}{2} \left(\frac{M_{pc}}{h_c} \right) \\
 &= \frac{\frac{1}{2} (98039.286 + 241144.592)}{400} \\
 &= 42397.985 \text{ kg}
 \end{aligned}$$

Gaya geser total adalah :

$$\begin{aligned}
 V_u &= V_{VBE(HBE)} + V_{VBE(web)} \\
 &= 42397.985 + 214657.959 \\
 &= 257055.944 \text{ kg}
 \end{aligned}$$

- 4) Kontrol kekuatan tekan kolom komposit (*VBE*)

Pada struktur dinding geser (*SPSW*) inti beton menggunakan beton dengan kuat tekan $f_c = 30 \text{ MPa}$

$$\lambda = \frac{b_f}{2t_f} = \frac{700}{2 \times 25} = 14$$

$$\lambda_p = 2.26 \sqrt{\frac{E}{f_y}} = 2.26 \sqrt{\frac{2 \times 10^5}{240}} = 65.241$$

$$\lambda \leq \lambda_p \rightarrow 14 \leq 65.241 \rightarrow \text{penampang kompak}$$

Sehingga kekuatan nominal tekan diperhitungkan sebagai berikut :

$$P_{no} = P_p$$

$$P_p = f_y A_s + C_2 f_c \left(A_c + A_{sr} \frac{E_s}{E_c} \right)$$

$$P_p = 2400 \times 646 + 0.85 \times 300 (4225 + 0)$$

$$P_p = P_{no} = 2692375 \text{ kg}$$

- 5) Kontrol penampang profil terhadap gaya geser

$$\frac{h_w}{t_w} = \frac{650}{25} = 26.00 ;$$

$$1.10 \sqrt{k_v \frac{E}{f_y}} = 1.10 \sqrt{5 \times \frac{2 \times 10^6}{2400}} = 71.01$$

$$\text{karena } \frac{h_w}{t_w} \leq 1.10 \sqrt{k_v \frac{E}{f_y}} \rightarrow 26.00 \leq 71.01$$

maka $C_v = 1.00$; sehingga

$$V_n = 0.6 f_y A_w C_v = 0.6 \times 2400 \times (2 \times 70 \times 2.50) \times 1.00$$

$$V_n = 504000 \text{ kg}$$

$$\emptyset V_n \geq V_u$$

$$\emptyset V_n = 0.9 \times 504000$$

$$= 453600 \text{ kg} > 257055.944 \text{ kg} \dots \text{OK!}$$

- 6) Interaksi aksial dan lentur kolom (VBE)

$$\begin{aligned} \frac{P_r}{P_c} &= \frac{1519315.407}{2692375} \\ &= 0.564 > 0.2 \end{aligned}$$

$$\begin{aligned} \frac{M_r}{M_c} &= \frac{159860.28}{0.9 \times 2500 \times 13650} \\ &= 0.008 \end{aligned}$$

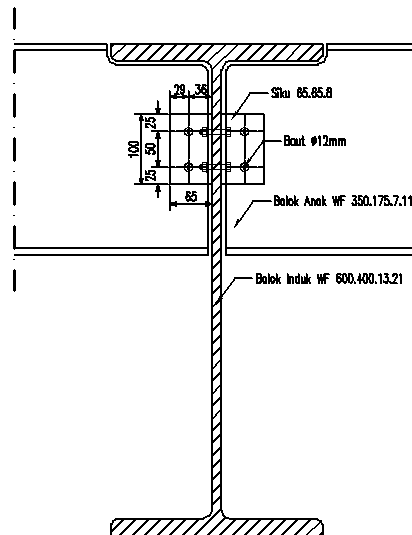
$$\frac{P_r}{P_c} + \frac{8}{9} \left(\frac{M_r}{M_c} \right) = 0.571 \leq 1.0 \dots \text{OK!}$$

4.3.2. Perencanaan Sambungan

4.3.2.1. Sambungan Balok Anak dengan Balok Induk

Sambungan balok induk dengan balok anak merupakan sambungan sendi. Sambungan tersebut didesain hanya untuk menerima beban geser dari balok anak.

Dari perhitungan sebelumnya didapatkan gaya geser yang bekerja pada balok anak sebesar $V_u = 10700.36 \text{ kg}$ dan gaya geser yang bekerja pada balok induk sebesar $V_u = 18672.3 \text{ kg}$. Sambungan ini direncanakan dengan profil siku $65 \times 65 \times 8$



Gambar 4.48. Sambungan Balok Anak dengan Balok Induk

- Sambungan siku dengan balok anak
Direncanakan :
 $\text{Øbaut} = 12 \text{ mm } (A_b = 1.131 \text{ cm}^2)$
 Mutu baut A325 ($f_u = 8250 \text{ kg/cm}^2$)
 Ulir tidak pada bidang geser ($r_1 = 0.5$)
 Kuat geser baut

$$\begin{aligned}\varnothing \cdot V_n &= \varnothing \times r_1 \times f_u \times m \times A_b \\ &= 0.75 \times 0.5 \times 8250 \times 2 \times 1.131 \\ &= 6997.898 \text{ kg}\end{aligned}$$

Kuat tumpu baut

$$\begin{aligned}\varnothing \cdot R_n &= \varnothing \times 2.4 \times d_b \times t_p \times f_u \\ &= 0.75 \times 2.4 \times 1.2 \times 0.7 \times 4100 \\ &= 6199.2 \text{ kg (menentukan !)} \\ n &= \frac{10700.36}{6199.2} = 1.726, \text{ dipasang 3 buah}\end{aligned}$$

- Sambungan balok induk dengan siku
Direncanakan :

$$\begin{aligned}\varnothing_{\text{baut}} &= 12 \text{ mm } (A_b = 1.131 \text{ cm}^2) \\ \text{Mutu baut A325 } (f_u &= 8250 \text{ kg/cm}^2) \\ \text{Ular tidak pada bidang geser } (r_1 &= 0.5)\end{aligned}$$

Kuat geser baut

$$\begin{aligned}\varnothing \cdot V_n &= \varnothing \times r_1 \times f_u \times m \times A_b \\ &= 0.75 \times 0.5 \times 8250 \times 2 \times 1.131 \\ &= 6997.9 \text{ kg (menentukan !)}\end{aligned}$$

Kuat tumpu baut

$$\begin{aligned}\varnothing \cdot R_n &= \varnothing \times 2.4 \times d_b \times t_p \times f_u \\ &= 0.75 \times 2.4 \times 1.2 \times 1.3 \times 4100 \\ &= 11512.8 \text{ kg} \\ n &= \frac{10700.36}{6997.898} = 1.53, \text{ dipasang 2 buah}\end{aligned}$$

- Kontrol siku penyambung
Kontrol leleh

$$\begin{aligned}A_g &= 10 \times 1.2 = 12 \text{ cm}^2 \\ \varnothing \cdot f_y \cdot A_g &= 0.9 \times 2500 \times 12 \\ &= 27000 \text{ kg} > 10700.36 \text{ kg ... OK!}\end{aligned}$$

Kontrol patah

$$\varnothing_{\text{lubang}} = 12 \text{ mm} + 1.5 \text{ mm (lubang dibuat dengan bor)}$$

$$\begin{aligned}
 &= 13.5 \text{ mm} \\
 &= 1.35 \text{ cm} \\
 A_{nv} &= L_{nv} \cdot t_l \\
 &= (L - n \varnothing_{lubang}) \cdot t_l \\
 &= (10 - 3 \times 1.35) \times 1.6 \\
 &= 9.52 \text{ cm}^2
 \end{aligned}$$

$$\begin{aligned}
 \varnothing \cdot f_u \cdot A_{nv} &= 0.75 \times 0.7 \times 4100 \times 9.52 \\
 &= 20491.8 \text{ kg} > 10700.36 \text{ kg ... OK!}
 \end{aligned}$$

– Kontrol jarak baut

$$\text{Jarak ke tepi} = 1.5 d_b \text{ s.d } (4 t_p + 100 \text{ mm}) \text{ atau } 200 \text{ mm}$$

$$= 18 \text{ mm s.d } 148 \text{ mm atau } 200 \text{ mm}$$

$$\text{diambil S1} = 25 \text{ mm}$$

$$\text{Jarak antar baut} = 3 d_b \text{ s.d } 15 t_p \text{ atau } 200 \text{ mm}$$

$$= 36 \text{ mm s.d } 195 \text{ mm atau } 200 \text{ mm}$$

$$\text{diambil S} = 50 \text{ mm}$$

4.3.2.2. Sambungan Balok Utama Tangga dengan Balok Penumpu Tangga

Sambungan balok utama tangga dengan balok penumpu tangga merupakan sambungan sendi. Sambungan tersebut didesain hanya untuk menerima beban geser dari balok utama tangga.

Dari perhitungan sebelumnya didapatkan gaya geser yang bekerja pada balok utama tangga sebesar $V_u = 1273.538 \text{ kg}$ dan gaya geser yang bekerja pada balok penumpu tangga $V_u = 2154.856 \text{ kg}$. Sambungan ini direncanakan dengan profil siku $40 \times 40 \times 4$.

– Sambungan siku dengan balok utama tangga

Direncanakan :

$$\varnothing \text{ baut} = 8 \text{ mm } (A_b = 0.503 \text{ cm}^2)$$

$$\text{Mutu baut A825 } (f_u = 8250 \text{ kg/cm}^2)$$

Ulir tidak pada bidang geser ($r_l = 0.5$)

Kuat geser baut

$$\begin{aligned}\varnothing \cdot V_n &= \varnothing \times r_1 \times f_u \times m \times A_b \\ &= 0.75 \times 0.5 \times 8250 \times 2 \times 0.503 \\ &= 3110.177 \text{ kg}\end{aligned}$$

Kuat tumpu baut

$$\begin{aligned}\varnothing \cdot R_n &= \varnothing \times 2.4 \times d_b \times t_p \times f_u \\ &= 0.75 \times 2.4 \times 0.8 \times 0.40 \times 4100 \\ &= 2361.6 \text{ kg (menentukan !)} \\ n &= \frac{1273.538}{2361.6} = 0.54, \text{ dipasang 2 buah}\end{aligned}$$

- Sambungan balok penumpu tangga dengan siku
Direncanakan :

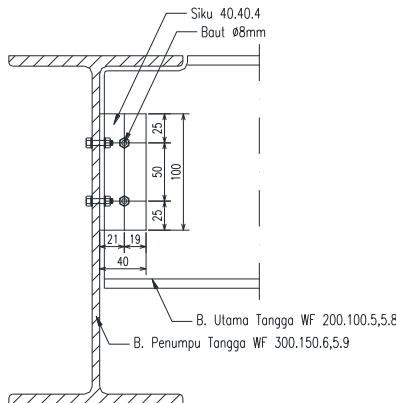
$$\begin{aligned}\varnothing_{\text{baut}} &= 8 \text{ mm } (A_b = 0.503 \text{ cm}^2) \\ \text{Mutu baut A825 } (f_u &= 8250 \text{ kg/cm}^2) \\ \text{Ultr tidak pada bidang geser } (r_1 &= 0.5)\end{aligned}$$

Kuat geser baut

$$\begin{aligned}\varnothing \cdot V_n &= \varnothing \times r_1 \times f_u \times m \times A_b \\ &= 0.75 \times 0.5 \times 8250 \times 1 \times 0.503 \\ &= 1555.088 \text{ kg (menentukan !)}\end{aligned}$$

Kuat tumpu baut

$$\begin{aligned}\varnothing \cdot R_n &= \varnothing \times 2.4 \times d_b \times t_p \times f_u \\ &= 0.75 \times 2.4 \times 0.8 \times 0.40 \times 4100 \\ &= 2361.6 \text{ kg} \\ n &= \frac{2154.856}{1555.09} = 1.386, \text{ dipasang 2 buah}\end{aligned}$$



Gambar 4.49. Sambungan Balok Utama Tangga dengan Balok Penumpu Tangga

- Kontrol siku penyambung
Kontrol leleh

$$A_g = 10 \times 0.8 = 8 \text{ cm}^2$$

$$\begin{aligned}\varnothing.fy.A_g &= 0.9 \times 2500 \cdot 8 \\ &= 18000 \text{ kg} > 1273.538 \text{ kg ...OK!}\end{aligned}$$

Kontrol patah

$$\begin{aligned}\varnothing_{\text{lubang}} &= 8 \text{ mm} + 1.5 \text{ mm (lubang dibuat dengan bor)} \\ &= 9.5 \text{ mm} \\ &= 0.95 \text{ cm}\end{aligned}$$

$$\begin{aligned}A_{nv} &= L_{nv} \cdot t_l \\ &= (L - n \varnothing_{\text{lubang}}) \cdot t_l \\ &= (10 - 2 \times 0.95) \times 1.6 = 6.48 \text{ cm}^2\end{aligned}$$

$$\begin{aligned}\varnothing.f_u.A_{nv} &= 0.75 \times 0.6 \times 4100 \times 6.48 \\ &= 7970.4 \text{ kg} > 1273.538 \text{ kg ...OK!}\end{aligned}$$

4.3.2.3. Sambungan Balok Penumpu Tangga dengan Kolom

Sambungan balok penumpu tangga dengan kolom merupakan sambungan sendi. Sambungan tersebut didesain hanya untuk menerima beban geser dari balok utama tangga.

Dari perhitungan sebelumnya didapatkan gaya geser yang bekerja pada balok penumpu tangga sebesar $V_u = 2154.856$ kg. Sambungan ini direncanakan dengan plat sambung.

- Kontrol plat sambung yang digunakan

$$\begin{aligned} t_p &\leq \frac{f_u}{f_{y_p}} t && (t = \text{tebal profil HSS}) \\ &= \frac{4100}{2500} \times 2.5 \\ &= 4.1 \text{ cm} \end{aligned}$$

Dipakai $t_p = 0.5$ cm

- Sambungan plat sambung dengan balok penumpu tangga Direncanakan :

\varnothing baut = 10 mm ($A_b = 0.785 \text{ cm}^2$)

Mutu baut A325 ($f_u = 8250 \text{ kg/cm}^2$)

Ular tidak pada bidang geser ($r_l = 0.5$)

Kuat geser baut

$$\begin{aligned} \varnothing \cdot V_n &= \varnothing \times r_l \times f_u \times m \times A_b \\ &= 0.75 \times 0.5 \times 8250 \times 2 \times 0.785 \\ &= 4859.651 \text{ kg} \end{aligned}$$

Kuat tumpu baut

$$\begin{aligned} \varnothing \cdot R_n &= \varnothing \times 2.4 \times d_b \times t_p \times f_u \\ &= 0.75 \times 2.4 \times 1 \times 0.5 \times 4100 \\ &= 3690 \text{ kg (menentukan !)} \end{aligned}$$

$$n = \frac{2154.856}{3690} = 0.584, \text{ dipasang 2 buah}$$

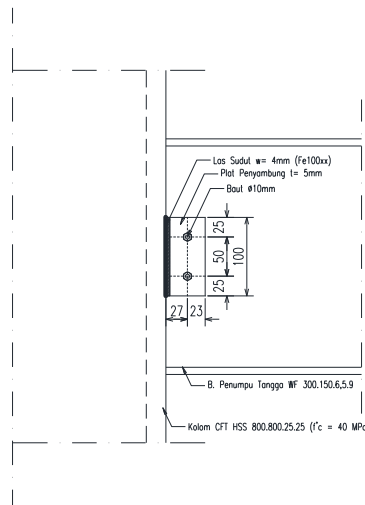
- Sambungan kolom dengan plat sambung Direncanakan menggunakan las F_{e100xx}:

Ketebalan tertipis material pada sambungan = 5 mm
 Digunakan ketebalan las w = 4 mm

$$\begin{aligned} A_{we} &= (0.707 \times w) \times l_{we} \\ &= 2 \times (0.707 \times 0.4) \times 10 \\ &= 5.656 \text{ cm}^2 \end{aligned}$$

$$\begin{aligned} F_{nw} &= 0.6F_{EXX}(1.0 + 0.5 \sin^{1.5} \theta) \\ &= 0.6 \times (100 \times 70.33) \times (1.0 + 0.5 \times \sin^{1.5} 0^\circ) \\ &= 4219.80 \text{ kg/cm}^2 \end{aligned}$$

$$\begin{aligned} \phi R_n &= 0.75 F_{nw} A_{we} \\ &= 0.75 \times 4219.80 \times 5.656 \\ &= 17900.392 \text{ kg} > 2154.856 \text{ kg ...OK!} \end{aligned}$$



Gambar 4.50. Sambungan Balok Penumpu Tangga dengan Kolom

- Kontrol plat penyambung
 - Kontrol leleh
- $$A_g = 10 \times 1 = 10 \text{ cm}^2$$

$$\begin{aligned}\varnothing \cdot f_y \cdot A_g &= 0.9 \times 2500 \times 10 \\ &= 22500 \text{ kg} > 2154.856 \text{ kg} \dots \text{OK!}\end{aligned}$$

Kontrol patah

$$\begin{aligned}\varnothing_{\text{lubang}} &= 10 \text{ mm} + 1.5 \text{ mm} \text{ (lubang dibuat dengan bor)} \\ &= 11.5 \text{ mm} \\ &= 1.15 \text{ cm}\end{aligned}$$

$$\begin{aligned}A_{nv} &= L_{nv} \cdot t_1 \\ &= (L - n \varnothing_{\text{lubang}}) \cdot t_1 \\ &= (10 - 2 \times 1.15) \times 0.5 \\ &= 3.85 \text{ cm}^2\end{aligned}$$

$$\begin{aligned}\varnothing \cdot f_u \cdot A_{nv} &= 0.75 \times 0.5 \times 4100 \times 3.85 \\ &= 5919.38 \text{ kg} > 2144.61 \text{ kg} \dots \text{OK!}\end{aligned}$$

4.3.2.4. Sambungan Kolom dengan Kolom

Sambungan kolom dengan kolom direncanakan pada lantai 4 ke lantai 5, pada posisi dinding geser (*SPSW*) menggunakan las penetrasi penuh dengan mutu F_{e100XX} . Gaya-gaya yang bekerja pada sambungan adalah akibat dari beban mati dan beban seismik akibat komponen vertikal. Sambungan ditempatkan pada posisi tengah dari ketinggian lantai.

- Gaya aksial pada sambungan

$$E_m = \sum \frac{1}{2} R_y f_y \sin(2\alpha) t_w h_c + \sum \left[\frac{2M_{pr}}{L_h} - \frac{q_u}{2} L_{cf} \right]$$

Nilai E_m diperhitungkan berdasarkan perhitungan sebelumnya $E_m = P_u = 1109706.417 \text{ kG}$

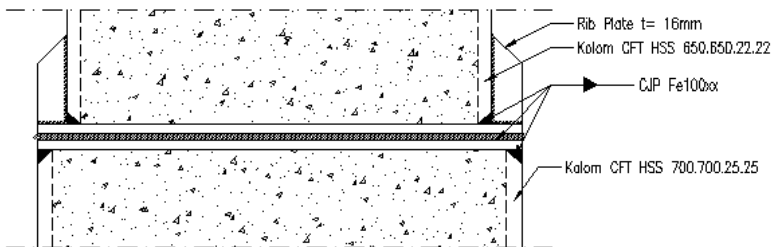
- Momen pada sambungan

$$\begin{aligned}M_u &= M_{VBE(web)} + M_{VBE(HBE)} \\ &= 143105.306 + 98039.286 = 241144.592 \text{ kgm}\end{aligned}$$

- Gaya geser pada sambungan

$$V_{VBE(HBE)} = \sum \frac{1}{2} \left(\frac{M_{pc}}{h_c} \right)$$

$$= 42397.985 \text{ kg}$$



Gambar 4.51. Sambungan Kolom dengan Kolom

- Sambungan las pada kolom
Kontrol las pada daerah yang diarsir pada profil kolom HSS $700 \times 700 \times 25 \times 25$.
Kontrol tegangan las akibat P_u dan M_u :

$$T_u = \frac{M_u}{d_c} \pm P_u$$

$$= \frac{241144.592}{70.00} \pm 61109706.417$$

$$= 1113151.34 \text{ kg (tekan) menentukan !}$$

$$= -106261.494 \text{ kg (tarik)}$$

Kekuatan las tumpul penetrasi penuh :

$$F_{nw} = f_u = 4100 \text{ kg/cm}^2$$

$$\phi R_{nh} = 0.75 F_{nw} A_{we}$$

$$= 0.75 \times 4100 \times (2.5 \times 330)$$

$$= 2536875 \text{ kg}$$

$$\left(\frac{V_u}{\phi R_n} \right)^2 + \left(\frac{T_u}{\phi R_n} \right)^2 \leq 1.0$$

$$\left(\frac{42397.985}{2536875}\right)^2 + \left(\frac{1113151.34}{2536875}\right)^2 = 0.193 \leq 1.0 \dots \text{OK!}$$

4.3.2.5. Sambungan Dinding Geser (SPSW)

Sambungan pada dinding geser direncanakan menggunakan las F_{e100XX}. Pengelasan dilakukan pada elemen balok (*HBE*) dan kolom (*VBE*). Tipe las yang digunakan yaitu las sudut dan dan las tumpul penetrasi penuh.

Sambungan las sudut pada balok (*HBE*)

Digunakan las dengan mutu F_{e100XX}

$$\begin{aligned} W_{(HBE)} &= \frac{R_y f_y \cos(\alpha) t_w \sqrt{2}}{\phi 0.6 F_{EXX} [1 + 0.5 \cos^{1.5}(\alpha)]} \\ &= \frac{1.5 \times 2400 \times \cos(39.749^\circ) \times 0.7 \times \sqrt{2}}{0.75 \times 0.6 \times (100 \times 70.33) \times [1 + 0.5 \cos^{1.5}(39.749^\circ)]} \\ &= 0.648 \text{ cm} \\ &= 7 \text{ mm} \end{aligned}$$

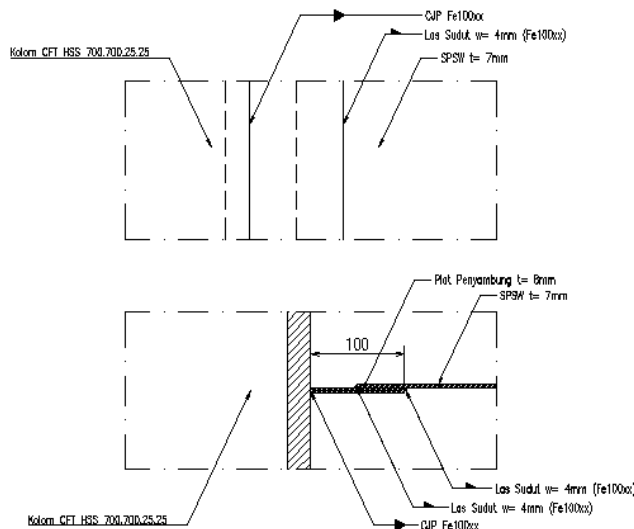
Ketebalan las minimum untuk kondisi di plat tertipis t=6mm. Jadi digunakan las dengan tebal w=7mm.

Sambungan las sudut pada kolom (*VBE*)

Digunakan las dengan mutu F_{e100XX}

$$\begin{aligned} W_{(VBE)} &= \frac{R_y f_y \sin(\alpha) t_w \sqrt{2}}{\phi 0.6 F_{EXX} [1 + 0.5 \sin^{1.5}(\alpha)]} \\ &= \frac{1.5 \times 2400 \times \sin(39.749^\circ) \times 0.7 \times \sqrt{2}}{0.75 \times 0.6 \times (100 \times 70.33) \times [1 + 0.5 \sin^{1.5}(39.749^\circ)]} \\ &= 0.648 \text{ cm} \\ &= 7 \text{ mm} \end{aligned}$$

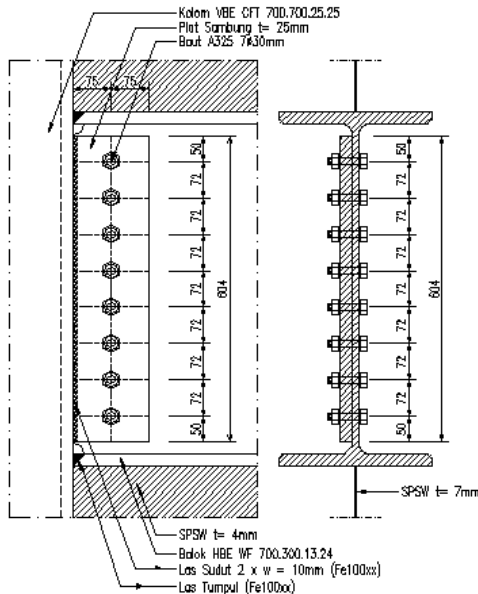
Ketebalan las minimum untuk kondisi di plat tertipis $t=6\text{mm}$. Jadi digunakan las dengan tebal $W=7\text{mm}$.



Gambar 4.52. Sambungan SPSW dengan Kolom.

4.3.2.6. Sambungan Balok (*HBE*) dengan Kolom (*VBE*) pada Dinding Geser Plat Baja (*SPSW*)

Sambungan menghubungkan balok (*HBE*) profil WF $700 \times 300 \times 13 \times 24$ dengan kolom (*VBE*) komposit CFT dengan profil HSS $700 \times 700 \times 25 \times 25$ dengan mutu inti beton = 30 MPa pada dinding geser (*SPSW*).



Gambar 4.53. Sambungan HBE dengan VBE pada Dinding Geser

- Gaya geser yang bekerja pada sambungan
Gaya geser dari SAP 2000
 $V_u = 27908.64 \text{ kg}$
- Gaya aksial yang bekerja pada sambungan
 $P_{HBE(VBE)} = 354185.663 \text{ kg}$
 $N_{coll} = 9721.84 \text{ kg}$ (gaya geser *SPSW*)
Gaya aksial yang diterima sambungan :

$$N_u = P_{HBE(VBE)} + N_{coll}$$

$$= 354185.663 + 9721.84$$

$$= 363898.473 \text{ kg}$$
 (menentukan)

$$\begin{aligned}
 N_u &= N_{coll} - P_{HBE(VBE)} \\
 &= 9721.84 - 354185.663 \\
 &= -344472.793 \text{ kg}
 \end{aligned}$$

Kedua gaya aksial bersifat tarik dan tekan, sehingga dipilih menentukan.

- Kontrol leleh pada plat sambung

$$\begin{aligned}
 \text{Mutu baja plat sambung} &= \text{BJ41} \\
 \text{Diameter baut} &= 30 \text{ mm} \rightarrow A = 7.07 \text{ cm}^2 \\
 \text{Ketabalan plat sambung} &= 25 \text{ mm} \\
 \text{Panjang plat sambung} &= 675 \text{ mm}
 \end{aligned}$$

Kontrol panjang tekuk $Kl/r \leq 25$, $f_{cr} = f_y$

$$\begin{aligned}
 \phi_y V_n &= 1.00(0.6)f_y t L \\
 &= 1.00 \times (0.6) \times 2500 \times 2.5 \times 67.5 \\
 &= 253125 \text{ kg} \\
 \phi_c N_n &= 0.90 f_y t L \\
 &= 0.90 \times 2500 \times 2.5 \times 67.5 \\
 &= 379687.5 \text{ kg} \\
 \left(\frac{V_u}{\phi_y V_n} \right)^2 + \left(\frac{N_u}{\phi_c N_n} \right)^2 &\leq 1.0 \\
 \left(\frac{27908.64}{253125} \right)^2 + \left(\frac{363898.473}{379687.5} \right)^2 &= 0.931 \leq 1.0 \dots \text{OK!}
 \end{aligned}$$

- Kontrol patah pada plat sambung

$$\begin{aligned}
 A_{nv} &= A_g - n(d_b + 1.5 \text{ mm})t \\
 &= (2.5 \times 67.5) - 8.00 \times (3.00 + 0.15) \times 2.5 \\
 &= 105.75 \text{ cm}^2
 \end{aligned}$$

$$\phi_y V_n = 0.75(0.6)f_u A_{nv}$$

$$= 0.75 \times (0.6) \times 4100 \times 105.75 \\ = 195108.75 \text{ kg}$$

$$\left(\frac{V_u}{\phi_y V_n} \right)^2 + \left(\frac{N_u}{\phi_c N_n} \right)^2 \leq 1.0$$

$$\left(\frac{27908.64}{195108.75} \right)^2 + \left(\frac{363898.473}{379687.5} \right)^2 = 0.939 \leq 1.0 \dots \text{OK!}$$

- Kontrol geser baut

$$\sqrt{V_u^2 + N_u^2} = \sqrt{27908.64^2 + 363898.473^2} \\ = 364967.109 \text{ kg}$$

$$\phi R_n = \phi n f_u^u A_b \\ = 0.75 \times 8 \times 8250 \times 7.07 \\ = 349894.882 \text{ kg} > 364967.109 \text{ kg} \dots \text{OK!}$$

- Kontrol kuat tumpu baut

Untuk komponen vertikal, baut bagian bawah,

$$1.2l_c = 1.2 \times (5 - 3/2) \\ = 4.2 \text{ cm} \\ 2.4d_b = 2.4 \times 3.0 \\ = 7.20 \text{ cm} > 4.02 \text{ cm}$$

Kontrol kuat tumpu Pelat :

$$\phi R_n = \phi 1.2 L_c t f_u \\ = 0.75 \times 1.2 \times 4.2 \times 2.5 \times 4100 \\ = 38745 \text{ kg}$$

Untuk komponen vertikal, baut sisanya,

$$1.2l_c = 1.2 \times (7.2 - 3.0) \\ = 5.04 \text{ cm} \\ 2.4d_b = 2.4 \times 3.0$$

$$= 7.20 \text{ cm} > 5.04 \text{ cm}$$

Kontrol kuat tumpu Pelat :

$$\begin{aligned}\phi R_n &= \phi 1.2 L_c t f_u \\ &= 0.75 \times 1.2 \times 5.04 \times 2.5 \times 4100 \\ &= 46494 \text{ kg}\end{aligned}$$

Untuk kembelompok baut vertikal,

$$\begin{aligned}\phi R_{nv} &= 38745 + (8 \times 46494) \\ &= 410697 \text{ kg}\end{aligned}$$

Untuk komponen horizontal, semua baut $2.4d_b > 1.2L_c$

$$\begin{aligned}\phi R_{nh} &= 8 \times 46494 \\ &= 371952 \text{ kg}\end{aligned}$$

$$\left(\frac{V_u}{\phi R_{nv}} \right)^2 + \left(\frac{N_u}{\phi R_{nh}} \right)^2 \leq 1.0$$

$$\left(\frac{27908.64}{410697} \right)^2 + \left(\frac{363898.473}{371952} \right)^2 = 0.962 \leq 1.0 \dots \text{OK!}$$

- Kontrol ukuran las

Pengelasan dilakukan sepanjang kedua sisi dari plat sambung dengan ketebalan las $w = 10 \text{ mm}$ (bagian paling tipis yaitu 30 mm) dan mutu las F_{e80XX}

$$\begin{aligned}A_{we} &= (0.707 \times w) \times l_{we} \\ &= 2 \times (0.707 \times 1.0) \times 67.5 \\ &= 95.445 \text{ cm}^2\end{aligned}$$

Untuk komponen vertikal :

$$\begin{aligned}F_{nw} &= 0.6 F_{EXX} (1.0 + 0.5 \sin^{1.5} \theta) \\ &= 0.6 \times (100 \times 70.33) \times (1.0 + 0.5 \times \sin^{1.5} 0^\circ) \\ &= 4219.8 \text{ kg/cm}^2\end{aligned}$$

$$\begin{aligned}\phi R_{nv} &= 0.75 F_{nw} A_{we} \\ &= 0.75 \times 4219.8 \times 95.445 \\ &= 302069.108 \text{ kg}\end{aligned}$$

Untuk komponen horizontal :

$$\begin{aligned}
 F_{nw} &= 0.6F_{EXX}(1.0 + 0.5\sin^{1.5}\theta) \\
 &= 0.6 \times (100 \times 70.33) \times (1.0 + 0.5 \times \sin^{1.5} 90^\circ) \\
 &= 6329.7 \text{ kg/cm}^2 \\
 \phi R_{nh} &= 0.75 F_{nw} A_{we} \\
 &= 0.75 \times 6329.7 \times 95.445 \\
 &= 453103.662 \text{ kg}
 \end{aligned}$$

$$\left(\frac{V_u}{\phi R_{nv}} \right)^2 + \left(\frac{N_u}{\phi R_{nh}} \right)^2 \leq 1.0$$

$$\left(\frac{27908.64}{302069.108} \right)^2 + \left(\frac{363898.473}{453103.662} \right)^2 = 0.654 \leq 1.0 \dots \text{OK!}$$

Kontrol sambungan *HBE* dengan *VBE* terhadap momen.

- Momen yang bekerja pada sambungan

$$\begin{aligned}
 M_u &= 1.1R_y Z_b \left(f_{yb} - \frac{P_{HBE}}{A_g} \right) \\
 &= 1.1 \times 1.5 \times 6248.79 \times \left(2500 - \frac{354185.633}{235.5} \right) \\
 &= 10269536.967 \text{ kgcm} \\
 &= 102695.37 \text{ kgm}
 \end{aligned}$$

Akibat adanya momen, las pada sayap balok bagian atas akan menerima tarikan sebesar :

$$\begin{aligned}
 T_u &= \frac{M_u d_{\max}}{\sum d^2} \\
 &= \frac{10269536.967 \times 70}{70^2} \\
 &= 146707.671 \text{ kg}
 \end{aligned}$$

- Kontrol ukuran las

Pengelasan dilakukan menggunakan las tumpul miring melebar dengan mutu Fe100XX.

$$\begin{aligned}
 A_{we} &= (0.707 \times w) \times l_{we} \\
 &= (0.707 \times 3) \times 30 \\
 &= 63.63 \text{ cm}^2
 \end{aligned}$$

Kekuatan las tumpul :

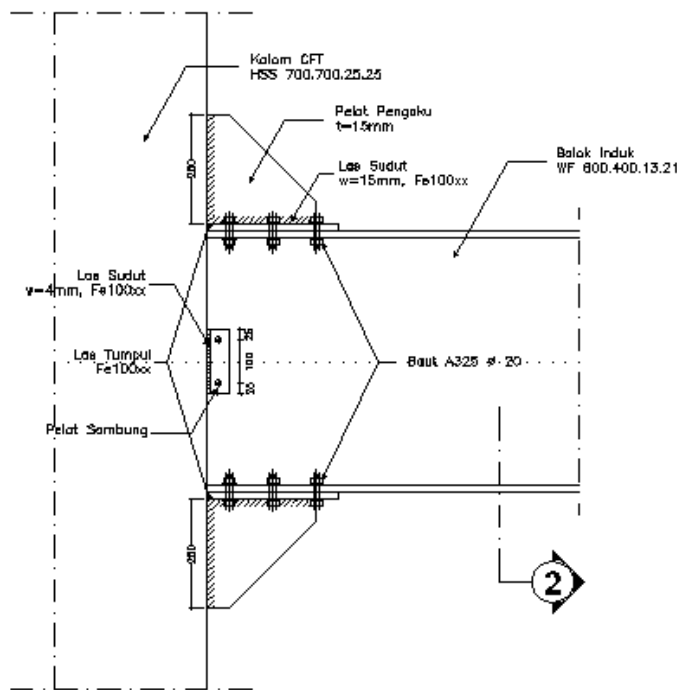
$$\begin{aligned}
 \phi R_{nh} &= 0.75 F_{nw} A_{we} \\
 &= 0.75 \times (100 \times 70.33) \times 63.63 \\
 &= 335632.343 \text{ kg} > 146707.671 \text{ kg...OK!}
 \end{aligned}$$

4.3.2.7. Sambungan Balok dengan Kolom

Sambungan menghubungkan balok hexagonal castellated profil WF 600 × 400 × 13× 21 dengan kolom komposit CFT dengan profil HSS 700 × 700 × 25 × 25 dengan mutu inti beton = 30 MPa.

Sambungan direncanakan menjadi 2 jenis sambungan yaitu:

- a) Sambungan Pen Tipe Geser
- b) Sambungan Rigid dengan las dan baut



Gambar 4.54. Sambungan Balok dengan Kolom

- Sambungan pen tipe geser dipasang sebagai penumpu beban mati balok dan beban pekerja ($PL=100 \text{ kg}$) saat proses pengelasan.

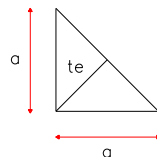
Data Perencanaan :

- Sambungan Baut (A325)

$f_u^b = 825 \text{ MPa} = 8250 \text{ kg/cm}^2$
$\varnothing \text{ baut} = 12 \text{ mm} = 1,2 \text{ cm}$
$A_b = 1,131 \text{ cm}^2$
$r_1 = 0,5$ *Pasal 13.2.2.1 SNI 03-1729-2002
$m = 1$ *Pasal 13.2.2.3 SNI 03-1729-2002

- Sambungan Las

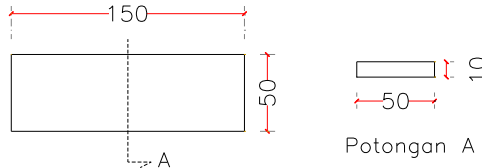
$$\begin{array}{lcl} a & = & 4 \text{ mm} \\ l_w & = & 150 \text{ mm} \end{array}$$



Keterangan :

- a (*ketebalan kaki las sudut*)

- Pelat Sambung



$$tp = 10 \text{ mm}$$

$$P_{\text{pelat}} = 15 \text{ cm}$$

Perhitungan Gaya Dalam :

Gaya geser yang bekerja pada sambungan

$$V_D = (172 \times 7,55)/2 = 649,3 \text{ kg}$$

$$V_L = 100/2 = 50 \text{ kg}$$

$$\begin{aligned} V_u &= 1,2D + 1,6L \\ &= 1,2 \times 649,3 + 1,6 \times 50 \\ &= 859,16 \text{ kg} \end{aligned}$$

Perhitungan Sambungan :

- Sambungan balok induk dengan pelat sambung
 - Kuat geser baut

$$\begin{aligned} \mathcal{O}.Vn &= \mathcal{O} \times r_1 \times f_u \times m \times A_b \\ &= 0,75 \times 0,5 \times 8250 \times 1 \times 2,01 \\ &= 3498,95 \text{ kg (menentukan !)} \end{aligned}$$

- Kuat tumpu baut

$$\begin{aligned}\varnothing \cdot R_n &= \varnothing \times 2.4 \times d_b \times t_p \times f_u \\ &= 0.75 \times 2.4 \times 1.2 \times 1.0 \times 4100 \\ &= 8856 \text{ kg}\end{aligned}$$

- Jumlah Sambungan

$$n = \frac{859,16}{3498,95} = 0,2455, \text{ dipasang 2 buah}$$

- Jarak Pemasangan Baut

Jarak Antar Baut (S)

$$\begin{array}{llll} 3 \text{ db} & \leq & S & \leq \\ 3,12 & \leq & 100 & \leq \\ 36 & \leq & 100 & \leq \end{array} \begin{array}{ll} 15 \text{ tp} & \text{atau } 200 \text{ mm} \\ 15 \cdot 10 & \text{atau } 200 \text{ mm} \\ 150 & \text{atau } 200 \text{ mm} \end{array}$$

Jarak Baut ke Tepi (S₁)

$$\begin{array}{llll} 1,5 \text{ db} & \leq & S_1 & \leq \\ 1,5,12 & \leq & 25 & \leq \\ 18 & \leq & 25 & \leq \end{array} \begin{array}{ll} 15 \text{ tp} + 100 & \text{atau } 200 \text{ mm} \\ 15 \cdot 10 + 100 & \text{atau } 200 \text{ mm} \\ 250 & \text{atau } 200 \text{ mm} \end{array}$$

- Sambungan kolom dengan pelat sambung

Tegangan Putus Las F_{e100xx} = 7030 kg/cm²

$$\begin{aligned}A_w &= (0.707 \times w) \times l_{we} \\ &= (0.707 \times 0.4) \times 15 \\ &= 4,24 \text{ cm}^2\end{aligned}$$

$$\begin{aligned}F_{nw} &= 0,6 \times F_{e100xx} \\ &= 0,6 \times 7030 \text{ kg/cm}^2 \\ &= 4218 \text{ kg/cm}^2\end{aligned}$$

$$\begin{aligned}\phi R_n &= 0,75 \times F_{nw} \times A_w \\ &= 0,75 \times 4218 \times 4,24 \\ &= 13419,57 \text{ kg}\end{aligned}$$

Cek Persyaratan Desain :

$$\begin{array}{rcl} V_u & < & \emptyset R_n \\ 859,2 & < & 13419,57 \text{ kg} \end{array} \rightarrow \dots OK$$

- Kontrol pelat sambung

- Kontrol leleh

$$\begin{aligned} A_g &= P_{\text{pelat}} \times t_p \\ &= 15 \times 1,0 = 15 \text{ cm}^2 \end{aligned}$$

$$\begin{aligned} \emptyset T_n &= \emptyset \times f_y \times A_g \\ &= 0,9 \times 2500 \times 15 \\ &= 33750 \text{ kg} \end{aligned}$$

Cek Persyaratan Desain :

$$\begin{array}{rcl} V_u & < & \emptyset T_n \\ 859,2 & < & 33750 \text{ kg} \end{array} \rightarrow \dots OK$$

- Kontrol patah

$$\begin{aligned} \emptyset_{\text{lubang}} &= 12 \text{ mm} + 2 \text{ mm} \text{ (dibuat dengan bor)} \\ &= 14 \text{ mm} = 1,4 \text{ cm} \end{aligned}$$

$$\begin{aligned} A_{nv} &= L_{nv} \cdot t_1 \\ &= (L - n \emptyset_{\text{lubang}}) \cdot t_1 \\ &= (15 - 2 \times 1,2) \times 1,0 \\ &= 12,6 \text{ cm}^2 \end{aligned}$$

$$\begin{aligned} \emptyset T_n &= \emptyset \times 0,6 \times f_y \times A_{nv} \\ &= 0,75 \times 0,6 \times 4100 \times 12,6 \\ &= 23247 \text{ kg} \end{aligned}$$

Cek Persyaratan Desain :

$$\begin{array}{rcl} V_u & < & \emptyset T_n \\ 859,16 & < & 23247 \text{ kg} \end{array} \rightarrow \dots OK$$

- b. Sambungan rigid dengan las dan baut

Sambungan rigid dipasang sebagai penumpu beban bangunan, dengan sambungan las dan baut sebagai penumpunya. Perhitungannya direncanakan sebagai berikut :

Perhitungan Gaya Dalam :

Gaya dalam yang bekerja di dapatkan dari hasil output desain SAP 2000 dengan nilai sebagai berikut :

$$M_u = 29840,5 \text{ kg.m} \quad V_u = 11625,36 \text{ kg}$$

Data Perencanaan :

- Sambungan Baut (A325)

$$f_{u,b} = 825 \text{ MPa} = 8250 \text{ kg/cm}^2$$

$$\varnothing \text{ baut} = 20 \text{ mm} = 2,0 \text{ cm}$$

$$A_b = 3,142 \text{ cm}^2$$

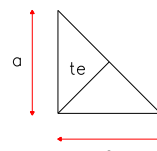
$$r_1 = 0,5 \quad * \text{Pasal 13.2.2.1 SNI 03-1729-2002}$$

$$m = 1 \quad * \text{Pasal 13.2.2.3 SNI 03-1729-2002}$$

- Sambungan Las

$$a = 15 \text{ mm}$$

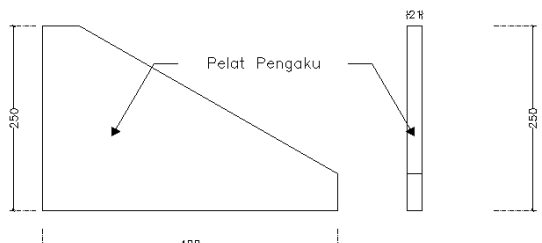
$$l_w = 400 \text{ mm}$$



Keterangan :

- a (ketebalan kaki las sudut)

- Pelat Pengaku



$$t_p = 21 \text{ mm}$$

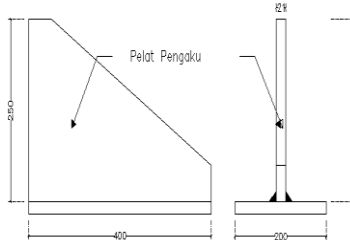
$$P_{pelat} = 40 \text{ cm}$$

Perhitungan Sambungan :

- Perhitungan Pelat Pengaku

Dimensi pelat pengaku direncanakan dengan ketentuan berdasarkan Pasal 8.11.3 SNI 03-1727-2002. Pelat direncanakan dengan dimensi seperit berikut :

$$\begin{array}{ll} bs = 250 \text{ mm} & * \text{lebar pengaku} \\ ts = 16 \text{ mm} & * \text{tebal pengaku} \end{array}$$



Persyaratan 1

$$\begin{aligned} ts &\geq 0,5 \text{ tf} \\ ts &\geq 0,5 \times 21 \\ 16 &\geq 10,5 \text{ mm} \quad \dots \text{OK!} \end{aligned}$$

Persyaratan 2

$$\begin{aligned} \frac{bs}{ts} &\leq 0,56 \sqrt{\frac{E}{f_y}} \\ \frac{250}{16} &\leq 0,56 \sqrt{\frac{200000}{250}} \\ 15,6 &\leq 15,8 \text{ mm} \quad \dots \text{OK!} \end{aligned}$$

- Perhitungan Sambungan Baut

- Kuat geser baut

$$\begin{aligned}\varnothing \cdot V_n &= \varnothing \times r_l \times f_u \times m \times A_b \\ &= 0,75 \times 0,5 \times 8250 \times 1 \times 3,142 \\ &= 9719,3 \text{ kg (menentukan !)}$$

- Kuat tumpu baut

$$\begin{aligned}\varnothing \cdot R_n &= \varnothing \times 2,4 \times d_b \times t_p \times f_u \\ &= 0,75 \times 2,4 \times 1,2 \times 2,1 \times 4100 \\ &= 30996 \text{ kg}\end{aligned}$$

$$\text{- } Tu = \frac{Mu}{d_b} = \frac{44591,66}{0,6} = 74319,4 \text{ kg}$$

- Jumlah Sambungan

$$n = \frac{74319,4}{9719,3} = 5,6, \text{ dipasang 6 buah}$$

- Jarak Pemasangan Baut

Jarak Antar Baut (S)

$$3 \text{ db} \leq S \leq 15 \text{ tp atau } 200 \text{ mm}$$

$$3,20 \leq 100 \leq 15 \cdot 21 \text{ atau } 200 \text{ mm}$$

$$60 \leq 100 \leq 315 \text{ atau } 200 \text{ mm}$$

Jarak Baut ke Tepi (S₁)

$$1,5 \text{ db} \leq S_1 \leq 15 \text{ tp} + 100 \text{ atau } 200 \text{ mm}$$

$$1,5,20 \leq 50 \leq 15,21 + 100 \text{ atau } 200 \text{ mm}$$

$$30 \leq 50 \leq 415 \text{ atau } 200 \text{ mm}$$

- Perhitungan Sambungan Las

Karena pada sambungan terdapat momen, las pada sayap balok induk bagian atas dan pelat pengaku di rencanakan menerima geser sentris dan lentur dengan perhitungan sebagai berikut :

$$\text{Tegangan Putus Las } F_{e100xx} = 7030 \text{ kg/cm}^2$$

$$\begin{aligned}F_{nw} &= 0,6 \times F_{e100xx} \\ &= 0,6 \times 7030 \text{ kg/cm}^2 \\ &= 4218 \text{ kg/cm}^2\end{aligned}$$

$$\begin{aligned}
 l_w &= 4 \times d_1 + 2 \times d_2 \\
 &= 4 \times 25 + 2 \times 40 \\
 &= 180 \text{ cm}
 \end{aligned}$$

Las Sudut

$$\begin{aligned}
 t_e &= 2 \times 0,707 \times a \\
 &= 2 \times 0,707 \times 1,5 = 2,212 \text{ cm}
 \end{aligned}$$

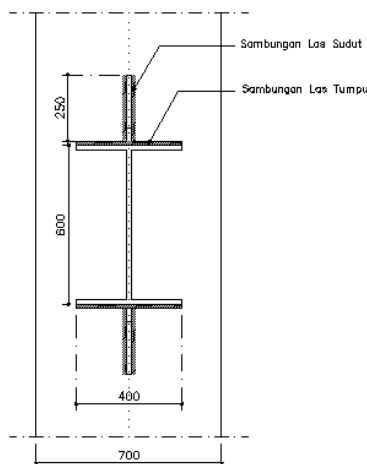
$$\begin{aligned}
 R_n &= F_{nw} \times t_e \\
 &= 4218 \times 2,212 = 8946,4 \text{ kg/cm}
 \end{aligned}$$

Las Tumpul

$$t_e = 1,0 \text{ cm}$$

$$\begin{aligned}
 R_n &= F_{nw} \times t_e \\
 &= 4218 \times 1,0 = 4218,0 \text{ kg/cm}
 \end{aligned}$$

$$\begin{aligned}
 R_{n \text{ total}} &= 8946,4 + 4218,0 \\
 &= 13164,4 \text{ kg/cm}
 \end{aligned}$$



Gambar 4.55. Letak Sambungan Las pada Sambungan Balok-Kolom

Geser Sentris pada sambungan las

$$f_v = \frac{Vu}{l_w} = \frac{22382,8}{180} = 124,35 \text{ kg/cm}$$

Cek Persyaratan Desain :

$$f_v < \phi R_n \\ 124,35 < 8946,4 \text{ kg} \rightarrow \dots OK$$

Geser Lentur pada sambungan las

$$f_h = \frac{Mu}{S} = \frac{4459166}{950} = 4693,86 \text{ kg/cm}$$

dimana :

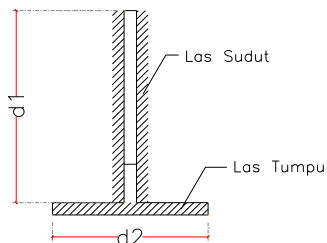
$$S_1' = \frac{d_1^2}{6} = \frac{25^2}{6} = 104,17 \text{ cm}^2$$

$$S_1 = 4 \times 104,17 = 416,7 \text{ cm}^2$$

$$S_2' = \frac{d_2^2}{6} = \frac{40^2}{6} = 266,67 \text{ cm}^2$$

$$S_2 = 2 \times 266,67 = 533,3 \text{ cm}^2$$

$$S_{\text{total}} = S_1 + S_2 \\ = 416,7 + 533,3 = 950,0 \text{ cm}^2$$



Kontrol Interaksi Geser Sentris dan Lentur

$$\begin{aligned} f_{\text{total}} &= \sqrt{f_h^2 + f_v^2} = \sqrt{4693,86^2 + 124.35^2} \\ &= 4695,51 \text{ kg/cm} \end{aligned}$$

Cek Persyaratan Desain :

$$f_{\text{total}} < \phi R_n$$

$$4695,51 < 0,75 \times 13164,4$$

$$4695,51 < 9873,28 \text{ kg/cm} \rightarrow \dots OK$$

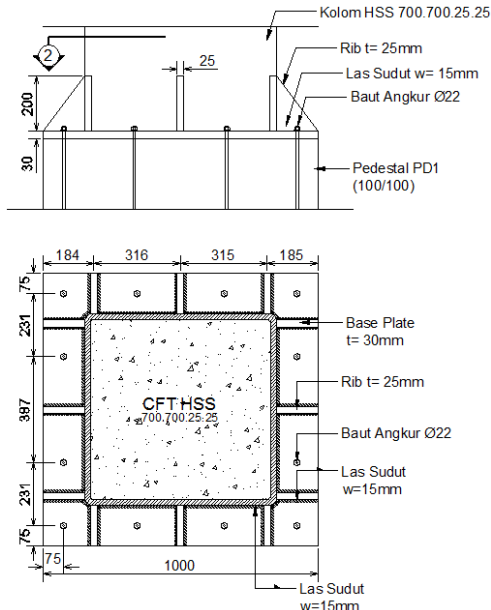
4.3.2.8. Sambungan Kolom dengan Base Plate

Perencanaan *base plate* digunakan untuk menghubungkan kolom baja dengan kolom pedestal. Plat sambung yang digunakan yaitu dengan ketebalan $t_p = 30$ mm. Dari hasil analisis SAP 2000 didapat gaya yang bekerja pada kolom lantai dasar adalah :

$$P_u = 635607.06 \text{ kg (dari gaya aksial Kolom)}$$

$$V_u = 27908.64 \text{ kg (dari gaya geser Kolom)}$$

$$M_u = 30136.8 \text{ kgm (dari momen Kolom)}$$



Gambar 4.56. Sambungan Kolom dengan Base Plate

Sambungan Las pada End Plate

Kontrol las pada daerah yang diarsir pada profil HSS 700.700.25.25 dengan asumsi $t_e = 1.00$ cm sehingga didapat :

$$A_w = 4 \times (1 \times 70) = 280 \text{ cm}^2$$

$$I_x = I_y = \frac{(b+d)^3}{6} = \frac{(70+70)^3}{6} = 457333.333 \text{ cm}^4$$

$$\begin{aligned} S &= (bxd) + \left(\frac{d^2}{3} \right) = (70 \times 70) + \left(\frac{70^2}{3} \right) \\ &= 6533.33 \text{ cm}^3 \end{aligned}$$

$$f_{uw} = \phi 0.6 F_{e100XX}$$

$$\begin{aligned}
 &= 0.75 \times 0.6 \times (100 \times 70.33) \\
 &= 3164.85 \text{ kg/cm}^2
 \end{aligned}$$

Kontrol tegangan las akibat P_u :

$$\begin{aligned}
 f_p &= \frac{P_u}{A} + \frac{M_u}{S} \\
 &= \frac{635607.06}{280} + \frac{30136.8}{6533,33} \\
 &= 2274.638 \text{ kg/cm}^2
 \end{aligned}$$

Kontrol tegangan las akibat V_u :

$$\begin{aligned}
 f_v &= \frac{V_u}{A} + \frac{M_u}{S} \\
 &= \frac{635607.06}{280} + \frac{30136.8}{6533,33} \\
 &= 104.286 \text{ kg/cm}^2
 \end{aligned}$$

Kontrol tegangan las total :

$$\begin{aligned}
 f_{total} &= \sqrt{f_p^2 + f_v^2} \\
 &= \sqrt{2274.638^2 + 104.286^2} = 2277.027 \text{ kg/cm}^2
 \end{aligned}$$

Kontrol tebal kaki las :

$$\begin{aligned}
 t_e &= f_{total} / f_{uw} \\
 &= 2277.027 / 3164.85 \\
 &= 0.72 \text{ cm}
 \end{aligned}$$

$$\begin{aligned}
 w &= t_e / 0.707 \\
 &= 0.72 / 0.707 \\
 &= 1.017 \text{ cm}
 \end{aligned}$$

Kontrol syarat tebal kaki las:

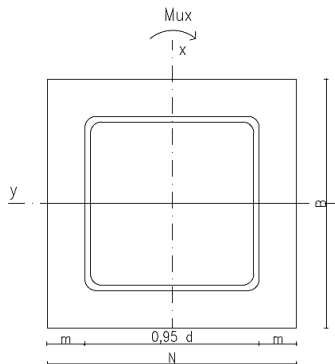
Tebal minimum = $t_{sirip} = t_p = 30 \text{ mm}$

$$w_{eff(max)} = 1.41 \frac{f_u}{F_{e100XX}} t_p$$

$$= 1.41 \cdot \frac{4100}{100.70,33} \cdot 3.0 = 2.466 \text{ cm}$$

Sehingga dipakai las dengan w = 15 mm

Perhitungan *base plate*



Gambar 4.57. Arah Beban Sumbu X pada Base Plate

Direncanakan diameter baut = 22 mm

Direncanakan Dimensi Baseplate 100x100 cm ($A_2=10000 \text{ cm}^2$),

$$f_{p\max} = \phi_c 0.85 f_c'$$

$$= 0.65 \times 0.85 \times 30$$

$$= 16.575 \text{ MPa}$$

$$q_{\max} = 16.575 \times 1000 = 16575 \text{ N/mm}$$

$$\begin{aligned}
 e_{kritis} &= \frac{N}{2} - \frac{P_u}{2q_{\max}} \\
 &= \frac{1000}{2} - \frac{63507.06}{2 \times 16575} \\
 &= 480.826 \text{ mm} \\
 e &= \frac{M_u}{P_u} = \frac{30136800}{635607.06} = 47.414 \text{ mm} < e_{kritis} = 480.826 \text{ mm}
 \end{aligned}$$

Termasuk dalam kategori baseplate yang memikul gaya aksial, gaya geser dan juga momen lentur dengan intensitas yang cukup kecil, sehingga distribusi tegangan tidak terjadi sepanjang baseplate, namun momen lentur yang bekerja masih belum mengakibatkan baseplate terangkat dari beton penumpu. Angkur terpasang hanya berfungsi sebagai penahan gaya geser, disamping itu angkur tersebut juga berfungsi menjaga stabilitas struktur selama masa konstruksi.

jika $f = 540$ mm adalah jarak baut angkur ke as kolom, maka penyelesaian untuk mencari Y adalah :

$$\begin{aligned}
 Y &= \frac{P_u}{q_{\max}} \\
 Y &= \frac{635607.06}{16575} = 38.347 \text{ mm}
 \end{aligned}$$

Sisi desak : pelat kantilever $m = 75$ mm, maka tebal pelat landasan untuk memikul gaya reaksi beton adalah :

$$f_p = \frac{P_u}{BY} = \frac{635607.06}{1000 \times 75} = 16.575 \text{ MPa}$$

$$t_p \geq 1.5m \sqrt{\frac{f_p}{f_y}}$$

$$t_p \geq 1.5 \times 75 \sqrt{\frac{16.575}{250}} = 28.967 \text{ mm}$$

Maka tebal pelat landasan yang dipakai 30 mm.

Gaya pada angkur adalah

Dipakai baut angkur A307 Ø22 mm ($f_u = 8250 \text{ kg/cm}^2$)

Kuat rencana geser dan tumpu (1 bidang geser)

$$\begin{aligned}\phi_f \cdot V_n &= V_d = \phi_f \cdot r_i \cdot f_u^b \cdot A_b \cdot m \\ &= 0,75 \cdot 0,5 \cdot 8250 \cdot (\frac{1}{4} \cdot \pi \cdot 2.2^2) \cdot 1 \\ &= 11760.356 \text{ kg (menentukan)} \\ \phi_f \cdot R_n &= R_d = 2,4 \cdot \phi_f \cdot d_b \cdot t_p \cdot f_u \\ &= 2,4 \cdot 0,75 \cdot 2.2 \cdot 3 \cdot 4100 \\ &= 48708 \text{ kg}\end{aligned}$$

Jumlah baut angkur yang dibutuhkan (diambil jumlah yang terbesar antara gaya geser V_{ux} dan V_{uy})

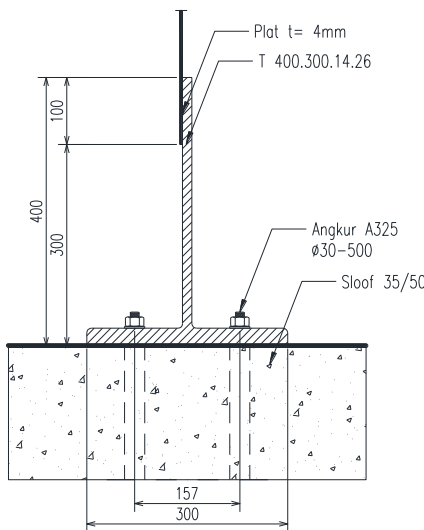
$$n = \frac{V_{uy}}{\phi_f \cdot V_n} = \frac{27908.64}{11760.356} = 2,373$$

dipakai 12 buah untuk menjaga stabilitas saat pemasangan konstruksi.

4.3.2.9. Sambungan Dinding Geser (SPSW) dengan Balok

Perencanaan sambungan ini digunakan untuk menghubungkan dinding geser lantai dasar dengan balok. Profil T 400 × 300 × 14 × 26 berhubungan langsung dengan sloof memanjang dengan penambahan angkur dan *grouting* agar tidak

terjadi rembesan air yang menyebabkan korosi. Digunakan angkur dengan diameter $d = 3.00 \text{ cm}$ dan jarak $s = 50.00 \text{ cm}$



Gambar 4.58. Sambungan Balok (HBE) dengan Balok

Gaya geser yang bekerja pada angkur

$$\begin{aligned}
 V_u &= \frac{1}{2} f_y \sin(2\alpha) t_w s \\
 &= \frac{1}{2} \times 2400 \times \sin(2 \times 43.16) \times 0.30 \times 50.00 \\
 &= 17962.89 \text{ kg}
 \end{aligned}$$

Tarikan yang bekerja pada angkur

$$\begin{aligned}
 T_u &= f_y \cos^2(\alpha) t_w s \\
 &= 2400 \times \cos^2(43.16) \times 0.3 \times 50.00
 \end{aligned}$$

$$= 31925.52 \text{ kg}$$

Perhitungan Baut Angkur

Dipakai baut angkur $d = 30 \text{ mm}$ dengan $f_u = 8250 \text{ kg/cm}^2$

$$\begin{aligned}\phi R_n &= 0.75 f_{ub} (0.5 A_b) \\ &= 9 \times 0.75 \times 8250 \times (0.5 \times (0.25 \times \pi \times 3.00^2)) \\ &= 196815.87 \text{ kg}\end{aligned}$$

$$\frac{2T_u + C_v V_u}{n} = \frac{2 \times 31925.52 + 1.25 \times 17962.89}{9}$$

$$= 9589.40 \text{ kg} < 196815.87 \text{ kg ...OK!}$$

Panjang baut angkur yang ditanam ke dalam pondasi diperhitungkan sebagai berikut:

$$L \geq \left[\frac{2V_u + (4V_u^2 + 6df_c'(M_u + V_u \times (5\text{cm})))^{1/2}}{df_c'} \right]$$

$$L \geq \left[\frac{2 \times 17962.89 + (4 \times 17962.89^2 + 6 \times 500.00 \times 600 \times (0 + 17962.89 \times (5\text{cm})))^{1/2}}{500.00 \times 600} \right]$$

$$L \geq 1.46 \text{ cm} \rightarrow \text{diambil } L = 30.00 \text{ cm}$$

4.4. Perencanaan Struktur Bawah

4.4.1. Umum

Pondasi adalah komponen struktur pendukung bangunan yang berada di posisi paling bawah dan berfungsi meneruskan beban struktur atas ke tanah. Dalam perencanaan pondasi ada dua jenis pondasi yang umum dipakai dalam dunia konstruksi, yaitu pondasi dangkal dan pondasi dalam. Pemakaian pondasi dalam bergantung pada kekuatan tanah yang ada. Jika penggunaan pondasi dangkal tidak cukup kuat menahan beban struktur di atasnya, maka digunakan pondasi dalam. Umumnya pondasi dalam dipakai untuk struktur dengan beban yang relatif besar seperti apartemen, hotel dll. Dikatakan pondasi dalam jika perbandingan antara kedalaman pondasi (D) dengan diameternya (B) adalah lebih besar sama dengan 10 ($D/B \geq 10$). Pondasi dalam ini ada beberapa macam jenis, antara lain pondasi tiang pancang, pondasi tiang bor (pondasi sumuran), lain sebagainya.

Pondasi yang akan direncanakan pada Hotel Premier Inn Surabaya ini memakai pondasi dalam yaitu pondasi bored pile. Dalam bab ini pembahasannya meliputi perencanaan jumlah tiang pancang yang diperlukan dan perencanaan poer (pile cap).

4.4.2. Data Tanah

Penyelidikan tanah perlu dilakukan untuk mengetahui jenis dan karakteristik tanah dimana suatu struktur akan dibangun. Sehingga kita bisa merencanakan pondasi yang sesuai dengan jenis dan kemampuan daya dukung tanah tersebut.

Data tanah pada perencanaan pondasi ini diambil sesuai dengan data hasil penyelidikan di lapangan. Adapun data tanah yang telah tersedia dilapangan data penyelidikan tanah hasil uji Standard Penetration Test (SPT).

4.4.3. Daya Dukung Tanah

Perhitungan tegangan ijin tanah berdasarkan dari data SPT dengan menggunakan perhitungan dari buku Mekanika Tanah dan

Teknik Pondasi oleh Suyono Sosrodarsono, penerbit PT. Pradnya Paramita tahun 2000, Jakarta.

Disamping peninjauan terhadap tegangan ijin tanah tempat pondasi bor pile di tanam, daya dukung suatu tiang juga harus ditinjau berdasarkan kekuatan bahan tiang pancang tersebut. Hasil daya dukung yang menentukan yang dipakai sebagai daya dukung ijin tiang.

4.4.3.1. Perhitungan Daya Dukung Tanah Tiang Bor

Diameter 600 mm, Jarak antar tiang 1,5 m

Data Perencanaan:

- Diameter tiang bor = 600 mm
- Kedalaman tiang = 15 m
- Jarak pusat antar tiang = 1,5 m

Daya dukung ultimate pada pondasi tiang bore menggunakan perumusan “*Luciana Decourt*”, sehingga daya dukung ultimate dirumuskan :

$$Q_{ult} = K N_p A_p + (N_s/3 + 1) A_s$$

$$Q_d = Q_{ult} / SF$$

dimana :

- Q_{ult} = Daya dukung tiang bore ultimate
- Q_d = Daya dukung tiang ijin
- SF = Angka Keamanan
- K = Koefisien Karakteristik Tanah
- N_p = Nilai rata-rata SPT (N) sepanjang 4D diatas s/d 4D dibawah ujung tiang
- N_s = Nilai N rata-rata sepanjang tiang dengan nilai $3 < N < 50$
- A_p = luas penampang diujung tiang
- A_s = luas selimut tiang (keliling x panjang tiang)

Perhitungan daya dukung tiang bore ini dilakukan berdasarkan hasil uji *Standard Penetration Test* (SPT) dengan kedalaman 15 m, dengan perhitungan sebagai berikut :

$$D = 60 \text{ cm}$$

$$\begin{aligned} Ap &= \frac{1}{4}\pi D^2 = \frac{1}{4} \times \pi \times 0,6^2 \\ &= 0,283 \text{ m}^2 \end{aligned}$$

$$As = \pi \times D \times \text{Panjang Tiang}$$

$$\begin{aligned} &= \pi \times 0,6 \text{ meter} \times 15 \text{ meter} \\ &= 28,274 \text{ m}^2 \end{aligned}$$

$$N_p = \frac{50 + 35}{2} = 46,25$$

$$N_s = 114,982$$

$$K = 12 \text{ t/m}^2$$

$$Q_{ult} = K N_p A_p + (N_s/3 + 1) A_s$$

$$\begin{aligned} &= 12 \times 46,25 \times 0,283 + (114,982 / 3 + 1) \times 35,186 \\ &= 660,677 \text{ Ton} \end{aligned}$$

$$Q_d = \frac{Q_{ult}}{SF} = \frac{660,677}{3} = 220,226 \text{ Ton}$$

Maka didapatkan daya dukung ijin pondasi tiang bore adalah 220,226 Ton atau 2202,26 kN

Tabel 4.11. Daya dukung satu tiang (tiang bor diameter 600mm)

Depth m	Description S / C	N- SPT	(N1+N2)	Friction	S Friction	Bearing	Pu	Pijin
			2	Ton/m ²	Ton	Ton	Ton	Ton
								SF= 3.00
0	C	0	0	0	0.000	0.000	0.000	0.000
1	C	12	9	6	11.310	101.788	113.097	37.699
2	C	8	9	4	18.850	101.788	120.637	40.212
3	C	3	4.25	1.5	21.677	48.066	69.743	23.248
4	C	2	2.25	1	23.562	25.447	49.009	16.336
5	C	1	1.25	0.5	24.504	14.137	38.642	12.881
6	C	0	0.25	0	24.504	2.827	27.332	9.111
7	C	0	0	0	24.504	0.000	24.504	8.168
8	C	0	0	0	24.504	0.000	24.504	8.168
9	C	0	0	0	24.504	0.000	24.504	8.168
10	C	0	0	0	24.504	0.000	24.504	8.168
11	C	0	0	0	24.504	0.000	24.504	8.168
12	C	5	3.75	2.5	29.217	42.412	71.628	23.876
13	C	10	8.75	5	38.642	98.960	137.602	45.867
14	C	15	13.75	7.5	52.779	155.509	208.288	69.429
15	C	18	17.25	9	69.743	195.093	264.836	88.279
16	C	30	27	12	92.363	305.363	397.726	132.575
17	C	35	33.75	12	114.982	381.704	496.686	165.562
18	S	50	46.25	12	137.602	523.075	660.677	220.226
19	S	50	50	12	160.221	565.487	725.708	241.903
20	S	46	47	12	182.841	531.557	714.398	238.133
21	S	44	44.5	12	205.460	503.283	708.743	236.248
22	S	33	35.75	12	228.080	404.323	632.403	210.801
23	S	15	19.5	7.5	242.217	220.540	462.757	154.252
24	C	15	15	7.5	256.354	169.646	426.000	142.000
25	C	17	16.5	8.5	272.376	186.611	458.987	152.996
26	C	18	17.75	9	289.341	200.748	490.088	163.363
27	C	19	18.75	9.5	307.248	212.058	519.305	173.102
28	C	17	17.5	8.5	323.270	197.920	521.190	173.730
29	C	16	16.25	8	338.350	183.783	522.133	174.044
30	C	18	17.5	9	355.314	197.920	553.234	184.411
31	C	20	19.5	10	374.164	220.540	594.703	198.234
32	C	21	20.75	10.5	393.956	234.677	628.633	209.544
33	C	22	21.75	11	414.690	245.987	660.677	220.226
34	C	26	25	12	437.310	282.743	720.053	240.018
35	C	29	28.25	12	459.929	319.500	779.429	259.810

Gaya dalam yang bekerja pada tiang di dapatkan dari hasil analisis SAP 2000v14, dimana diperoleh hasil sebagai berikut :

$$\begin{aligned} M_{ux} &= -236,96 \text{ kN.m} & M_{uy} &= -42,37 \text{ kN.m} \\ P_u &= 1675 \text{ kN} \end{aligned}$$

Data Perencanaan Tiang Bore (Bore Pile) :

$$\begin{aligned} d &= 600 \text{ mm} \\ A_g &= 282743,34 \text{ mm}^2 \end{aligned}$$

Mutu bahan :

$$\begin{aligned} f'_c &= 30 \text{ Mpa} \\ f_y &= 400 \text{ Mpa} \end{aligned}$$

Selimut beton = 70 mm

Tulangan sengkang = $\emptyset 10$ mm

Tulangan utama = $\emptyset 22$ mm

$$d = 600 - 70 - \frac{1}{2} \cdot 22 = 509 \text{ mm}$$

Penulangan Lentur Tiang Bore (Bore Pile) :

Hasil output SAP2000v19 yang didapatkan kemudian di inputkan kedalam progam PCACOL, untuk membantu menentukan tulangan yang akan di rencanakan pada tiang bor (bore pile) dengan hasil sebagai berikut :

Dari PCACOL didapat nilai $\rho = 1,64 \%$, maka luasan tulangan (As) adalah

$$\begin{aligned} A_s &= \rho \times b \times d_x \\ &= 0,0164 \times 600 \times 509 \\ &= 4176,48 \text{ mm}^2 \end{aligned}$$

Dipasang tulangan 12 D22, $A_s = 380,132 \text{ mm}^2$ dipasang melingkar sama sisi.

Penulangan Geser Tiang Bore (Bore Pile) :

$$\begin{aligned} V_u &= 55,887 \text{ kN} &= 55886,7 & \text{N} \\ P_u &= 1675,137 \text{ kN} &= 1675137 & \text{N} \end{aligned}$$

Kekuatan geser yang disumbangkan oleh beton :

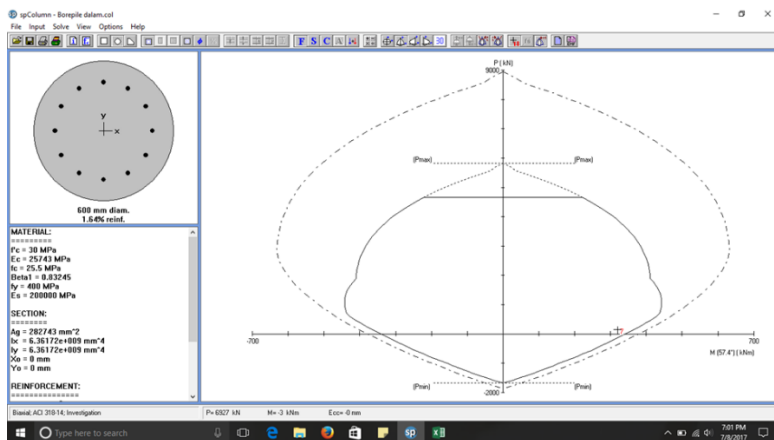
$$\begin{aligned}
 V_c &= \left(1 + \frac{N_u}{14A_g}\right) \frac{1}{6} \sqrt{f_c} bd \\
 &= \left(1 + \frac{1675137}{14 \times 282743,3}\right) \frac{1}{6} \sqrt{30} \times 600 \times 509 \\
 &= 396771 \text{ N}
 \end{aligned}$$

$$\begin{aligned}
 \phi V_c &= 0,5 \times 0,75 \times V_c \\
 &= 0.5 \times 0.75 \times 396771 & = 148789 \text{ N}
 \end{aligned}$$

Kontrol Geser

$$\begin{aligned}
 V_u &< \phi V_c \\
 55886,7 &< 148789 \text{ N} \quadOK
 \end{aligned}$$

Sehingga tidak perlu tulangan geser. Jadi dipasang tulangan geser praktis $\varnothing 10 - 150$.



Gambar 4.59. Hasil Analisa Tiang (BorePile) dengan Program PCACol

4.4.3.2. Daya Dukung Tanah Tiang Bore Kelompok

Untuk daya dukung group pondasi, harus dikoreksi terlebih dahulu dengan koefisien efisiensi C_e .

$$Q_{L(\text{group})} = Q_{L(1 \text{ tiang})} \times n \times C_e$$

n = jumlah tiang dalam group

Perhitungan Koefisien C_e

Dengan menggunakan perumusan Converse – Laberre :

$$\begin{aligned} E_k &= 1 - \theta \left[\frac{(n-1)m + (n-1)m}{90mn} \right] \\ &= 1 - \left(\arctan \frac{600}{1500} \right) \left[\frac{(2-1)3 + (2-1)3}{90 \times 3 \times 2} \right] \\ &= 0,717 \end{aligned}$$

Dimana :

- D = diameter tiang pancang
- s = jarak antar tiang pancang
- m = jumlah tiang pancang dalam 1 baris
- n = jumlah baris tiang pancang
- Θ = Arc tg D/s (dalam derajat)

Maka dapat diambil bahwa nilai Koefisien Efisiensinya adalah 0,717

4.4.3.3. Perhitungan Daya Dukung Bahan

Data Perencanaan :

- Diameter tiang bor = 600 mm
- Jarak pusat antar tiang = 1,5 m
- f'_c = 30 MPa

1. Perhitungan daya dukung akibat bahan untuk tiang bor

$$P_{\text{akibat bahan}} = \frac{\pi}{4} \times D^2 \times 0.45 \times f'_c$$

$$= \frac{\pi}{4} \times 600^2 \times 0.45 \times 30$$

$$= 3817035,074 \text{ N}$$

$$= 381,70 \text{ ton}$$

Dengan :

D = diameter tiang bor

f_c' = mutu beton rencana untuk tiang bor

4.4.4. Perhitungan Pondasi Bore Pile

4.4.4.1. Daya Dukung Tiang Bore Kelompok

Bila diatas tiang-tiang dalam kelompok yang disatukan oleh sebuah kepala tiang (*poer*) bekerja beban-beban vertikal (V), horizontal (H), dan momen (M), sehingga besarnya beban vertikal ekivalen (P_v) yang bekerja dapat dihitung dengan rumusan :

$$P_v = \frac{V}{n} \pm \frac{M_y \times x_{max}}{\Sigma x^2} \pm \frac{M_x \times y_{max}}{\Sigma y^2}$$

dimana :

P_v = beban vertikal ekivalen

V = beban vertikal dari kolom

N = banyaknya tiang dalam group

M_x = momen terhadap sumbu x

M_y = momen terhadap sumbu y

x_{max} = absis terjauh terhadap titik berat kelompok tiang

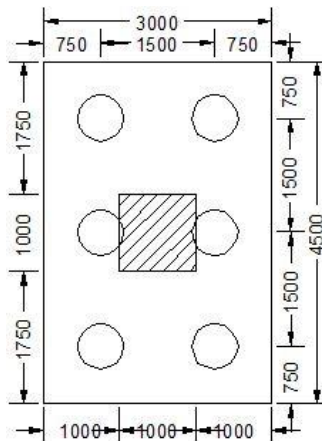
y_{max} = ordinat terjauh terhadap titik berat kelompok tiang

Σx^2 = jumlah dari kuadrat absis tiap tiang terhadap garis netral group

Σy^2 = jumlah dari kuadrat ordinat tiap tiang terhadap garis netral group

Beban – beban yang bekerja pada tiang bisa di dapatkan dari hasil analisis SAP 2000 pada kolom dasar, dimana diperoleh hasil sebagai berikut :

$$\begin{aligned} M_{ux} &= -23695,61 \text{ kgm} & M_{uy} &= 3385,67 \text{ kgm} \\ P_u &= 670055 \text{ kg} \end{aligned}$$



Gambar 4.60. Jarak Absis dan Ordinat pada Tiang Bore Pile Kelompok

$$X_{max} = 0,75 \text{ m} \quad \Sigma x^2 = 6 (0,75)^2 = 3,375 \text{ m}^2$$

$$Y_{max} = 1,5 \text{ m} \quad \Sigma y^2 = 4 (1,5)^2 = 9 \text{ m}^2$$

$$\begin{aligned} P_v &= \frac{V}{n} \pm \frac{M_y \times x_{max}}{\Sigma x^2} \pm \frac{M_x \times y_{max}}{\Sigma y^2} \\ &= \frac{670,055}{6} - \frac{3,386 \times 0,75}{3,375} + \frac{23,696 \times 1,5}{9} \\ &= 116,377 \text{ Ton} \end{aligned}$$

Kontrol Daya Dukung

$$\begin{aligned}
 P_v &< P_{ijin} \\
 116,377 &< E_k \times Q_d \\
 116,377 &< 0,717 \times 220,226 \\
 116,377 &< 157,987 \text{ Ton} \longrightarrow \dots OK
 \end{aligned}$$

4.4.4.2. Kontrol terhadap Gaya Lateral

Panjang jepitan kritis tanah terhadap tiang pondasi menurut metode Philiponat dimana kedalaman minimal tanah terhadap tiang pondasi didapat dari harga terbesar dari gaya-gaya berikut :

- Monolayer : 3 meter atau 6 kali diameter
- Multilayer : 1,5 meter atau 3 kali diameter

Perhitungan:

Tanah bersifat multi layer

$$\begin{aligned}
 Le &= \text{Panjang penjepitan} \\
 &= 3D \\
 &= 3 \times 0,6 = 1,8 \text{ m}
 \end{aligned}$$

Arah Y

$$\begin{aligned}
 My &= \frac{Le \times Hx}{n} = \frac{1,8 \times 3,375}{6} \\
 &= 1,0125 \text{ Tm}
 \end{aligned}$$

$$\begin{aligned}
 My &< M_{\text{bahan}} \\
 1,0125 \text{ Tm} &< 41,92 \text{ Tm} \rightarrow \text{OKE}
 \end{aligned}$$

Arah X

$$\begin{aligned}
 My &= \frac{Le \times Hy}{n} = \frac{1,8 \times 9}{6} \\
 &= 2,7 \text{ Tm}
 \end{aligned}$$

$$\begin{aligned}
 My &< M_{\text{bahan}} \\
 2,7 \text{ Tm} &< 41,92 \text{ Tm} \rightarrow \text{OKE}
 \end{aligned}$$

4.4.4.3. Perencanaan Pondasi Poer

A. Perencanaan Poer pada Kolom Pedestal

Poer direncanakan terhadap gaya geser ponds pada penampang kritis dan penulangan akibat momen lentur.

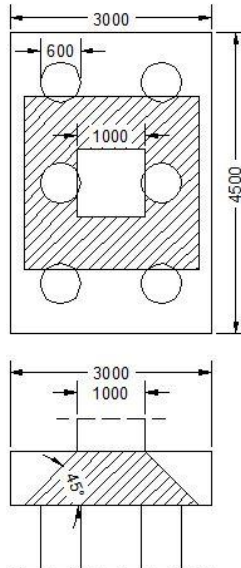
Data-data perancangan poer

- P_{\max} (1 tiang)	= 220.226 ton
- Jumlah tiang bore pile	= 6 buah
- Dimensi poer	= $3.0 \times 4.5 \times 0.8$ m
- Mutu beton (f_c')	= 30 MPa
- Mutu baja (f_y)	= 400 MPa
- Diameter tulangan	= 22 mm
- Selimut beton	= 70 mm
- Tinggi efektif (d)	
$d_x = 800 - 70 - \frac{1}{2} 22$	= 719 mm
$d_y = 800 - 70 - 22 - \frac{1}{2}(22)$	= 697 mm

B. Kontrol Geser Pons

1. Akibat Kolom Pedestal

Poer harus mampu menyebarluaskan beban dari kolom ke pondasi, sehingga perlu dilakukan kontrol kekuatan geser pons untuk memastikan bahwa kekuatan geser nominal beton harus lebih besar dari geser pons yang terjadi. Perencanaan geser pons pada poer tersebut berdasarkan ketentuan SNI 03-2847-2012 Pasal 11.11.2.1.



Gambar 4.61. Geser Ponds Akibat Kolom Pedestal

Untuk pondasi tapak non-prategang (V_c) ditentukan berdasarkan nilai yang terkecil dari persamaan berikut:

Keliling penampang kritis :

$$\begin{aligned} b_o &= 2(bk + dx) + 2(hk + dy) \\ &= 2(1000 + 719) + 2(1000 + 697) \\ &= 6832 \text{ mm} \end{aligned}$$

dimana :

bk = lebar penampang kolom

hk = tinggi penampang kolom

$dx\backslash$ = tebal efektif poer

$$\text{a. } V_c = 0,17 \left(1 + \frac{2}{\beta} \right) \lambda \sqrt{f'c} \times b_o \times d$$

$$= 0,17 \left(1 + \frac{2}{1} \right) \times 1 \times \sqrt{30} \times 6832 \times 719 \\ = 13721688,36 \text{ N}$$

b. $V_c = 0,333\sqrt{f'c} \times b_o \times d$
 $= 0,333\sqrt{30} \times 6832 \times 719$
 $= 8959455,339 \text{ N}$

c. $V_c = 0,083 \left(\frac{\alpha_s d}{b_o} + 2 \right) \lambda \sqrt{fc} b_o d$
 $= 0,083 \left(\frac{40 \times 719}{6832} + 2 \right) \times 1 \times \sqrt{30} \times 6832 \times 719$
 $= 13866894,91 \text{ N}$

Dari ketiga nilai V_c diatas diambil nilai terkecil, maka kapasitas penampang dalam memikul geser adalah $8959455,339 \text{ N} = 8959,455 \text{ kN}$

Kontrol Geser Pons

P_{max}	<	$\varnothing V_c$
6699,604	<	$0,75 \times 8959,455$
6699,604	<	6719,592 kNOK

Jadi ketebalan dan ukuran poer memenuhi syarat terhadap geser pons akibat kolom.

2. Akibat Pancang

Poer juga harus mampu menyebarkan beban dari arah tiang bor menuju ke poer ,sehingga perlu dilakukan kontrol kekuatan geser pons untuk memastikan bahwa kekuatan geser

nominal beton harus lebih besar dari geser pons yang terjadi akibat tiang bor.

Keliling penampang kritis :

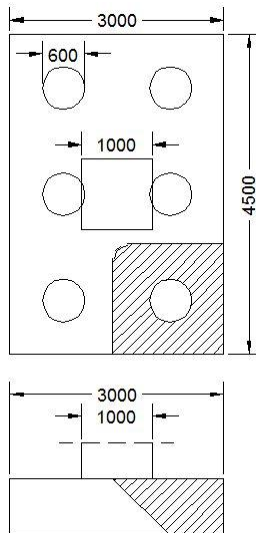
$$\begin{aligned} bo &= (\pi \times (dp + d)) \\ &= (\pi \times (600 + 719)) = 6860 \text{ mm} \end{aligned}$$

dimana :

dp = diameter bore pile

d = tebal efektif poer

$$\begin{aligned} \text{a. } V_c &= 0,17 \left(1 + \frac{2}{\beta} \right) \lambda \sqrt{f'c} \times b_o \times d \\ &= 0,17 \left(1 + \frac{2}{1} \right) \times 1 \times \sqrt{30} \times 4143,761 \times 719 \\ &= 8322510,698 \text{ N} \end{aligned}$$



Gambar 4.62. Geser Ponds Akibat Tiang Bore

$$\begin{aligned}
 b. \quad V_c &= 0,333\sqrt{f'c} \times b_o \times d \\
 &= 0,333\sqrt{30} \times 4143,761 \times 719 \\
 &= 5434109,926 \text{ N}
 \end{aligned}$$

$$\begin{aligned}
 c. \quad V_c &= 0,083 \left(\frac{\alpha_s d}{b_o} + 2 \right) \lambda \sqrt{fc} b_o d \\
 &= 0,083 \left(\frac{40 \times 719}{4143,761} + 2 \right) \times 1 \times \sqrt{30} \times 4143,761 \times 719 \\
 &= 12109515,51 \text{ N}
 \end{aligned}$$

Dari ketiga nilai V_c diatas diambil nilai terkecil, maka kapasitas penampang dalam memikul geser adalah $5434109,926 \text{ N} = 5434,11 \text{ kN}$

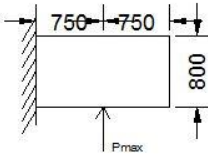
Kontrol Geser Pons

$$\begin{array}{lll}
 P_{\max} < & \emptyset V_c \\
 2202,26 & < & 0,75 \times 5434,11 \\
 2202,26 & < & 4075,582 \text{ kN} \quad ...OK
 \end{array}$$

Jadi ketebalan dan ukuran poer memenuhi syarat terhadap geser pons akibat tiang bor.

C. Penulangan Poer

Untuk penulangan lentur, *poer* dianalisa sebagai balok *kantilever* dengan perletakan jepit pada kolom pedestal. Sedangkan beban yang bekerja adalah beban terpusat di tiang kolom yang menyebabkan reaksi pada tanah dan berat sendiri *poer*. Perhitungan gaya dalam pada poer didapat dengan teori mekanika statis tertentu.



Gambar 4.63. Analisis Poer sebagai Balok Kantilever

a. Penulangan Arah X

Beban Terpusat

$$P_{max} = 220,226 \text{ ton}$$

$$P = 3 \times 220,226 = 660,677 \text{ ton}$$

Beban Merata

$$q = 2,4 \times 4,5 \times 0,8 = 8,64 \text{ ton/m}$$

$$qu = 8,64 \text{ ton/m} \times 1,2 = 10,368 \text{ ton/m}$$

$$\begin{aligned} Mu &= P \times a - \frac{1}{2} \times q_{ux} \times L^2 \\ &= (220,266 \times 0,75) - (\frac{1}{2} \times 10,368 \times (1,5)^2) \\ &= 157,705 \text{ ton.m} \\ &= 1577045400 \text{ N.mm} \end{aligned}$$

$$dx = 800 - 70 - \frac{1}{2} \cdot 22 = 719 \text{ mm}$$

$$dy = 800 - 70 - 22 - \frac{1}{2} \cdot 22 = 697 \text{ mm}$$

Perhitungan Kebutuhan Tulangan

$$M_n = \frac{Mu}{\phi} = \frac{1577045400}{0,8} = 1971306750 \text{ N.mm}$$

$$m = \frac{f_y}{0,85 \cdot f'c} = \frac{400}{0,85 \times 30} = 15,686$$

$$\rho_{min} = 1,4 / f_y = 1,4 / 400 = 0,0035$$

$$\begin{aligned}
 R_n &= \frac{Mn}{bd^2} = \frac{1971306750}{4500 \times 719^2} = 0,847 \\
 \rho_{\text{perlu}} &= \frac{1}{m} \left(1 - \sqrt{1 - \frac{2m \cdot R_n}{f_y}} \right) \\
 &= \frac{1}{15,686} \left(1 - \sqrt{1 - \frac{2 \times 15,686 \times 0,847}{400}} \right) \\
 &= 0,002155
 \end{aligned}$$

Tulangan tarik yang dibutuhkan :

$$\begin{aligned}
 A_s &= \rho \times b \times d_x \\
 &= 0,035 \times 4500 \times 719 \\
 &= 11324,25 \text{ mm}^2
 \end{aligned}$$

Digunakan Tulangan D22 ($A_s = 380,133 \text{ mm}^2$)

Jumlah Tulangan yang di perlukan

$$n = \frac{11324,25}{380,133} = 19,88 \approx 20 \text{ buah}$$

Jarak tulangan terpasang tiap meternya adalah

$$S = \frac{4500}{19,88} = 151,056 \approx 150 \text{ mm}$$

Maka dari perhitungan diatas digunakan tulangan lentur pondasi poer adalah 30 D22–150 mm

b. Penulangan Arah Y

Beban Terpusat

$$P_{\max} = 220,226 \text{ ton}$$

$$P = 2 \times 220,226 = 660,677 \text{ ton}$$

Beban Merata

$$\begin{aligned} q &= 2,4 \times 3 \times 0,8 = 5,76 \text{ ton/m} \\ qu &= 5,76 \text{ ton/m} \times 1,2 = 6,912 \text{ ton/m} \end{aligned}$$

$$\begin{aligned} Mu &= P \times a - \frac{1}{2} \times q_{uy} \times L^2 \\ &= (220,226 \times 0,75) - (\frac{1}{2} \times 6,912 \times (2,25)^2) \\ &= 147,6735 \text{ ton.m} \\ &= 1476735000 \text{ N.mm} \end{aligned}$$

$$\begin{aligned} dx &= 800 - 70 - \frac{1}{2} \cdot 22 = 719 \text{ mm} \\ dy &= 800 - 70 - 22 - \frac{1}{2} \cdot 22 = 697 \text{ mm} \end{aligned}$$

Perhitungan Kebutuhan Tulangan

$$Mn = \frac{Mu}{\emptyset} = \frac{1476735000}{0,8} = 1845918750 \text{ N.mm}$$

$$m = \frac{fy}{0,85 \cdot f'c} = \frac{400}{0,85 \cdot 30} = 15,686$$

$$\rho_{min} = 1,4 / fy = 1,4 / 400 = 0,0035$$

$$Rn = \frac{Mn}{bd^2} = \frac{1845918750}{3000 \times 697^2} = 0,844$$

$$\rho_{perlu} = \frac{1}{m} \left(1 - \sqrt{1 - \frac{2m \cdot Rn}{fy}} \right)$$

$$= \frac{1}{15,686} \left(1 - \sqrt{1 - \frac{2 \times 15,686 \times 0,844}{400}} \right)$$

$$= 0,00215$$

Tulangan tarik yang dibutuhkan :

$$\begin{aligned} As &= \rho \times b \times d_x \\ &= 0,0035 \times 3000 \times 697 \\ &= 10977,75 \text{ mm}^2 \end{aligned}$$

Digunakan Tulangan D22 ($As = 380,133 \text{ mm}^2$)

Jumlah Tulangan yang di perlukan

$$n = \frac{10977,75}{380,133} = 28,88 \approx 30 \text{ buah}$$

Jarak tulangan terpasang tiap meternya adalah

$$S = \frac{3000}{28,88} = 155,824 \approx 150 \text{ mm}$$

Maka dari perhitungan diatas digunakan tulangan lentur pondasi poer adalah 30 D22–150 mm

4.4.5. Perencanaan Kolom Pedestal

Besarnya gaya – gaya dalam kolom diperoleh dari hasil perhitungan struktur primer pada bab sebelumnya.

P_u = 460202 kg (dari gaya aksial VBE)

V_u = 39788,6 kg (dari gaya geser VBE)

M_{ux} = 60069 kgm (dari momen VBE)

M_{uy} = 58474,1 kgm (dari momen VBE)

- Data perencanaan kolom :

b = 1000 mm

h = 1000 mm

A_g = 1000000 mm²

Mutu bahan :

f_c = 40 Mpa (mengikuti mutu bahan kolom (VBE) pada SPSW)

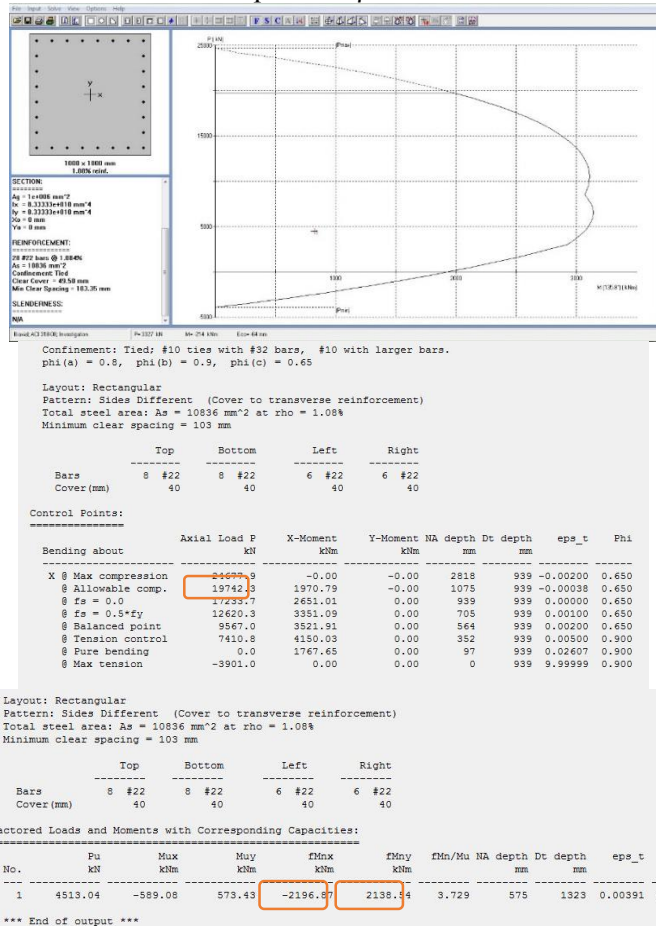
f_y = 400 Mpa

Selimut beton = 40 mm

Tulangan sengkang = Ø12 mm

Tulangan utama = $\varnothing 25$ mm
 Tinggi efektif = $1000 - (40 + 12 + \frac{1}{2} \cdot 22) = 939$ mm

- Penulangan Lentur pada Kolom
 Dari PCACOL didapat nilai $\rho = 1.08\%$



Gambar 4.64. Hasil Analisis Kolom Pedestal dengan Program PCA Col

$$\begin{aligned} A_s &= 0.0108 \times 1000 \times 939 \\ &= 10141.2 \text{ mm}^2 \end{aligned}$$

Dipasang tulangan 28 D22, $A_s = 10836 \text{ mm}^2$ dipasang merata 4 sisi.

- Penulangan Geser Kolom

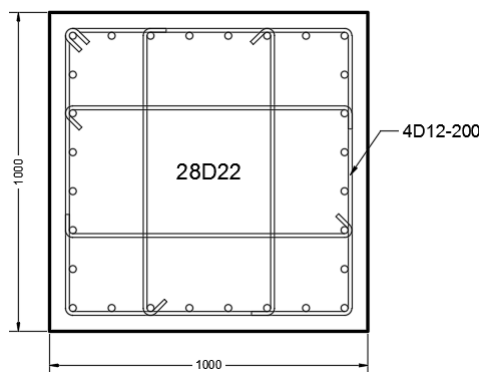
$$V_u = 39788.6 \text{ kg} = 397886 \text{ N}$$

Kekuatkan geser yang disumbangkan oleh beton :

$$\begin{aligned} V_c &= 2 \left(1 + \frac{N_u}{14A_g} \right) \frac{1}{6} \sqrt{f_c} bd \\ &= 2 \left(1 + \frac{19361738.80}{14 \times 1000000} \right) \frac{1}{6} \sqrt{60} \times 1000 \times 939 \\ &= 2630307 \text{ N} \end{aligned}$$

$$\begin{aligned} \phi V_c &= 0.6 \times V_c \\ &= 0.6 \times 2630307 \\ &= 1578184 \text{ N} > V_u = 397886 \text{ N} \end{aligned}$$

Sehingga tidak perlu tulangan geser. Jadi dipasang tulangan geser praktis $\varnothing 12 - 200$, sengkang dua kaki.



Gambar 4.65. Penulangan Kolom Pedestal PD1

4.4.6. Perencanaan Sloof Pondasi

Struktur sloof digunakan untuk membuat penurunan secara bersamaan pada pondasi atau sebagai pengaku yang menghubungkan antar pondasi yang satu dengan yang lainnya. Adapun beban –beban yang ditimpakan ke sloof meliputi : berat sendiri sloof, berat dinding pada lantai paling bawah, beban aksial tekan atau tarik yang berasal dari 10% beban aksial kolom.

Dimensi sloof :	$b = 450 \text{ mm}$
	$h = 650 \text{ mm}$
	$A_g = 292500 \text{ mm}^2$

Mutu bahan :	$f_c' = 30 \text{ MPa}$
	$f_y = 400 \text{ MPa}$

Selimut beton	$= 70 \text{ mm}$
---------------	-------------------

Tul. sengkang	$= \emptyset 13$
---------------	------------------

Tul. utama	$= D22$
------------	---------

Tinggi efektif (d)	$= 650 - (40 + 12 + \frac{1}{2} \cdot 22)$
	$= 556 \text{ mm}$

- Beban-beban yang terjadi pada sloof :

Beban dinding	$1.2 \times 120 \times 2.80$	$= 403,2 \text{ kg/m}$
Berat sloof	$1.2 \times 0.45 \times 0.65 \times 2400$	$\underline{\underline{= 842,4 \text{ kg/m}}}$
Qu	$= 1245,6 \text{ kg/m}$	

Panjang sloof = 7.00 m

$$\begin{aligned} Mu &= 1/12 \times q_u \times L^2 \\ &= 1/12 \times 1245,6 \times 7.55^2 \\ &= 5916.86 \text{ kgm} \end{aligned}$$

$$\begin{aligned} P &= \frac{1}{2} \times qu \times L \\ &= \frac{1}{2} \times 1245,6 \times 7.55 \\ &= 4702.14 \text{ kg} = 47021.4 \text{ N} \end{aligned}$$

$$P \times 10\% = 10\% \times 47021.4 \text{ N} = 4702.14 \text{ N}$$

- Penulangan tarik pada sloof

$$Mu = 5916.86 \text{ kgm} = 5916860 \text{ Nmm}$$

$$P \times 10\% = 4702.14 \text{ kg} = 47021.4 \text{ N} = 4702.14 \text{ N}$$

Tulangan tarik yang dibutuhkan :

$$\begin{aligned}
 A_s &= \frac{V_u}{f_y} \\
 &= \frac{4702..14}{400} \\
 &= 11.755 \text{ mm}^2
 \end{aligned}$$

- Tulangan tekan yang dibutuhkan :

$$\begin{aligned}
 A'_s &= 0.5A_s \\
 &= 0.5 \times 11.755 \\
 &= 5.878 \text{ mm}^2
 \end{aligned}$$

$$\begin{aligned}
 M_n &= \frac{M_u}{\phi} \\
 &= \frac{59168595}{0.8} \\
 &= 73960744 \text{ Nmm}
 \end{aligned}$$

$$\begin{aligned}
 m &= \frac{f_y}{0.85 f_c'} \\
 &= \frac{400}{0.85 \times 30} \\
 &= 15.69
 \end{aligned}$$

$$\begin{aligned}
 \rho_{\min} &= \frac{1.4}{f_y} \\
 &= \frac{1.4}{400} \\
 &= 0.0035
 \end{aligned}$$

$$\begin{aligned}
 \rho_{\max} &= 0.75 \rho_{balance} \\
 &= 075 \frac{0.85 f_c' \beta}{f_y} \left(\frac{600}{600 + f_y} \right)
 \end{aligned}$$

$$= 075 \frac{0.85 \times 30 \times 0.85}{400} \left(\frac{600}{600 + 30} \right)$$

$$= 0.040$$

$$R_n = \frac{M_n}{bd^2}$$

$$= \frac{73960744}{450 \times 556^2}$$

$$= 0.53$$

$$\rho_{perlu} = \frac{1}{m} \left(1 - \sqrt{1 - \frac{2mR_n}{f_y}} \right)$$

$$= \frac{1}{15.69} \left(1 - \sqrt{1 - \frac{2 \times 15.69 \times 0.532}{400}} \right)$$

$$= 0.0013$$

$\rho_\delta < \rho_{min}$ dipakai $\rho_{min} = 0.0035$

Tulangan tarik yang dibutuhkan :

$$A_{s1} = \rho \times b \times d_x$$

$$= 0.0035 \times 450 \times 556$$

$$= 875.7 \text{ mm}^2$$

Tulangan tekan yang dibutuhkan :

$$A_{s1}' = 0.50 \times A_s$$

$$= 437.85 \text{ mm}^2$$

$$\begin{aligned} \text{Jumlah tulangan tarik : } A_s + A_{s1} &= 117.553 + 875.7 \\ &= 993.25 \text{ mm}^2 \end{aligned}$$

Digunakan tulangan tarik 5D22 ($A_s = 1418 \text{ mm}^2$)

$$\begin{aligned} \text{Jumlah tulangan tekan : } A_s' + A_{s1}' &= 58.777 + 437.85 \\ &= 496.627 \text{ mm}^2 \end{aligned}$$

Digunakan tulangan 3D22 ($A_s = 851 \text{ mm}^2$)

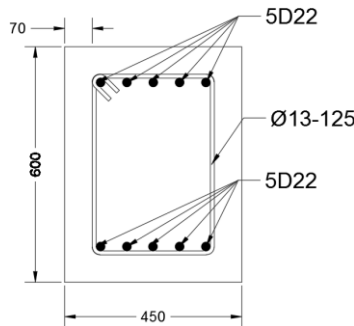
- Penulangan Geser Sloof

$$V_u = 47021,4 \text{ N}$$

Kekuatan geser yang disumbangkan oleh beton :

$$\begin{aligned}
 V_c &= 2 \left(1 + \frac{N_u}{14A_g} \right) \frac{1}{6} \sqrt{f'_c} bd \\
 &= 2 \times \left(1 + \frac{126917.1}{14 \times 292500} \right) \times \frac{1}{6} \times \sqrt{30} \times 450 \times 556 \\
 &= 470958.32 \text{ N} > V_u = 47021.4 \text{ N}
 \end{aligned}$$

Sehingga tidak perlu tulangan geser. Jadi dipasang tulangan geser Ø13 – 125, sengkang 2 kaki.



Gambar 4.66. Penulangan Sloof Daerah Tumpuan dan Lapangan

BAB V

KESIMPULAN

5.1. Kesimpulan

Dari hasil analisa dan perhitungan yang telah dilakukan, maka dapat diambil kesimpulan sebagai berikut :
-Hasil perhitungan struktur sekunder:

- a. Pelat lantai atap dan lantai hotel menggunakan bondek dari Super Floor Deck tebal 0.75 mm dengan pelat beton tebal 90 mm dan dipasang tulangan negatif Ø8-300.
- b. Dimensi balok anak dengan bentang 7.55 m pada atap dan lantai hotel menggunakan profil WF 350 x 175 x 7 x 11.
- c. Dimensi balok lift menggunakan profil WF 300 x 150 x 6.5 x 9.
- d. Tebal pelat tangga yang digunakan 6 mm dan dimensi pengaku anak tangga siku 50 x 50 x 6.
- e. Tebal pelat bordes yang digunakan 6 mm dan dimensi balok bordes menggunakan profil WF 100 x 50 x 5 x 7.
- f. Dimensi balok utama tangga dan balok penumpu tangga menggunakan profil WF 200 x 100 x 5,5 x 9.

-Hasil perhitungan struktur primer :

- a. Dimensi balok induk atap melintang menggunakan profil CB 525 x 350 x 12 x 19 dan balok induk atap memanjang menggunakan profil 450 x 300 x 10 x 15.
- b. Dimensi balok induk memanjang lantai 2-10 menggunakan profil CB 600 x 400 x 13 x 21 dan balok induk memanjang lantai 2-10 menggunakan profil CB 525 x 350 x 12 x 19.
- c. Dimensi kolom lantai 1-4 menggunakan profil HSS 700 x 700 x 25 x 25, kolom lantai 5-7 menggunakan profil HSS 700 x

700 x 25 x 25, kolom lantai 8-10 menggunakan profil HSS 700 x 700 x 25 x 25.

-Hasil perhitungan struktur bawah :

- a. Struktur pondasi menggunakan pondasi tiang pancang Bored Pile dengan diameter 600 mm, tulangannya menggunakan 12D 22.
- b. Dimensi poer direncanakan 3 m x 4.5 m x 0.8 m dengan tulangan lentur arah X D22-150 mm dan tulangan lentur arah Y D22-150 mm.
- c. Dimensi kolom pedestal direncanakan 1000 mm x 1000 mm dengan tulangan utama 28D22 dan tulangan geser Ø12-200.
- d. Dimensi sloof direncanakan 450 mm x 650 mm dengan tulangan lentur 5D22 dan tulangan geser Ø13-125.

5.2. Saran

Diharapkan dilakukan studi yang mempelajari tentang perencanaan struktur *Castellated Beam* dan *Rectangular Concrete Steel Tube Column* lebih dalam dengan mempertimbangkan aspek teknis, ekonomis dan estetika. Sehingga perencanaan dapat dimodelkan semirip mungkin dengan kondisi yang sesungguhnya di lapangan.

DAFTAR PUSTAKA

- Amayreh, L dan M. P. Saka. 2005. "Failure Load Prediction Of Castellated Beams Using Artificial Neural Networks". *Asian Journal of Civil Engineering (Building and Housing)* Vol 6.35-54. Bahrain : Department of Civil Engineering University of Bahrain.
- Badan Standardisasi Nasional. 2012. *SNI 1726:2012 Tata Cara Perencanaan Ketahanan Gempa Untuk Struktur Bangunan Gedung Dan Non Gedung*. Jakarta: BSN.
- Badan Standardisasi Nasional. 2015. *SNI 1729:2015 Spesifikasi Untuk Bangunan Gedung Baja Struktural*. Jakarta: BSN.
- Departemen Pekerjaan Umum. 1983. *Peraturan Pembebanan Indonesia Untuk Gedung 1983*. Bandung: Yayasan Lembaga Penyelidikan Masalah Bangunan.
- Grunbauer, Johan. 2001. *Castellated Beams*. <<http://www.grunbauer.nl/eng/inhoud.htm>>
- Knowles, P. R. 1991. *Castellated Beams*. Proc Instn Civil Engineers. Part I : 521-536
- Megharief, J. D. 1997. *Behavior of Composite Castellated Beams*. Montreal, Canada: Department of Civil Engineering and Applied Mechanics, Mc Gill University.
- Sabelli, R. dan Bruneaue, M. 2006. *Steel Plate Shear Walls*. American Institute of Steel Construction. Inc.
- Setiawan, Agus. 2008. *Perencanaan Struktur Baja dengan Metode LRFD*. Jakarta: Erlangga.

Sosrodarsono, Ir.Suyono, dan Nakazawa, Kazuto. (1983). *Mekanika Tanah dan Teknik Pondasi cetakan Kedua.* Jakarta: PT. Pradnya Paramita.

T. Patrick Bradley, 2007, “*Stability of Castellated Beams During Erection*” by Thesis submitted to the Faculty of the Virginia Polytechnic Institute and State University, Blacksburg, Virginia.

Widyastuti, Erna, (2010). *Modifikasi Perencanaan Struktur Gedung Asrama Mahasiswa Universitas Gadjah Mada (Ugm) Di Sendowo, Sleman, Yogyakarta Dengan Menggunakan Hexagonal Castellated Beam.* ITS



PROGRAM STUDI S-1 JURUSAN TEKNIK SIPIL FTSP - ITS
LEMBAR KEGIATAN ASISTENSI TUGAS AKHIR (WAJIB DIISI)

Form AK/TA-04
rev01

Jurusan Teknik Sipil Lt.2, Kampus ITS Sukolilo, Surabaya 601111
Telp.031-5946094, Fax.031-5947284



NAMA PEMBIMBING	: Ir. Heppy Kristijanto, MS
NAMA MAHASISWA	: Putri Utami Ayu Cahyani
NRP	: 3115105011
JUDUL TUGAS AKHIR	: Modifikasi Perencanaan Struktur Gedung Hotel Premier Inn Surabaya dengan Menggunakan Rectangular Concrete Filled Steel Tube Column dan Hexagonal Castellated Beam
TANGGAL PROPOSAL	:
NO. SP-MMTA	:

NO	TANGGAL	KEGIATAN		PARAF ASISTEN
		REALISASI	RENCANA MINGGU DEPAN	
1.	15 Maret 2017	<ul style="list-style-type: none"> - Cari jarak tulangan maksimum - cek ulang perhitungan pelat (pembepahan untuk pelat) - perhitungan pelat tidak usah pakai perhitungan shear connector. 	Lanjutkan perhitungan balok anak	
2.	5 April 2017	<ul style="list-style-type: none"> - cek perhitungan balok anak jika LB balok anak Full karena sebelum beton mengeras. - ganti profil untuk balok anak yang di koridor karena lendutan tidak memenuhi. 	Lanjutkan pemodelan dan cepat selesaikan. Ruang Sekunder	
3.	20 April 2017	<ul style="list-style-type: none"> - ganti gambar anak tangga untuk posisi siku di ganti letaknya, tapi perhitungan sama. 	Lanjutkan perhitungan struk struktur utama	
4.	15 Mei 2017	<ul style="list-style-type: none"> - plat shear wall Steel plate tebalnya tambah 	Lanjutkan ke perhitungan struktur primer.	
5.	26 Mei 2017	<ul style="list-style-type: none"> - cek dan cari persyaratan plastis untuk kontrol geser dibalok 	Lanjutkan sambungan dan bawa jurnal untuk persyaratan plastis.	
6.	8 Juni 2017	<ul style="list-style-type: none"> - cek sambungan untuk jangan gagal disambungan (Sambungan balok kolom). 	Lanjutkan ke struktur bawah / pondasi.	
7.	15 Juni 2017	<ul style="list-style-type: none"> - Gambar Denah pondasi ditambah Sloof - Kurangi jumlah tiang pancang - cek perhitungan sloof - cek gambar penulangan pondasi 	Lanjutkan revisi	



PROGRAM STUDI S-1 JURUSAN TEKNIK SIPIL FTSP - ITS
LEMBAR KEGIATAN ASISTENSI TUGAS AKHIR (WAJIB DIISI)

Jurusan Teknik Sipil Lt.2, Kampus ITS Sukolilo, Surabaya 60111



Form AK/TA-04
rev01

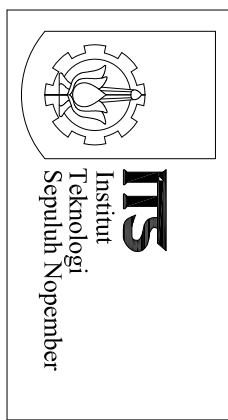
Telp.031-5946094, Fax.031-5947284

NAMA PEMBIMBING	: Budi Suswanto, ST. MT. PhD
NAMA MAHASISWA	: Putri Utami Ayu Cahyani
NRP	: 3115105011
JUDUL TUGAS AKHIR	: Modifikasi Perencanaan Struktur Gedung Hotel Premier Inn Surabaya dengan Menggunakan Rectangular Concrete Filled Steel Tube Column dan Hexagonal Castellated Beam
TANGGAL PROPOSAL	:
NO. SP-MMTA	:

NO	TANGGAL	KEGIATAN		PARAF ASISTEN
		REALISASI	RENCANA MINGGU DEPAN	
1.	09-03-2017	<ul style="list-style-type: none"> - Jarak decking - Sketsa decking - Sketsa tulangan bondek dilengkapi dengan ukuran - Astulangan pelat dikoreksi - ganti pembagian balok anak Karena kerapatan jaraknya 	<ul style="list-style-type: none"> - Melanjutkan perhitungan 	✓
2.	24-03-2017	<ul style="list-style-type: none"> - ganti gambar reaksi tangga untuk momen 	<ul style="list-style-type: none"> - Melanjutkan perhitungan 	✓
3.	28-04-2017	<ul style="list-style-type: none"> - Ditambah SPSW 	<ul style="list-style-type: none"> - Melanjutkan 	✓
4.	15-05-2017	<ul style="list-style-type: none"> - Cek plastis atau tidaknya pada balok yang syarat 	<ul style="list-style-type: none"> - Melanjutkan 	✓
5.	26-05-2017	<ul style="list-style-type: none"> - cek perhitungan sambungan balok anak ke balok induk - cek sambungan kolom (jangan dilas di lapangan) 	<ul style="list-style-type: none"> - Melanjutkan yang balok serta sambungannya 	✓
6.	8-06-2017	<ul style="list-style-type: none"> - cek perhitungan sambungan balok anak ke balok induk - cek sambungan kolom (jangan dilas di lapangan) 	<ul style="list-style-type: none"> - Melanjutkan struktur bawah / pondasi 	✓
7.	15-06-2017	<ul style="list-style-type: none"> - cek jumlah tiang pancang - Cek perhitungan momen di poer Pakai Pmax 		✓

GAMBAR RENCANA

PREMIER INN SURABAYA



MODIFIKASI PERENCANAAN STRUKTUR GEDUNG HOTEL PREMIER INN SURABAYA DENGAN MENGGUNAKAN CONCRETE FILLED STEEL TUBE COLUMN DAN HEXAGONAL CASTELLATED BEAM

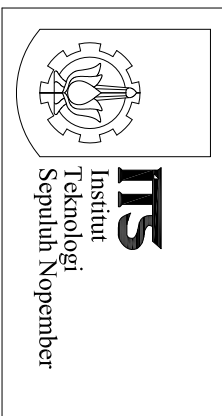
OLEH:
PUTRI UTAMI AYU CAHYANI
3115105011

DOSEN PEMBIMBING I :
Ir. HEPPY KRISTIJANTO, MS.
NIP. 196103111987011001

DOSEN PEMBIMBING II :
BUDI SUSWANTO, ST., MT., Ph.D
NIP. 197301281998021002

DAFTAR ISI

PREMIER INN SURABAYA



DAFTAR ISI

GAMBAR ARSITEKTUR

No	NAMA GAMBAR	KODE GAMBAR	NO. LEMBAR
1	LAYOUT PLAN	ARS	01
2	DENAH LT. BASEMENT	ARS	02
3	DENAH LT. 1	ARS	03
4	DENAH LT. 2	ARS	04
5	DENAH LT. 3-9	ARS	05
6	DENAH LT. ATAP	ARS	06
7	TAMPAK UTARA	ARS	07
8	TAMPAK SELATAN	ARS	08
9	TAMPAK TIMUR & POTONGAN A-A	ARS	09
10	POTONGAN B-B	ARS	10

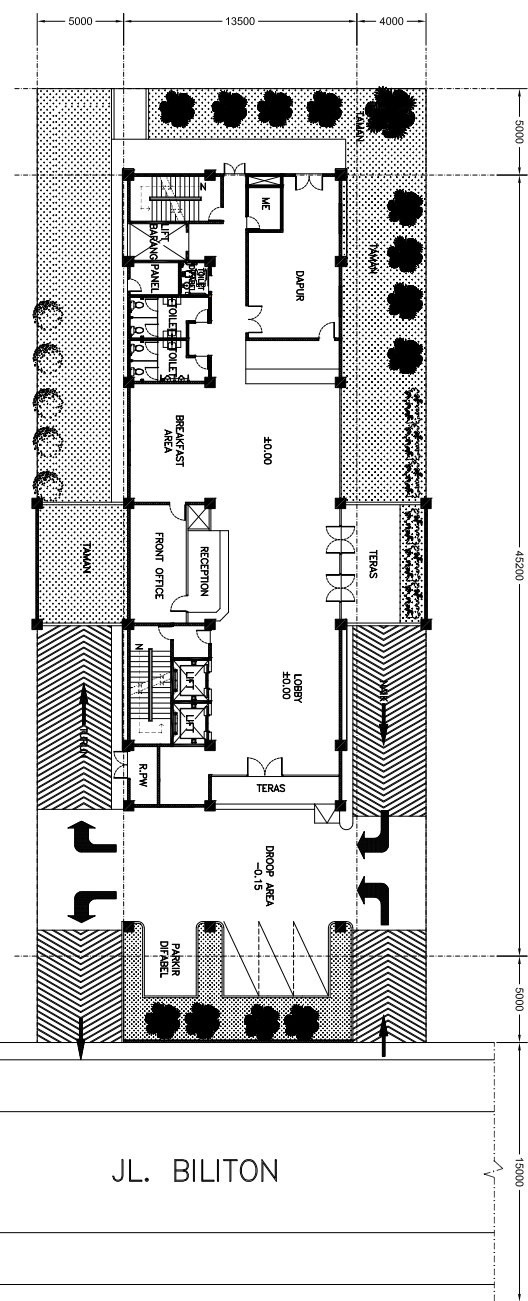
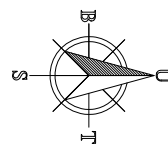
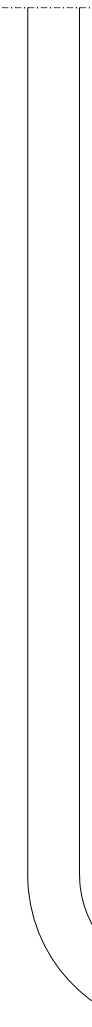
GAMBAR STRUKTUR

No	NAMA GAMBAR	KODE GAMBAR	NO. LEMBAR
1	DENAH LANTAI SEMI BASEMENT	STR	01
2	DENAH KOLOM LT. 1-4	STR	02
3	DENAH KOLOM LT. 5-7	STR	03
4	DENAH KOLOM LT. 8-10	STR	04
5	DENAH SLOOF	STR	05
6	DENAH BALOKLT. 1	STR	06
7	DENAH BALOK LT. 2-10	STR	07
8	DENAH BALOKLT. ATAP	STR	08
9	DENAH PELAT LANTAI DAN DETAIL	STR	09
10	PORTAL AS-2 & PORTAL AS-C	STR	10
11	DENAH PONDASI	STR	11
12	DENAH TANGGA & POTONGAN 1	STR	12
13	DETAIL A, B, C	STR	13
14	PORTAL AS-2 & PORTAL AS-B	STR	14
15	DETAIL D, E, F	STR	15
16	DETAIL G, H, I	STR	16
17	DETAIL J, K & POTONGAN 2	STR	17
18	DETAIL PENULANGAN PC2, PC3, FP1 & POTONGAN 4, 5, 6	STR	18
19	DETAIL PENULANGAN BOREPILE, PC6 & POTONGAN 3	STR	19
20	DETAIL PENULANGAN SLOOF & PEDESTAL	STR	20

LAY OUT PLAN

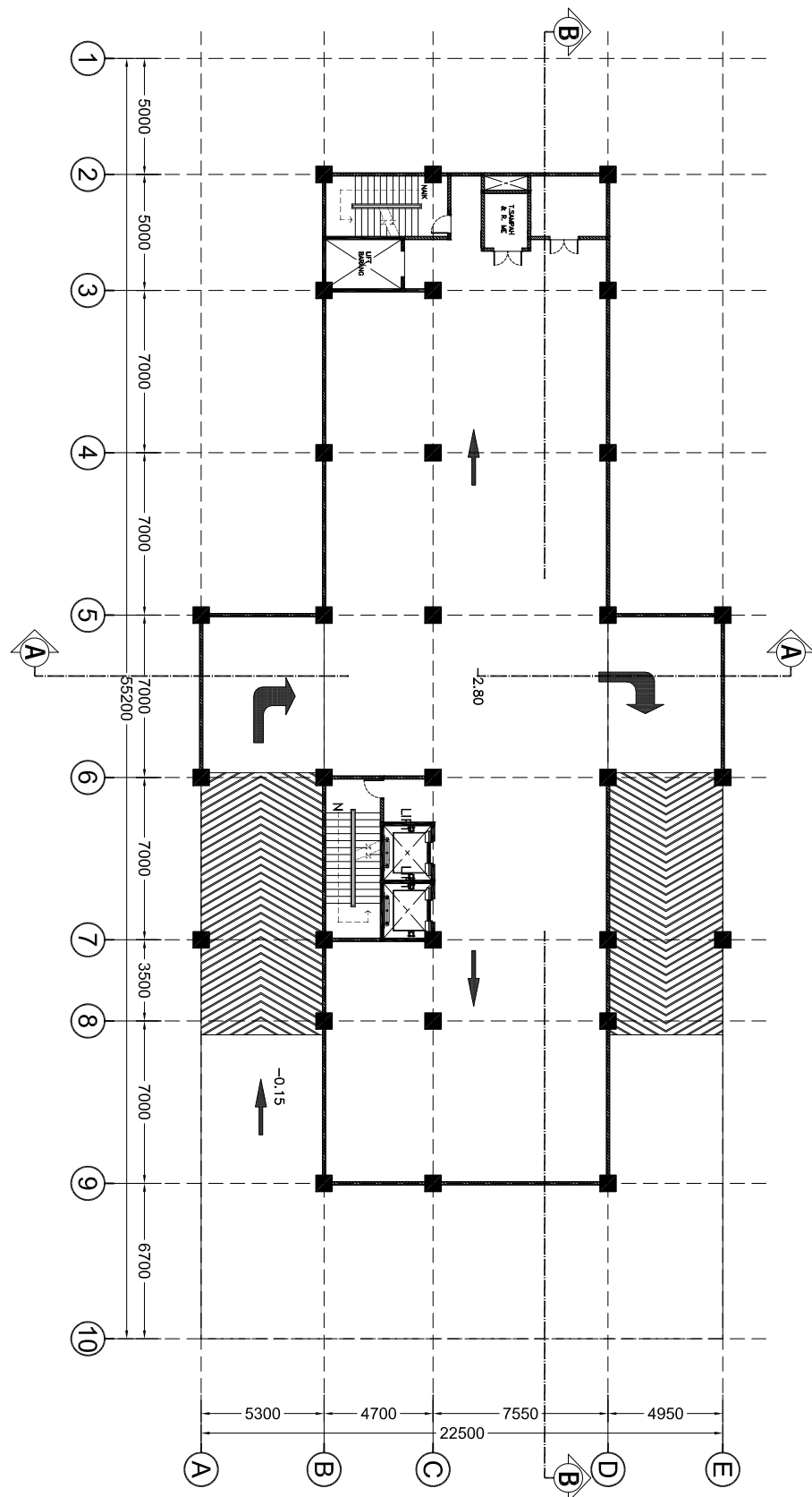
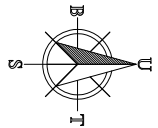
Skala 1:400

JL. BALI

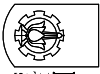


INSTITUT / UNIVERSITAS	JUDUL TUGAS AKHIR	JUDUL GAMBAR	SKALA	DICARIMBAR	DIPERUSA	DOSEN PENGIBARING:	REVISI	
 ITS Institut Teknologi Sepuluh Nopember	MODIFIKASI PERENCANAAN STRUKTUR GEDUNG HOTEL PREMIER INN SURABAYA DENGAN MENGGUNAKAN RECTANGULAR CONCRETE FILLED STEEL COLUMN DAN HEXAGONAL CASTELLATED BEAM	LAYOUT PLAN	1 : 400	PUTRI UTAMI ANU CAHYANI NRP. 3110105011	I. HEPY KRISTIANTO, M.S NIP. 196403111982011001	KODE GBR	NO. GBR	JUMLAH LBR

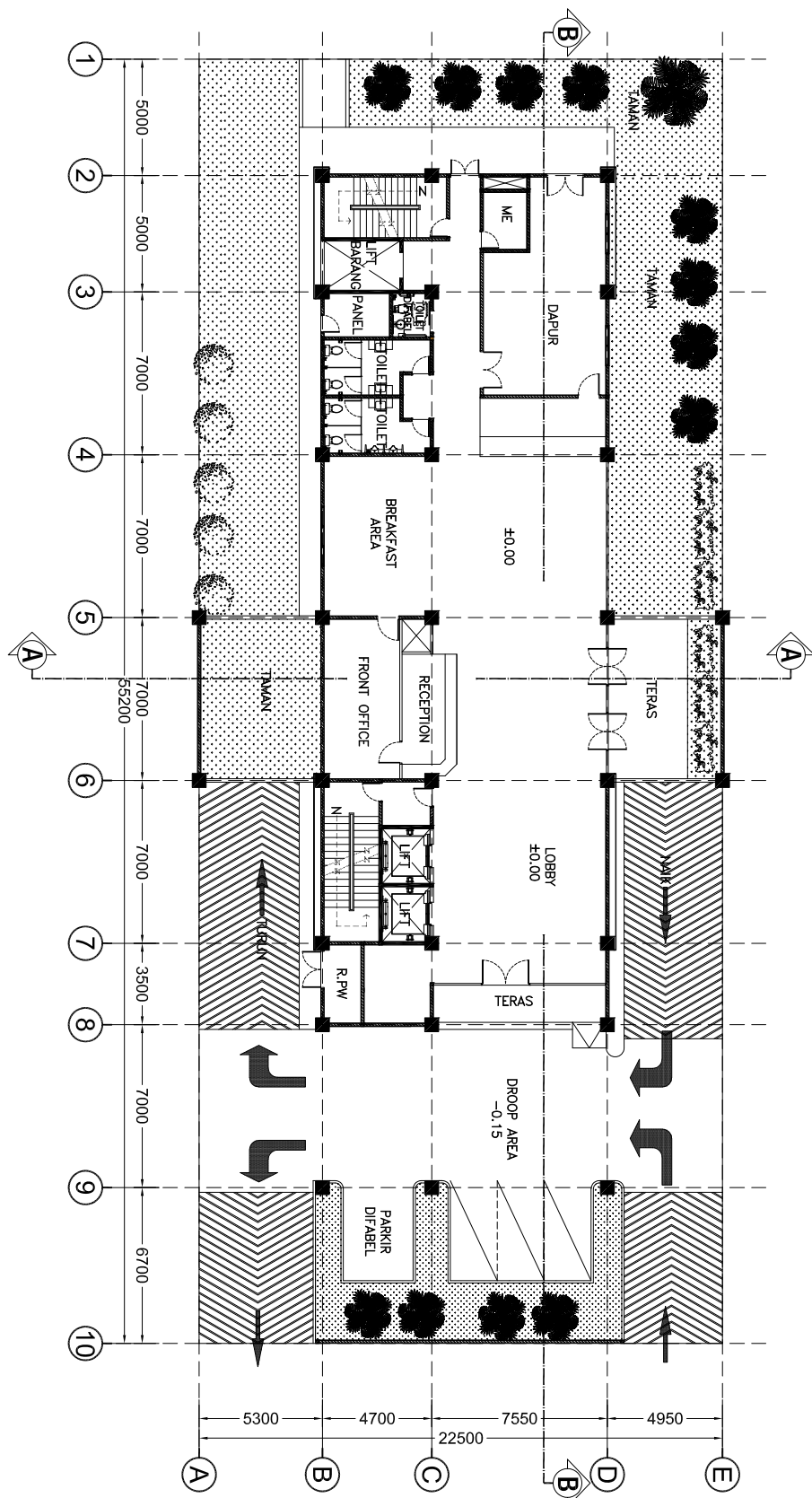
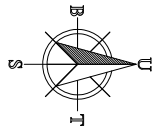
BUDI SUSIANTO, ST, MT, PhD NIP. 19730128 199802 002	ARS	01	10
--	-----	----	----



DENAH LT. BASEMENT
Skala 1:200

INSTITUT / UNIVERSITAS	JUDUL TUGAS AKHIR	JUDUL GAMBAR	SKALA	DICARIMBAR	DIPERLUKA	REVISI
 ITS Institut Teknologi Sepuluh Nopember	MODIFIKASI PERENCANAAN STRUKTUR GEDUNG HOTEL PREMIER INN SURABAYA DENGAN MENGGUNAKAN RECTANGULAR CONCRETE FILLED STEEL TUBE COLUMN DAN HEXAGONAL CASTELLATED BEAM	DENAH LT. BASEMENT	1 : 200	PUTRI UTAMI ANU CAHYANI NRP. 31105011 NIP. 199403111987011001	Ir. Herry Kartijsanto, M.S. NIP. 196403111987011001	

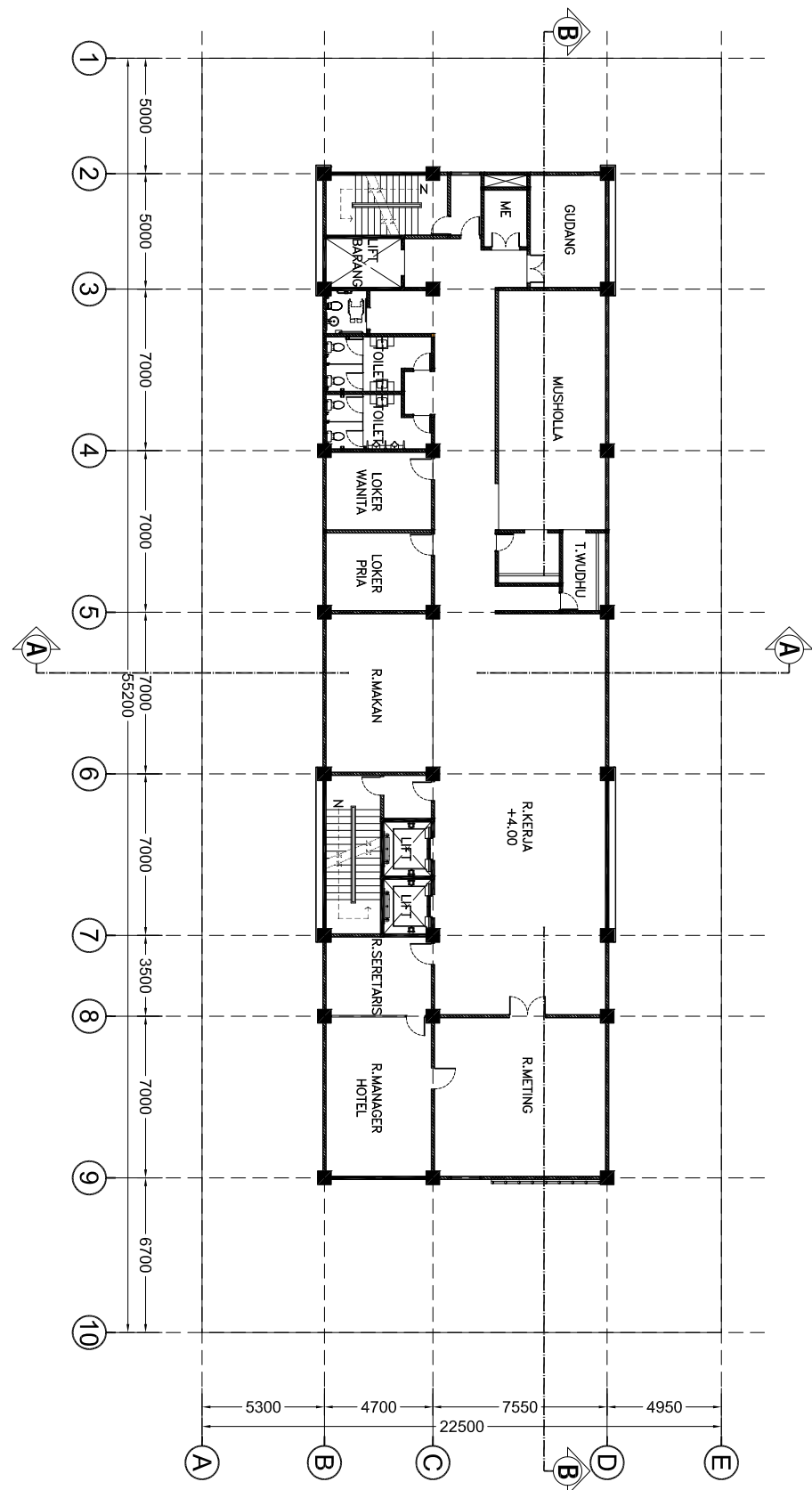
DOSEN PEMBIMBING :	KODE GBR	NO. GBR	JUMLAH LBR
BUDI SUSIANTO, ST, MT, PhD	ARS	02	10



DENAH LT. 1

Skala 1:200

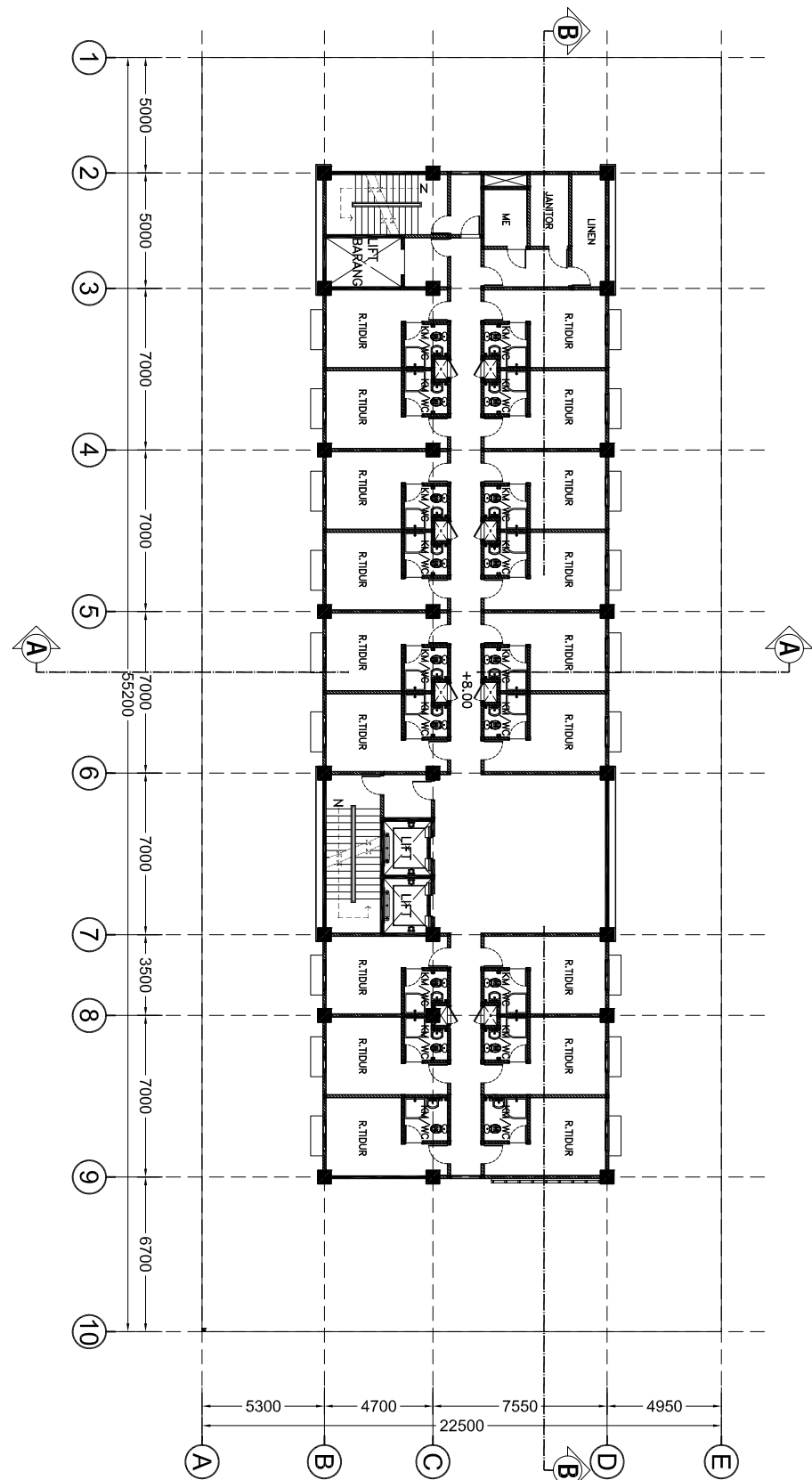
INSTITUT / UNIVERSITAS	JUDUL TUGAS AKHIR	JUDUL GAMBAR	SKALA	DICARBAR	DIPERLUKA	DOSEN PENGABDIK :	REVISI
 Institut Teknologi Sepuluh Nopember	MODIFIKASI PERENCANAAN STRUKTUR GEDUNG HOTEL PREMIER INN SURABAYA DENGAN MENGGUNAKAN RECTANGULAR CONCRETE FILLED STEEL TUBE COLUMN DAN HEXAGONAL CASTELLATED BEAM	DENAH LT. 1	1 : 200	PUTRI UTAMI ANU CAHYANI NRP. 31105011	MAHASISWA :	Ir. HERPY KRISTIANTO, M.S. NIP. 196403111983011001 BUDI SUSYANTO, S.T., M.T., Ph.D NIP. 197307281998021002	



DENAH LT. 2

Skala 1:200

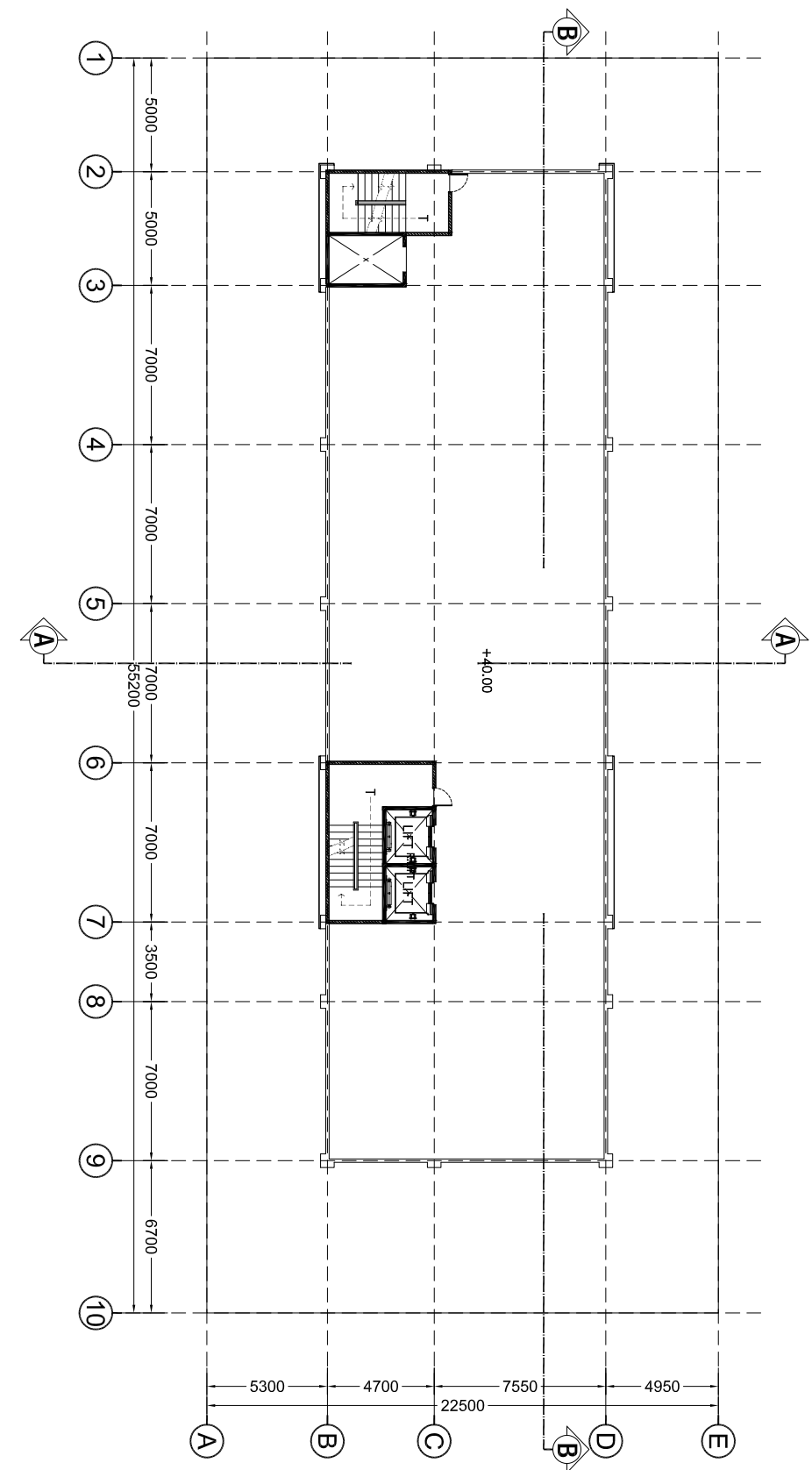
INSTITUT / UNIVERSITAS	JUDUL TUGAS AKHIR	JUDUL GAMBAR	SKALA	DICARBAR	DIPERLUKA	REVISI
 ITS Institut Teknologi Sepuluh Nopember	MODIFIKASI PERENCANAAN STRUKTUR GEDUNG HOTEL PREMIER INN SURABAYA DENGAN MENGGUNAKAN RECTANGULAR CONCRETE FILLED STEEL COLUMN DAN HEXAGONAL CASTELLATED BEAM	DENAH LT. 2	1 : 200 PUTRI UTAMI ANU CAHYANI NRP. 31105011	MAHASISWA : DOSEN PEMBIMBING : Ir. HERPY KUSJANTO, M.S NIP. 19640311198301001	KODE SBR NO. SBR JUMLAH LBR	BUDI SUSIANTO, ST, MT, PhD NIP. 19730728 199802 002



DENAH LT. 3-9

Skala 1:200

INSTITUT / UNIVERSITAS	JUDUL TUGAS AKHIR	JUDUL GAMBAR	SKALA	DICARIMBAR	DIPERLUKA	DOSEN PENILAI	REVISI
 ITS Institut Teknologi Sepuluh Nopember	MODIFIKASI PERENCANAAN STRUKTUR GEDUNG HOTEL PREMIER INN SURABAYA DENGAN MENGGUNAKAN RECTANGULAR CONCRETE FILLED STEEL COLUMN DAN HEXAGONAL CASTELLATED BEAM	DENAH LT. 3-9	1 : 200	MAHASISWA : <u>PUTRI UTAMI ANU CAHYANI</u> NRP. 3110105011		Ir. HERPY KRISTIANTO, M.S NIP. 19640311198701001 BUDI SUSIANTO, S.T, M.T, PhD NIP. 197307281990021002	



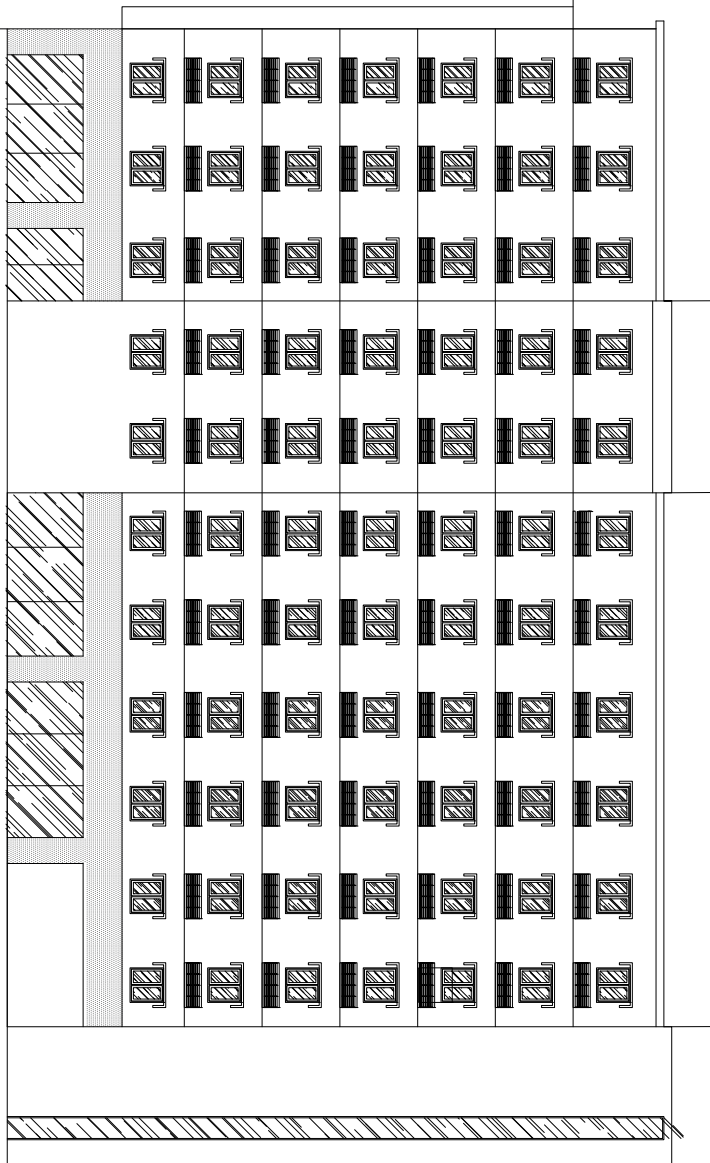
DENAH LT. ATAP

Skala 1:200

INSTITUT / UNIVERSITAS	JUDUL TUGAS AKHIR	JUDUL GAMBAR	SKALA	DICARIMBAR	DIPERLUKA	REVISI
 ITS Institut Teknologi Sepuluh Nopember	MODIFIKASI PERENCANAAN STRUKTUR GEDUNG HOTEL PREMIER INN SURABAYA DENGAN MENGGUNAKAN RECTANGULAR CONCRETE FILLED STEEL COLUMN DAN HEXAGONAL CASTELLATED BEAM	DENAH LT. ATAP	1 : 200	PUTRI UTAMI ANU CAHYANI NRP. 31105011 NRP. 31105011	MATAKULIAH : Ir. HERPY KUSJANTO, MS NIP. 19640311198301001	DOSEN PENILAI : BUDI SUSIANTO, ST, MT, PhD NIP. 197307281998021002

TAMPAK UTARA

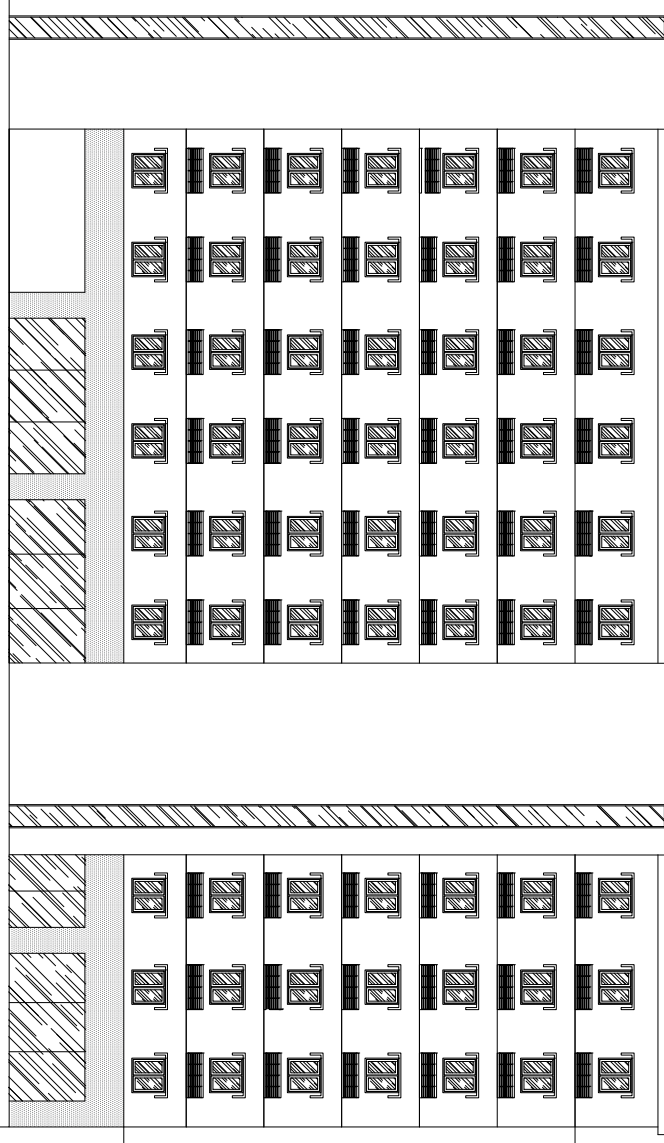
Skala 1:200



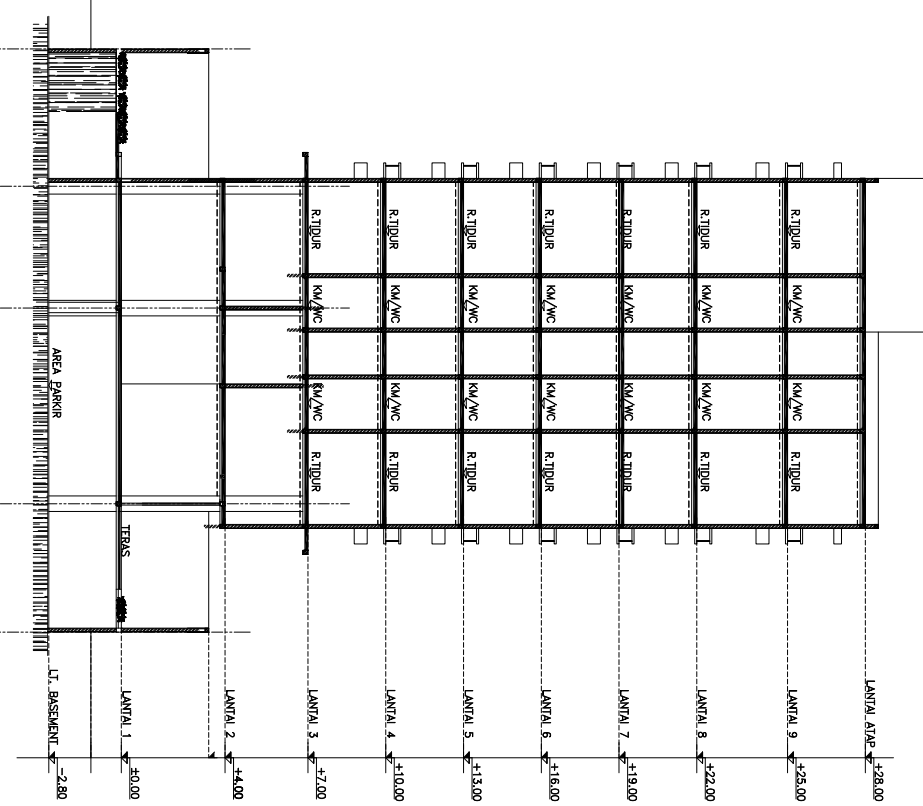
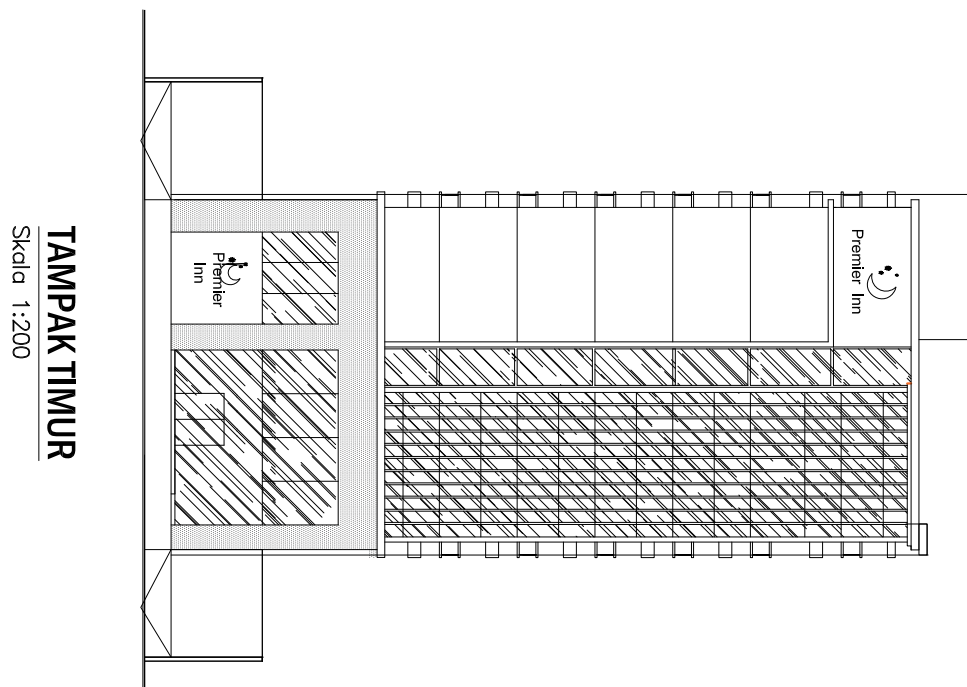
INSTITUT / UNIVERSITAS	JUDUL TUGAS AKHIR	JUDUL GAMBAR	SKALA	DICARIMBAR	DIPERLUKA	REVISI
 ITS Institut Teknologi Sepuluh Nopember	MODIFIKASI PERENCANAAN STRUKTUR GEDUNG HOTEL PREMIER INN SURABAYA DENGAN MENGGUNAKAN RECTANGULAR CONCRETE FILLED STEEL TUBE COLUMN DAN HEXAGONAL CASTELLATED BEAM	TAMPAK UTARA	1 : 200	PUTRI LUTMI ANU CAHYANI NRP. 31105011 NRP. 1940311189301001	Ir. HERPY KUSJANTO, M.S NIP. 19640311189301001 BUDI SUSIANTO, S.T, M.T, Ph.D NIP. 19730728 199602 002	KODE GBR ARS 07 10

TAMPAK SELATAN

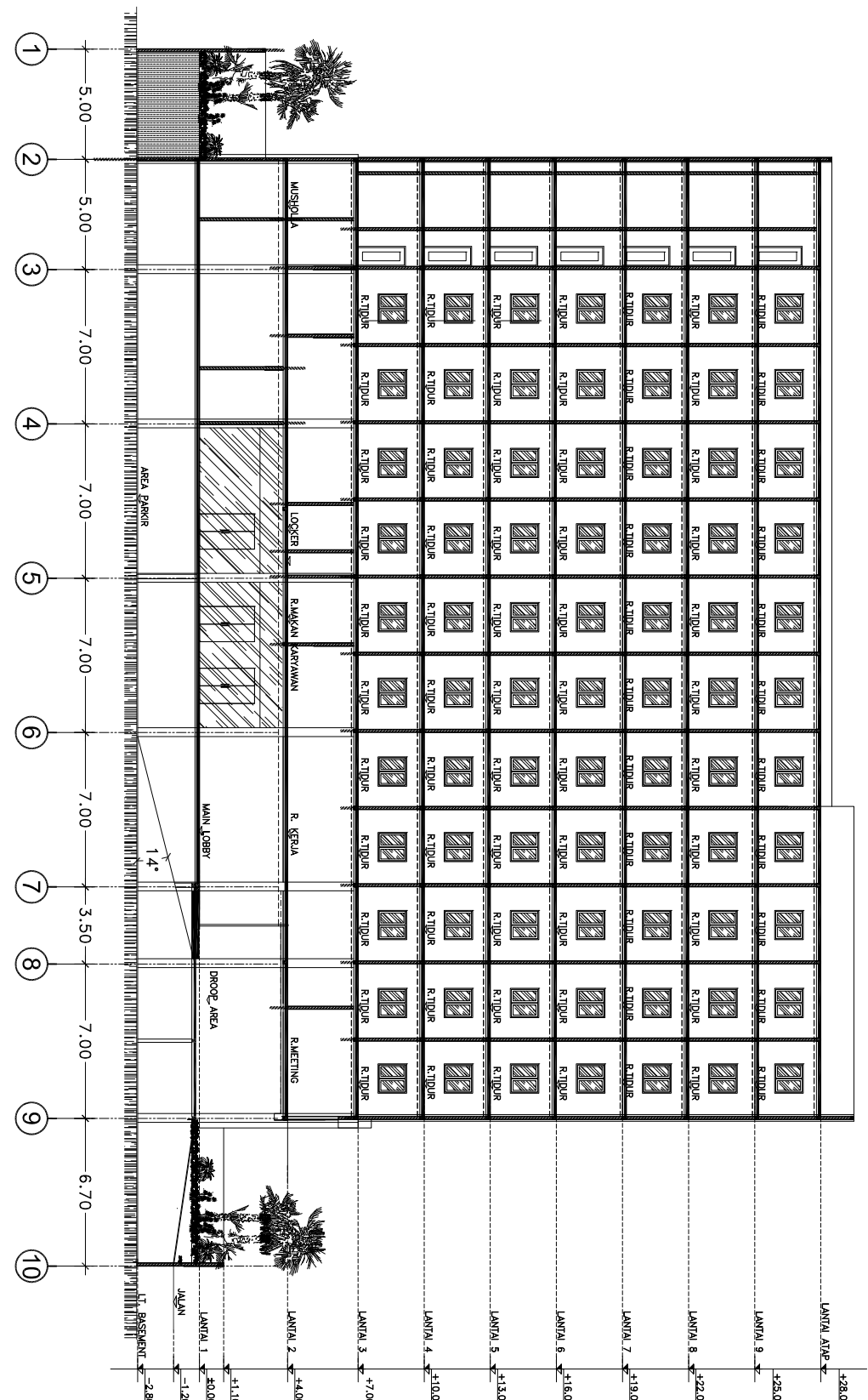
Skala 1:200



INSTITUT / UNIVERSITAS	JUDUL TUGAS AKHIR	JUDUL GAMBAR	SKALA	DICARBAR	DIPERLUKA	REVISI
 ITS Institut Teknologi Sepuluh Nopember	MODIFIKASI PERENCANAAN STRUKTUR GEDUNG HOTEL PREMIER INN SURABAYA DENGAN MENGGUNAKAN RECTANGULAR CONCRETE FILLED STEEL TUBE COLUMN DAN HEXAGONAL CASTELLATED BEAM	TAMPAK SELATAN	1 : 200	PUTRI UTAMI ANU CAHYANI NRP. 31105011	Ir. HEPY KUSJANTO, M.S. NIP. 19640311198201001 BUDI SUSIANTO, S.T., M.T., Ph.D NIP. 197307281990021002	KODE GBR ARS 08 10



INSTITUT / UNIVERSITAS	JUDUL TUGAS AKHIR	JUDUL GAMBAR	SKALA	DICARIMBAR	DIPERLUKA	REVISI
 ITS Institut Teknologi Sepuluh Nopember	MODIFIKASI PERENCANAAN STRUKTUR GEDUNG HOTEL PREMIER INN SURABAYA DENGAN MENGGUNAKAN RECTANGULAR CONCRETE FILLED STEEL COLUMN DAN HEXAGONAL CASTELLATED BEAM	TAMPAK TIMUR & POTONGAN A-A	1 : 200 PURUTUTAN ANU CAHYANI NRP. 3110105011		Ir. HERPY KUSTIANTO, M.S NIP. 196403111983011001 BUDI SUSIANTO, S.T, M.T.Pd NIP. 197307281990021002	



POTONGAN B-B

Skala 1:200

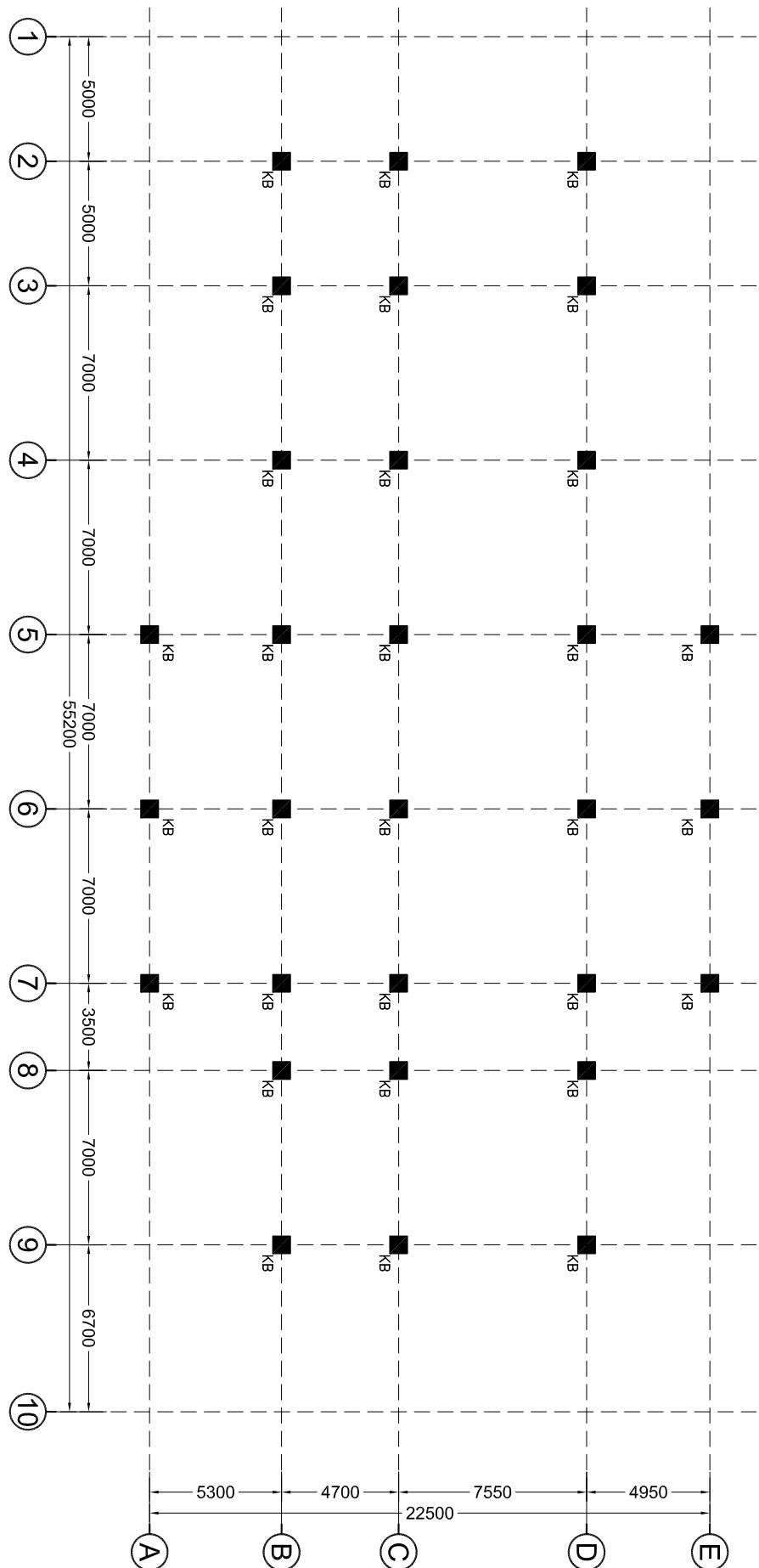
INSTITUT / UNIVERSITAS	JUDUL TUGAS AKHIR	JUDUL GAMBAR	SKALA	DICARIMBAR	DIPERLUKA	REVISI
 ITS Institut Teknologi Sepuluh Nopember	MODIFIKASI PERENCANAAN STRUKTUR GEDUNG HOTEL PREMIER INN SURABAYA DENGAN MENGGUNAKAN RECTANGULAR CONCRETE FILLED STEEL TUBE COLUMN DAN HEXAGONAL CASTELLATED BEAM	POTONGAN B-B	1 : 200	MAHASISWA : PUTRI UTAMA ANU CAHYANI NRP. 3110105011	DOSEN PENILAI : Ir. HERPY KUSTIANTO, M.S NIP. 196403111983011001 BUDI SUSIANTO, S.T, M.T.PD NIP. 197307281990021002	

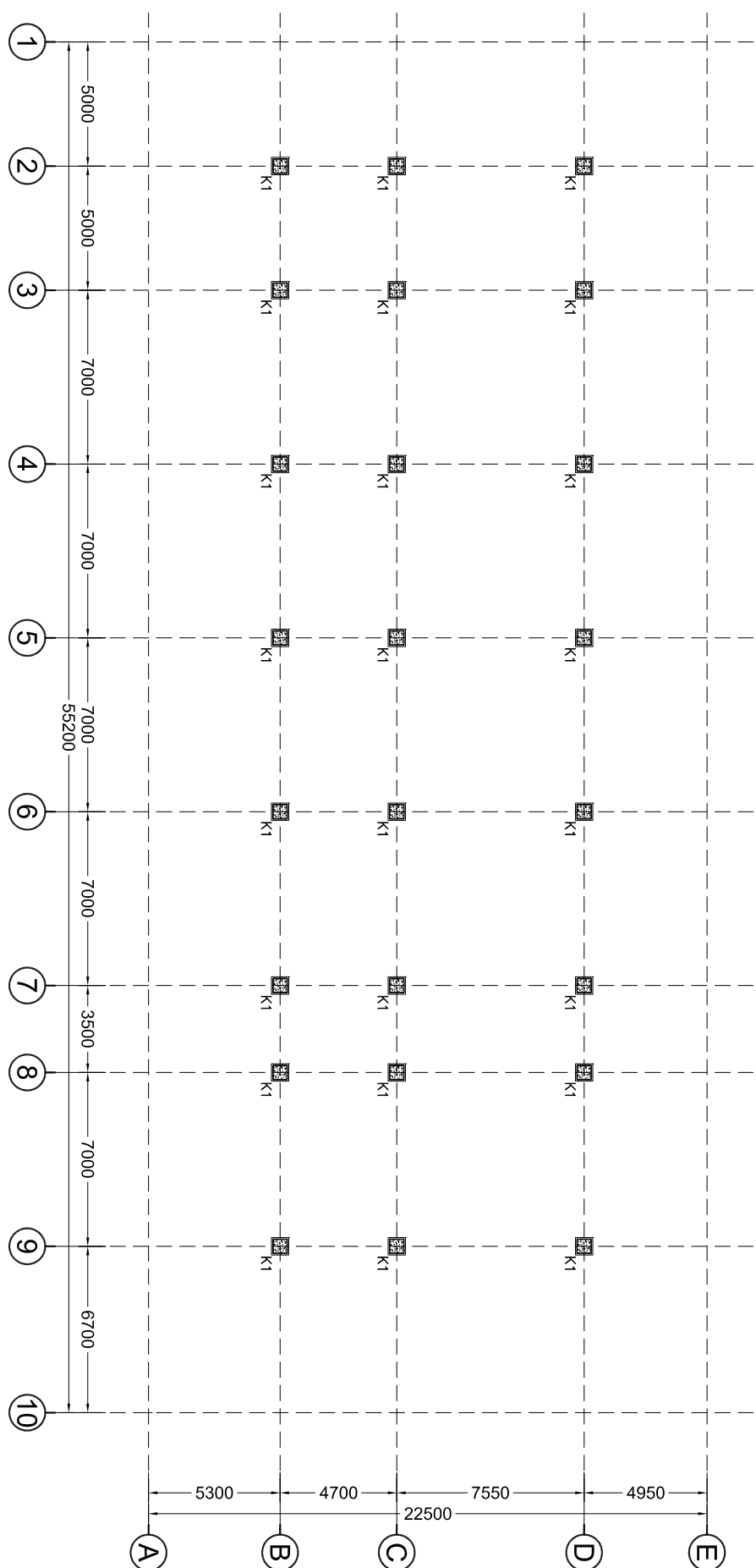
DENAH KOLOM LT.SEMI BASEMENT

Skala 1:250

KETERANGAN	
KB	KOLOM BETON 1000x1000

INSTITUT / UNIVERSITAS	JUDUL TUGAS AKHIR	JUDUL GAMBAR	SKALA	DICARIMBAR	DIPERLUKA	REVISI
 ITS Institut Teknologi Sepuluh Nopember	MODIFIKASI PERENCANAAN STRUKTUR GEDUNG HOTEL PREMIER INN SURABAYA DENGAN MENGGUNAKAN RECTANGULAR CONCRETE FILLED STEEL TUBE COLUMN DAN HEXAGONAL CASTELLATED BEAM	DENAH KOLOM LT SEMI BASEMENT	1 : 250	PUTRI UTAMI ANU CAHYANI NRP. 3110105011 NRP. 1940311189301001	DOSEN PENGIBARING: Ir. Herry Kartiasto, M.S NIP. 19640311189301001	



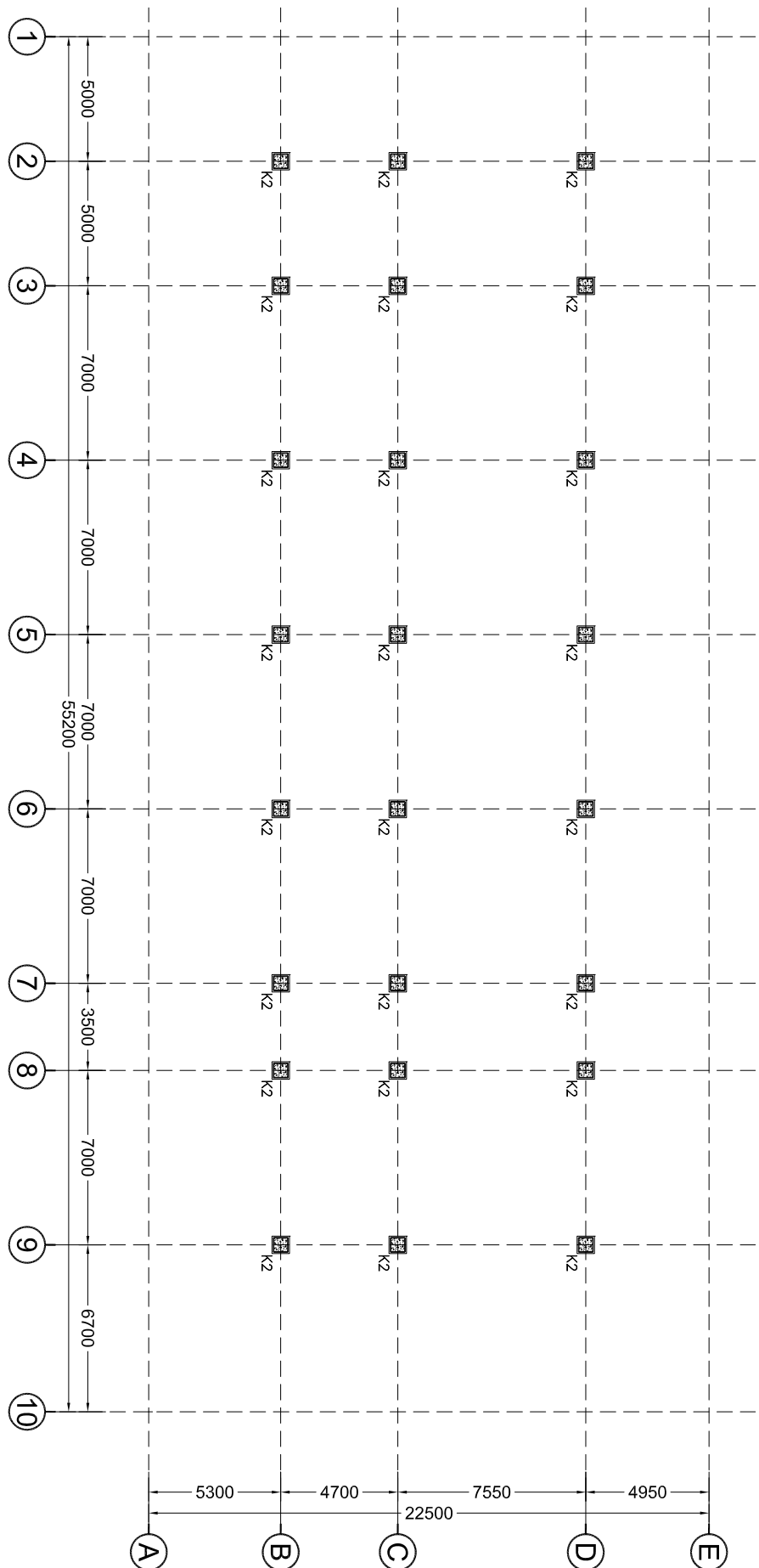


DENAH KOLOM LT.1-4

Skala 1:250

KETERANGAN	
K1	KOLOM HSS 700X700X25X25

INSTITUT / UNIVERSITAS	JUDUL TUGAS AKHIR	JUDUL GAMBAR	SKALA	DICARIMBAR	DIPERKSA	REVISI
 ITS Institut Teknologi Sepuluh Nopember	MODIFIKASI PERENCANAAN STRUKTUR GEDUNG HOTEL PREMIER INN SURABAYA DENGAN MENGGUNAKAN RECTANGULAR CONCRETE FILLED STEEL TUBE COLUMN DAN HEXAAGONAL CASTELLATED BEAM	DENAH KOLOM LT.1-4	1 : 250	PUTRI UTAMI/AU/CAYAHANI NRP. 31105011 NRP. 31105011	Jl. H.PPP. KRISTIANTO, MS NIP. 19640311198701001 KODE GBR NO. GBR JUMLAH LBR	BUDI SUSIYATO, ST, MT, PhD NIP. 197307281998021002 STR 02 20



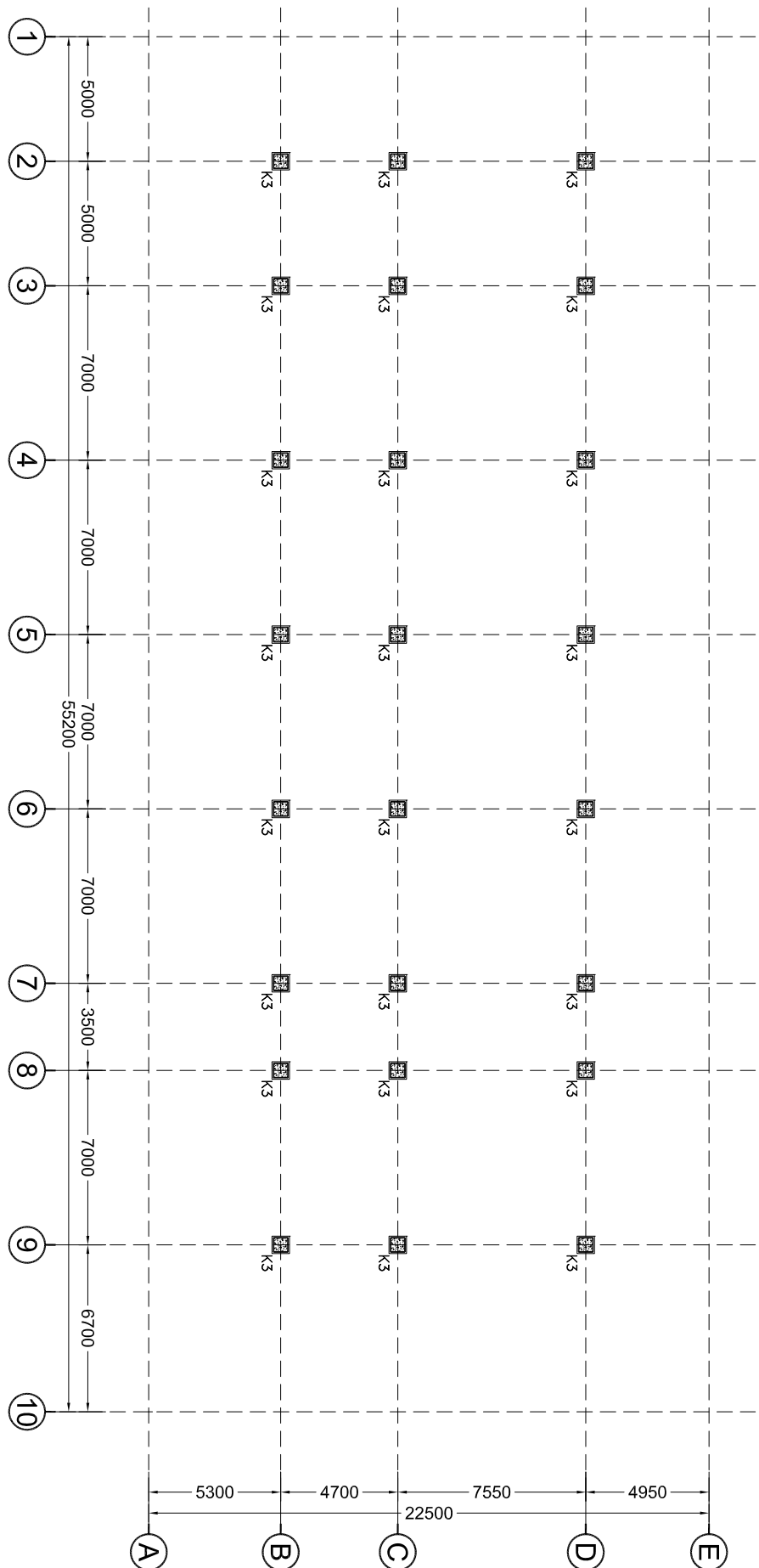
DENAH KOLOM LT.5-7

Skala 1:250

KETERANGAN	
K2	KOLOM HSS 650X650X22X22

INSTITUT / UNIVERSITAS	JUDUL TUGAS AKHIR	JUDUL GAMBAR	SKALA	MAHASISWA :	DIPERLUKA	REVISI
 ITS Institut Teknologi Sepuluh Nopember	MODIFIKASI PERENCANAAN STRUKTUR GEDUNG HOTEL PREMIER INN SURABAYA DENGAN MENGGUNAKAN RECTANGULAR CONCRETE FILLED STEEL TUBE COLUMN DAN HEXAGONAL CASTELLATED BEAM	DENAH KOLOM LT.5-7	1 : 250	PUTRI UTAMI ANU CAHYANI NRP. 3110105011	DOSEN PEMBIMBING : Ir. HERPY KRISTIANTO, M.S. NIP. 196403111983011001	

BUL. SUSIANTO, ST, MT, PhD	KODE GBR	NO. GBR	JUMLAH LBR
NIP. 19730728 199802 002	STR	03	20



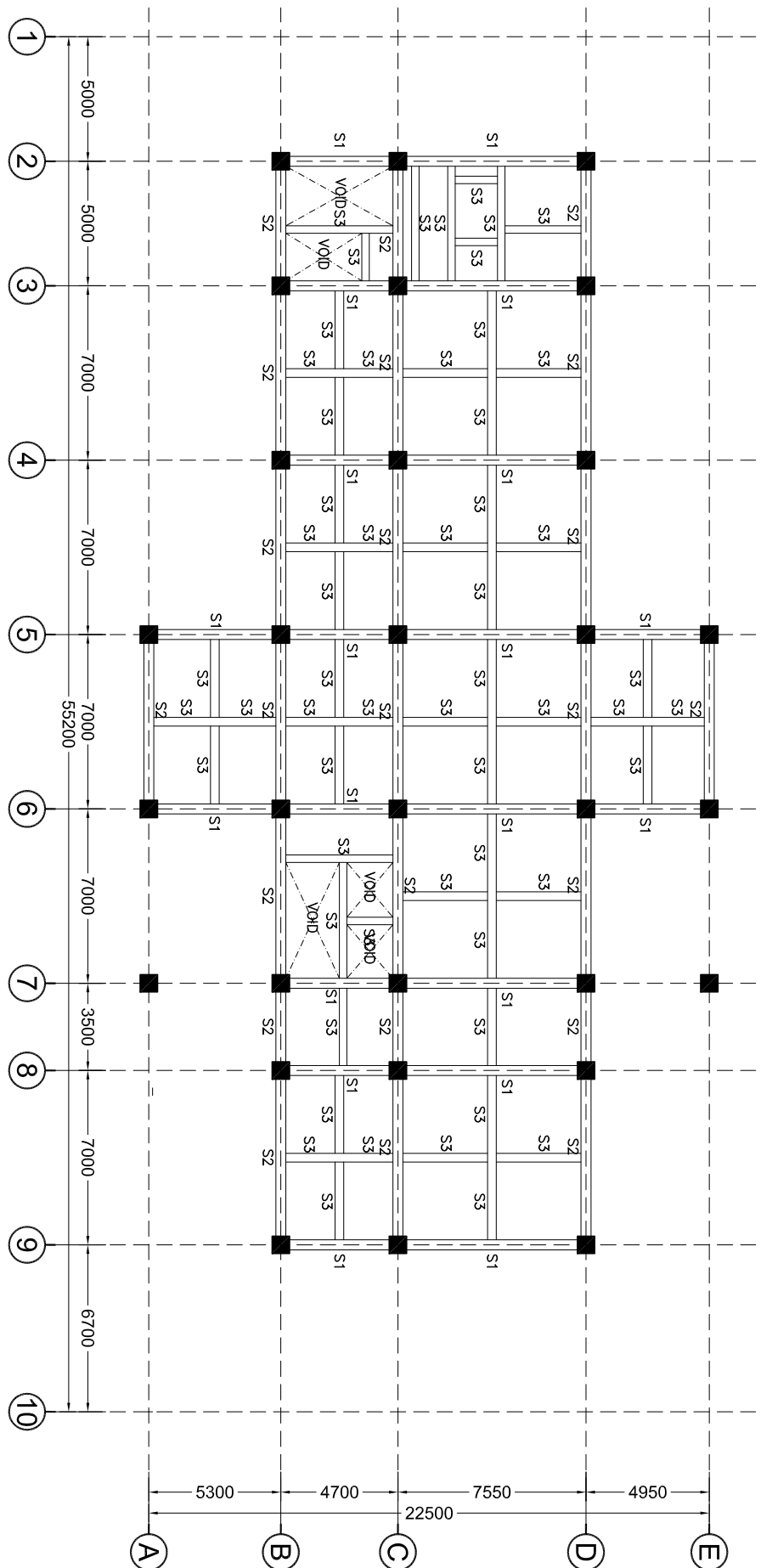
DENAH KOLOM LT.8-10

Skala 1:250

KETERANGAN	
K3 KOLOM HSS 600x600x19x19	

INSTITUT / UNIVERSITAS	JUDUL TUGAS AKHIR	JUDUL GAMBAR	SKALA	MAHASISWA :	DIPERLUKA	REVISI
 ITS Institut Teknologi Sepuluh Nopember	MODIFIKASI PERENCANAAN STRUKTUR GEDUNG HOTEL PREMIER INN SURABAYA DENGAN MENGGUNAKAN RECTANGULAR CONCRETE FILLED STEEL TUBE COLUMN DAN HEXAGONAL CASTELLATED BEAM	DENAH KOLOM LT.8-10	1 : 250	PUTRI UTAMI ANU CAHYANI NRP. 3110105011	DOSEN PEMBIMBING : Ir. HERPY KRISTIANTO, M.S. NIP. 19640311198301001	

BUL. SUSIANTO, ST, MT, PhD	KODE GBR	NO. GBR	JUMLAH LBR
NIP. 19730728 199802 002	STR	04	20



DENAH SLOOF

Skala 1:250

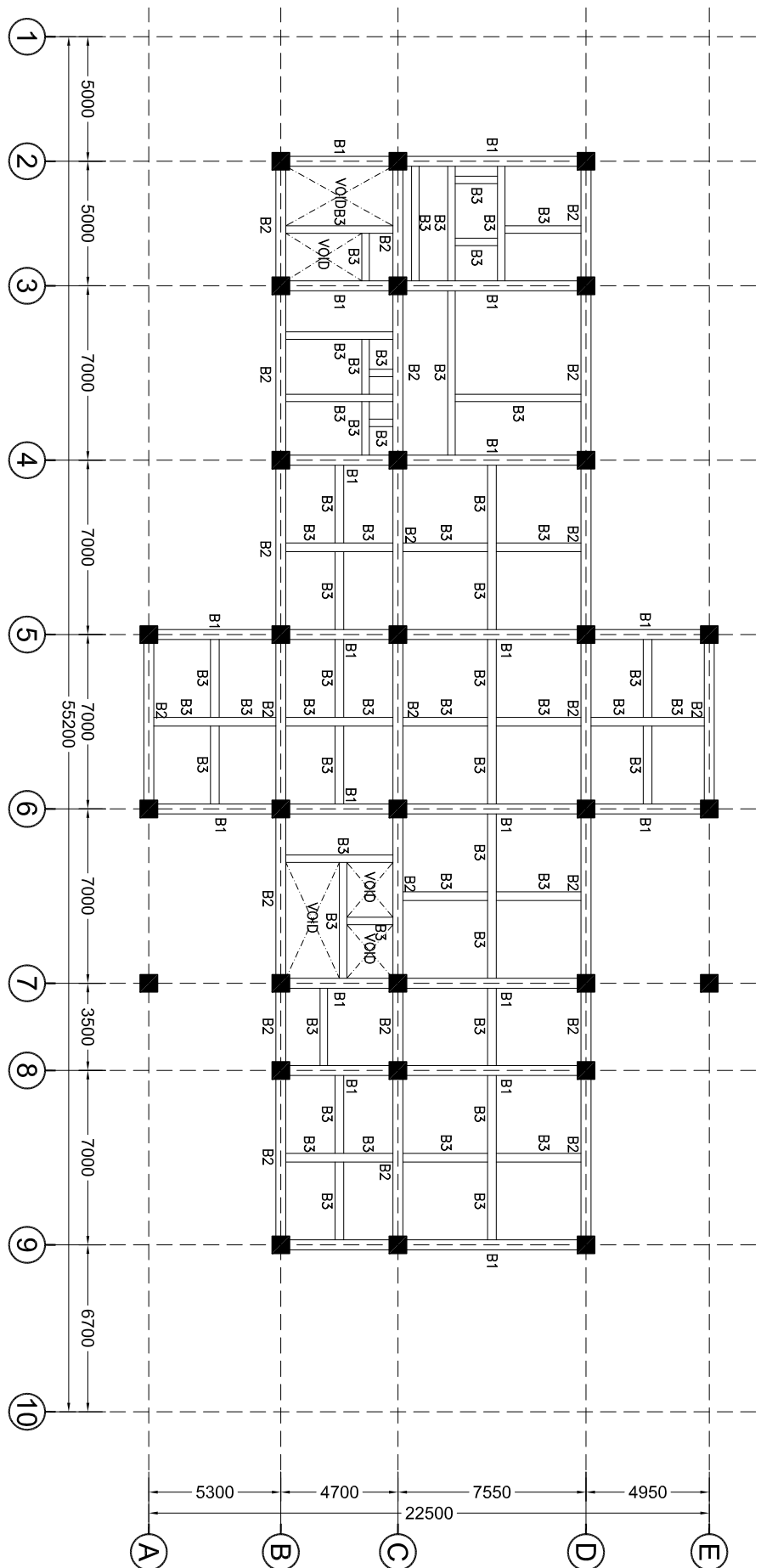
KETERANGAN

S1	SLOOF 450x650
S2	SLOOF 400x600
S3	SLOOF 250x350

INSTITUT / UNIVERSITAS	JUDUL TUGAS AKHIR	JUDUL GAMBAR	SKALA	DICARIMBAR	DIPERLUKA	REVISI
 ITS Institut Teknologi Sepuluh Nopember	MODIFIKASI PERENCANAAN STRUKTUR GEDUNG HOTEL PREMIER INN SURABAYA DENGAN MENGGUNAKAN RECTANGULAR CONCRETE FILLED STEEL COLUMN DAN HEXAGONAL CASTELLATED BEAM	DENAH SLOOF	1 : 250	MAHASISWA : <u>PUTRI UTAMI ANU CAHYANI</u> NRP. 31105011	DOSEN PENILAIAN : Ir. Herry Kartiromo, M.S NIP. 19640311198301001	

BUDI SUSIANTO, ST, MT, PhD	NIP. 19730728 199802 002
STR	05

20



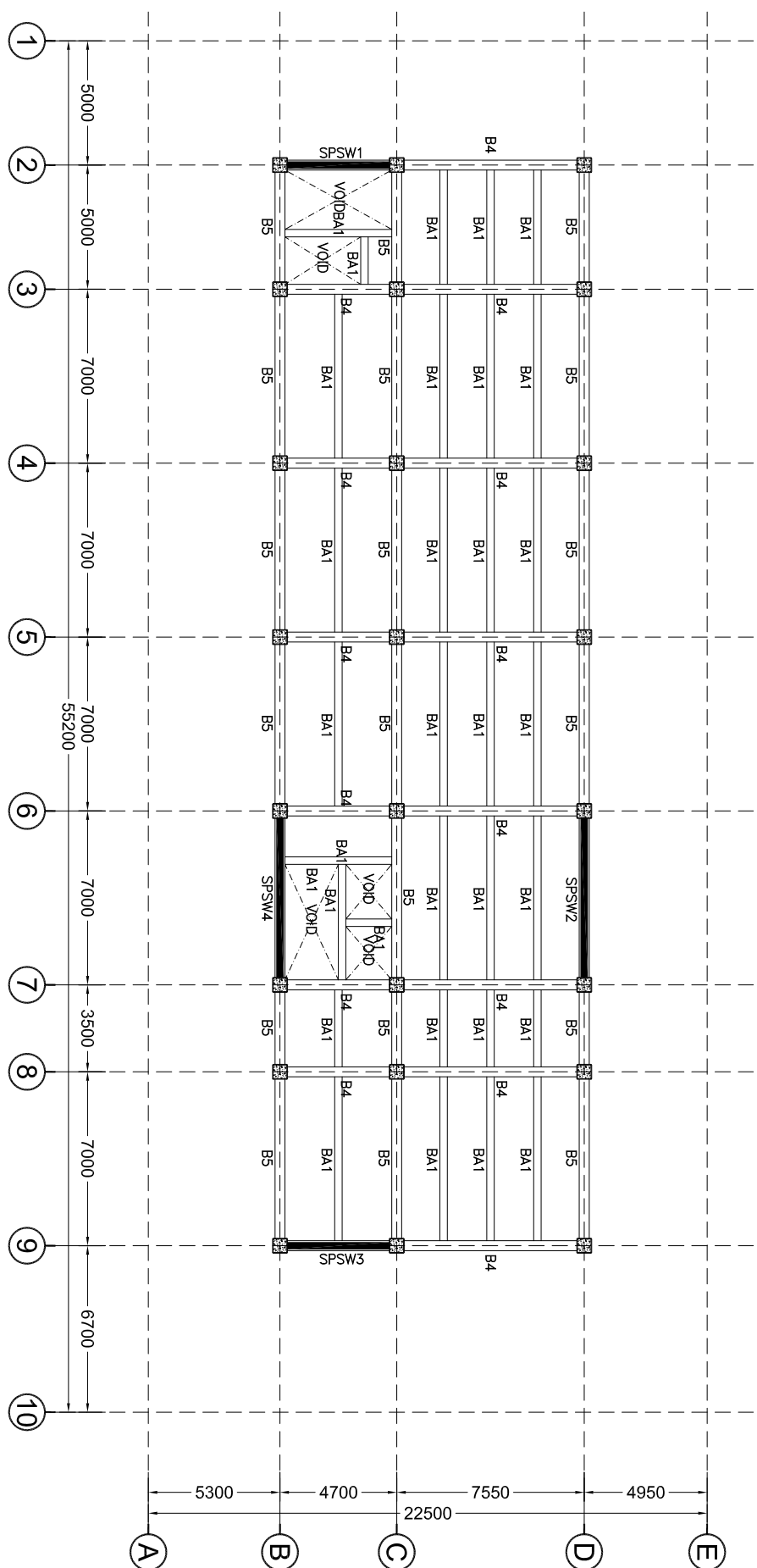
DENAH BALOK LT.1

Skala 1:250

KETERANGAN

B1	BALOK BETON 450X650
B2	BALOK BETON 400X600
B3	BALOK BETON 250X350

INSTITUT/UNIVERSITAS	JUDUL TUGAS AKHIR	JUDUL GAMBAR	SKALA	DICARIMBAR	DIPERLUKA	REVISI
 ITS Institut Teknologi Sepuluh Nopember	MODIFIKASI PERENCANAAN STRUKTUR GEDUNG HOTEL PREMIER INN SURABAYA DENGAN MENGGUNAKAN RECTANGULAR CONCRETE FILLED STEEL TUBE COLUMN DAN HEXAGONAL CASTELLATED BEAM	DENAH BALOK LT.1	1 : 250	MAHASISWA : <u>PUTRI UTAMI ANU CAHYANI</u> NRP. 31105011 NRP. 31105011	DOSEN PENILAIAN: Ir. Herry Kartiromo, M.S NIP. 19640311198301001 BUDI SUSIANTO, S.T, M.T.Pd NIP. 197307281994021002	

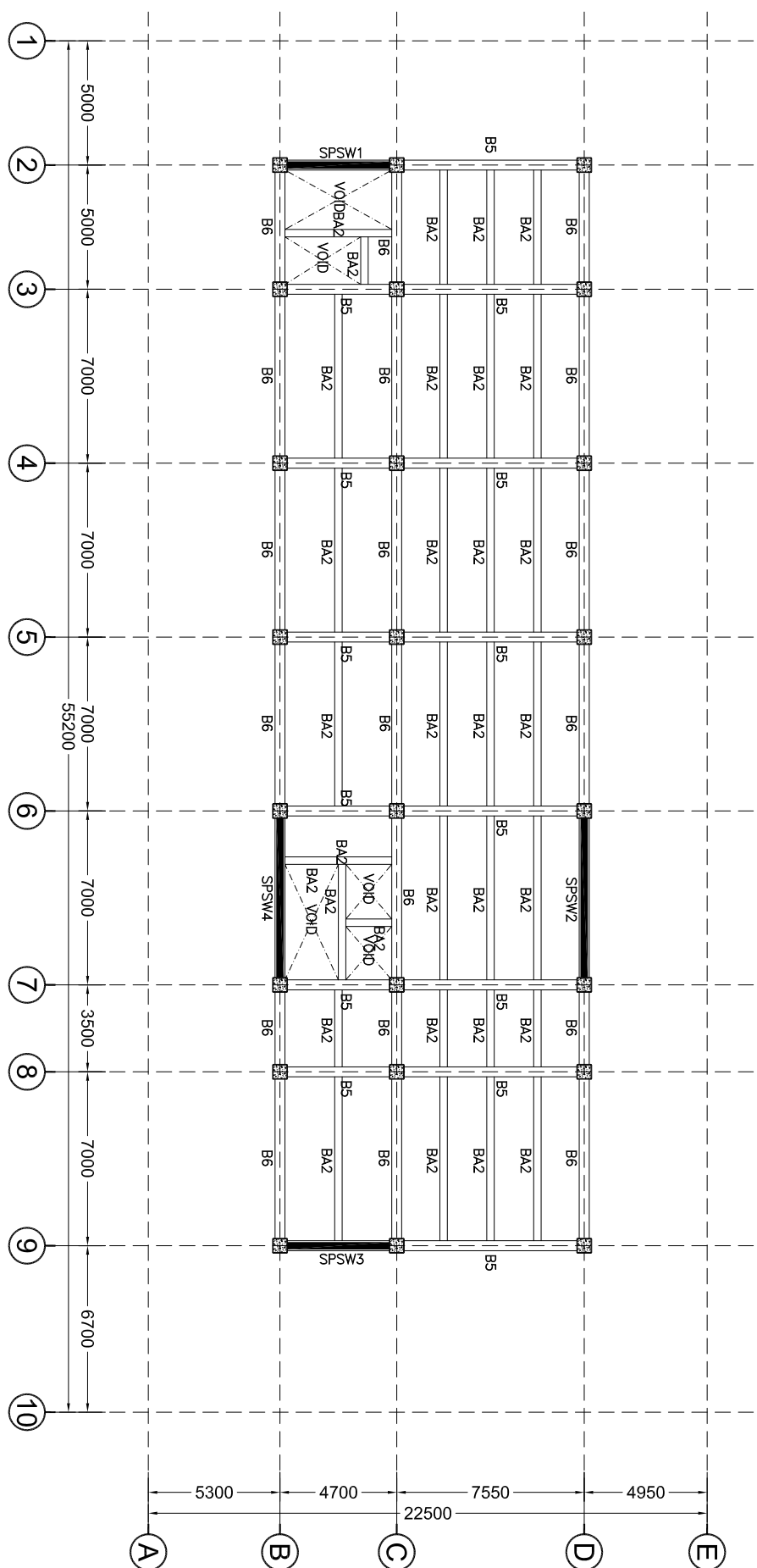


DENAH BALOK LT.2-10

Skala 1:250

KETERANGAN					
B4	BALOK CASTELLATED	600X400X13X21			
B5	BALOK CASTELLATED	525X350X12X19			
BA1	BALOK	350X175X7X11			

INSTITUT/UNIVERSITAS	JUDUL TUGAS AKHIR	JUDUL GAMBAR	SKALA	DICARIMBAR	DIPERLUKA	REVISI
 ITS Institut Teknologi Sepuluh Nopember	MODIFIKASI PERENCANAAN STRUKTUR GEDUNG HOTEL PREMIER INN SURABAYA DENGAN MENGGUNAKAN RECTANGULAR CONCRETE FILLED STEEL TUBE COLUMN DAN HEXAGONAL CASTELLATED BEAM	DENAH BALOK LT.2-10	1 : 250	MAHASISWA : PUTRI UTAMI ANU CAHYANI NRP. 3110105011	DOSEN PENGRIBING : Ir. HERPY KUSJANTO, M.S NIP. 19640311198301001 BUDI SUSIANTO, ST, MT, PhD NIP. 197307281990021002	

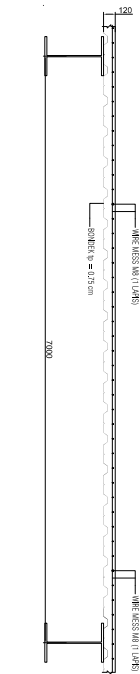


DENAH BALOK LT. Atap

Skala 1:250

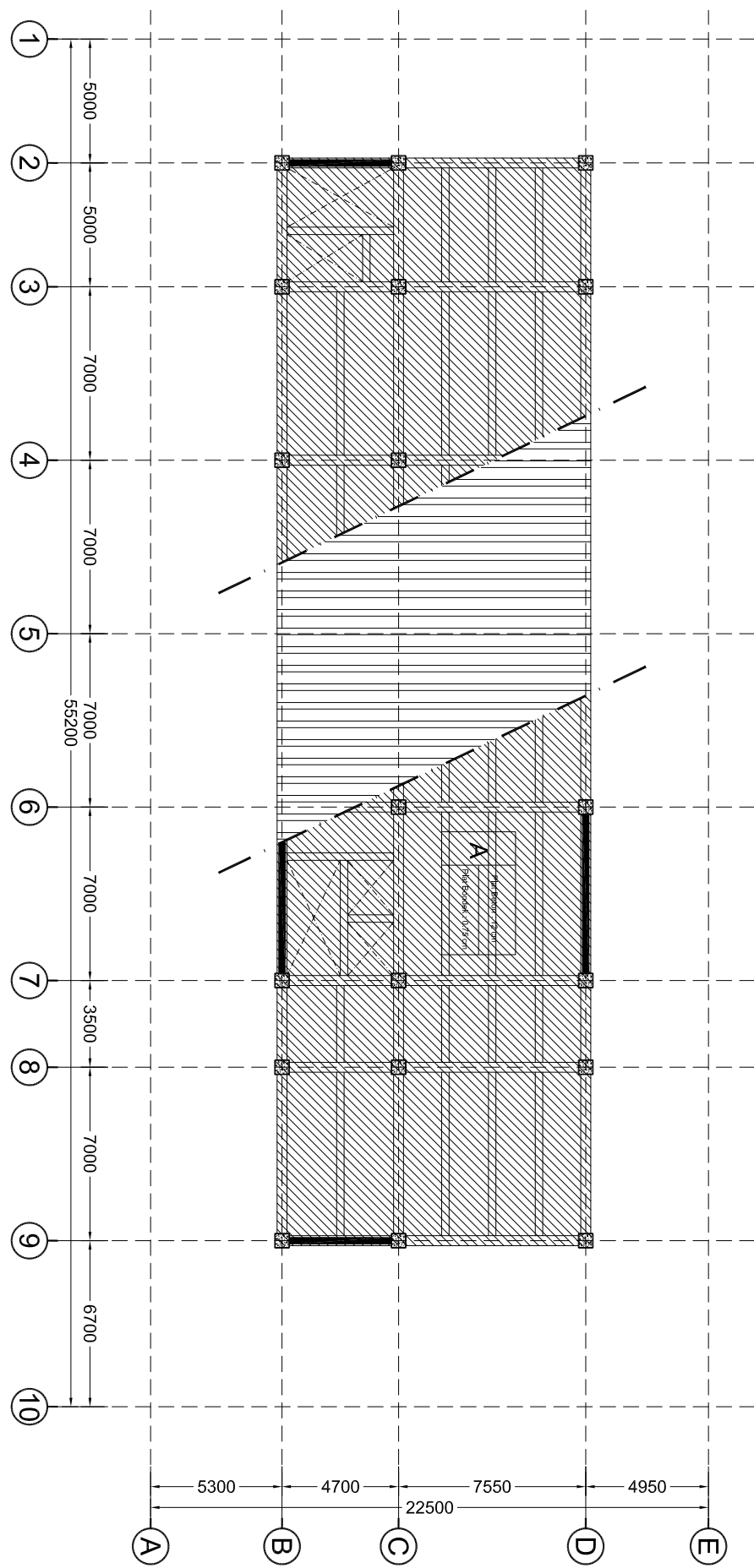
KETERANGAN					
MODIFIKASI PERENCANAAN STRUKTUR GEDUNG HOTEL PREMIER INN SURABAYA DENGAN MENGGUNAKAN RECTANGULAR CONCRETE FILLED STEEL TUBE COLUMN DAN HEXAGONAL CASTELLATED BEAM					
DENAH BALOK LT. ATAP					
I : 250					
PUTRI UTAMI ANU CAHYANI NRP. 31105011 NRP. 1940311189301001					
B5 BALOK CASTELLATED 525X350X12X19 B6 BALOK CASTELLATED 450X300X10X15 BA2 BALOK 300X150X6.5X11					

INSTITUT/UNIVERSITAS	JUDUL TUGAS AKHIR	JUDUL GAMBAR	SKALA	DICARIMBAR	DIPERLUKA	REVISI
ITS Institut Teknologi Sepuluh Nopember	MODIFIKASI PERENCANAAN STRUKTUR GEDUNG HOTEL PREMIER INN SURABAYA DENGAN MENGGUNAKAN RECTANGULAR CONCRETE FILLED STEEL TUBE COLUMN DAN HEXAGONAL CASTELLATED BEAM	DENAH BALOK LT. ATAP	I : 250	MAHASISWA :	DOSSEN PENGABDIAN :	



DETAIL PLAT BONDEK

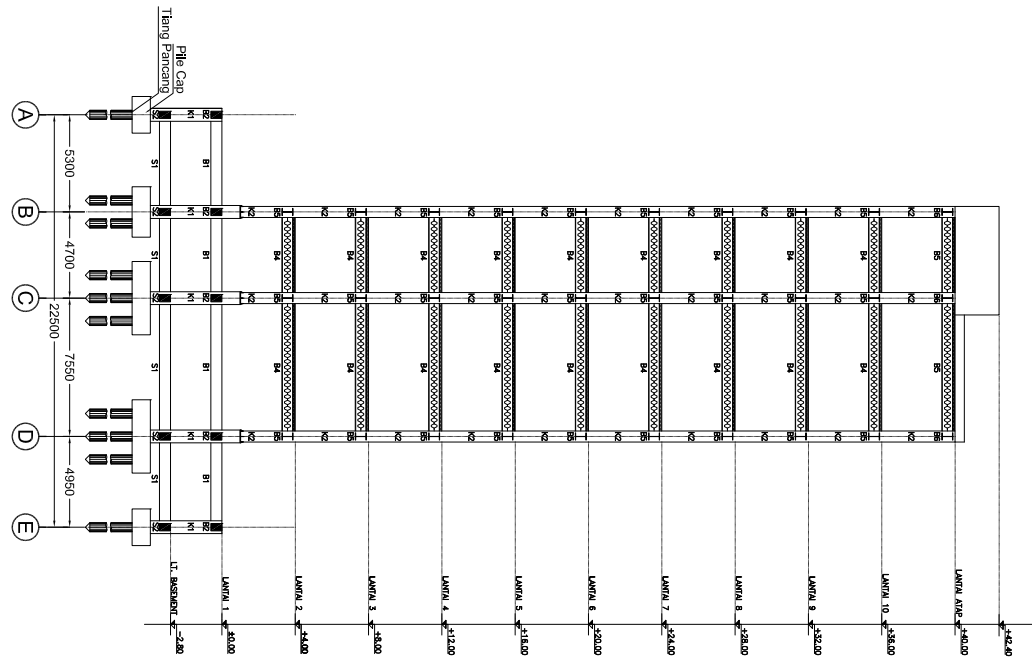
Skala 1:30



DENAH PLAT LANTAI

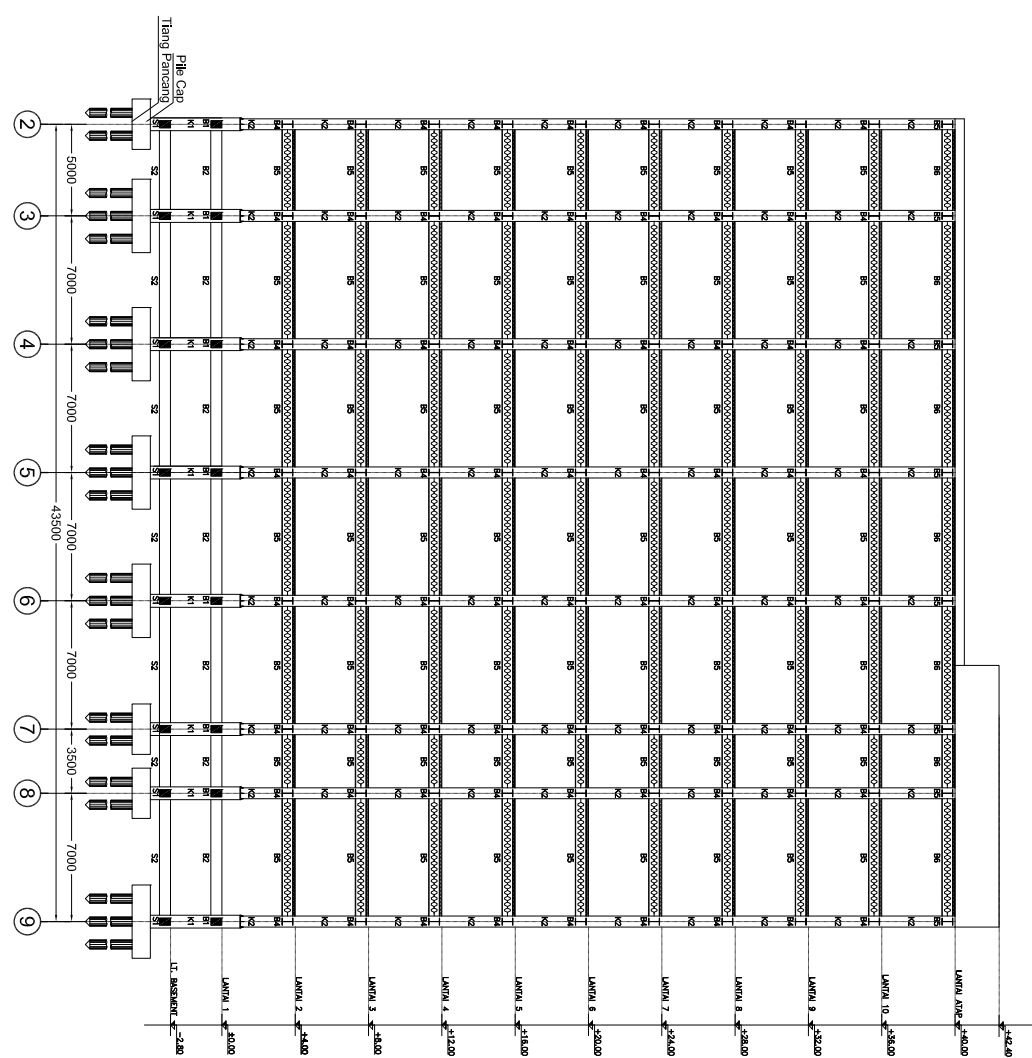
Skala 1:250

INSTITUT / UNIVERSITAS	JUDUL TUGAS AKHIR	JUDUL GAMBAR	SKALA	DICARBAR	DIPERLUKA	REVISI
ITS Institut Teknologi Sepuluh Nopember	MODIFIKASI PERENCANAAN STRUKTUR GEDUNG HOTEL PREMIER INN SURABAYA DENGAN MENGGUNAKAN RECTANGULAR CONCRETE FILLED STEEL TUBE COLUMN DAN HEXAGONAL CASTELLATED BEAM	DENAH PELAT LANTAI DETAIL PLAT BONDEK	1 : 250 1 : 30	PUTULUTAMAN ANU CAHYANI NRP. 3110105011	Ir. HERPY KUSJANTO, M.S NIP. 19640311198301001	BUDI SUSYANTO, ST. MT. PhD NRP. 1940311198301001



PORTAL AS-5

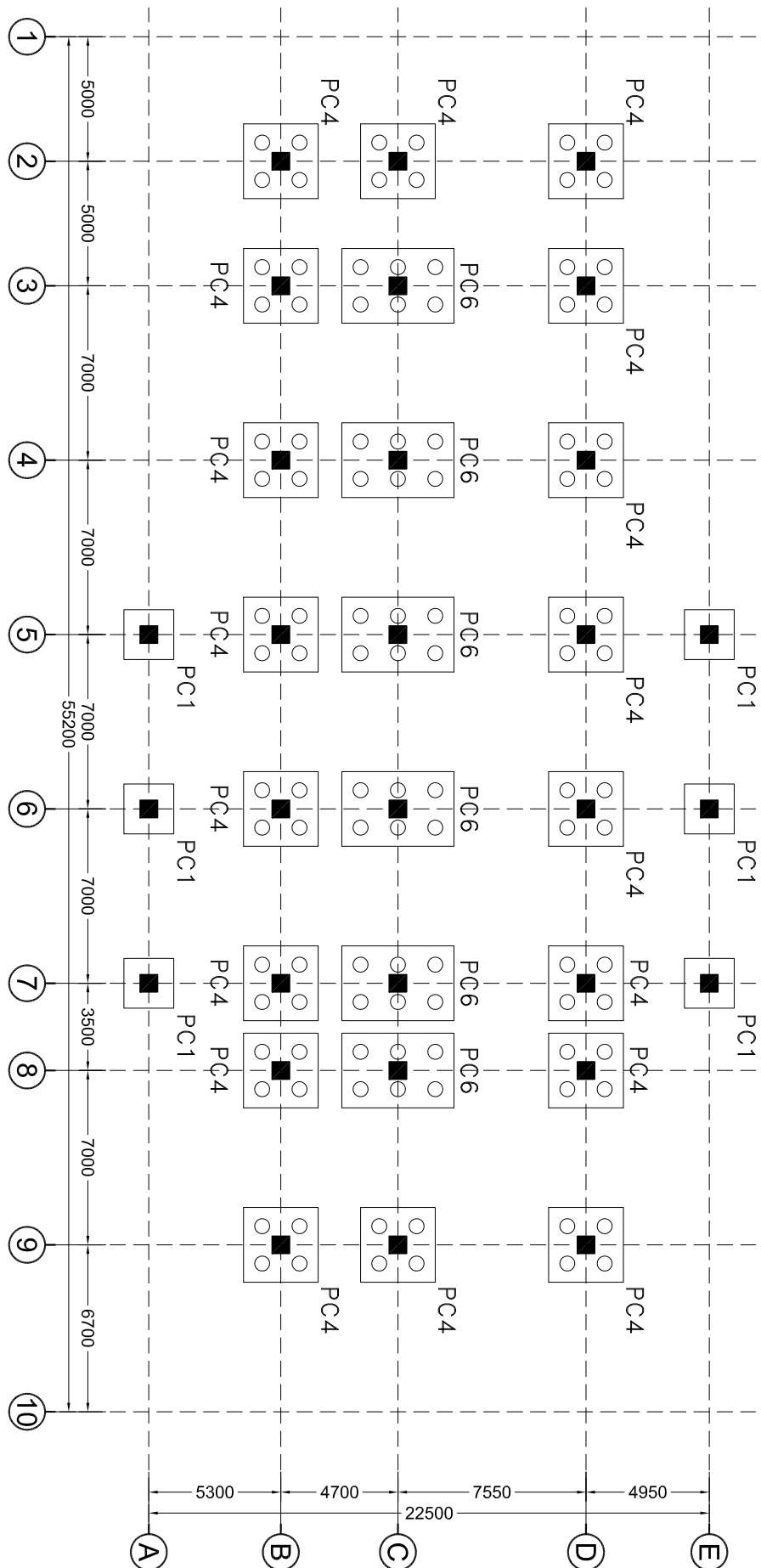
Skala 1:400



PORTAL AS-C

Skala 1:400

INSTITUT / UNIVERSITAS	JUDUL TUGAS AKHIR	JUDUL GAMBAR	SKALA	DICARBAR	DIPERLUKA	REVISI
 ITS Institut Teknologi Sepuluh Nopember	MODIFIKASI PERENCANAAN STRUKTUR GEDUNG HOTEL PREMIER INN SURABAYA DENGAN MENGGUNAKAN RECTANGULAR CONCRETE FILLED STEEL TUBE COLUMN DAN HEXAGONAL CASTELLATED BEAM	PORTAL AS-5 & PORTAL ASC	1 : 400	MAHASISWA : PUTRI UTAMA CAHYANI NRP. 3110105011	DOSEN PENILAIAN : Ir. HERPY KUSJANTO, M.S NIP. 196403111983011001	



DENAH PONDASI

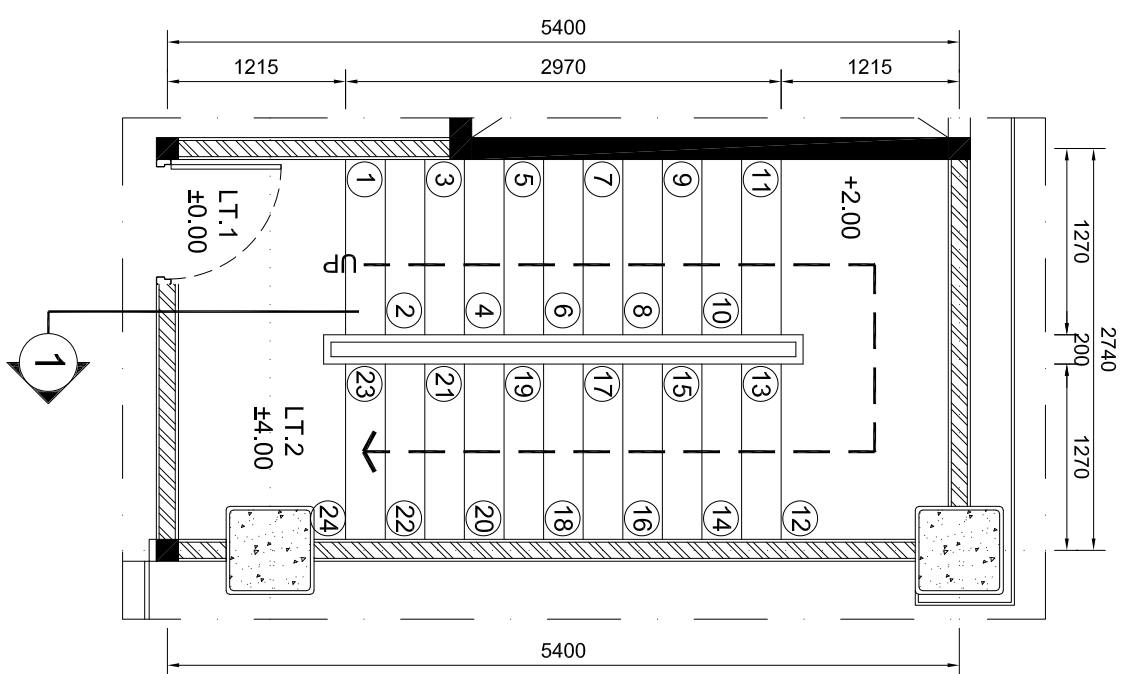
Skala 1:250

NOTASI	KETERANGAN
PC1	1500x1500x500 Bore Pile ø600-15000
PC4	3000x3000x500 Bore Pile ø600-15000
PC6	3000x4500x500 Bore Pile ø600-15000

○ ○	4500
○ ○	3000
○ ○	3000
○ ○	1500

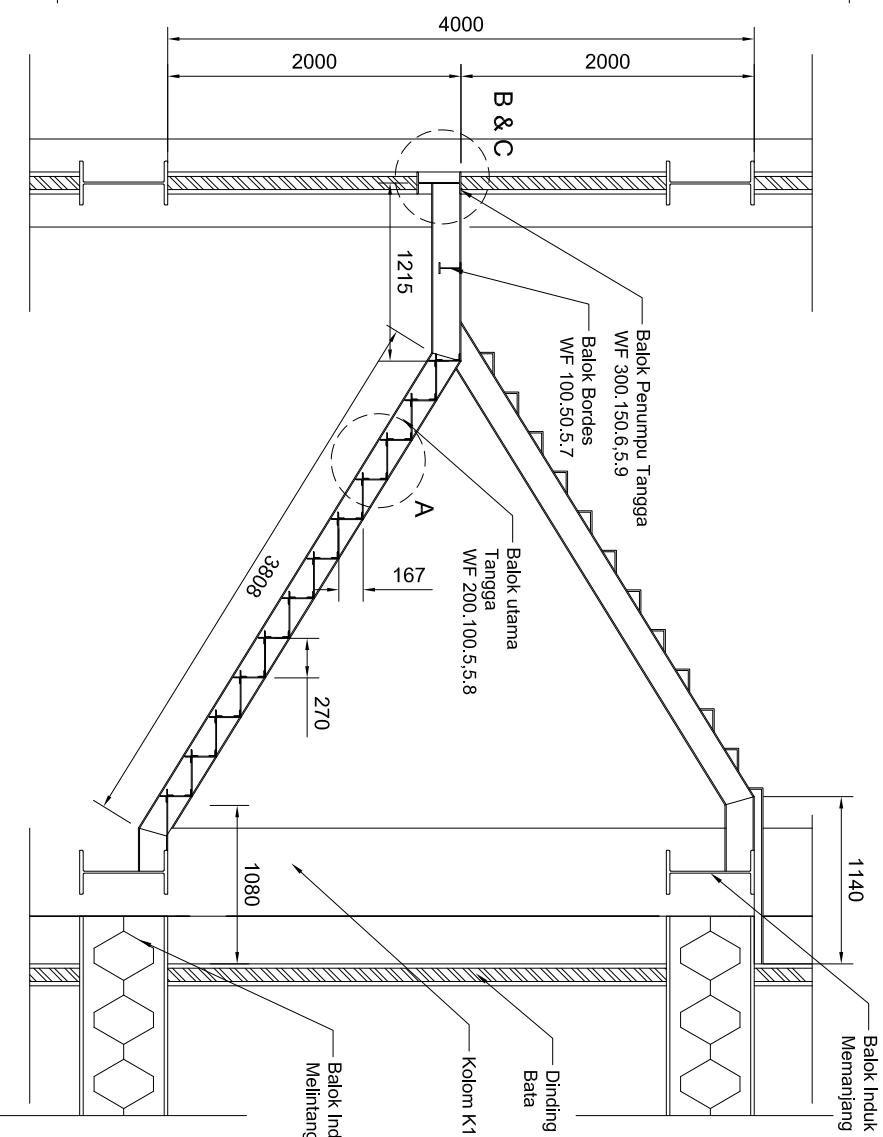
INSTITUT / UNIVERSITAS	JUDUL TUGAS AKHIR	JUDUL GAMBAR	SKALA	DICARIMBAR	DIPERLUKA	DOSEN PENILAI	REVISI
ITS Institut Teknologi Sepuluh Nopember	MODIFIKASI PERENCANAAN STRUKTUR GEDUNG HOTEL PREMIER INN SURABAYA DENGAN MENGGUNAKAN RECTANGULAR CONCRETE FILLED STEEL TUBE COLUMN DAN HEXAGONAL CASTELLATED BEAM	DENAH PONDASI	1 : 250	MAHASISWA : <u>PUTRI UTAMI ANU CAHYANI</u> NRP. 31105011	PUTRI UTAMI ANU CAHYANI NRP. 31105011	Ir. Herry Kusjianto, M.S NIP. 196403111983011001	

BUL. SISWANTO, ST, MT, PhD	KODE GBR	NO. GBR	JUMLAH LBR
NIP. 197307281990021002	STR	11	20



DENAH TANGGA

Skala 1:50



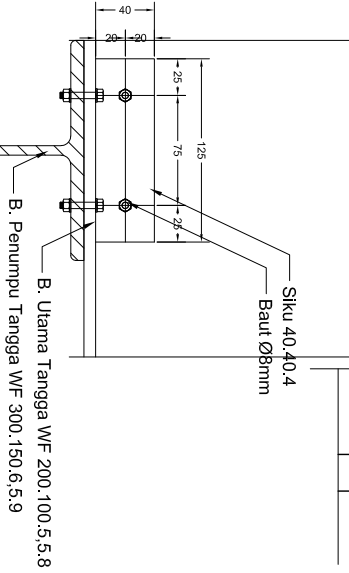
POTONGAN 1

Skala 1:50

INSTITUT / UNIVERSITAS	JUDUL TUGAS AKHIR	JUDUL GAMBAR	SKALA	DICARABAR	DIPERLUKA	DOSEN PENGAMINGAN :	REVISI
 ITS Institut Teknologi Sepuluh Nopember	MODIFIKASI PERENCANAAN STRUKTUR GEDUNG HOTEL PREMIER INN SURABAYA DENGAN MENGGUNAKAN RECTANGULAR CONCRETE FILLED STEEL TUBE COLUMN DAN HEXAGONAL CASTELLATED BEAM	DENAH TANGGA & POTONGAN 1	1 : 50	MAHASISWA : PUTRI UTAMA ANU CAHYANI NRP. 31105011 NIP. 199403111993011001	DOSEN PENGAMINGAN : Ir. HERPY KRISTIANTO, M.S NIP. 196403111983011001 NIP. 196403111983011001		

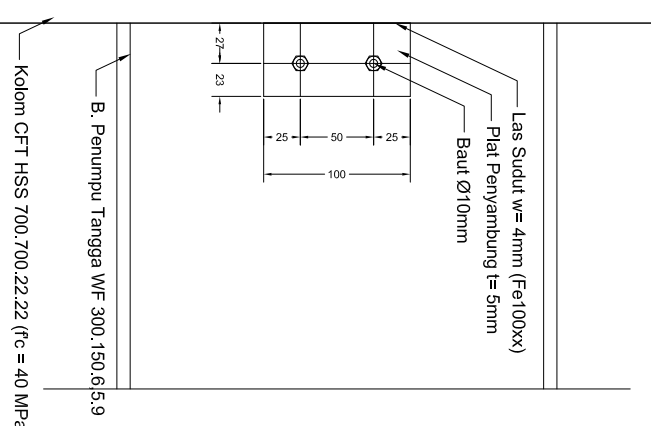
BUDI SUSIANTO, ST, MT, PhD	KODE GBR	NO. GBR	JUMLAH LBR
NIP. 19730728 199602 002	STR	12	20

DETAIL A



Skala 1:5

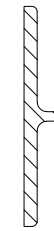
DETAIL C



($f_c = 40 \text{ MPa}$)

Skala 1:5

DETAIL B



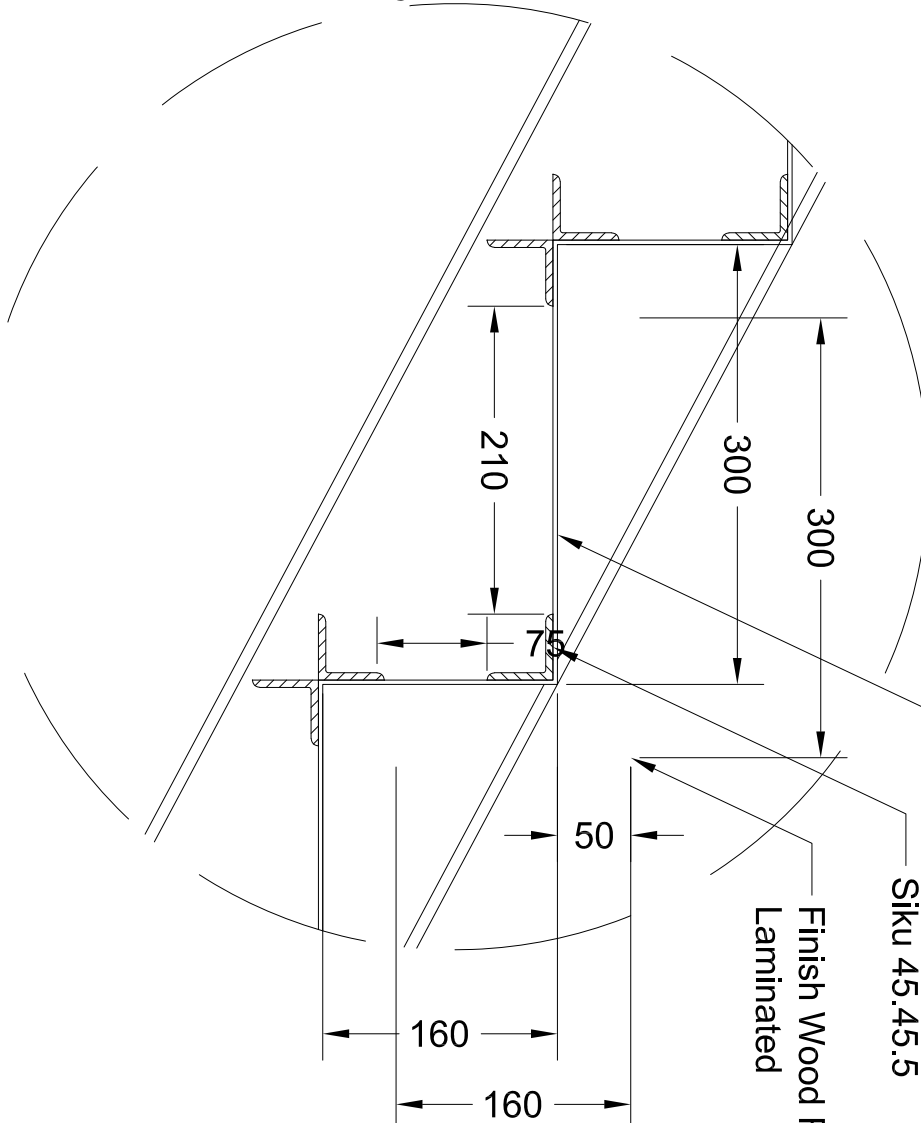
Skala 1:5

INSTITUT / UNIVERSITAS	JUDUL TUGAS AKHIR	JUDUL GAMBAR	SKALA	DICARIMBAR	DIPERLUKA	DOSEN PENGAMING:	REVISI
 Institut Teknologi Sepuluh Nopember	MODIFIKASI PERENCANAAN STRUKTUR GEDUNG HOTEL PREMIER INN SURABAYA DENGAN MENGGUNAKAN RECTANGULAR CONCRETE FILLED STEEL TUBE COLUMN DAN HEXAGONAL CASTELLATED BEAM	DETAIL A,B,C	1 : 5	PUTRI UTAMI ANU CAHYANI NRP. 3110105011	Ir. HERPY KUSJANTO, M.S NRP. 1940311198301001		

Plat Anak Tangga $t=6\text{mm}$

Siku 45.45.5

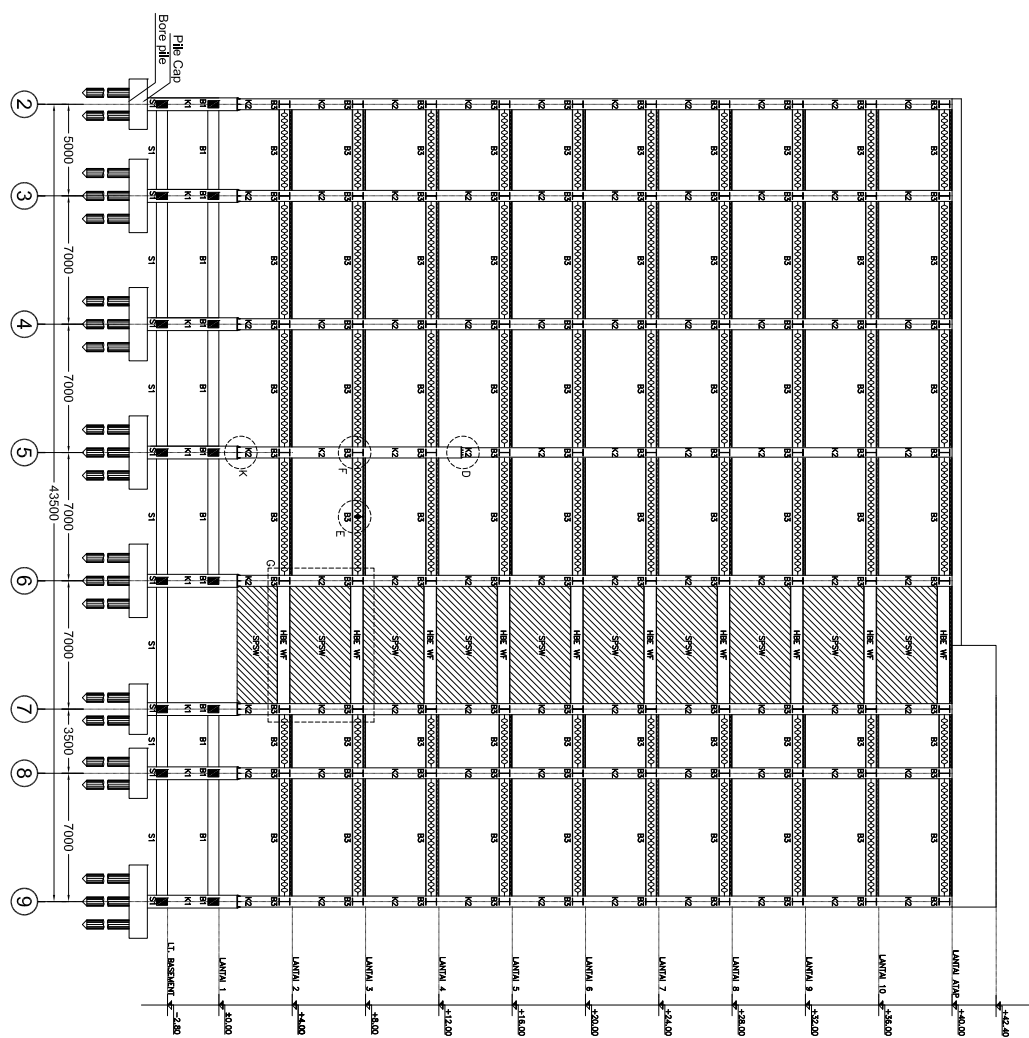
Finish Wood Floor
Laminated



Skala 1:5

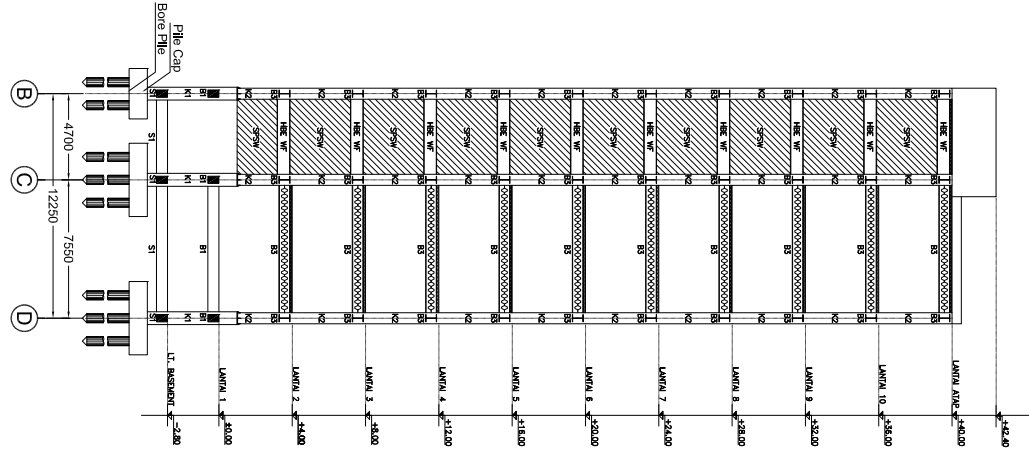
PORTAL AS-B

Skala 1:400

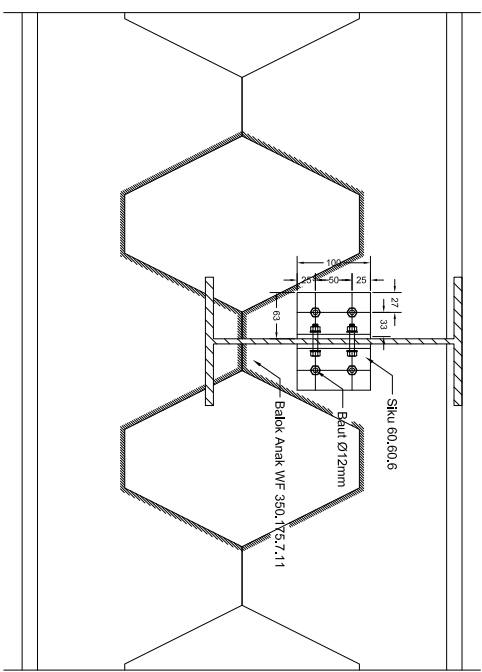


PORTAL AS-2

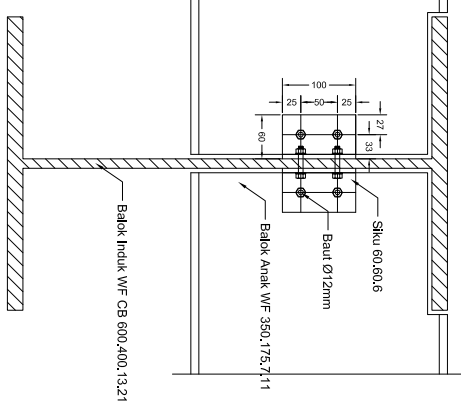
Skala 1:400



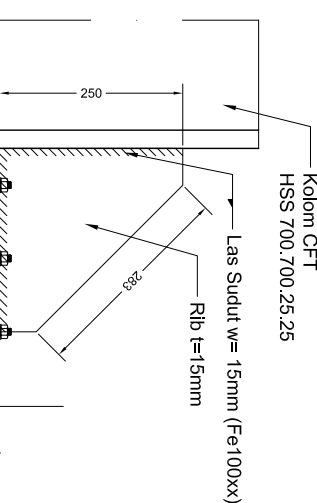
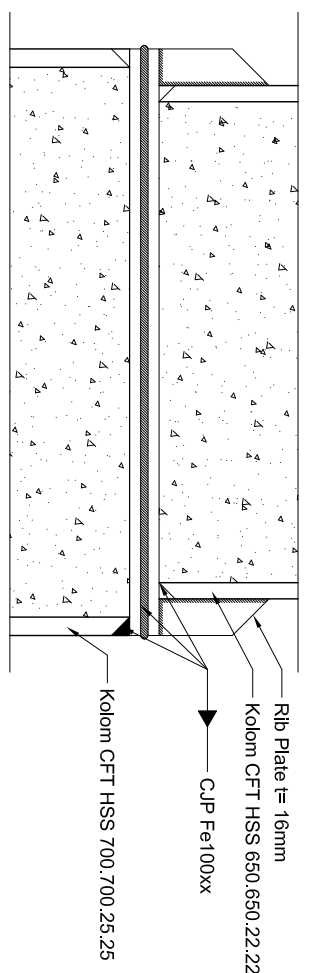
INSTITUT / UNIVERSITAS	JUDUL TUGAS AKHIR	JUDUL GAMBAR	SKALA	DICARBAR	DIPERLUKA	REVISI
ITS Institut Teknologi Sepuluh Nopember	MODIFIKASI PERENCANAAN STRUKTUR GEDUNG HOTEL PREMIER INN SURABAYA DENGAN MENGGUNAKAN RECTANGULAR CONCRETE FILLED STEEL TUBE COLUMN DAN HEXAGONAL CASTELLATED BEAM	PORTAL AS-2 & PORTAL AS-B	1 : 400	MAHASISWA : PUTRI UTAMA CAHYANI NRP. 3110105011	DOSEN PENILAIAN : Ir. HERPY KUSJANTO, M.S NIP. 19640311198301001 KODE GBR : STR	REV. I NO. GBR : 14 JUMLAH LBR : 20



28 DETAIL D
SKALA 1:10



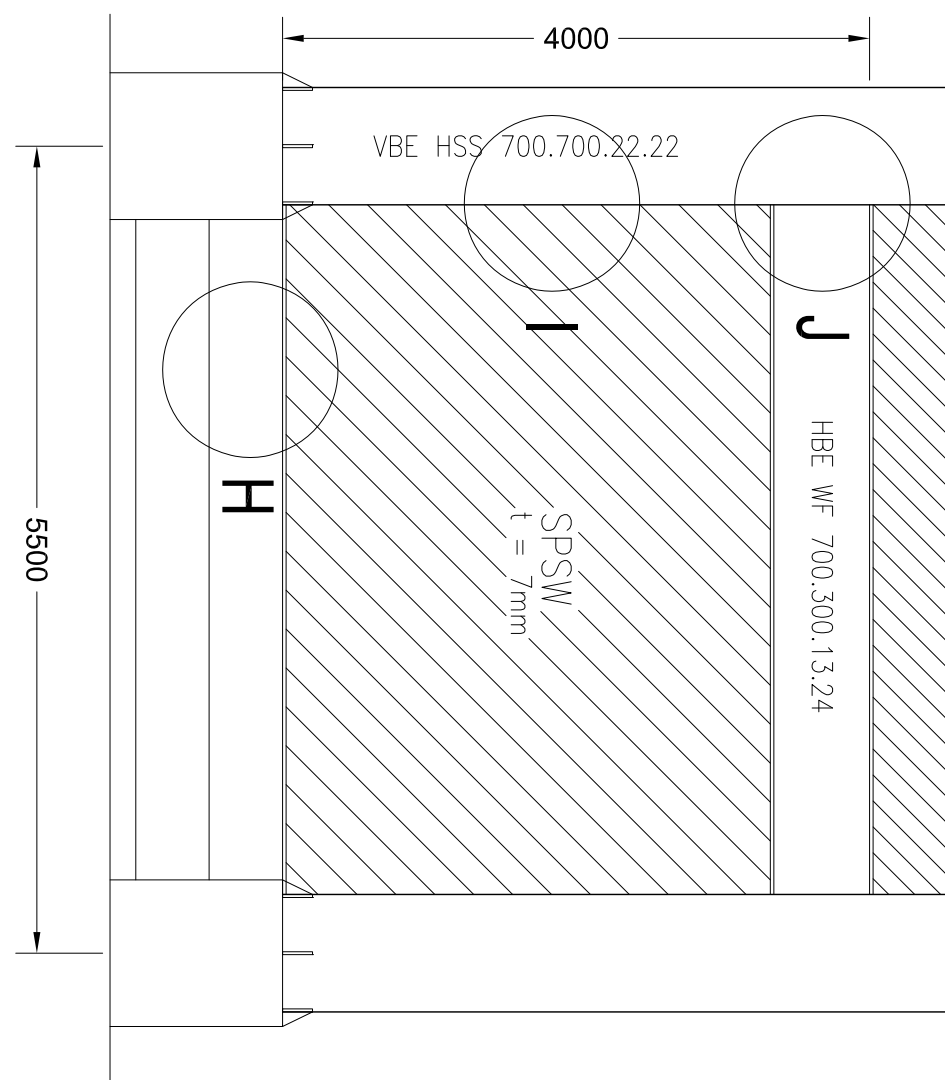
29 DETAIL E
SKALA 1:5



30 DETAIL F
SKALA 1:10

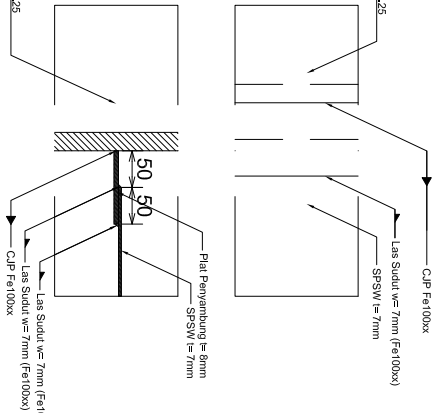
INSTITUT / UNIVERSITAS	JUDUL TUGAS AKHIR	JUDUL GAMBAR	SKALA	DICARIMBAR	DIPERLUKA	REVISI
 ITS Institut Teknologi Sepuluh Nopember	MODIFIKASI PERENCANAAN STRUKTUR GEDUNG HOTEL PREMIER INN SURABAYA DENGAN MENGGUNAKAN RECTANGULAR CONCRETE FILLED STEEL TUBE COLUMN DAN HEXAGONAL CASTELLATED BEAM	DETAL D,E,F	1 : 5	PUTRI LUTMI ANU CAHYANI NRP. 31105011	Ir. HERPY KEPSTIANTO, M.S. NRP. 19402311198301001	

BUDI SUSIANTO, ST, MT, PhD	KODE GBR	NO. GBR	JUMLAH LBR
NP. 193012899021002	STR	15	20

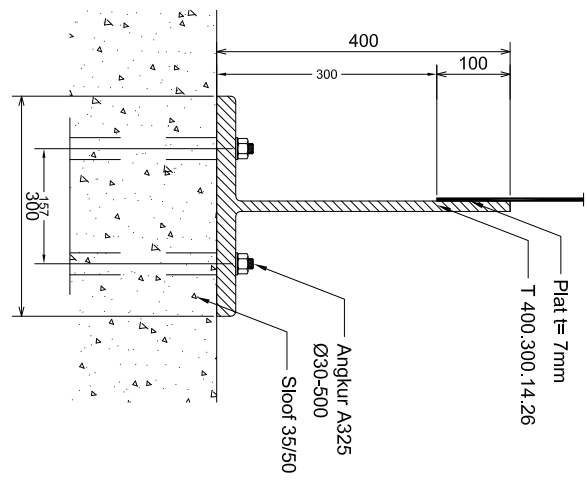


31 DETAIL G
SKALA 1:50

Kaliang CFH HSS 700.700.25.25

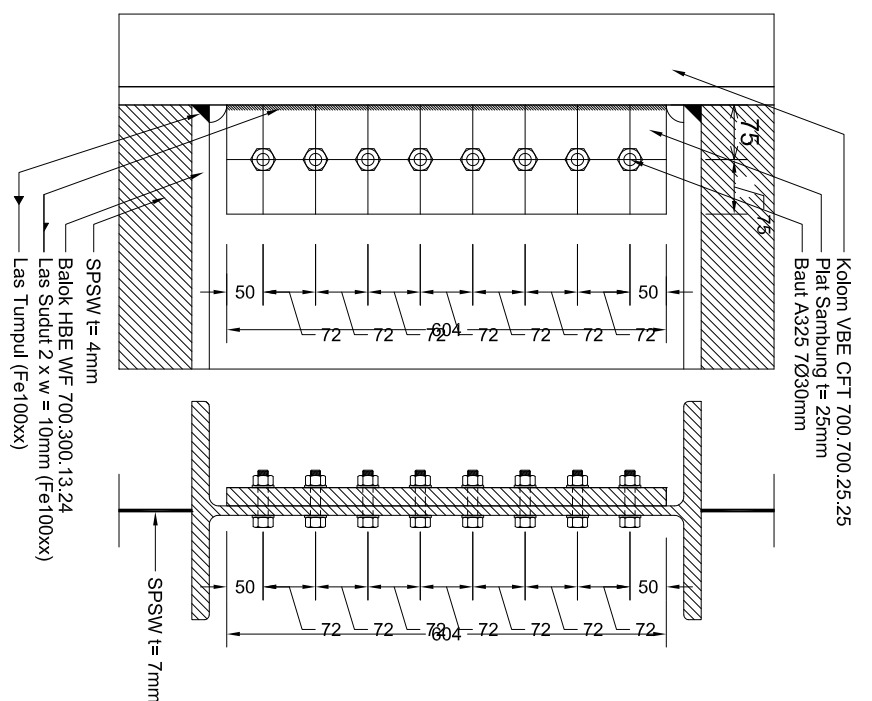


32 DETAIL H
SKALA 1:10

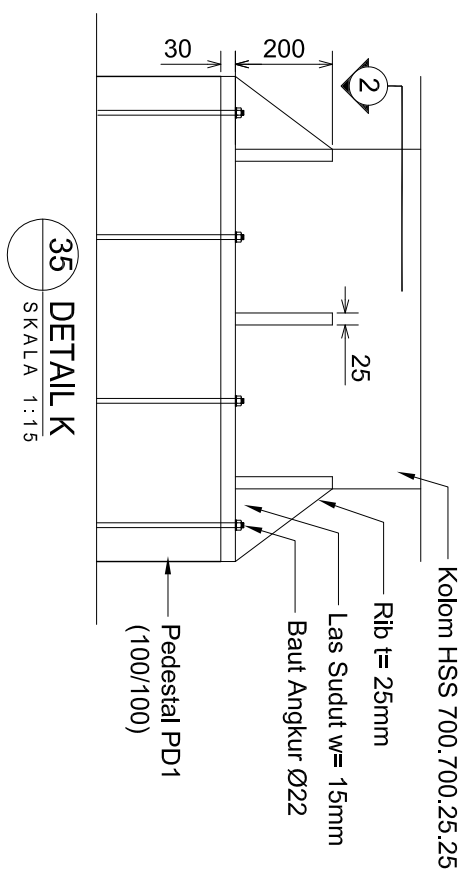


33 DETAIL I
SKALA 1:10

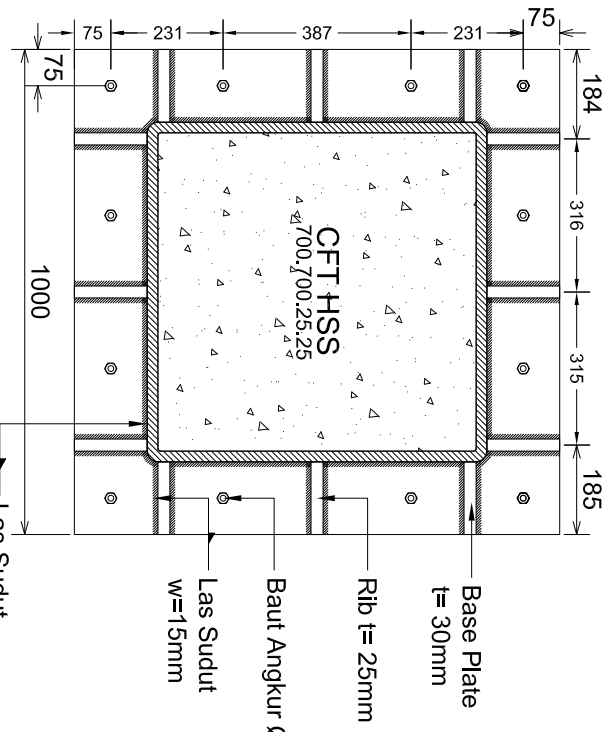
INSTITUT / UNIVERSITAS	JUDUL TUGAS AKHIR	JUDUL GAMBAR	SKALA	DICARABAR	DIPERKASA	DIFERIKSA	REVISI
 Institut Teknologi Sepuluh Nopember	MODIFIKASI PERENCANAAN STRUKTUR GEDUNG HOTEL PREMIER INN SURABAYA DENGAN MENGGUNAKAN RECTANGULAR CONCRETE FILLED STEEL TUBE COLUMN DAN HEXAGONAL CASTELLATED BEAM	DETALI G, H, I	1 : 10	PUTRI LATAMI AYU CAYAHANI NRP. 31105011	Ir. HERPY KUSTIYANTO, M.S. NIP. 19640311198701001	BUDI SUSIYATNO, ST, MT, PhD NIP. 197301281998021002	



34 DETAIL J
SKALA 1:5



35 DETAIL K
SKALA 1:15

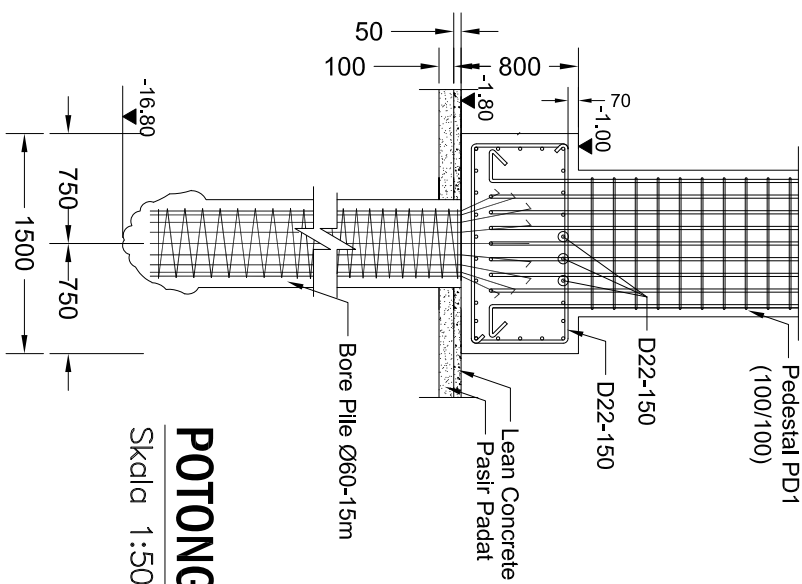


36 POTONGAN 2
w=15mm
SKALA 1:15

INSTITUT / UNIVERSITAS	JUDUL TUGAS AKHIR	JUDUL GAMBAR	SKALA	DIGAMBAR	MAHASISWA :	DIPERINTSA	DOSEN PEMBIMBING :	REVISI
 Institut Teknologi Sepuluh Nopember	MODIFIKASI PERENCANAAN STRUKTUR GEDUNG HOTEL PREMIER INN SURABAYA DENGAN MENGGUNAKAN RECTANGULAR CONCRETE FILLED STEEL TUBE COLUMN DAN HEXAGONAL CASTELLATED BEAM	DETAIL J DAN K POTONGAN 2	1 : 5 1 : 15	PUTRI LUTJAN AYU LCHYANI NRP. 3115103011 NRP. 3115103011	I. HEPY KRETIANTO, M.S NRP. 196.0311.1980.01.001 BUDI SUSANTO, ST, MT, PhD NRP. 197.20128199802002	KODE GBR	N. GBR	JUMLAH LBR

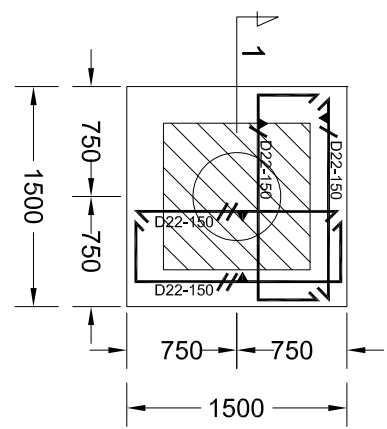
POTONGAN 1

Skala 1:50



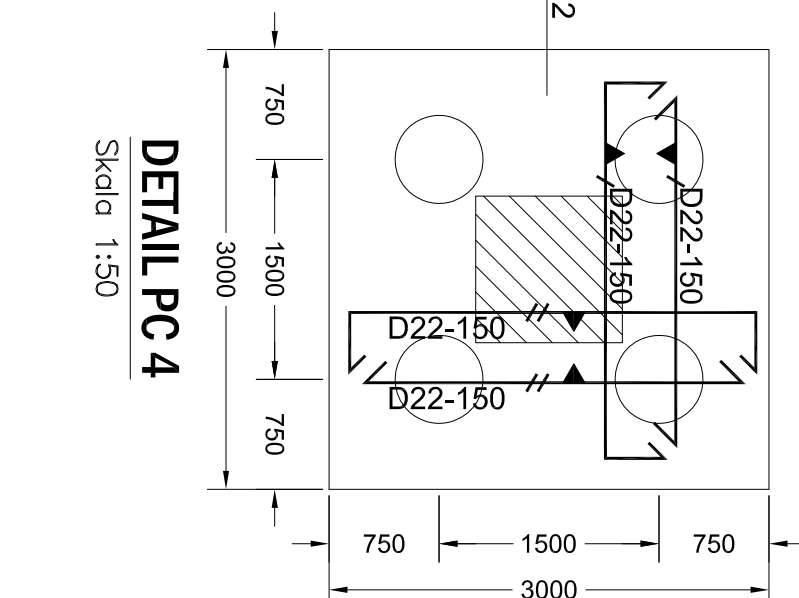
DETAIL PC 1

Skala 1:50



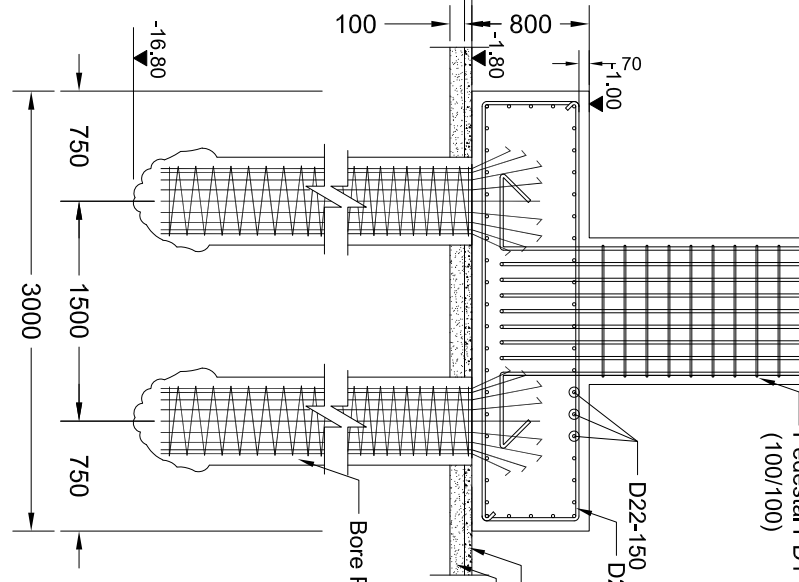
DETAIL PC 4

Skala 1:50



POTONGAN 2

Skala 1:50



INSTITUT / UNIVERSITAS	JUDUL TUGAS AKHIR	JUDUL GAMBAR	SKALA	DICARABAR	DIPERLUKA	DOSEN PENILAI	REVISI
ITS Institut Teknologi Sepuluh Nopember	MODIFIKASI PERENCANAAN STRUKTUR GEDUNG HOTEL PREMIER INN SURABAYA DENGAN MENGGUNAKAN RECTANGULAR CONCRETE FILLED STEEL COLUMN DAN HEXAGONAL CASTELLATED BEAM	DETAIL PENULANGAN PC2, PC3, FPI 1 : 50 POTONGAN 4.5.6	1 : 50 NRP. 31105011	MAHASISWA : PUTRI UTAMI ANU CAHYANI	DICARABAR :	Ir. HERPY KRISTIANTO, M.S NIP. 19640311198201001	

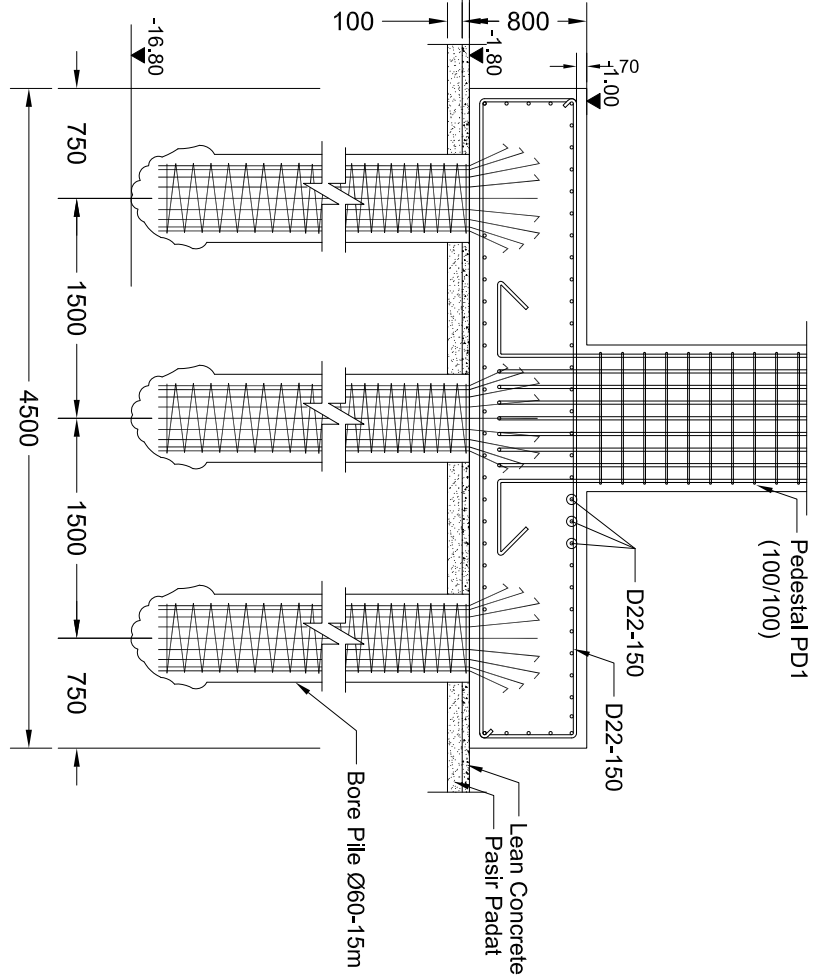
BUDI SUSYANTO, ST, MT, PhD NIP. 19730728 199902 002	KODE GBR	NO. GBR	JUMLAH LBR
STR	18	20	

DETAIL PENULANGAN BORE PILE

Skala 1:50

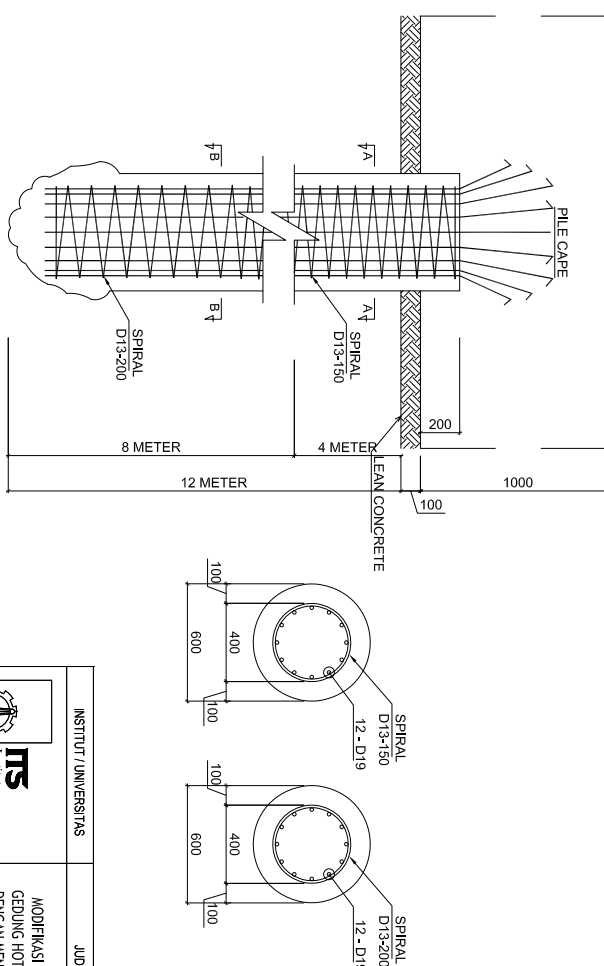
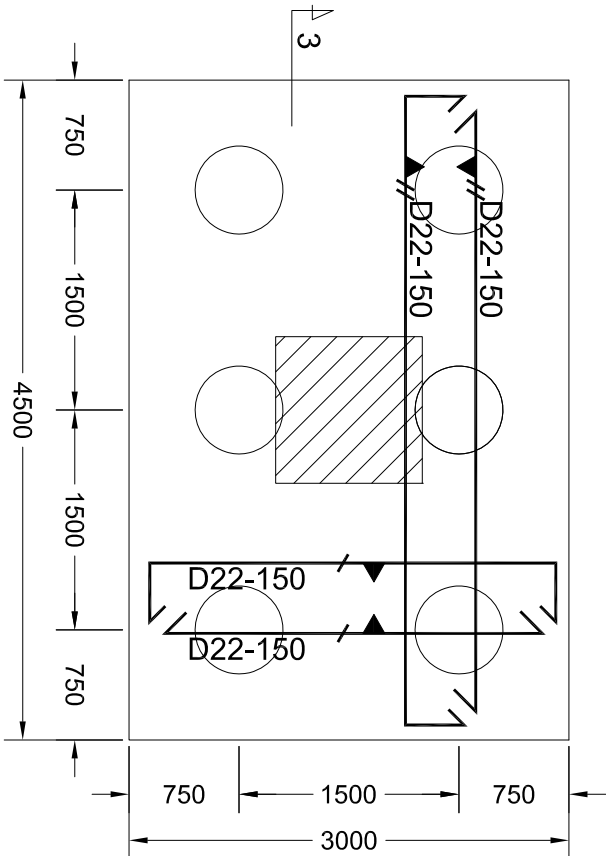
POTONGAN 3

Skala 1:50



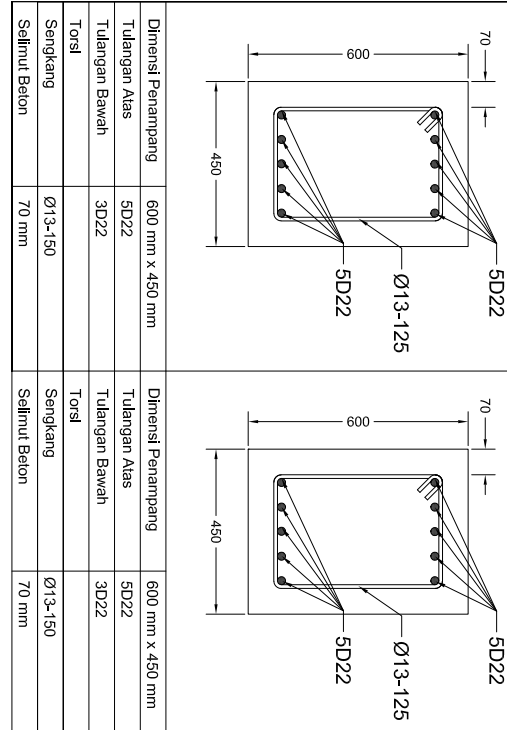
DETAIL PC 6

Skala 1:50



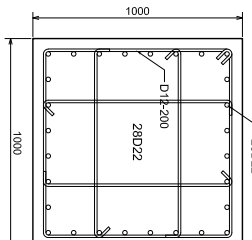
INSTITUT / UNIVERSITAS	JUDUL TUGAS AKHIR	JUDUL GAMBAR	SKALA	DICARABAR	DIPERLUKA	DOSEN PEMBIMBING :	REVISI
ITS Institut Teknologi Sepuluh Nopember	MODIFIKASI PERENCANAAN STRUKTUR GEDUNG HOTEL PREMIER INN SURABAYA DENGAN MENGGUNAKAN RECTANGULAR CONCRETE FILLED STEEL TUBE COLUMN DAN HEXAGONAL CASTELLATED BEAM	DETAIL PENULANGAN PC2, PC3, FPI 1 : 50 PURUTUTAM ANU CAHYANI NRP. 31105011	1 : 50	MAHASISWA :		Ir. HERPY KUSJANTO, M.S NIP. 19640311198201001	

TUMPUAN	SLOOF S1
LAPANGAN	



KOLOM PEDESTAL PD1

TUMPUAN LAPANGAN



Dimensi Penampang	1000 mm x 1000 mm
Tulangan Ulama	28D22
Sengkang	D12-200
Selimut Belon	50 mm

49 DETAIL PENULANGAN SLOOF & PEDESTAL

SKALA 1:NTS

INSTITUT / UNIVERSITAS	JUDUL TUGAS AKHIR	JUDUL GAMBAR	SKALA	DICARIMBAR	DIPERLUKA	DOSEN PENGABDIING :	REVISI
 ITS Institut Teknologi Sepuluh Nopember	MODIFIKASI PERENCANAAN STRUKTUR GEDUNG HOTEL PREMIER INN SURABAYA DENGAN MENGGUNAKAN RECTANGULAR CONCRETE FILLED STEEL TUBE COLUMN DAN HEXAGONAL CASTELLATED BEAM	DETAL PENULANGAN SLOOF DAN PEDESTAL	1 : NTS	MAHASISWA : <u>PUTRI UTAMI ANU CAHYANI</u> NRP. 31105011 NIP. 19940311199301001	DOSEN PENGABDIING : <u>Ir. HERPY KUSJANTO, M.S.</u> <u>NIP. 19640311198301001</u>		

BUL. SISWANTO, ST, MT, PhD	KODE GBR	NO. GBR	JUMLAH LBR
NIP. 197307281994021002	STR	20	20



TESTANA ENGINEERING, Inc.

TAJURAN REKALURASI DESIGN ROTARY KILN

		A.1.1. BORING LOG				BOREHOLE #: DB - 1									
DEPTH: m.	SOIL DESCRIPTION	DATE OF TESTING : 1 to 3 May 2013 DEPTH OF BORING : 36.5 m				GROUND WATER LEVEL : ± 1.20 m (approx) GROUND SURFACE LEVEL : ± 0.00 m									
		STANDARD PENETRATION TEST		STRENGTH TEST		ATTERBERG LIMITS		y	Gs	eo	Sr				
0	Demolition material (brick, sand, and gravel, contain limestone).	0	10	20	30	40	TYPE	c	φ	0	20	40	60	80	100
1															
2	Fine sand and silt, brown, trace of gravel, very loose to medium dense.	12													
3		2													
4	Clay and silt, brownish gray, inorganic, trace of sand, very soft.	1													
5		1													
6		1													
7		1													
8		1													
9	Clay and silt, grey, inorganic, trace of sand, contain crushed shell, very soft.	1													
10		1													
11		1													
12		1													
13	Silt and clay, greenish grey, inorganic, trace of sand, trace of gravel, contain crushed shell, stiff consistency.	12													
14		10													
15	Silt and clay, yellowish brown, inorganic, trace of sand, trace of gravel, contain crushed shell, very stiff consistency.	>60													
16		44													
17															
18															
19	Sand, brown, fine to coarse grained, little of silt, contain cobble (+/- 10cm) at 18.7 m, dense to very dense.	14													
20		18													
21		19													
22		16													
23		20													
24		22													
25		30													
26															
27	Clay and silt, brownish grey, inorganic, trace of sand, stiff to very stiff consistency.														
28															
29															
30															
31															
32	Silt and clay, greenish grey, inorganic, trace of sand, very stiff consistency.														
33															
34	Silt and clay, grey, inorganic, contain cobble (+/-10cm), very stiff consistency.														
35	End of Boring														
36															
37															
38															
39															
40															

NOTE:

0 to 10 % = Trace
10 to 20 % = Little
20 to 35 % = Some
35 to 50 % = A lot

= Undisturbed sample
 = SPT
 = Core sample
c = Cohesion intercept, kg/cm²
φ = Internal friction angle, deg

SPT = Standard penetration test (blows / ft)
UU = Triaxial, Unconsolidated unstrained
CU = Triaxial Consolidated undrained
Vane = Vane shear test
UCT = Unconfined compression strength, kg/cm²
GT = Direct shear, quick test.

C = Win = Moisture content, %
Wp = Wp = Plastic limit, %
A = WL = Liquid limit, %
y = y = Bulk density, gm³
Gs = Gs = Specific gravity
eo = eo = Void ratio
Sr = Sr = Saturation, %



TESTANA ENGINEERING, Inc.

PROJECT : Kantor, Showroom, Servis Mobil, Dll
 LOCATION : Jl. Sulawesi No.88 & Jl. Billiton No.43-44, Sby.

A.1.2. BORING LOG

BOREHOLE # : DB - 2

DATE OF TESTING : 4 to 7 May 2013 GROUND WATER LEVEL : ± 1.30 m (sumur)

DEPTH OF BORING : 38.5 m GROUND SURFACE LEVEL : ± 0.00 m

DEPTH, m.	SOIL DESCRIPTION	STANDARD PENETRATION TEST				STRENGTH TEST				ATTERBERG LIMITS				γ	Gs	ee	Sr
		0	10	20	30	40	TYPE	C	φ	0	20	40	60	80	100		
0	Demolition material (brick, sand, and gravel, contain limestone).																
1		10	10	10	10	10											
2	Fine sand and silt, brown, trace of gravel, loose dense.	10	10	10	10	10											
3		10	10	10	10	10											
4	Clay and silt, brownish grey, inorganic, trace of sand.	10	10	10	10	10											
5	Sand some silt, grey, very loose.	10	10	10	10	10											
6		10	10	10	10	10											
7		10	10	10	10	10											
8		10	10	10	10	10											
9	Clay and silt, grey, inorganic, trace of sand, contain crushed shell, very soft.	10	10	10	10	10											
10		10	10	10	10	10											
11		10	10	10	10	10											
12		10	10	10	10	10											
13	Silt and clay, greenish grey, inorganic, trace of sand, trace of gravel, contain crushed shell, medium consistency.	10	10	10	10	10											
14		10	10	10	10	10											
15	Silt and clay, yellowish brown, inorganic, trace of sand, trace of gravel, contain crushed shell, very stiff consistency.	10	10	10	10	10											
16		10	10	10	10	10											
17	Silt and clay, brownish grey, inorganic, some sand, trace of gravel, contain crushed shell.	10	10	10	10	10											
18		10	10	10	10	10											
19		10	10	10	10	10											
20	Sand, brown, fine to coarse grained, little of silt, dense to very dense.	10	10	10	10	10											
21		10	10	10	10	10											
22	Clay and silt, brown, inorganic, little to some gravel, trace sand.	10	10	10	10	10											
23		10	10	10	10	10											
24		10	10	10	10	10											
25	Clay and silt, brownish grey, inorganic, trace of sand, stiff to very stiff consistency.	10	10	10	10	10											
26		10	10	10	10	10											
27		10	10	10	10	10											
28	Cobble, grey.	10	10	10	10	10											
29		10	10	10	10	10											
30	Clay and silt, dark grey, inorganic, trace of sand.	10	10	10	10	10											
31		10	10	10	10	10											
32	Silt and clay, greenish grey, inorganic, very stiff consistency.	10	10	10	10	10											
33		10	10	10	10	10											
34	Silt and clay, grey, inorganic, cemented at some depth, very stiff consistency..	10	10	10	10	10											
35		10	10	10	10	10											
36	End of Boring	10	10	10	10	10											
37		10	10	10	10	10											
38		10	10	10	10	10											
39		10	10	10	10	10											
40		10	10	10	10	10											

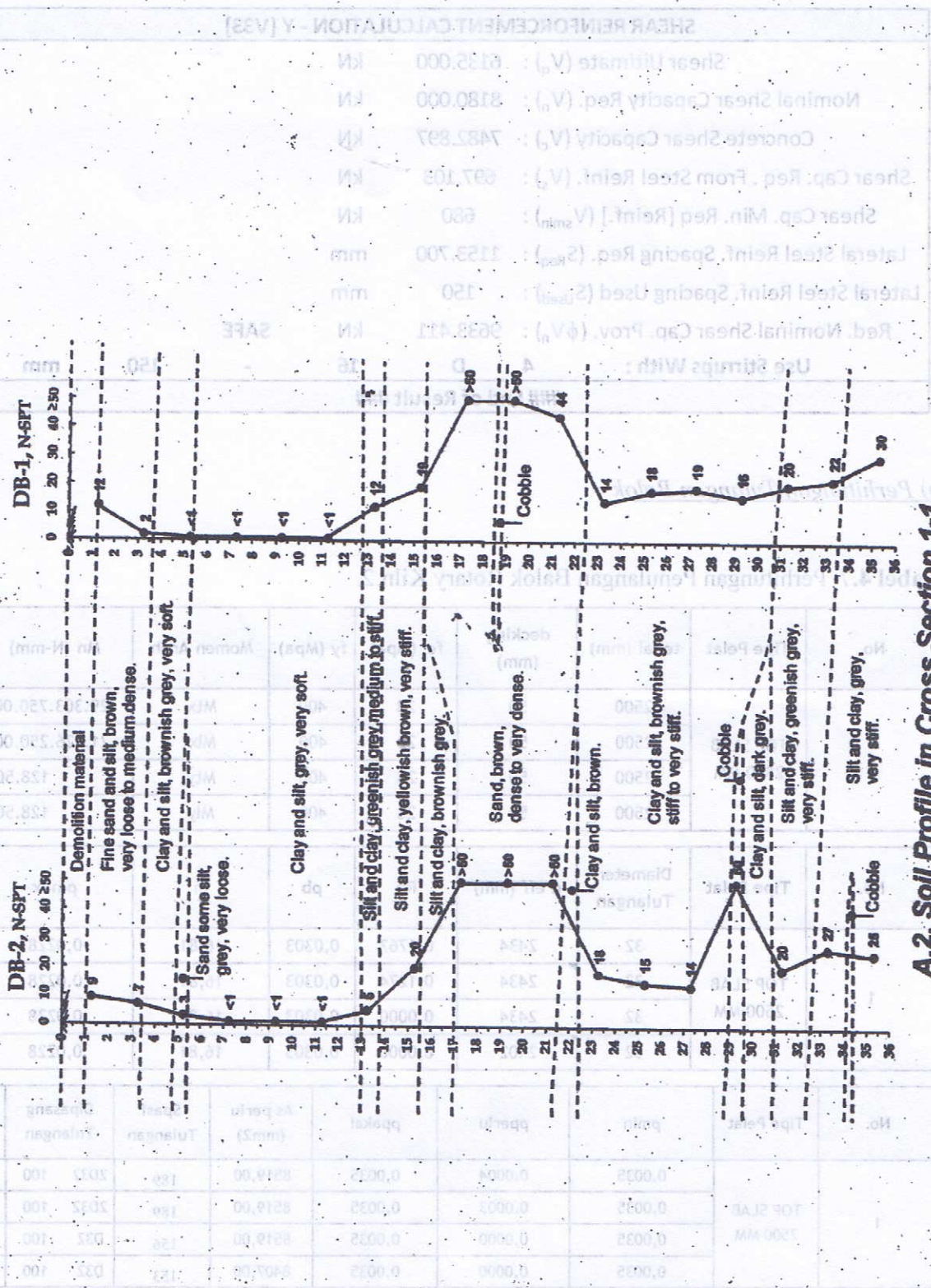
NOTE:

0 to 10 % = Trace
 10 to 20 % = Little
 20 to 35 % = Some
 35 to 60 % = A lot

□ = Undisturbed sample
 □ = SPT
 ☐ = Core sample
 □ = Cohesion Intercept, kg/cm²
 □ = Internal friction angle, deg

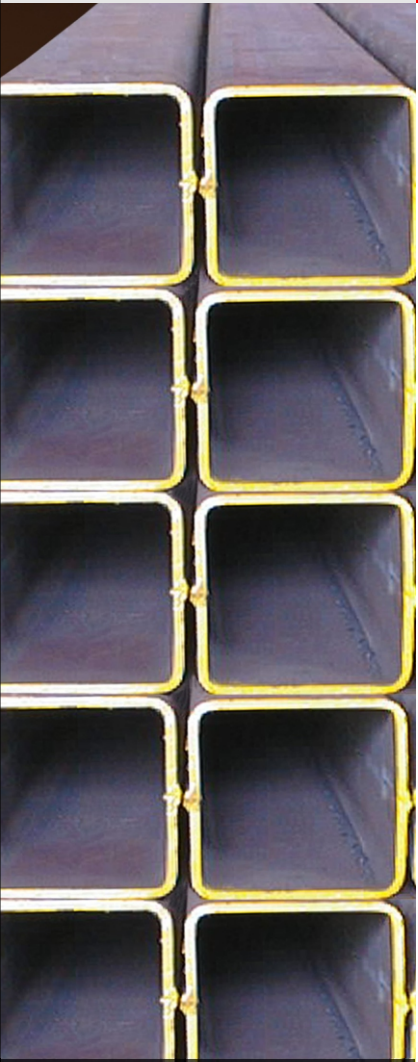
SPT = Standard penetration test (blows / m)
 UU = Triaxial, Unconsolidated undrained
 CU = Triaxial, Consolidated undrained
 Vane = Vane shear test
 UCT = Unconfined compression strength, kg/cm²
 QT = Direct shear, quick test.

O = Min = Minimum content, %
 □ + Vip = Plastic limit, %
 △ = Wt = Liquid limit, %
 7 = Bulk density, t/m³
 Ge = Specific gravity
 ee = Void ratio
 Sr = Saturation, %

**A.2. Soil Profile in Cross Section 1-1.**



[COLD FORMED]



HEAD OFFICE & FACTORY

Jl. Imam Bonjol 4, Warung Bongkok,
Sukadanau, Cikarang Barat,
Bekasi 17520, West Java, INDONESIA

Forming Department

Phone DID : (62-21) 898 38 291 - 296

Phone Flexy : (021) 7085 3154 - 158

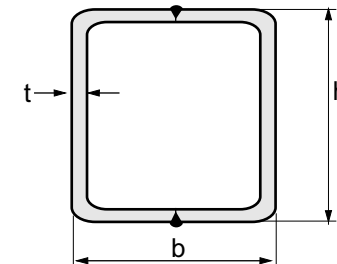
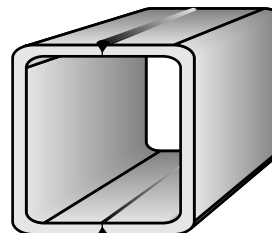
Fax. : (62-21) 898 38 298

e-mail : pji01@grdsteel.com

pji02@grdsteel.com

SQUARE HOLLOW SECTION

METRIC SIZE



DIMENSION	t	R	WEIGHT	AREA	MOMENT OF INERTIA	MOMENT OF RESISTANT	RADIUS OF GYRATION
					$I_x = I_y$	$Z_x = Z_y$	$i_x = i_y$
mm	mm	mm	kg/m	cm ²	cm ⁴	cm ³	cm
180	180	6.30	18	33.56	42.41	2,095.65	232.85
180	180	8.00	18	41.92	52.84	2,545.86	282.87
180	180	10.00	18	51.36	64.57	3,016.80	335.20
220	220	6.30	18	41.48	52.49	3,939.93	358.18
220	220	8.00	18	51.96	65.64	4,828.01	438.91
220	220	10.00	18	63.92	80.57	5,782.46	525.68
200	200	8.00	18	46.94	59.24	3,566.25	356.63
200	200	9.00	18	52.34	66.67	3,990.00	399.00
200	200	10.00	18	57.64	72.57	4,251.06	425.11
200	200	12.00	18	67.92	86.53	4,980.00	498.00
250	250	8.00	18	59.50	75.24	7,229.20	578.34
250	250	9.00	18	66.48	84.67	8,090.00	647.00
250	250	10.00	18	73.34	92.57	8,706.67	696.53
250	250	12.00	18	86.76	110.50	10,300.00	820.00
250	250	16.00	45	112.38	138.80	12,000.00	964.00
260	260	6.30	18	49.38	62.57	6,634.95	510.38
260	260	8.00	18	62.00	78.44	8,178.02	629.08
260	260	10.00	18	76.48	96.57	9,864.65	758.82
260	260	11.00	18	83.56	105.41	10,656.87	819.76
300	300	8.00	18	72.06	91.24	12,800.69	853.38
300	300	9.00	18	80.60	102.70	14,300.00	956.00
300	300	10.00	18	89.04	112.57	15,519.37	1,034.62
300	300	12.00	18	105.60	134.50	18,300.00	1,220.00
300	300	16.00	45	137.50	170.80	22,100.00	1,470.00
350	350	9.00	18	94.74	120.70	23,200.00	1,320.00
350	350	12.00	18	124.44	158.50	29,800.00	1,700.00
350	350	16.00	45	162.62	202.80	36,500.00	2,090.00
350	350	19.00	45	190.18	233.80	40,700.00	2,320.00
400	400	12.00	18	143.28	180.10	44,300.00	2,220.00
400	400	16.00	45	187.74	234.80	56,200.00	2,810.00
400	400	19.00	45	220.02	271.80	63,100.00	3,160.00
400	400	22.00	75	251.34	300.20	66,200.00	3,310.00
400	400	25.00	75	281.74	346.00	76,500.00	3,830.00
450	450	12.00	18	162.12	204.10	64,200.00	2,850.00
450	450	16.00	45	212.86	266.80	81,800.00	3,640.00
450	450	19.00	45	249.84	309.80	92,600.00	4,120.00
450	450	22.00	75	285.88	344.20	98,500.00	4,380.00
450	450	25.00	75	321.00	396.00	113,600.00	5,050.00
500	500	12.00	18	180.96	228.10	89,300.00	3,570.00
500	500	16.00	45	237.98	298.80	114,000.00	4,570.00
500	500	19.00	45	279.68	347.80	130,000.00	5,200.00
500	500	22.00	75	320.42	388.20	140,000.00	5,590.00
500	500	25.00	75	360.24	446.00	160,900.00	6,440.00
550	550	12.00	18	199.80	252.10	120,100.00	4,370.00
550	550	16.00	45	263.10	330.80	154,500.00	5,620.00
550	550	19.00	45	309.50	388.10	178,500.00	6,490.00
550	550	22.00	75	354.96	443.90	200,800.00	7,300.00
550	550	25.00	75	399.50	496.00	219,800.00	7,990.00
600	600	12.00	18	218.64	276.10	157,300.00	5,240.00
600	600	16.00	45	288.22	362.80	203,000.00	6,770.00
600	600	19.00	45	339.34	426.10	235,100.00	7,840.00
600	600	22.00	75	389.50	487.90	265,200.00	8,840.00
600	600	25.00	75	438.74	546.00	291,400.00	9,710.00
650	650	12.00	18	237.48	300.10	201,500.00	6,200.00
650	650	16.00	45	313.34	394.80	260,800.00	8,020.00
650	650	19.00	45	369.16	464.10	302,500.00	9,310.00
650	650	22.00	75	424.04	531.90	342,100.00	10,520.00
650	650	25.00	75	478.00	596.00	377,000.00	11,600.00
700	700	12.00	18	256.32	324.10	253,300.00	7,240.00
700	700	16.00	45	338.46	426.80	328,500.00	9,380.00
700	700	19.00	45	399.00	502.10	381,800.00	10,910.00
700	700	22.00	75	458.58	575.90	432,500.00	12,360.00
700	700	25.00	75	517.24	646.00	477,900.00	13,650.00

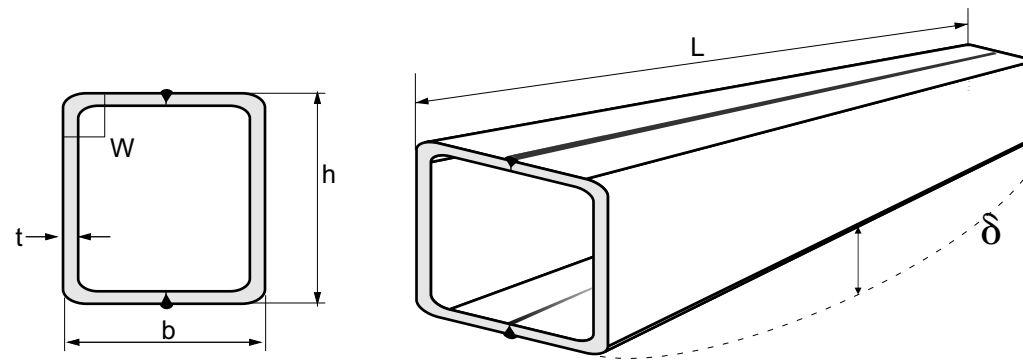
NOTE :

- Standard length 6 m and 12 m
- Thickness Max. 25 mm
- Other specification/standard size on request can also be supplied
- Size 100 x 100 s/d 1000 x 1000 mm

continue.....>>



SHAPED AND TOLERANCE



DESCRIPTION	TOLERANCE
Length (L)	- 0 + 50 mm
Cross-Section (B)	JIS G 3466
Depletion (δ)	1/1000 length max
Squareness (W)	± 20
Twisting	± 4 mm
Thickness	JIS G 3193

Standard :

- Specification standard JIS & ASTM
- Material Standard SS 400, A36 & GR 50 A, B, C
- Bigger dimension will be produced, if there confirm before
- Semi Welding joint, partial penetration (AWS - D1.1 - 96)

(CASTELLATED SHAPE HONEY COMB)



HEAD OFFICE & FACTORY
Jl. Imam Bonjol 4, Warung Bongkok,
Sukadanau, Cikarang Barat,
Bekasi 17520, West Java, INDONESIA
Sales Department

Phone DID : (62-21) 898 38 161 - 167

Phone Flexy :

(021) 7085 3164 - 165

(021) 7085 3169

Fax. : (62-21) 8910 - 7711,

(62-21) 8900-555 / 976 / 977

e-mail : pjl01@grdsteel.com

pjl02@grdsteel.com

SECTIONAL INDEX		WEIGHT	DEPTH OF SECTION		WIDTH OF SECTION	THICKNESS	CORNER RADIUS	DEPTH OF CASTELLATED HOLE	DEPTH OF CASTELLATED TEE	DEPTH BETWEEN FLANGES	SECTION AREA		MOMENT OF INERTIA		RADIUS OF GYRATION		MODULUS OF SECTION			
			Original	Castellated							Web	Flange	Max	Min	I _x	I _y	i _x	i _y	Z _x	Z _y
					mm	mm	kg/m	mm	mm	mm	mm	mm	cm ²	cm ²	cm ⁴	cm ⁴	cm	cm	cm ³	cm ³
100 X 100	150 X 100	17.2	100	150	100	6	8	10	105	22.5	134	24.90	18.57	905.3	134.0	7.0	2.7	120.7	26.8	
150 X 75	225 X 75	14.0	150	225	75	5	7	8	154	35.5	211	21.60	13.85	1579.7	49.5	10.7	1.9	140.4	13.2	
150 X 150	225 X 150	31.5	150	225	150	7	10	11	154	35.5	205	45.39	34.54	3889.6	563.0	10.6	4.0	345.7	75.1	
200 X 100	300 X 100	21.3	200	300	100	5.5	8	11	205	47.5	284	32.66	21.36	4306.8	134.0	14.2	2.5	287.1	26.8	
	297 X 99	18.2	198	297	99	4.5	7	11	202	47.5	283	27.64	18.50	3643.9	114.0	14.0	2.5	245.4	23.0	
200 X 200	300 X 200	49.9	200	300	200	8	12	13	205	47.5	276	71.53	55.09	11139.0	1600.1	14.2	5.4	742.6	160.0	
250 X 125	375 X 125	29.6	250	375	125	6	9	12	254	60.5	357	45.16	29.86	9491.5	294.1	17.8	3.1	506.2	47.0	
	372 X 124	25.7	248	372	124	5	8	12	253	59.5	356	38.88	26.21	8189.6	255.0	17.7	3.1	440.3	41.1	
250 X 250	375 X 250	72.4	250	375	250	9	14	16	254	60.5	347	103.43	80.48	25477.5	3650.2	17.8	6.7	1358.8	292.0	
	450 X 150	36.7	300	450	150	6.5	9	13	305	72.5	432	56.53	36.67	16895.1	508.1	21.5	3.7	750.9	67.7	
300 X 150	447 X 149	32.0	298	447	149	5.5	8	13	302	72.5	431	49.00	32.33	14664.0	442.0	21.3	3.7	656.1	59.3	
300 X 300	450 X 300	94.0	300	450	300	10	15	18	305	72.5	420	134.80	104.25	47854.8	6750.3	21.4	8.0	2126.9	450.0	
	525 X 175	49.6	350	525	175	7	11	14	354	85.5	503	75.39	50.54	31847.5	984.1	25.1	4.4	1213.2	112.5	
350 X 175	519 X 174	41.4	346	519	174	6	9	14	350	84.5	501	63.06	42.00	25819.2	792.1	24.8	4.3	995.0	91.0	
	350 X 350	137	350	525	350	12	19	20	354	85.5	487	194.90	152.30	95013.1	13600.6	25.0	9.4	3619.5	777.2	
400 X 200	600 X 200	66.0	400	600	200	8	13	16	405	97.5	574	100.12	67.68	55683.6	1740.2	28.7	5.1	1856.1	174.0	
	594 X 199	56.6	396	594	199	7	11	16	401	96.5	572	86.02	57.92	46656.1	1450.1	28.4	5.0	1570.9	145.7	
450 X 200	675 X 200	76.0	450	675	200	9	14	18	454	110.5	647	117.01	76.06	78747.4	1870.3	32.2	5.0	2333.3	187.0	
500 X 200	750 X 200	89.6	500	750	200	10	16	20	505	122.5	718	139.20	88.65	112855.7	2140.5	35.7	4.9	3009.5	214.0	
600 X 200	900 X 200	106	600	900	200	11	17	22	605	147.5	866	167.40	100.80	184103.0	2280.8	42.7	4.8	4091.2	228.1	
	588 X 300	882 X 300	151	588	882	300	12	20	28	593	144.5	842	227.78	156.56	274532.9	9021.0	41.9	7.6	6225.2	601.4
400 X 400	600 X 400	172	400	600	400	13	21	22	405	97.5	558	244.70	191.99	156913.2	22400.8	28.6	10.8	5230.4	1120.0	
	700 X 300	1050 X 300	185	700	1050	300	13	24	28	705	172.5	1002	281.00	189.29	473222.7	10801.5	50.0	7.6	9013.8	720.1
800 X 300	1200 X 300	210	800	1200	300	14	26	28	805	197.5	1148	323.40	210.63	690341.9	11702.2	57.2	7.5	11505.7	780.1	

DIMENSIONAL TOLERANCE

Flange width (B) (mm)	Depth (Dc) (mm)			Depth of cell form hole (Ds) (mm)
	Under 400	400 - 600	600 & over	
± 3.0	± 4.0	± 5.0	± 6.0	± 3.0

CHEMICAL COMPOSITION

GRADE	Chemical Composition (%)				
	C	Si	Mn	P	S
SS 400	-	-	-	0.05 max	0.05 max

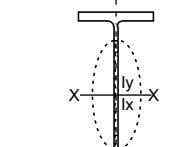
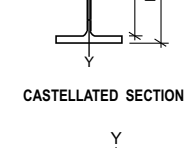
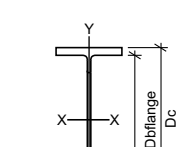
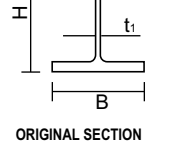
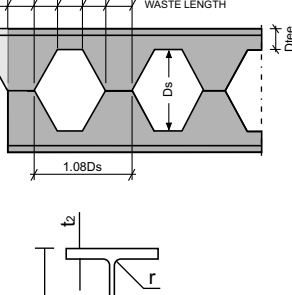
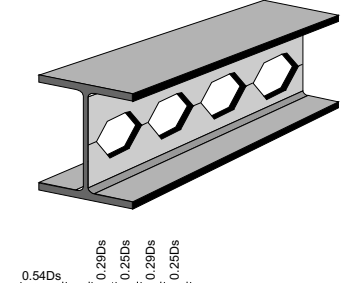
MECHANICAL PROPERTIES

Classification	Yield Point N / mm ²		Tensile Strength N / mm ²	Elongation %			
	16 or Under	Over 16		Thickness (mm)	5 or Under	5 to 16	Over 16
JIS G 3101 SS 400	245	235	400 - 510	21	17	21	

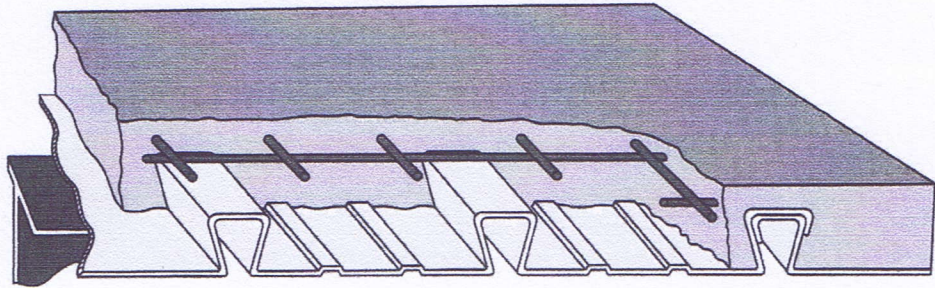
WELDING

- As per AWS
- Welding material: E 6013

METRIC SIZE

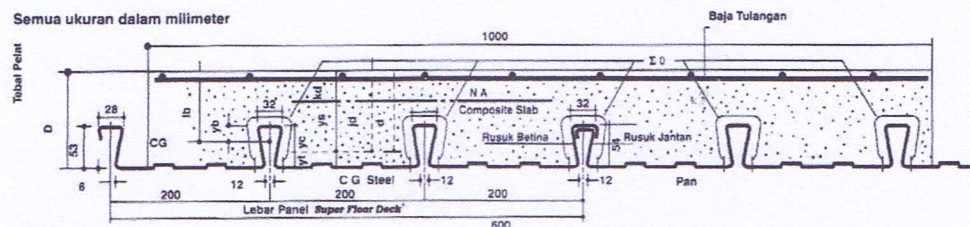


Super Floor Deck®



PERENCANAAN:

Plat Lantai Komposit



Tabel Perencanaan Praktis

Tabel Perencanaan Praktis berikut ini bisa membantu dalam perencanaan penggunaan **Super Floor Deck**[®] untuk suatu bangunan antara lain:

- Menunjukkan tabel plat beton untuk bentang tunggal, bentang ganda, dan bentang menerus.
 - Kebutuhan tulangan negatif, serta perhitungan luas penampangnya, pada bentang ganda atau bentang menerus.
 - Ketebalan plat beton pada bentang tertentu, serta berbagai beban (Super Imposed Load)
 - Tiang penyanga sementara yang dibutuhkan untuk meniadakan lendutan awal pada waktu beton dan ***Super Floor Deck*** belum berfungsi.

TABEL 1 : SIFAT PENAMPANG ***Super Floor Deck***® PERLEBAR 1000 MM

Tebal Pelat	Berat per satuan luas	Luas penampang	Penampang efektif penuh	Momen lentur positif			Momen lentur negatif			le	Gaya reaksi aman untuk perletakan tepi			Gaya reaksi aman untuk perletakan tengah			
				Yc	Yt	Ip	Zpc	Zpt	In		10 mm perletakan	Perambahan per 10 mm	10 mm perletakan	Perambahan per 10 mm	Max KN		
mm	kg / m ²	mm ²	mm	mm	10 ⁴ x mm ⁴	10 ⁵ x mm ³	10 ⁵ x mm ²	10 ⁶ x mm ⁴	10 ⁵ x mm ²	10 ⁷ x mm ²	10 ⁸ x mm ²	10 mm Of Bearing KN	Increm. Per 10 mm KN	max KN	10 mm Of Bearing KN	Increm. Per 10 mm KN	Max KN
0.75	10.1	1241	38.6	15.4	6.511	13.15	33.14	0.309	10.21	10.73	6.425	3.76	0.99	8.11	15.01	-1.14	19.19

Catatan : I_p = momen inersia profil panel untuk daerah momen posisi

Zn_c = idem, dasar dek dalam daerah momen negatif (tegangan tekan)

te = momen inersia ekivalen untuk perhitungan lendutan bentang menerus

Notes *(down until the deepest measure repeat)*

Zec = idem, punya kunci dalam daerah momen positif/tengangan tekan

$$= \ln(1.26 \cdot 0.26) / \ln(2)$$

In = idem untuk daerah momen negatif

Zpc = item puncak rusuk, dalam arah momen positif (tegangan)

TABEL 2 : TABEL REFERENCINGAAN PRAKTIS

Catatan : - BEBAN MATI (BERAT SENDIRI *Super Floor Deck*[®] DAN PELAT BETON) SUDAH DIPERHITUNGKAN

- BEBAN BERGUNA DALAM TABEL ADALAH JUMLAH BEBAN HIDUP DAN BEBAN-BEBAN FINISHING LAINNYA

- MULUT RAJA TULANGAN II - 48

BIODATA PENULIS



Putri Utami Ayu Cahyani, dilahirkan di Surabaya, 03 Agustus 1993, merupakan anak tunggal. Penulis telah menempuh pendidikan formal di TK YP Wonokitri Surabaya tahun 1999, SDN Pakis 1 368 Surabaya tahun 2005, SMP Hang Tuah 1 Surabaya tahun 2008, SMA Giki 2 Surabaya tahun 2011, D3 Teknik Sipil ITS Surabaya tahun 2014. Selama menempuh pendidikan di D3 Teknik Sipil ITS, penulis aktif dalam beberapa kegiatan kemahasiswaan diantaranya mewakili

Fakultas Teknik Sipil dan Perencanaan untuk lomba Bola Voli Putri di DIES NATALIS ITS. Juga aktif dalam acara dan kegiatan kampus diantaranya menjadi panitia pada acara *Bridge Construction Competition- Tower Construction Competition*. Setelah lulus dari D3 Teknik Sipil ITS Surabaya tahun 2014, penulis mengikuti Tes Masuk Program S1 Lintas Jalur yang diselenggarakan ITS Surabaya dan diterima di Jurusan Teknik Sipil Lintas Jalur FTSP - ITS tahun 2015, Terdaftar sebagai Mahasiswa dengan NRP 3115105011. Penulis dapat dihubungi melalui *email* : putriutamiayucyahyani@gmail.com